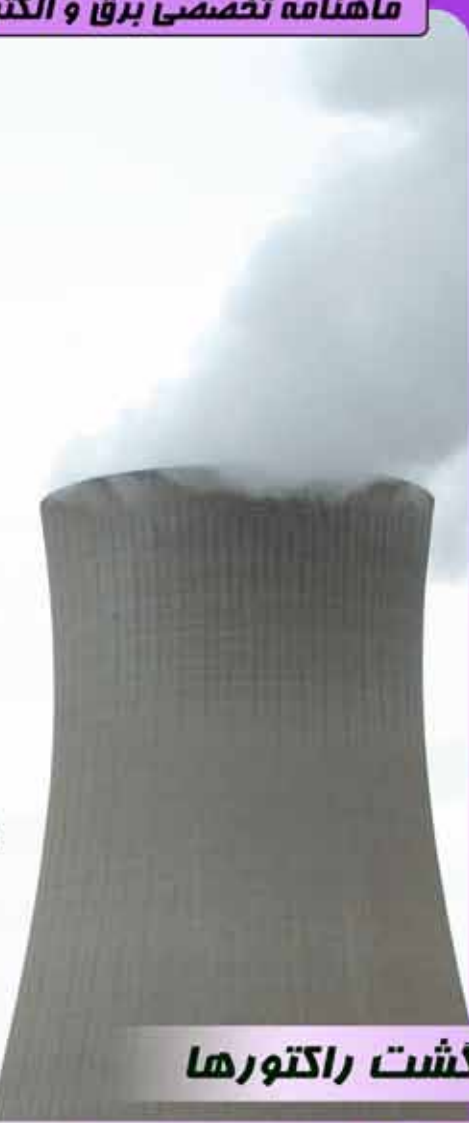
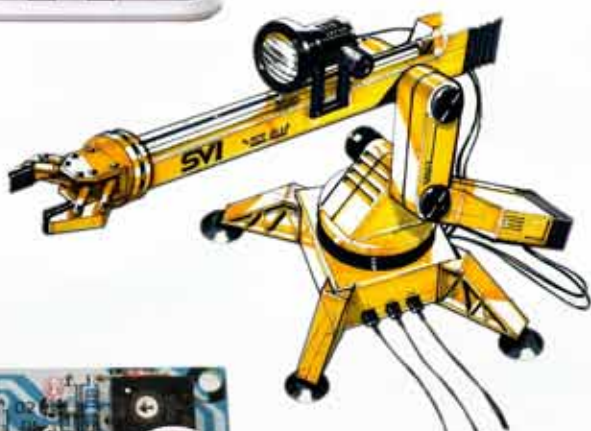


نیوز نایز

Noise

ماهنامه تخصصی برق و الکترونیک ECA



بازگشت راکتورها

اهمیت اتصال مناسب زمین در مدارات

اصول اولیه بازوی رباتیک

نرم افزارهای اندازه گیری رایگان برای کامپیوتر

سنسورهای التراسونیک



www.Noisemagazine.ECA.ir



نژویز Noise

مجله تخصصی برق و الکترونیک نویز
سال اول - شماره ۴ - آذر ۱۳۸۹

صاحب امتیاز : وب سایت تخصصی برق و الکترونیک ECA www.ECA.ir

سردیب: امیرعلی بلورچیان
مدیر اجرایی: فرشاد اکرمی
سرپرست مترجمین: کاووه شجاعی
مترجمن: فریبا سمواتیان، زهراء سادات شریعتمدار، حامد پورآزاد
وب سایت اختصاصی مجله : www.Noisemagazine.ECA.ir

منتشر مجله نویز الف- معرفی

ماهnamه نویز، نشریه‌ای است علمی، خبری، آموزشی که با تکیه بر خلاقیت و نوآوری کارشناسان ایرانی و انجام کارگری آنان به مخاطبان خود کمک می‌کند تا نیازهای خود را در شکل مكتوب در این نشریه محقق شده بیابند.

ب- اهداف

- ۱- پیشبرد فرهنگ علم گرایی در کشور
 - ۲- ایجاد روحیه تلاش و امید در نسل جوان
 - ۳- توسعه کمی و کیفی روزافزون به سوی نشریه‌ای وزین، فراگیر و کم اشکال
 - ۴- اطلاع رسانی به روز علوم مرتبط
- ج- اصول و ارزش‌ها**
- ۱- احترام به مخاطب
 - ۲- راستی در گفتار و رفتار میان دست اندک کاران نشریه
 - ۳- تلاش مستمر برای بهبود
 - ۴- استفاده از پتانسیل موجود در قشر تحصیل کرده کشور
- د- حوزه‌های فعالیت (موضوعات کلیدی)**
- ۱- آموزش مبانی علوم برق و الکترونیک
 - ۲- آشنایی با تکنولوژی‌های نوین دنیای فناوری
 - ۳- طراحی مدارات آنالوگ و دیجیتال
 - ۴- آموزش و معرفی نکات کاربردی پردازندۀ ها
 - ۵- مدارات مجتمع
 - ۶- آموزش کاربردی نرم افزارهای تخصصی
 - ۷- سیستم‌ها و مدارات مخابراتی
 - ۸- سیستم‌های قدرت
 - ۹- معرفی مشاهیر برق
 - ۱۰- موارد کاربردی و عملی علم الکترونیک
 - ۱۱- بخش‌های متنوع مرتبط با موضوعات برق و الکترونیک

* استفاده از مقاله‌های مجله، با ذکر مأخذ و رعایت حقوق نویسنده بلامانع است.

* مجله نویز آماده دریافت آثار و مقالات ارسالی متخصصین و مهندسین است.

* لطفاً مقاله‌های خود را بصورت تایپ شده به همراه ضمیمه عکس‌های مورد استفاده ارسال نمایید.

* نشریه در ویرایش و اصلاح مطالب رسیده، آزاد است.

* چنانچه مطلب ارسالی ترجمه است، کپی اصل آن را ضمیمه نمایید.

صندوق پست الکترونیکی مجله : noisemagazine.eca@gmail.com

فرم های جدید و بسیار کارآمد تکنولوژی نانوژنراتورهای انعطاف پذیر

نانوژنراتور که بر پایه ابداعات گذشته است، از پروتکل مشابهی برای انتقال نانو مواد غشای نازک سرامیکی به زیر لایه های انعطاف پذیر استفاده می کند و باعث ایجاد ولتاژ بین الکتروودها می شود.

به گفته پروفسور ژونگ لین وانگ (انستیتو تکنولوژی جورجیا، ابداع کننده نانوژنراتور): "می توان از این تکنولوژی برای روش نمودن LED با ایجاد تغییرات کوچک در مدارات و هم چنین به کار انداختن صفحه نمایش های انعطاف پذیر لمسی استفاده نمود. به علاوه، نانو مواد غشای نازک (باریم تیتانیات) نتیجه این تحقیقات دارای خاصیت بهره وری بالا و قابلیت تطابق با محیط زیست بدون سرب نیز هستند، بنابراین می توان آن ها را در برنامه های آینده درمانی استفاده نمود."

Sciencedaily 2010

منبع:

ساینس دیلی (۱۲ نومبر ۲۰۱۰)- آیا ممکن است که یک میکروربات قلب کاشته شده بصورت دائمی کار کند؟ آیا ممکن است تلفن های همراه و یا ربات های کوچکی که در قلب قرار دارند بدون نیاز به شارژ باتری هایشان کار کنند؟ این مسائل، در سایه تکنولوژی جدید نانوژنراتورها در آینده ای نزدیک امکان پذیر خواهد بود.

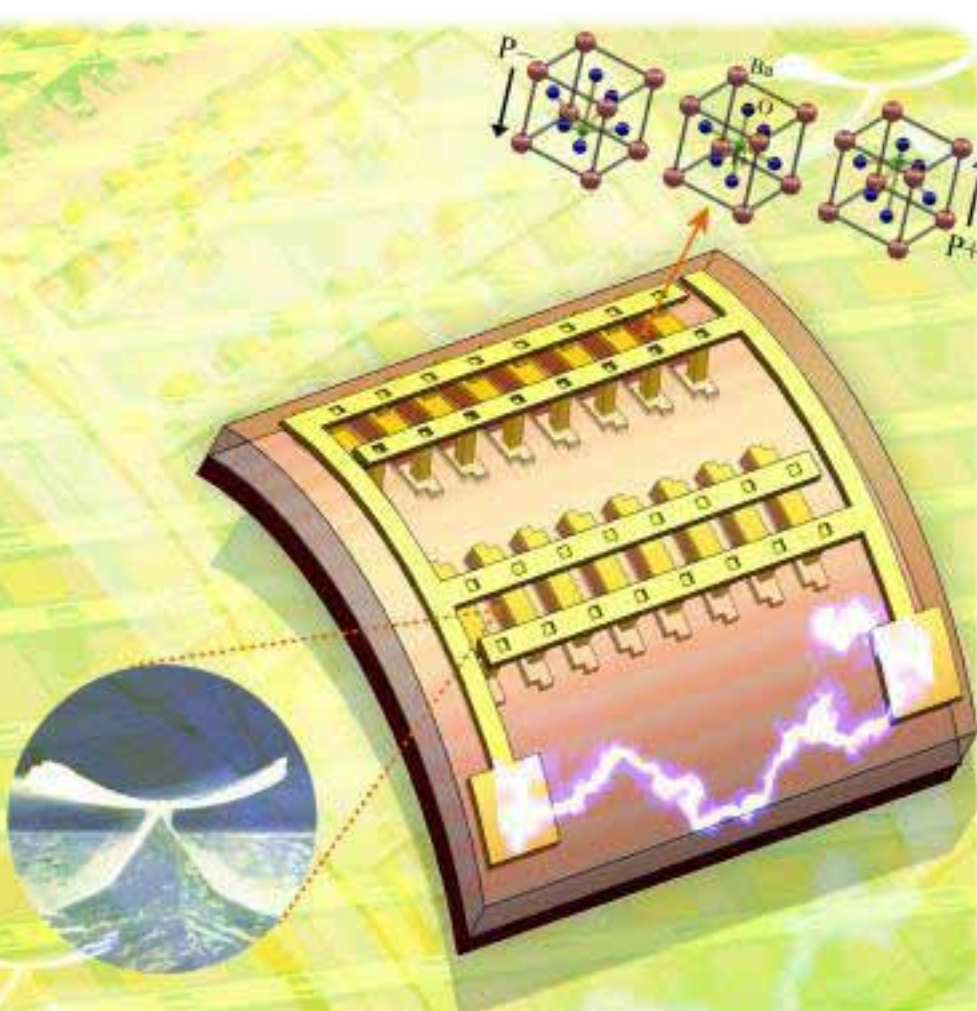
تیم پروفسور کئون جائه لی (موسسه تحقیقات پیشرفته علوم و تکنولوژی کره، بخش علم مواد و مهندسی) و پروفسور ژونگ لین وانگ (انستیتو تکنولوژی جورجیا، بخش علم مواد و مهندسی) با استفاده از نانوغشاها نازک پیزوالکتریک سرامیکی انعطاف پذیر که توانایی تبدیل حرکات کوچک بدن انسان (مثل تپش قلب و یا گردش خون) به انرژی الکتریکی را دارند، فرم های جدیدی از نانوژنراتورهای انعطاف پذیر با بهره وری بالا را ابداع نمودند.

اثر پیزوالکتریک، به تولید ولتاژ در اثر وارد نمودن فشار و یا مقاومت خمیشی یه مواد پیزوالکتریک اطلاق می شود. مواد سرامیکی، که دارای ساختار پراوسکیت می باشدند، دارای بهره وری بالایی از این لحاظ می باشند. اما به دلیل خاصیت شکنندگی آنها، استفاده از این مواد برای ساخت لوازم الکترونیکی انعطاف پذیر کار بسیار مشکلی بود.

با این حال، این تیم تحقیقاتی توانستند غشای نازک سرامیکی را با خاصیت زیستی سازگار با محیط ابداع کنند که بدون امکان شکستن قابلیت خم شدن را داشته باشند.

تکنولوژی نانوژنراتورها، سیستم تولید انرژی بدون استفاده از سیم و یا باتری است که ترکیبی از نانوتکنولوژی و خاصیت پیزوالکتریک است. از این تکنولوژی نه تنها می توان در لوازم الکترونیکی قابل حمل استفاده نمود، بلکه می توان از آن در سنسورهای کاشت زیستی و یا به عنوان منبع انرژی در میکروربات ها نیز استفاده نمود. منابع انرژی موجود در طبیعت (باد، لرزش و صدا) و همچنین نیروهای بیومکانیکی که توسط بدن انسان بوجود می آید (تپش قلب، گردش خون، و انبساط و انقباض ماهیچه ها) می توانند به مقدار نامحدود انرژی غیر آلامینده تولید کنند.

پروفسور کئون جائه لی (موسسه تحقیقات پیشرفته علوم و تکنولوژی کره) در دوره دکترای خود در دانشگاه ایلینویز، در ابداع مشترک اولین "لوازم الکترونیکی تک کریستالی انعطاف پذیر با کارایی بالا" شرکت داشت. به عقیده او، این تکنولوژی



تصویب استاندارد IEEE برای انتقال پهناور برق

استاندارد ۱۹۰۱ به نظر می‌رسد قرار است به خانواده ۱۵۴۷ استاندارد اتصالات داخلی - پروتکل‌ها و الگوریتم‌های حاکم بر نحوه اتصال منابع تولید توزیع شده مانند باد و انرژی خورشیدی و ادوات ذخیره سازی توزیع شده مانند سوپرخازن‌ها و یا بانک‌های باتری - به عنوان یکی از ضروری ترین تکنولوژی‌های شبکه هوشمند بپیوندد.

Spectrum IEEE 2010

منبع:

مجموعه مقالات IEEE شماره ۱



مجموعه شماره ۱ ، شامل صدها عدد از مقالات IEEE

لینک مخصوص :

<http://eshop.eca.ir/link/472.php>

IEEE این ماه تصویب استاندارد ۱۹۰۱ برای انتقال پهناور برق بالا روی سیستم انتقال برق را اعلام نمود، که امکان انتقال نرخ داده ۵۰۰ مگابیت در ثانیه را برای شبکه‌های محلی مانند خانه‌ها محیا می‌کند. این سیستم می‌تواند به عنوان یکی از سیستم‌هایی باشد که در خانه‌ها از آن برای انتقال بلادرنگ میزان مصرف انرژی به ارائه دهنده‌گان انرژی و همسایه‌ها استفاده شود، تا بتوان با کمک این اطلاعات مصرف را تنظیم و رگوله نمود.

این استاندارد همینین می‌تواند به عنوان پایه‌ای برای توزیع موارد سرگرمی درون هواپیما یا قطار و یا در خانه‌ها، برای انتقال لیست پخش موسیقی جدید به ضبط خودرویی که در حال شارژ است استفاده شود.

در آزمایشی که در شبکه هوشمند Xcel در بولدر، کلرادو انجام شد (مسلماً نه به شکل یک موفقیت کلی) ۹ از این تکنولوژی به همراه خطوط رادیویی جهت انتقال داده‌ها از کنترلهای برق، آبگرمکن، ترمومتر، و سیستم‌های انرژی‌های تجدید پذیر استفاده شد. جهت برقراری ارتباط با ارائه‌دهنده انرژی، داده‌ها پیش از این که به فیبرهای نوری و یا سیستم‌های بک هول موبایلی انتقال داده شوند، مسافتی در حدود یک کیلومتر را درون خطوط انتقال برق طی می‌کنند. با این حال، این سیستم در سرعتی حدود ۵Mbps عمل می‌کند - یک صدم آنچه که IEEE ۱۹۰۱ می‌تواند در اصل ارائه کند.

کوچکترین موتور الکتریکی جهان

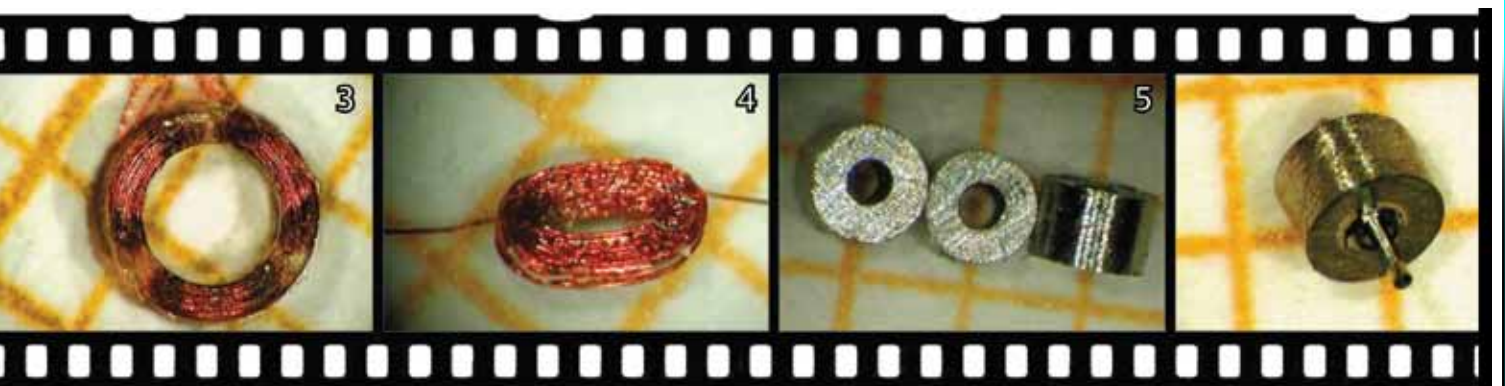


اولین اختراع او یک موتور الکتریکی کوچک مورد استفاده در کاربردهای زیست-پزشکی بود که در زمان خود (۱۹۵۸) کوچکترین موتور الکتریکی در جهان بود. در سال ۱۹۶۲ یک "کاوشگر اندوموتور" ساخت که دستگاهی برای آزمایش مجرای معده ای-رودهای می‌باشد. وی در راستای ارتقای دانسته های تئوری خود، در سال ۱۹۶۶ در یک دوره‌ی مطالعاتی در دانشکده علوم دانشگاه سوربن ثبت نام کرد. کارهای بعدی وی شامل انواع گوناگونی از پروژه‌های گسترده از قبیل ساخت و نظارت بر کارخانه‌ی PCB در بلژیک و چند کارخانه‌ی دوربین‌های الکتریکی خارج از بلژیک و نیز پیگیری اختراعات خود می‌شود. این اختراقات، انواع مختلفی از دستگاه‌های را از قبیل تجهیزات اندازه‌گیری فشار هوا و رطوبت نسبی و اولین ماشین حساب اروپایی به شکل ساعت مچی را در بر می‌گیرد.

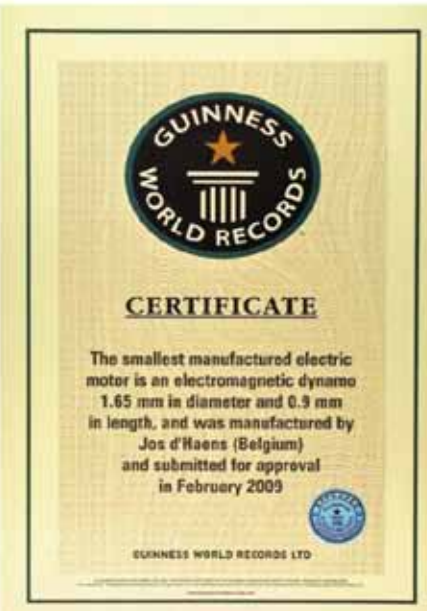
اکنون که وی بازنیسته شده است، همچنان مشغول فعالیت در زمینه الکترونیک و مهندسی است. در مغازه شخصی مجہزش، به طور منظم

نظرتان درمورد وجود یک موتور الکتریکی که کوچکتر از سر سوزن است، چیست؟ به خصوص آنکه بیشتر دست ساز باشد؟ این موتور واقعاً وجود دارد! جاش دی هینز (josd'haens) با این موتور در حال حاضر رکورد رسمی جهانی را که توسط رکوردهای جهانی گینس تایید شده، به ثبت رسانیده است.

جاش دی هینز فردی بسیار با استعداد است که در طول زندگی خود کارهای مختلف بسیاری انجام داده است. اگر چه در جوانی به خصوص علاقمند به موضوعات تکنیکی بوده، اما حرفة‌ی تخصصی (Bell Telephone) در Antwerp آغاز کرد. وی در آنجا این فرصت را داشت که به مهندسی روی آورده و بیش از پیش توجه خود را بر موضوعات تکنیکی و الکترونیک معطوف سازد. او بسیار علاقمند به وسایل کمکی میکرو الکترونیک و میکرومکانیکی برای کاربردهای صنعتی و پزشکی بوده است.



کوچکترین موتور الکتریکی جهان



شکل ۱ : گواهینامه رکورد های جهانی گینس

بهتر است ابتدا نگاهی به برخی از خصوصیات این میکروموتور بیندازیم :

قطر : ۱,۶۵ میلی متر طول : ۰,۹۰ میلی متر

وزن : ۹,۸ میلی گرم حجم : ۱,۹۲ میلی متر مکعب

ولتاژ عملکرد : ۰,۲۰۷ ولت

جریان عملکرد : ۱۸ میلی متر

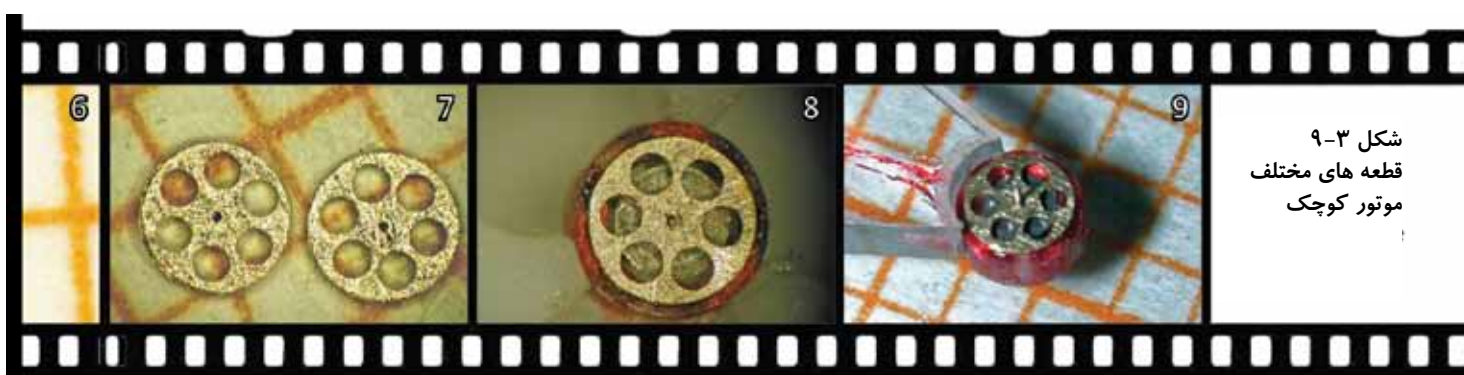
سرعت : ۶۰۰۰ تا ۶۰۰۰ دور در دقیقه (قابل تغییر)

موتور الکتریکی بسیار کوچک دارای سه سیم پیچ است که به وسیلهٔ یک سیگنال سه فاز تولید شده به روش الکترونیکی به کار می‌افتد. بنابراین این موتور نمونه‌ای از آنچه که "مотор بدون براش DC" نامیده می‌باشد.

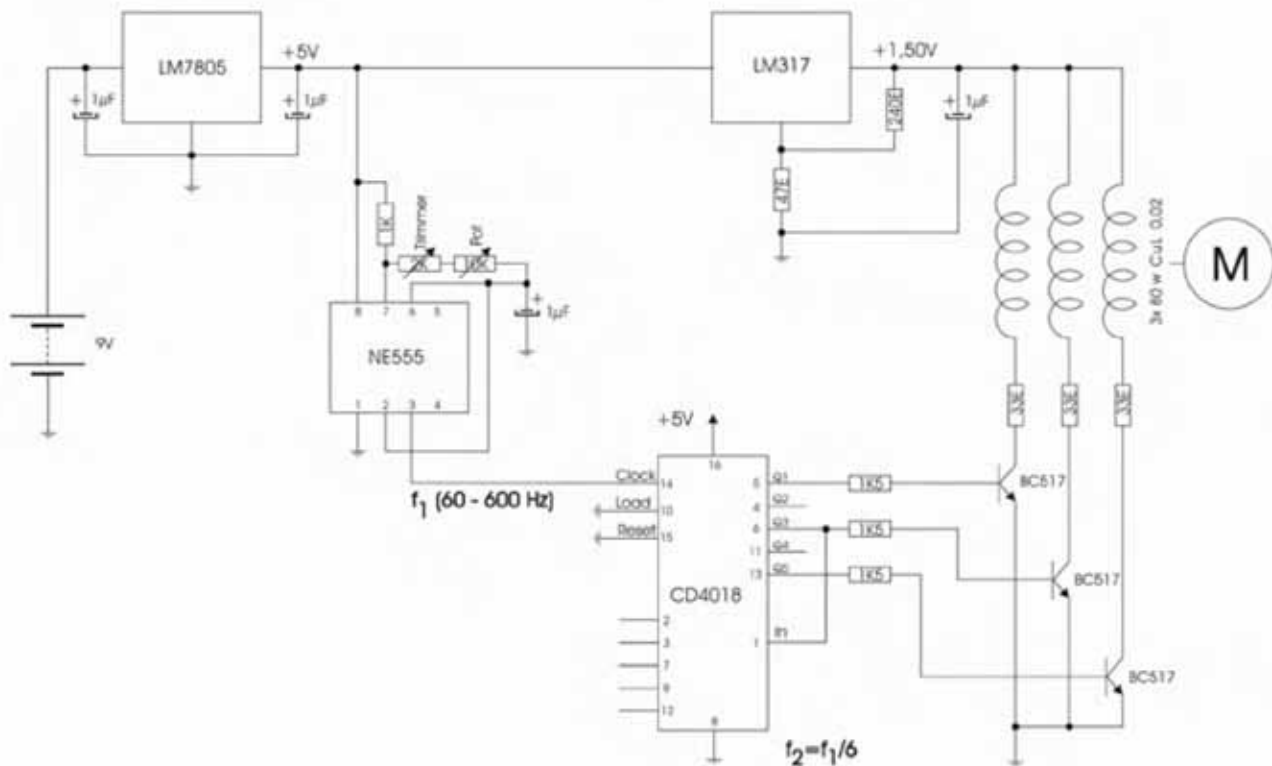
شکل های ۳ تا ۹ اجزای گوناگون موتور را نشان می دهد. شکل ۳ یک سیم پیچ را نشان می دهد که شامل ۸۰ دور سیم مسی ۰,۰۰۰ میلی متر است. وجود مجموع این سه سیم پیچ ضروری است. همچنانکه در شکل ۴ نشان داده شده، این سیم پیچ ها با ترکیب مناسبی شکل گرفته اند (مسطح و اندرکی خمیده). این روتور شامل یک آهنربای کوچک است (۵) که یک سوراخ برای اتصال شفت در نظر گرفته شده است. (۶) دو صفحه‌ی کوچک با یک کلید (۷) به عنوان بخش‌های بالایی و پایینی بدنه‌ی موتور عمل می‌کنند. شکل های ۸ و ۹ مونتاژ کامل را نشان می دهند. مجموعه‌ی سیم پیچ به جای مابین صفحه‌های بالایی و پایینی متصل شده اند، بنابراین عمل

شکل ۲ : دستگاه ویژه ای جهت درست کردن اجزای بسیار کوچک (مینیاتوری) ساخته شده بود. بر روی سرگرمی های مورد علاقه‌ی خود، ساخت میکروموتورها، کار می‌کند. جدید ترین محصول وی یک موتور الکتریکی دست ساز بسیار کوچک است که با توجه به گفته وی، کوچکترین موتور مکانیکی در جهان می‌باشد. چند ماه قبل، چاشه ساخت این قطعه قابل توجه خود را به رکورد های جهانی گینس گزارش کرد، با این امید که حاصل کار وی به عنوان کوچکترین موتور الکتریکی در جهان شناخته شود. پس از اینکه مدتی طولانی صبر کرد، گواهینامه‌ای را از جانب رکوردهای جهانی گینس دریافت کرد مبنی بر اینکه موتور الکتریکی جدید وی رکورد جدیدی را در جهان به ثبت رسانده است. که ابته در شماره بعدی کتاب رکورد های گینس منتشر خواهد شد. انگیزه اولیه‌ی ساخت موتوری جدید و باز هم کوچکتر یک مسابقه بود، اما کاملاً امکان پذیر است که موتور حاصل در کاربردهای عملی مورد استفاده قرار خواهد گرفت.

اگرچه چاشه می تواند از دستگاه ویژه ای که خود طراحی کرده (چنانچه در شکل ۲ نشان داده شده است) در ساخت نمونه اولیه‌ی خود استفاده کند، تصور ما بر این است که خوانندگان بسیار علاقمند به طراحی و ساخت این موتور هستند. اگر قدری ابعاد آن بزرگ شود، موتوری از این نوع را می‌توان با استفاده از ابزارهای عادی نیز ساخت.



شکل ۹-۳
قطعه های مختلف
موتور کوچک

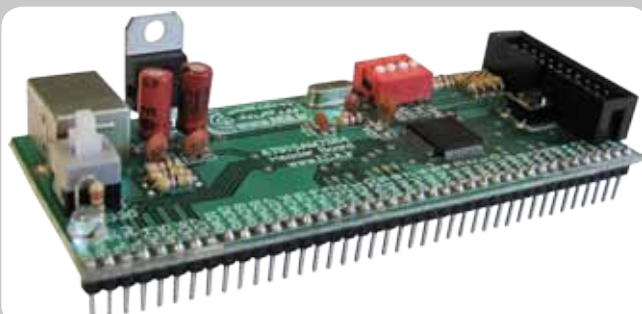


شکل ۱۰ : طرح شماتیک مدار محرکه میکرو موتور. با تغییرات مناسب و مقادیر برحی از اجزا، این مدار را می توان برای راه اندازی موتورهای بزرگتری با سه سیم پیج مورد استفاده قرار داد.

اگر می خواهید این مدار را در پروژه های خود مورد استفاده قرار دهید، می توانید فرکانس و ولتاژ محرکه می سیم پیج را در صورت نیاز تغییر دهید. به خاطر داشته باشید که ترانزیستور های bc577 دارای جریان پیک ماکریم ۱ آمپری می باشد بنابراین اگر جریان بیشتری مورد نیاز است، ترانزیستور بزرگتری باید مورد استفاده قرار گیرد.

منبع: Elektor Magazine 2009

AT91SAM7S64 Header Board

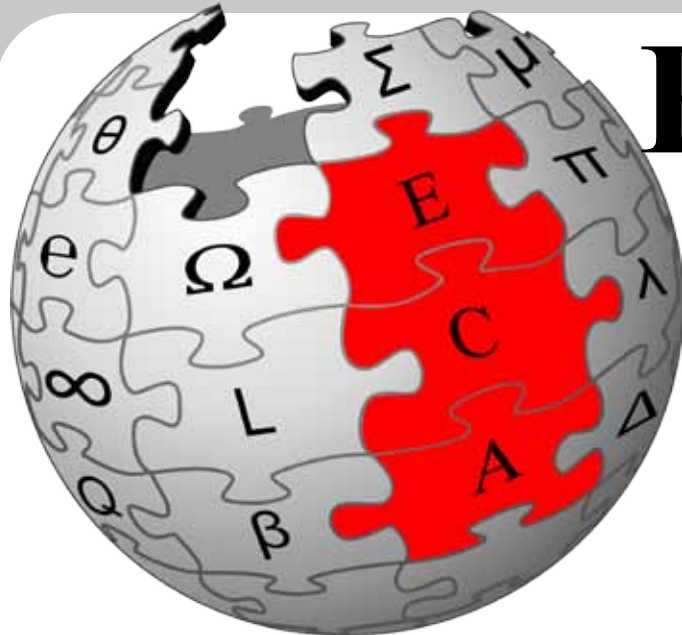


لينك محصول :

<http://eshop.eea.ir/link/519.php>

اگر می خواهید شاخت موتور DI2 خود را تجربه کنید، می توانید از طرح شماتیک نشان داده شده در شکل ۱۰ استفاده کنید. این شکل مدار اصلی مورد استفاده جا ش برای راه اندازی میکرو موتورش می باشد. این طرح در عین سادگی بسیار کارآمد است. به واسطه شروع از ولتاژ ۹ ولتی (که از طریق چند سلول penlight) موجود در نگهدارنده باتری با یک باتری ۹ ولتی که برای میکروموتور کافیست، تامین شود، یک تنظیم کننده ۵ ولتاژ ۷۸۰.۵ ولتاژ عملکرد ۵ ولتی ثابتی را تولید می کند. این ولتاژ توان مورد نیاز دیگر IC های موجود در مدار را تامین می کند. تنظیم کننده ولتاژ دوم (یک LH377) برای کاهش ولتاژ تا ۱.۵ ولت به کار برده شده است زیرا سیم پیج های میکروموتور به ولتاژ عملکردی نسبتاً کمی نیاز دارند. فرکانس سیگنال محرکه سه فاز توسط یک IC ۵۵۵ که به صورت یک ژنراتور موج مربعی شکل یافته است، کنترل می شود. فرکانس خروجی این ژنراتور را می توان با استفاده از یک پتانسیل سنج در بازه ۶۰ الی ۶۰۰ هرتز تنظیم کرد. این سیگنال به ورودی کلاک قابل تنظیم CD4018 وارد می شود. خروجی های Q5، Q3، Q1 این کنتور، سیم پیج های موتور را از طریق مجموعه ای از ترانزیستور های دارلینکتون bc577 با مقاومت های سری ۳۳۰ اهم جهت محدود کردن جریان محرکه موتور، راه اندازی می کنند. سیگنال های موجود در خروجی های Q5 و Q6 هر یک از سیم پیج ها در توالی با مقدار معینی از تداخل راه اندازی می کنند که آهنربای چرخشی مشخصی را در موتور ایجاد می کند.

ECA WiKi



تاریخچه ویکی

«ویکی ویکی» که باز تکرار کلمه «ویکی» است، در زبان محلی اهالی هاوایی معنی «سریع»، «تر و فرز» می‌دهد. در زبان انگلیسی اگر «ویکی» را سر نام کلمه‌ای بگذاریم معنای «آنچه می‌دانم این است» به آن کلمه افزوده می‌گردد. نظیر کلمه ویکی پدیا (بزرگترین دانشنامه آزاد آنلاین جهان) که از دو کلمه مستقل ویکی + پدیا (از ریشه کلمه encyclopedia ایجاد شده است و مفهوم مشارکت جمعی کاربران در تکمیل دانشنامه را در دل خود دارد. ویکی ECA نیز با همین هدف و جهت افزایش علوم پایه در زمینه برق و الکترونیک ایجاد گشته و امیدواریم تا چند سال آینده به یک مرجع علمی در زمینه برق و الکترونیک تبدیل گردد.

در حوزه فناوری اطلاعات اصطلاح ویکی برای شناسایی نوع ویژه ای از فرامتن‌ها و یا نرمافزارهای مشارکت‌گرای تولیدکننده آن‌ها به کار برده می‌شود.

ویکی چیست؟

ویکی مجموعه صفحات وی‌است که محتوای آن‌ها بصورت مشارکتی تولید شده و فرایند توسعه آن نیز در مدل مشارکتی توسط مکانیزمی خاص مدیریت می‌شود. مشارکت کننده‌ها می‌توانند بصورت عام و یا کسانی باشند که دسترسی آن‌ها به نرمافزار سرویس‌دهنده ویکی مشخص شده است. در واقع ویکی‌ها به کاربران این اجازه را می‌دهند که بدون داشتن برنامه‌نویسی اقدام به ایجاد صفحات وب درباره موضوعات مختلف بکنند. ویکی‌ها با واسطه کاربری نسبتاً ساده‌ای امکان تولید فرامتن و استفاده از زبان‌های نشانه‌گذاری را فراهم می‌آورند و اغلب برای ایجاد پایگاه‌های وب گروهی و ارتقای پایگاه‌های اجتماعی و تحقق مدیریت دانش به کاربرده می‌شوند. در ویکی کاربران این اجازه را دارند که محتوای صفحات سایت را ویرایش کنند، صفحات جدید ایجاد کنند و حتی صفحات موجود را حذف کنند. با استفاده از این ویژگی، کاربران می‌توانند به سرعت و بدون نیاز به دانش فنی خاص، درباره موضوعات مختلف صفحاتی را ایجاد کنند و با کمک کاربران دیگر آن‌ها را به مرور زمان کامل کنند.

در یک سیستم ویکی، از تمام تغییرات ایجاد شده توسط کاربران، یک نسخه پشتیبان نگاه داشته می‌شود تا در صورت بروز اشتباه و یا هرگونه خرابکاری در محتوای یک ویکی، بتوان به راحتی یک نسخه سالم را جایگزین آن کرد.



www.WiKi.ECA.ir

میکروچیپ ها در ۲۰ سال آینده



می شد؛ اینگونه سیستم های چند هسته ای به وجود آمدند. به نظر می رسد قانون مور سرانجام خارج شدن از هر مشکلی باشد. اما مهندسان چگونه ساخت تراشه های قادر تمدن را ادامه می دهند؟ تغییر معماری و تکمیل نانومواد دو پاسخ به این پرسش هستند. راه های دیگر، عالی ساختن شیوه های نوین برای پردازش اطلاعات از جمله محاسبه گرهای کوانتمی و بیولوژیکی است. در صفحات پیش روی ما به طیف وسیعی از پیشرفت ها که در حال حاضر در مرحله نمونه اولیه بوده و در دو دهه آینده برای محاسبه گرهای کوچکتر، سریعتر و ارزان تر به کار گرفته خواهد شد، نگاهی می اندازیم.

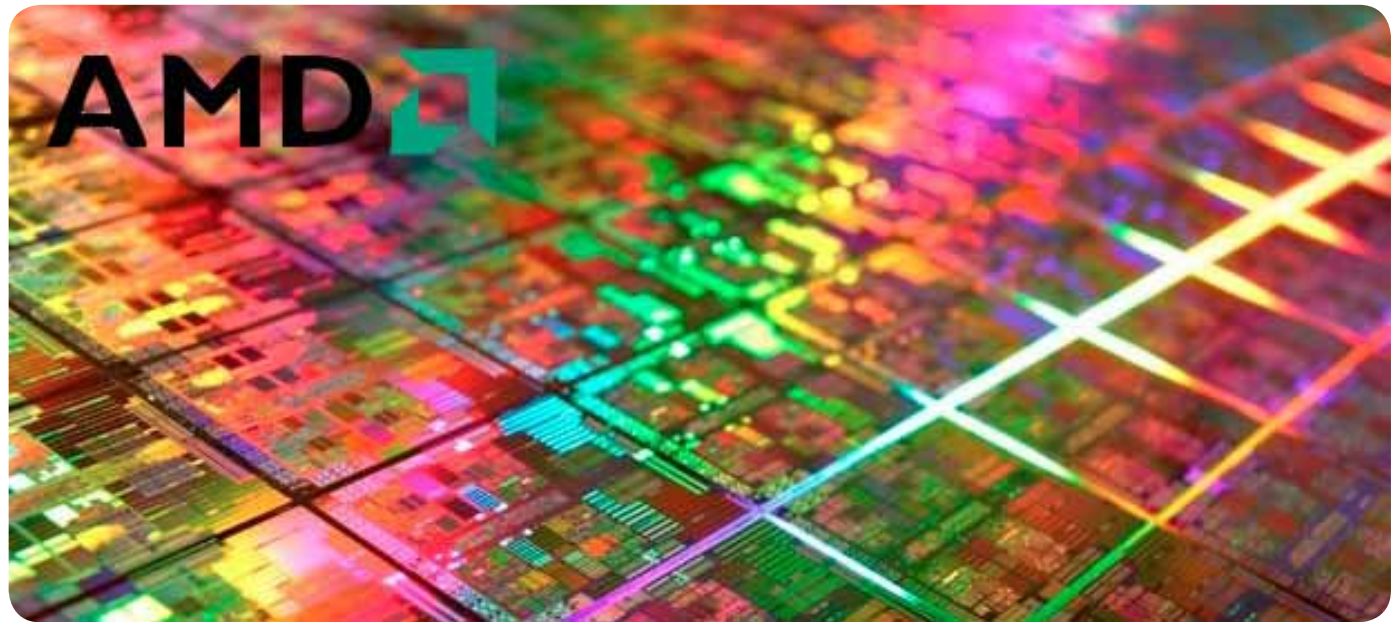
اندازه: ایجاد تقاطع های غیر همسطح (memristor)

در حال حاضر کوچکترین ترانزیستورها فقط ۳۲ نانومتر عرض دارند، که از چیزی حدود ۹۶ اتم سیلیکون ساخته شده اند. صنعت ساخت، تصدیق می نماید که ساخت برجستگی هایی کمتر از ۲۲ نانومتر با استفاده از تکنیک های حکاکی که برای چند دهه بهبود یافته، بسیار سخت است. یک گزینه وجود دارد که به وسیله آن این مشکل حل می شود و سایز مشابه چیزی را که طراحان می خواهند دارد. این فناوری همچنین قدرت محاسباتی فراتر از انتظار طراحان را دارا می باشد. به جای ساخت ترانزیستور های موجود در یک صفحه، رویکرد بر آن است تا نانو سیم های موازی از مجموعه ای دیگر از نانوسیم ها (همانند تقاطع غیر همسطح در اتوبان) عبور داده

در سال ۱۹۷۵ گوردون مور از پیشگامان صنعت الکترونیک در پیش بینی مشهور خود گفت: پیچیدگی تراشه های مدارات مجتمع هر دو سال یکبار دو برابر می شود. صنعت ساخت به دنبال هر چه کوچکتر شدن ترانزیستورها می باشد. بنابراین سیگنال های الکترونیکی می توانند در مسافت های کمتری برای پردازش اطلاعات جابجا شوند. برای صنایع الکترونیک و مصرف کنندگان، قانون گوردون مور، به این دلیل شناخته شده است که دستگاه های کامپیوترا به صورت وحشتناک در حال کوچک شدن، سریع تر شدن و ارزان تر شدن هستند.

ضخامت ترانزیستورها در حال تبدیل شدن به چیزی در حدود ۱۰ اتم است و در این مقیاس قوانین اساسی فیزیک را توانسته اند تحمیل کنند. با قرار دادن ترانزیستورهای خیلی کوچک و نزدیک به هم با حفظ کارایی و بازده، ممکن بود دو مشکل رخ دهد.

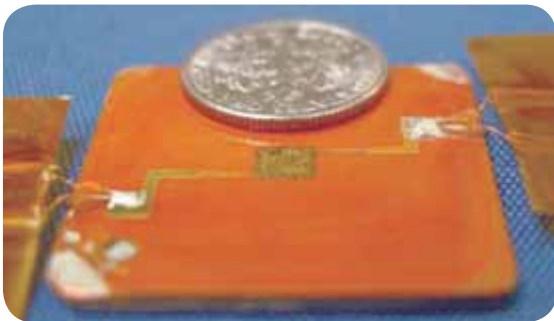
اولاً وسایل ساخته شده خیلی گران شوند ثانیاً حرارت ایجاد شده در اثر خاموش و روشن شدن انبوهی از ترانزیستورها، برای سوزاندن ترانزیستورها کافی خواهد بود. در واقع این موانع چند سال پیش بوجود آمدند. کامپیوتراهای شخصی امروزی دارای پردازنده های دو هسته ای هستند که هر تراشه دارای تعداد زیادی ترانزیستور می باشد و خنک سازی آن به مشکل بزرگی تبدیل شد. برای حل این مشکل طراحان کامپیوترا دو یا چند مکان جدا از هم بر روی تراشه در نظر گرفتند و اطلاعات در آنها به صورت موازی جابجا



تراشه ۴ هسته ای شرکت AMD از ۷۵۸ میلیون ترانزیستور تشکیل شده است.

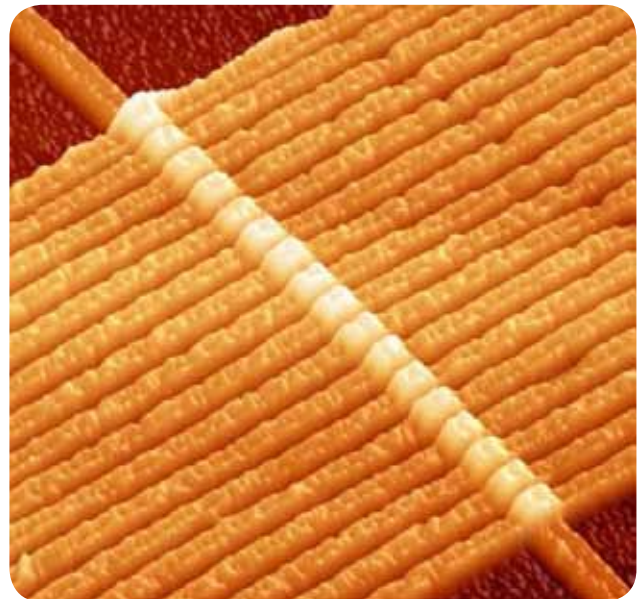
گرمای منجمد یا سرد کردن

رهایی از گرمای تولید شده توسط یک میلیارد ترانزیستور به یک چالش عمده تبدیل شده بود. کامپیوترهای شخصی محفظه ای برای خنک سازی دارند. اما برای این کار بیش از ۱۰۰ وات هدر می‌رود و آنگونه که باید عمل خنک سازی را انجام نمی‌دهد. بنابراین طراحان چاره‌ای دیگر اندیشیده‌اند. شرکت مک بوک ایر از یک روکش استفاده کرده است. این روکش همانند یک چاله عمل کرده و از انتشار گرما جلوگیری می‌کند. شرکت Apple در کامپیوترهای سری G5 خود برای عمل خنک سازی در زیر تراشه پردازنده، میکروکانال هایی به وجود آورده که در آن مایع خنک کننده حرکت می‌کند. مایعات و الکترونیک یک ترکیب نامطمئن را ایجاد می‌کنند؛ علاوه بر این وسایل قابل حمل مانند موبایل جائی برای کانال کشی و یا فن ندارند. گروه تحقیقاتی که زیر نظر شرکت اینتل هستند یک لایه بسیار نازک از تلورید بیسموت ساختند و سطح تراشه را با آن پوشاندند. مواد ترموالکتریک افزایش دما را به الکتریسیته تبدیل می‌کنند که نتیجه آن خنک شدن تراشه به وسیله‌ی خودش است. شرکت ونتیوا در حال کار بر روی محصول پیچیده‌ای است که عملکرد آن به این صورت است: یک محیط پلاسمائی به صورت شبکه‌ای مقعر، انرژی گرمائی گرفته شده را صرف ترکیب یون‌ها در چیزی شبیه گاز کرده



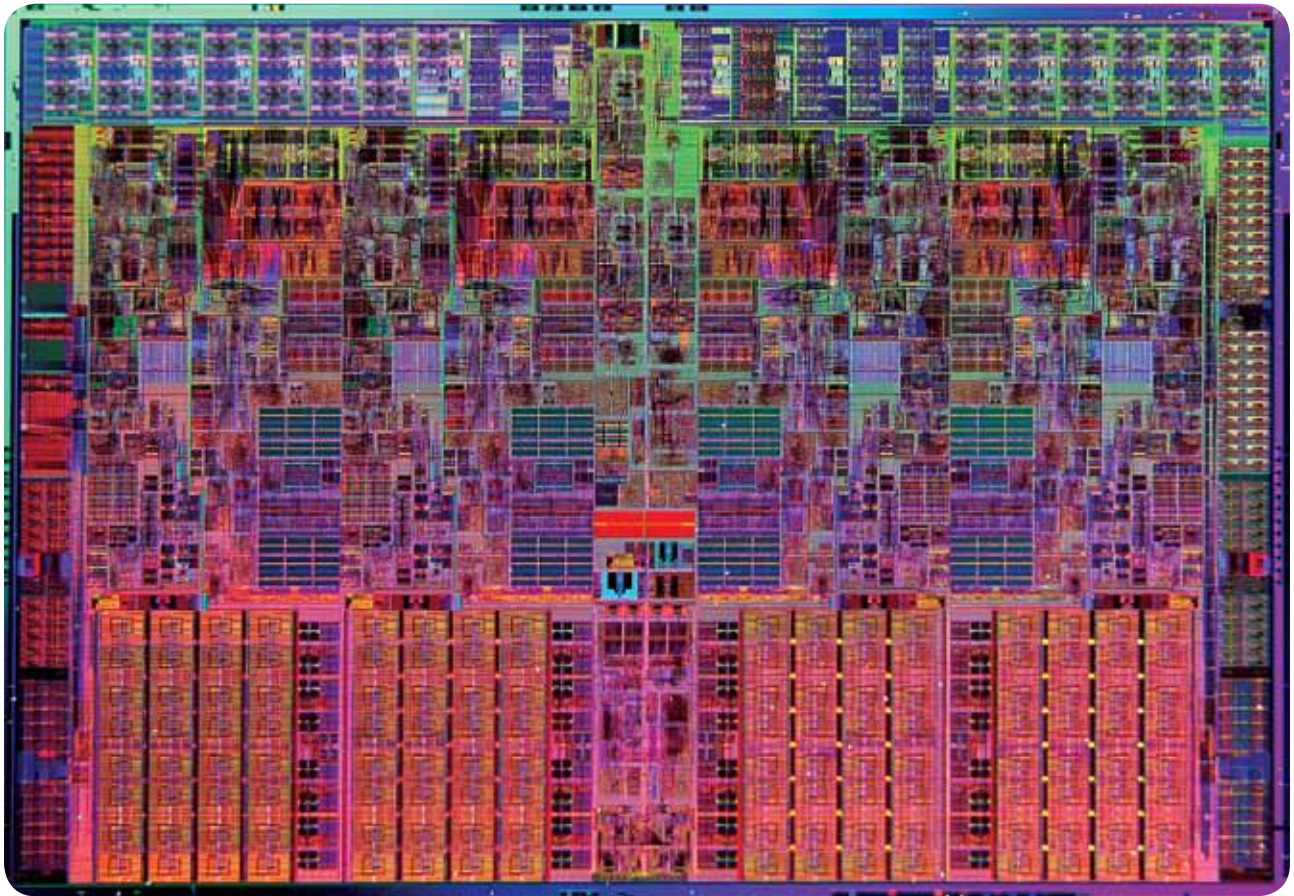
قسمت خنک کننده (مرکزی - طلائی رنگ) ساخته شده از تلورید بیسموت که گرما رابه سرعت از تراشه دور می‌کند. خنک کننده فضای بسیار کمی را اشغال می‌کند و قدرت آن را دارد که گرما را در خود به دام بیاندازد.

شوند. یک لایه ذخیره کننده موقت به ضخامت یک مولکول بین این تقاطع وجود دارد. این تقاطع‌ها که بین دو مجموعه از سیم‌ها می‌شوند. اینها در واقع نماینده صفر و یک هستند و کار ترانزیستورها را انجام می‌دهند. اما ممریستورها توأمی دیگری دارند و آن ذخیره اطلاعات است. این قابلیت‌ها می‌توانند محاسبات پیچیده‌ای را انجام



ممریستور، از هیولت پاکارد، یکی از عناصر مداری جدید می‌باشد که از قطعه‌هایی از نانو سیم‌ها ساخته شده است.

بدهنند. اساساً یک ممریستور می‌تواند کار ۱۰ تا ۱۵ ترانزیستور را انجام دهد. آزمایشگاه هیولت پاکارد نمونه‌ای از آن را ساخته است. این وسیله با سیم‌هایی از جنس تیتانیوم و پلاتین با ۳۰ نانومتر عرض طراحی شده و با استفاده از مواد و روش‌های ساخت نیمه‌هادی بهینه شده‌اند. محققان شرکت بر این باورند هر سیم را می‌توانند تا ۸ نانومتر کوچک کنند چندین گروه تحقیقاتی در حال ساخت ممریستورها از سیلیکون، تیتانیوم و سولفید نقره هستند.



پردازنده i7 اینتل دارای چهار هسته است. انجام کارها به صورت موازی در سیستمهای چند هسته ای باعث تسريع در انجام محاسبات می شود.

دهندگان نرم افزاری بتوانند برای مصرف کنندگان قرار دهند. محققان شرکت مایکروسافت، برای مثال، زبان برنامه نویسی F# را ارائه دادند. جدیدترین زبان برنامه نویسی، Erlang، از شرکت سوئدی اریکسون که از دو زبان جدید clojure و scala الهام گرفته. دانشگاه ایلینوی آمریکا برنامه نویسی موازی برای تراشه های چند هسته ای دنبال می کند. اگر این دیدگاهها تکمیل شوند، وسایل قابل حمل و ثابت می توانند شامل ۱۲ یا تعداد بیشتری پردازنده ای موازی شوند. بنابراین اگر تراشه ها از فناوری چند هسته ای استفاده کنند علاوه بر این که از ترانزیستورهای کمتری استفاده می شود، کارها نیز سریعتر انجام می شوند.

ظرافت مواد: نانو تیوب ها و مواد خود اتصال

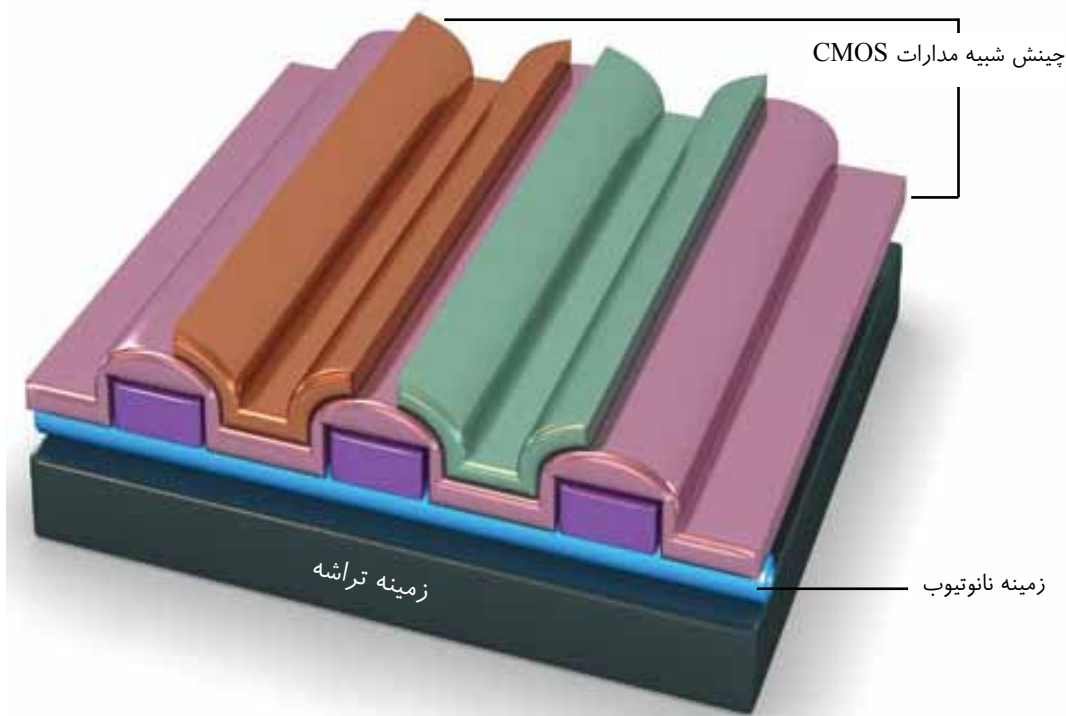
در یک دهه گذشته، صاحب نظران در زمینه نانوتکنولوژی این فناوری را به عنوان راه حلی برای تمام چالش ها در پزشکی، انرژی و صد البته در طراحی مدارات مجتمع دانسته اند. افراد آگاه در زمینه الکترونیک معتقدند که صنعت ساخت نیمه هادی، که تراشه ها را می سازد، به خاطر نظمی که در نانو تکنولوژی وجود دارد، می تواند ترانزیستورهای کوچکتری تولید کند. انتظار بالاتری وجود دارد و آن این است که مهندسان بتوانند مولکول ها را طراحی کنند. به طور مثال ترانزیستورهایی که از نانو تیوب های (نانو لوله های) کربن ساخته می شوند میتوانند خیلی کوچک باشند. مهندسان شرکت آی‌بی‌ام (IBM) در مدارات CMOS به جای استفاده از سیلیکون از کربن استفاده کردند. جرج آپنیزلر از گروه تحقیقاتی شرکت آی‌بی‌ام، هم اکنون در دانشگاه پردو آمریکا در حال ساخت ترانزیستورهای بسیار کوچکتر و کارآمدتر از دستگاههای CMOS است، که بهتر

و مولکول های ایجاد شده هوا را جابجا می کنند این جابجایی باعث خنک شدن تراشه خواهد شد. این نوع خنک کننده ها باد بیشتری نسبت به نمونه های مکانیکی آن تولید می کنند در حالیکه خیلی کوچکتر هستند. یک گروه دیگر از مخترعان موتور استریلینگ را معرفی کردند، این نوع فن ها که هنوز مقداری حجم هستند از اختلاف دمای بین ناحیه گرمائی و سرمائی تراشه استفاده میکنند بدون اینکه از الکتریسیته استفاده کنند.

ساختار: چند هسته ای

کوچکترین ترانزیستورها می توانند بین خاموش و روشن شدن که نمایانگر صفر و یک است، سوئیچ بزنند. هر چه این عمل سریعتر انجام شود، تراشه سریعتر خواهد بود. اما اگر نرخ سرعت کلاک به ۳ تا ۴ گیگاهرتز برسد، تراشه به بالاترین درجه گرمائی خود می رسد. میل برای کارائی بهتر، گرمای کمتر و سرعت بیشتر، طراحان را به سوی ساخت تراشه های دو هسته ای هدایت کرد. هر هسته به اندازه پردازنده های قبلی سرعت دارد، اما زمانی که دو هسته به صورت موازی کار کنند، اطلاعات بیشتری را می توانند پردازش کنند. علاوه براین الکتریسیته کمتری مصرف و گرمای کمتری تولید می شود. کامپیوترهای جدیدتر امروزی از فناوری چهار هسته ای استفاده می کنند، مانند پردازنده i7 اینتل و فنوم X4 شرکت AMD. ابر کامپیوترهای قدرتمند جهان هزاران هسته در بر دارند. اما برای مصرف کنندگان عادی پردازنده های چند هسته ای کافی است و به طور موثر کار آنها را انجام می دهد. پایه و اساس پردازش و خروجی اطلاعات به صورت موازی برای ابر کامپیوترها بین سال های ۱۹۸۰ تا ۱۹۹۰ بناهاده شد، بنابر این چالشی وجود داشت و آن ساختن زبان و وسایلی بود که ارتقا

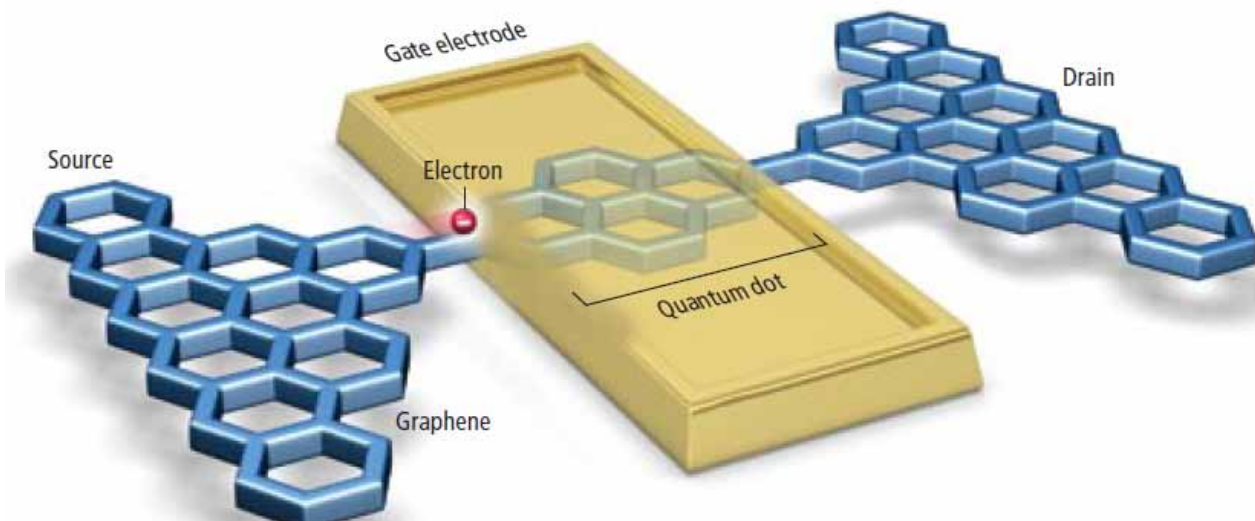
میکروچیپ ها در ۲۰ سال آینده



زمینه نوسانساز مدار ساخته شده از نانوتیوب های کربن است که مواد مدار را به هم متصل می کند. یک طرح خیلی ساده از ترانزیستور در نظر بگیرید: یک قالب مستطیلی شکل، با لایه ای از آلومینیم (یا مواد جدیدتر مانند پلی سیلیکون) در بالا، یک لایه عایق اکسیدی در وسط و یک لایه هدایتگر سیلیکونی در پائین. گرافین (یک شکل جدید از مولکول کربن) یک صفحه صاف از شش ضلعی های تکرار شده است، که فقط به اندازه ای یک اتم ضخامت دارد. لایه های گرافین از ماده ای معدنی گرافیت (ماده استفاده شده در مداد) گرفته می شوند. در شکل کریستالی پالایش شده، گرافین الکترون ها را سریعتر از مواد دیگر در دمای اتاق جابجا می کند. ترانزیستورهای گرافینی خیلی بیشتر از ترانزیستورهای اثر میدان (FET) کار انجام می دهند. برای جابجایی الکترونها انرژی خیلی کمی هدر می رود. همچنین گرمای کمتری تولید می شود. دانشمندان به تازگی توانسته اند گرافین را از

می توانند از پایه های نانوتیوب بهره برداری کند. آرایش مولکول ها یا حتی اتم ها می توانند خیلی مهارت نیاز داشته باشد مخصوصا زمانی که نیاز است در حجم بالا تولید شوند. یک راه حل وجود دارد و آن خود اتصالی مواد است: ترکیب شدن با یکدیگر به وسیله گرما، نور و یا نیروی گریز از مرکز و آرایش دادن خودشان بر طبق الگوی پیش بینی شده. شرکت آئی بی ام چگونگی ساخت مدارات حافظه دار را به نمایش گذاشت که در آن از نوعی چسب پلیمری که بر اساس نیروهای جاذبه شیمیایی کار می کند، استفاده شده است.

ترانزیستورهای سریعتر : لایه های بسیار باریک گرافین
منطقی که اطلاعات را پردازش می کند از ترانزیستورهای اثر میدان(FET) (ساخته شده با تکنولوژی CMOS هستند) استفاده



ترانزیستور گرافینی، ساخته شده در دانشگاه منچستر انگلیس، فقط به اندازه ای یک اتم ضخامت دارد. کوانتوم دات (ذره نشاندار) فقط اجازه می دهد که یک الکtron از سورس به درین جابجا شود که نشان دهنده صفر یا یک است.

و سیلیکون و با روش های ساخت ادوات نیمه هادی هستند. (شکل زیر) البته محاسبه گرهای نوری هنوز هم نیاز به تکامل و پیشرفت دارند.

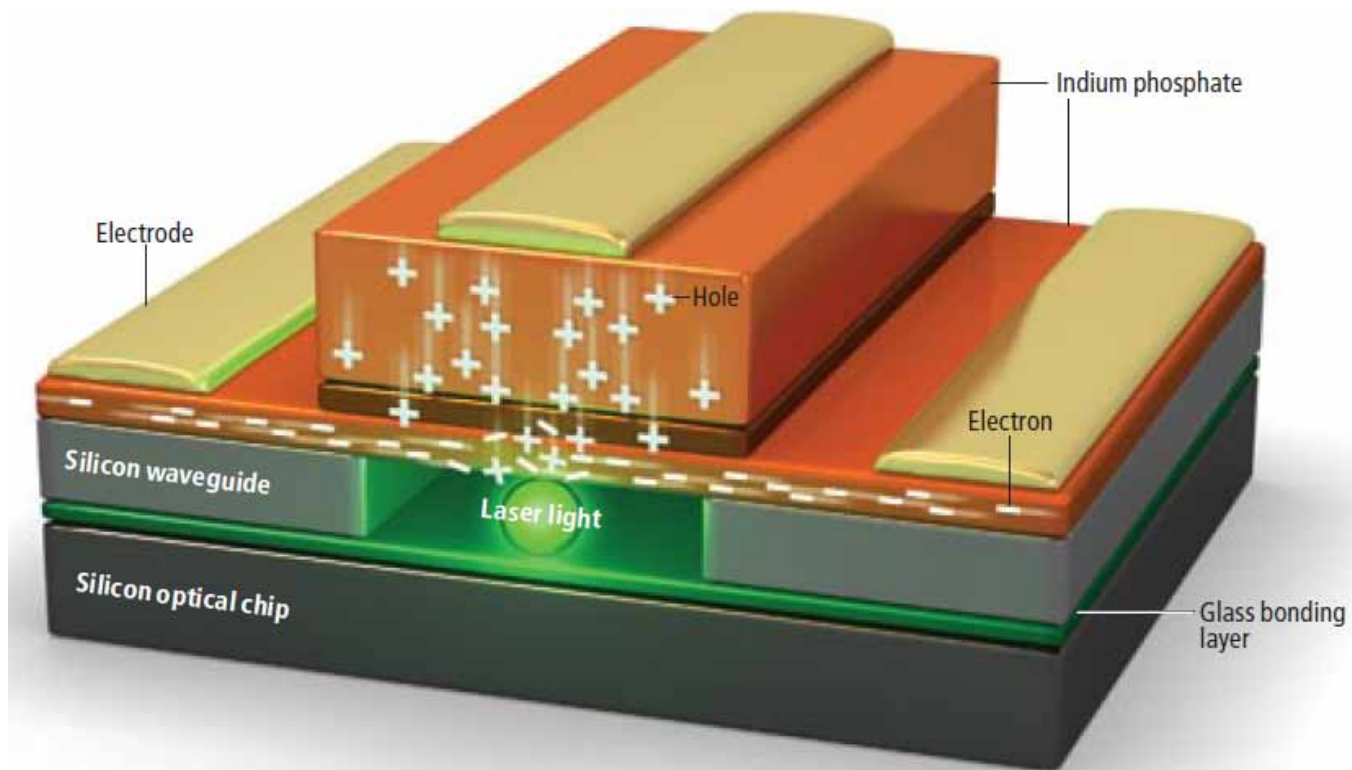
محاسبه گرهای مولکولی : منطق ساختاری

در محاسبه گرهای مولکولی، به جای اینکه ترانزیستورها صفر و یک را نشان دهنده مولکول ها این کار را انجام می دهند. البته اگر مولکول ها زیستی باشند، مانند DNA. در زمرة محاسبه گرهای زیستی قرار می گیرند. واضح است که مهندسان ترجیح می دهند محاسبه گرها با مولکول های غیر زیستی مانند مولکول های منطقی یا مولکترونیک ساخته شوند. ترانزیستورهای کلاسیک دارای سه قسمت می باشند(شکلی همانند Y در نظر بگیرید): سورس، گیت و درین. اعمال ولتاژی گیت (قسمت پائینی Y) باعث می شود که الکترون ها بین سورس و درین جریان پیدا کنند و صفر و یک ایجاد شود. مولکول ها با ساختاری منشعب مانند، در تئوری، می توانند باعث جریان پیدا کردن سیگنال ها در راههایی مشابه ترانزیستورها شوند. ده سال پیش محققان در دانشگاه بیل اند رایس آمریکا مولکولی از بنزن که توانایی سوئیچ زدن داشت ساختند. مولکول ها می توانند خیلی کوچک باشند؛ بنابراین مدارات ساخته شده با آنها می توانند خیلی کوچکتر از همان مداراتی باشند که از سیلیکون ساخته می شوند. یک مشکل وجود دارد: آیا راهی وجود دارد که به وسیله آن بتوان مدارات پیچیده را ساخت؟ محققین امیدوارند که فناوری خود اتصال بتواند پاسخی به این سوال بخشد. در اکتبر ۲۰۰۹ تیمی تحقیقاتی از دانشگاه پنسیلوانیا با استفاده از فناوری خود اتصالی مواد

گرافیت جدا سازی کنند، بنابراین هنوز برای کار خیلی جای پیشرفت دارد، محققان مطمئنند که آنها می توانند ترانزیستور های گرافینی را که فقط ۱۰ نانومتر طول و یک نانومتر ارتفاع دارند، بسازند. احتمالا در آینده خیلی از مدارات می توانند به وسیله لایه های کوچک گرافینی، سیگنال ها را در فاصله کوچکتری جابجا کنند.

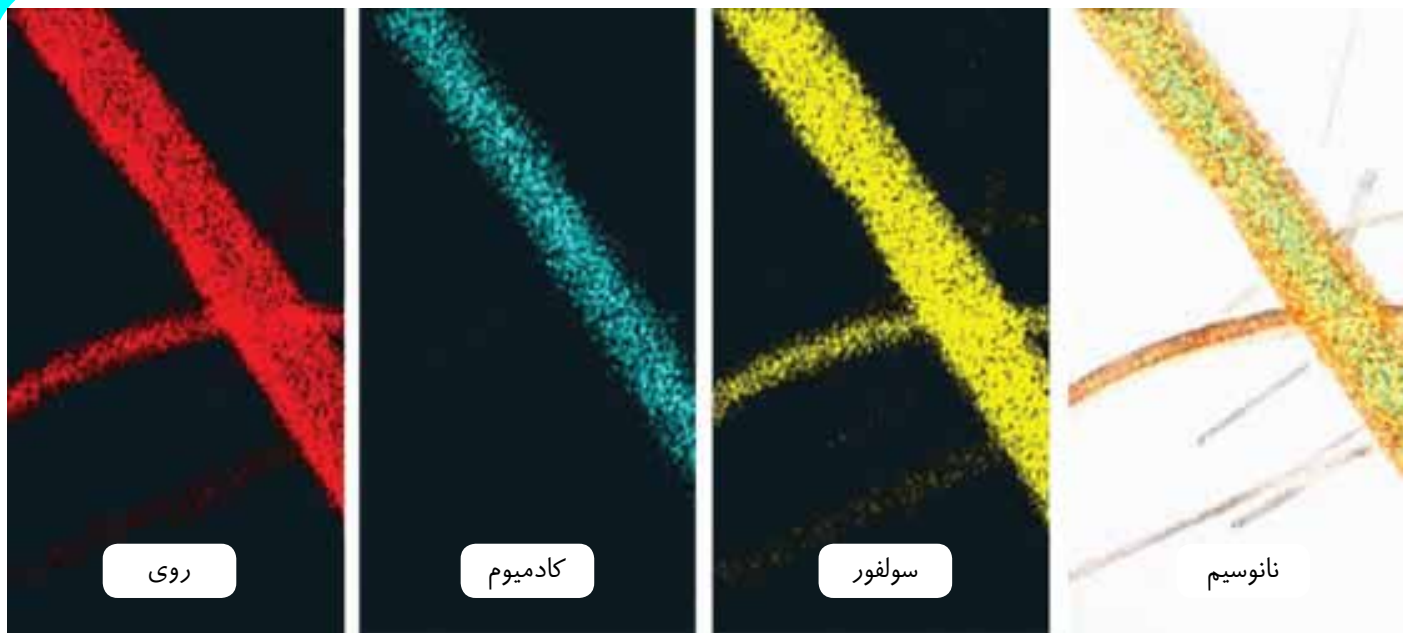
محاسبه گرهای نوری: سرعتی برابر سرعت نور

جایگزین هایی که تاکنون برای تراشه های سیلیکونی گفته شد به نظر می رسد تا یک دهه آینده نمی توانند وارد بازار شوند. اما قانون مور به احتمال زیاد با طرح های محاسباتی کاملاً متفاوت اجرا خواهد شد. در محاسبه گرهای نوری، الکترون ها اطلاعات را جابجا نمی کنند، فوتون ها این کار را انجام می دهند. اگرچه کنترل نور خیلی سخت تر می باشد. یکی از پیشرفت های ترین تلاش ها، به هم وصل کردن تراشه های چند هسته ای است؛ مقدار زیادی از اطلاعات که هسته ها پردازش می کنند باید در سیم های تنگ موازی و الکترونیکی جابجا شوند. جابجایی فوتون ها می تواند روند گردش اطلاعات را افزایش دهد. محققان آزمایشگاه هیولت پاکارد (HP) در حال ارزیابی طرحی هستند که می تواند دو برابر اطلاعات را جابجا کند. دیگر گروه ها در حال کار بر روی اتصالات نوری هستند که می تواند جایگزین سیم های مسی کند شود. سیم های مسی هم اکنون تراشه پردازند DVD را به دیگر قطعات درون کامپیوتر مانند کارت حافظه و ROM متصل می کنند. مهندسان شرکت اینتل و دانشگاه کالیفرنیا (سانتا باربا) در حال ساخت لوله های داده نوری از فسفات ایندیوم



تراشه نوری می تواند سریع محاسبات را انجام دهد. اگر کنترل کننده ای درونی داشته باشد، الکترون ها و چاله ها (بارهای مثبت) را در لایه ایندیوم فسفات برای تولید نور بین هدایتگرهای سیلیکونی و بالاتر از لایه شیشه ای ترکیب می کند.

میکروچیپ ها در ۲۰ سال آینده



نانو سیم های روی، کادمیوم و سولفور با استفاده از فناوری خود اتصالی مواد، ترکیب می شوند و سیمی ضخیم تر مناسب برای مدار را به وجود می آورند.

دیگر بچرخد نمایانگر صفر یا یک خواهد بود. هر دو حالت چرخش می توانند بر روی یک الکترون برقرار شوند. به هر حال، این ساختار به گونه ای است که صفر و یک بر هم منطبق هستند. با وجود جهت های منطبق بر هم، الکترونها می توانند اطلاعات بیشتری نسبت به ترانزیستورهای سیلیکونی (که فقط در یک جهت کار می کنند) به نمایش بگذارند. یکی دیگر از دیدگاهها به وسیله دانشگاه مریلند و موسسه ملی استاندارد و فناوری پیگیری می شود. در این روش رشته یون ها بین محل شارژ شده و لیزر قرار می گیرد سپس یون های مغناطیسی جهتگیری می کنند (همان بیت های کوانتموی را ایجاد می کند). مکان های اطلاعاتی که با عبور از بیت های کوانتموی به هم متصل شده اند، راه قدرتمندی را برای پردازش اطلاعات و انتقال آن از مکانی به مکان دیگر در اختیار ما می دهد.

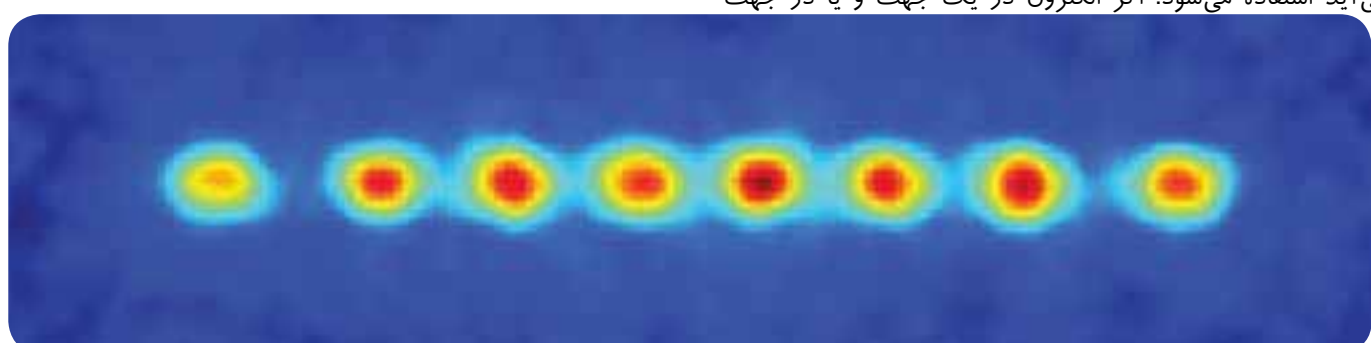
روی و کادمیوم و سولفور را به ماده ای نیمه هادی تبدیل کردند. در این صورت مدارات ساخته شده فقط از واکنش های شیمیائی استفاده می کنند.

محاسبه گرهای کوانتموی: انطباق صفر و یک

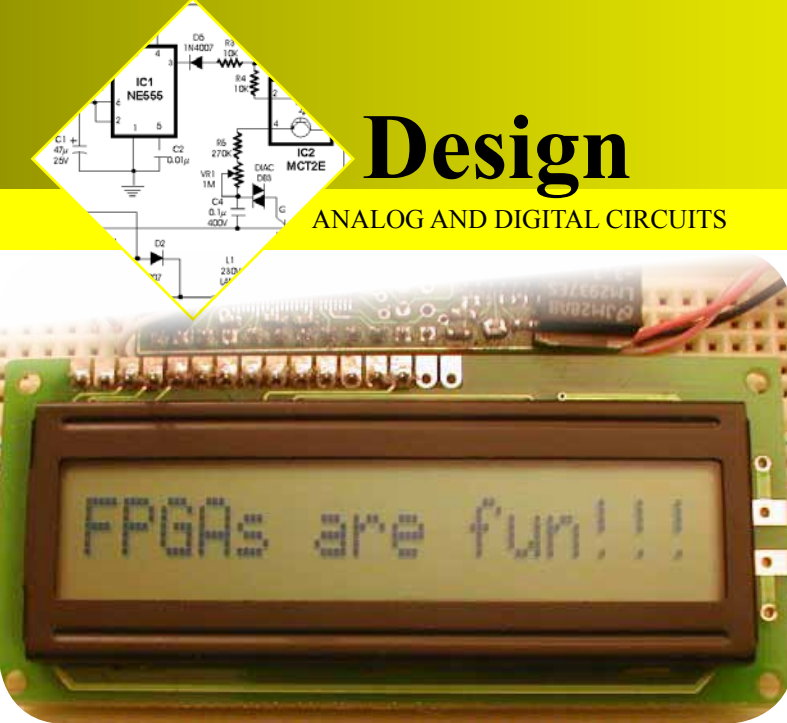
اتم های تشکیل دهنده عناصر مداری، الکترونها و حتی فوتون ها ممکن است خیلی کوچک باشند. در این ابعاد، ارتباط بین عناصر توسط قوانین مکانیک کوانتموی برقرار می شود. محاسبه گرهای کوانتموی می توانند به طور باور نکردنی کوچک و سریع باشند؛ اما ساخت آنها و برقرار کردن تاثیرات کوانتموی می تواند مشکلاتی را به وجود آورد. اتم ها و الکترون ها دارای ویژگی هایی هستند که می توانند در جاهای مختلفی وجود داشته باشند و به صورت بیت کوانتموی عمل کنند. چندین دیدگاه در حال بررسی بیت های کوانتموی هستند. یکی از دیدگاه ها، اسپینترونیک نامیده می شود، از الکترون ها که به وسیله نیروی مغناطیسی در یکی از دو جهت به چرخش در می آید استفاده می شود. اگر الکترون در یک جهت و یا در جهت

منبع : Scientific American 2010

مترجم : محمد امین عبدالله
m_a_a_1370@yahoo.com



رشته های شناور یون های کلسیم در محفظه خلا می تواند محاسبات کوانتموی را انجام دهد.



اتصال LCD کارکتری به FPGA

در این نوشته قصد داریم نحوه اتصال LCD کارکتری به FPGA را شرح دهیم. استفاده از LCD در مدارات الکترونیک صنعتی به خاطر مصرف کم انرژی و قابلیت استفاده از متن (TEXT)، برای رساندن پیام بسیار مرسوم است.

ساختار LCD کارکتری

یک LCD با دو خط و ۱۶ کارکتر نیاز به تعداد ۱۶ پایه دارد که به شرح زیر می‌باشد:

۱- تعداد ۸ پایه برای ارسال و دریافت اطلاعات

۲- یک پایه EN برای فعال کردن LCD که بصورت ACTIVE HIGH می‌باشد.

۳- یک پایه RS که وظیفه تعیین حالت عملکرد رجیستر داخلی LCD را بر عهده دارد. اگر این پایه ۱ شود اطلاعات ورودی به عنوان داده (data bytes) در نظر گرفته می‌شوند و در صورت صفر شدن اطلاعات بصورت فرمان‌های قابل استفاده در LCD در نظر گرفته می‌شوند (command bytes).

۴- یک پایه R/W که برای تعیین نوشتن و یا خواندن از LCD بکار می‌رود. در صورت ۱ شدن پایه LCD در مد خواندن و در صورت صفر شدن پایه LCD در مد نوشتن قرار می‌گیرد.

۵- دو پایه برای تغذیه داخلی LCD

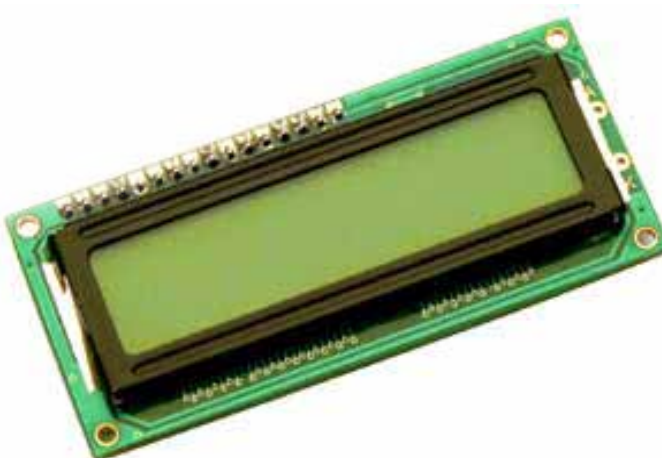
۶- یک پایه برای تنظیم روشنایی LCD

۷- دو پایه برای روشن کردن نور پس زمینه LCD

کد HDL طرح

ابتدا باید پایه‌های مورد استفاده را تعریف کنیم:
module LCDmodule(clk, RxD, LCD_RS, LCD_E,
LCD_DataBus);

- : از این پایه بعنوان ورودی کلک مدار استفاده می‌کنیم.
- : پایه دریافت اطلاعات از پورت سریال RxD •
- : جهت اتصال و کنترل پایه RS به کار می‌رود.
- : LCD_RS •
- : جهت اتصال و کنترل پایه فعال ساز LCD_E •
- : بس دیتا جهت تبادل اطلاعات با LCD_DataBus •



PIN	SYMBOL	DESC
1	Vss	Ground for Logic
2	Vdd	Power Supply for Logic
3	Vo	Power Supply for LCD
4	RS	Register Selection (H: Data, L: Instruction)
5	R/W	Read/Write Selection (H: Read, L: Write)
6	E	Enable Signal
14-7	DB0 – DB7	Data Bus Lines
15	A	BKL +
16	K	BKL -

اتصال LCD کارکتری به FPGA

به کد زیر توجه کنید:

```
reg LCD_E;
always @(posedge clk)
if(LCD_E==0)
LCD_E <= Received_Data;
else
LCD_E <= (count!=6);
```

در این کد در هر لبه بالا رونده از کلاک ورودی دو حالت بررسی می شود:

۱- اگر پایه EN هنوز فعال نشده باشد آنگاه وضعیت وایر که در صورت رسیدن اطلاعات از نوع نمایشی پایه EN نیز فعال می شود.

۲- اگر پایه EN قبلاً فعال شده باشد (یعنی اطلاعات نمایشی بر روی بس دیتا قرار دارد)، در این صورت بررسی می شود که رجیستر شمارنده به ۶ رسیده است یا خیر. در صورت رسیدن به عدد ۶ مقدار صفر در پایه EN قرار می گیرد و آنرا غیر فعال می کند. نکته: در مدار نمونه از فرکانس ۲۵ مگاهرتز استفاده شده است که برای ۶ پالس حدود ۲۴۰ نانو ثانیه پایه EN فعال می شود.

بخش دوم : دیتای کنترلی

در این مرحله باید فرایند مرحله قبل را برای دیتای کنترلی اعمال کنید.

```
reg LCD_instruction;
always @(posedge clk)
if(LCD_instruction==0)
LCD_instruction <= Received_Escape;
else
LCD_instruction <= (count!=7);
assign LCD_RS = ~LCD_instruction;
```

ابتدا LCD_instruction را از نوع رجیستر تعریف می کنیم. از این رجیستر جهت اتصال به پایه RS از LCD استفاده می شود. همانطور که قبله گفتیم این پایه تعیین می کند که دیتای دریافت شده از نوع نمایشی است و یا از نوع فرمانی.

در این کد در هر لبه بالا رونده از کلاک ورودی دو حالت بررسی می شود:

۱- اگر LCD_instruction هنوز فعال نشده باشد آنگاه وضعیت وایر Received_Escape به LCD_instruction متنقل می شود. نتیجه این کار این است که در صورت رسیدن اطلاعات از نوع فرمانی، پایه LCD_instruction نیز فعال می شود.

اگر پایه LCD_instruction قبلاً فعال شده باشد (یعنی اطلاعات فرمانی بر روی بس دیتا قرار دارد) در این صورت بررسی می شود که رجیستر شمارنده به ۷ رسیده است یا خیر. در صورت رسیدن به عدد ۷ مقدار صفر در پایه LCD_instruction قرار می گیرد و آن را غیر فعال می کند.

نکته: در اینجا شمارنده باید ۷ کلاک شمرده باشد تا پایه LCD_instruction غیر فعال شود. یعنی یک کلاک بیشتر از

در این مرحله نوع ورودی یا خروجی پایه ها را تعیین می کنیم:

```
input clk, RxD;
output LCD_RS, LCD_E;
output [7:0] LCD_DataBus;
```

در این مرحله، مازول ارسال و دریافت اطلاعات بصورت سریال را که در مجله نویز شماره ۳ به آن پرداخته شد، به این طرح متصل می کنیم:

```
wire RxD_data_ready;
wire [7:0] RxD_data;
async_receiver_deserializer(.clk(clk), .RxD(RxD), .RxD_data_
ready(RxD_data_ready), .RxD_data(RxD_data));
```

خط اول RxD_data_ready را بصورت وایر تعریف می کند. از این وایر برای کنترل آماده بودن دیتا در مازول دریافت استفاده می شود. خط دوم نیز RxD_data را که به عنوان بس دیتا جهت اتصال به مازول می باشد را به صورت وایر تعریف می کند.

خط سوم نیز مازول را به طرح متصل می کند. توجه کنید که کلاک مورد نیاز مازول سریال از طریق پایه CLK مدار تامین می شود.

کنترل دیتا

بخش اول : دیتای نمایشی

ابتدا با این کد دیتای رسیده از سریال را به بس دیتای LCD متصل می کند.

همانطور که می دانید اطلاعاتی که LCD دریافت می کند یا از نوع داده های نمایشی است و یا داده های فرمانی. برای مثال دیتای نمایش یک کارکتر ارسال شده است و یا دیتای فرمان پاک کردن LCD برای تشخیص اینکه داده ها از نوع نمایشی است و یا فرمانی از کد زیر استفاده می کنیم:

```
wire Received_Escape = RxD_data_ready & (RxD_data==0);
wire Received_Data = RxD_data_ready & (RxD_data!=0);
```

خط اول تعیین می کند که داده ها از نوع فرمان هستند و خط دوم داده های نمایشی را تشخیص می دهد.

پس از نوشته شدن اطلاعات بر روی بس LCD باید پایه EN از LCD به مدت چند نانو ثانیه در حالت اکتیو قرار گیرد. برای این کار، یک رجیستر شمارنده تعریف می کنیم و با استفاده از آن مدت زمان مورد نیاز جهت اکتیو کردن پایه EN را تامین می کنیم. به کد زیر توجه کنید:

```
reg [2:0] count;
always @(posedge clk) if(Received_Data | (count!=0)) count
<= count + 1;
```

این کد تعیین می کند که در صورت رسیدن دیتا از نوع نمایشی رجیستر شروع به شمارش کند.

اتصال LCD کارکتری به FPGA

```

void main()
{
OpenComm();

// initialize the LCD module
WriteCommByte(0x00); WriteCommByte(0x38); // "Function Set" in 8 bits mode
WriteCommByte(0x00); WriteCommByte(0x0F); // "Display ON" with cursors ON
WriteCommByte(0x00); WriteCommByte(0x01); // "Clear Display", can take up to
1.64ms, so the delay
Sleep(2);

WriteCommByte('h');
WriteCommByte('e');
WriteCommByte('l');
WriteCommByte('l');
WriteCommByte('o');

WriteCommByte(0x00); WriteCommByte(0xC0); // go on second half of LCD
WriteCommByte('w');
WriteCommByte('w');
WriteCommByte('w');
WriteCommByte('.');
WriteCommByte('E');
WriteCommByte('C');
WriteCommByte('A');
WriteCommByte('.');
WriteCommByte('i');
WriteCommByte('r');

CloseComm();
}

```

EN. با این کار تضمین می کنیم که پایه RS یک پالس بعد از EN غیر فعال شود.
نکته: دیتا های از نوع فرمانی با پیشوند 0 شروع می شود. به این معنی که برای ارسال یک بایت فرمان ابتدا 0 ارسال می شود و سپس دیتا ارسال می شود.

نرم افزار

برای ارسال اطلاعات از کامپیوتر به FPGA از پورت سریال استفاده می کنیم. برای برقراری ارتباط با پورت سریال راه های بسیاری وجود دارد. در اینجا یک شبکه کد قرار می دهیم تا با نحوه ارسال اطلاعات آشنا شوید.

در این کد بر نحوه برقراری ارتباط با پورت سریال تأکید نشده است و صرفاً به نحوه ارسال اطلاعات پرداخته شده است.

در خط اول پورت سریال باز می شود. سه خط دیگر نیز LCD را در مد هشت بیتی و روشن بودن نشانه گر کافیگ می کنند و در نهایت فرمان پاک کردن LCD را می فرستند.

دقت کنید چون دیتای فرمانی ارسال می کنیم، قبل از آن 0 را ارسال می کنیم.

خطوط بعدی نیز در سطر اول کلمه "hello" و در سطر دوم عبارت "www.ECA.ir" را نمایش می دهند. و در نهایت پورت بسته می شود.

fazel459@yahoo.com

نویسنده : فاضل اعصامی

پیاده سازی

برای پیاده سازی طرح از مژول IS50 که یک مژول FPGA با چیپ XC2S50-PQ208 استفاده کردیم. می توانید این مژول را روی برد بورد قرار دهید و LCD را به آن متصل کنید.

مجموعه ۱۵ ساله elektor 1995~2009

این مجله یکی از معروفترین و معتبرترین منابع اطلاعاتی برای تمامی مهندسین برق و الکترونیک بوده و هرماه به چند زبان مختلف انتشار می یابد. این مجله پرفروشترین و پرمحتوا ترین مجله الکترونیک در سطح بین المللی بوده که توانسته میلیونها مخاطب را به خود جذب کرده و هر ماه تعداد کسیری از متخصصین این رشته منتظر انتشار نسخه جدید این مجله هستند. محتوای مجلات شامل انواع مدارات الکترونیکی و طراحی آنها به همراه مدارات ۱۰۰۰ ادرصد عملی و جذاب، اخبار و نوآوری های جدید در زمینه الکترونیک، مقالات علمی، نکات کاربردی و فنی و هزاران مطلب دیگر در الکترونیک می باشد. این مجموعه آرشیو ۱۵ ساله این مجلات از سال ۱۹۹۵ تا پایان سال ۲۰۰۹ بوده و به جهت دارا بودن هزاران مدار کاربردی، مطالب علمی و در زمینه الکترونیک می تواند برای شما همانند یک بانک اطلاعاتی عظیم و متنوع در زمینه الکترونیک باشد.



لینک محصول : <http://eshop.eca.ir/link/399.php>

تستر قطعات الکترونیک



یکی از مشکلات موجود بر سر راه طراحان الکترونیک که همیشه باعث اتلاف وقت بسیار زیادی می شود ، خرابی و معیوب شدن قطعات الکترونیکی بوده که هیچ گاه از ظاهر قابل تشخیص نیست و فقط با تست قطعه معیوب می توان از خرابی آن آگاه شد . این دستگاه یک تست کننده چند کاره مخصوص آزمایشگاه ها و جزئی لاینک از تجهیزات طراحان حرفه ای می باشد که دارای امکاناتی جهت تست انواع IC های پر کاربرد خانواده های TTL و CMOS و Op-Amp ، تست LCD های کاراکتری و تست تمامی ترانزیستورهای BJT (PNP و NPN) می باشد و می تواند در کمترین زمان ممکن قطعات را تست و سالم بودن یا خراب بودن قطعه را مشخص نماید .

محصولات محصول :

- » دستگاه تست
- » منبع تغذیه مورد نیاز دستگاه
- » CD شامل آموزش استفاده از دستگاه به همراه دیتا شیت IC های قابل تست
- » دفترچه راهنمای استفاده از دستگاه
- » برگه ضمانتنامه ۱۲ ماهه دستگاه

قطعات قابل تست دستگاه :

- » TTL های پر کاربرد
- » CMOS IC های پر کاربرد
- » Op-Amp های پر کاربرد
- » LCD های کاراکتری (۲۰*۴ ، ۲۰*۱۶)
- » تمامی ترانزیستورهای NPN-PNP

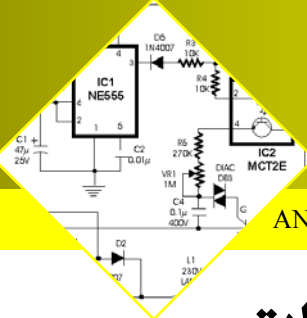
لیست قطعات قابل تست :

TTL ICs : 7400 , 7401 , 7402 , 7404 , 7405 , 7408 , 7409 , 7410 , 7400 , 7412 , 7415 , 7420 , 7421 , 7422 , 7426 , 7427 , 7428 , 7430 , 7432 , 7437 , 7438 , 7440 , 7442 , 7447 , 7448 , 7474 , 7476 , 7483 , 7485 , 7486 , 7495 , 74138 , 74147 , 74148 , 74151 , 74153 , 74173 , 74194 , 74748

CMOS ICs : 4001 , 4002 , 4008 , 4009 , 4010 , 4011 , 4012 , 4013 , 4014 , 4021 , 4023 , 4025 , 4027 , 4042

Op-Amp ICs : 358 , 324 , 3130 , 3140 , 741

لینک محصول : <http://eshop.eca.ir/link/488.php>



اهمیت اتصال زمین در مدارات

رسانا امپدانس محدودی دارد و لزوماً همیشه یک سطح سخت نیست، چون باید نقاط لحیم کاری و via ها با هم مرتبط کند. در صورتی که طراح کم دقت باشد، بوجود آمدن نقاط زمین مشترک در چندین مدار اجتناب ناپذیر است که می تواند باعث ایجاد مشکل شود.

یک تریس ۰،۲۵ آینچی، از مس ۱ اونسی را با طول ۳۲ مایل در نظر بگیرید، که پین های آی سی را به دو سطح رسانای مجزا متصل کرده است. از این تریس یک مبدل آنالوگ به دیجیتال و مدارهای دیگری هم مشترک استفاده می کنند. این تریس مقاومتی در حدود $4\text{m}\Omega$ خواهد داشت. ولتاژ کم ارزش ترین بیت (LSB) در یک مبدل ۱۶ بیتی با دامنه کامل ۵ ولت بر اساس رابطه $5\text{V}/2^{16}$ برابر با ۷۶ میکرو ولت است. این یعنی یک ولتاژ با این دامنه درون تریس می تواند بیت LSB را یک کند. دقت داشته باشید که یک جریان ۱۹ میلی آمپری که توسط مدار دیگری از همان تریس عبور می کند، می تواند این اندازه ولتاژ را برای تحریک LSB ایجاد کند. در صورتی که 24 بیتی باشد، جریان ۷۵ میکرو آمپری همین تاثیر را خواهد داشت. مدارهای چایی امروزی با ۰.۵ اونس مس و تریس های ۸ مایلی کار طراحی PCB را بحرانی تر کرده، به طوری که چایی برای خطای باقی نمی گذارد.

قوانين بنیادی

قوانين بنیادی برای زمین کردن مدار در شکل ۱ به تصویر کشیده است. منظور از "زمین" پتانسیل صفر ولت است که به عنوان مرجع سیگنالها است. در صورتی که سیم زمین امپدانس صفر اهم داشت، "اتصال زمین" هم دارای ولتاژ صفر ولت بود اما متابفانه این امپدانس هیچ وقت صفر نیست. با این حال هنوز هم سیستم هایی وجود دارد که به اندازه کافی به اختلاف پتانسیل زمین از مقدار اصلی آن غیر حساس باشد. در این مدارات از اتصال زمین برای بازگشت سیگنال و توان استفاده می شود. در یک دوره زمانی، این روشی بود که اتومبیل ها را بر اساس آن سیم کشی می کردند.

شکل ۱، یک مدل اجرای به اشتراک گذاری زمین را نمایش می دهد. توجه کنید که خروجی و یا بالاترین میزان جریان کشی (۱۱) باید برای به حداقل رساندن ولتاژ بوجود آمده توسط آن مرحله بر روی سیم زمین، نزدیک ترین مرحله به نقطه مشترک باشد. همچنین توجه کنید که سیگنال ورودی و بازگشت آن، هر دو باید به بلوک ورودی (۳) متصل شده باشند. در شکل، بازگشت داخلی سیگنالها (زمین ها) با خطوط شکسته نشان داده شده است. در صورتی که نقطه بازگشت (زمین) ورودی یا خروجی را در جای دیگری قرار دهیم، نویز طبقات ۱، ۲ و ۳ بر روی سیگنال ورودی قرار می گیرد.

احتمالاً شما بین دو دنیای دیجیتال و آنالوگ بصورت مداوم در حال جابه جا شدن هستید. اما صرف نظر از اینکه بر روی چه پروژه ای در حال کار هستید، همیشه از قوانین زمین کردن حرفه ای پیروی کنید. هیچ گاه حالتی مشابه با "یک زمین بیش از حد کافی" وجود نخواهد داشت.

با وجود مکانیک کوانتومی و تاثیرات آن، می توان گفت که دنیای ما دنیایی آنالوگ است. و بنابراین با وجود شیفتگی ما نسبت به دنیای دیجیتال، ما به واسطه هایی نیاز داریم که نقش پل را در واقعیت آنالوگ بازی کرده و الگوی دیجیتال را به دنیای ما آورده و بازگردد. ممکن است کسی بپرسد: آیا عامل مشترکی وجود دارد که بتواند این دو دنیا را بدون توجه به اختلافات مفهومی آنها به یکدیگر پیوند دهد؟ به نظر من، جواب این سوال زمین کردن است.

چرا زمین کردن اهمیت دارد؟

زمانی که من ۱۰ سالم بود، اولین رادیویی لامپ خلاء خودم را ساختم. ولتاژ ۲۰۰ ولت DC برای من موقعیت یک درس سریع و موثر را در رابطه با برق، علی الخصوص خازن ها فراهم نمود. رادیو به خوبی کار می کرد، اما اغتشاش صوتی 50 Hz که دامنه آن تقریباً به اندازه دامنه خود برنامه بود، باعث آزار من بود. به همین دلیل، به سمت هنر سری زمین کردن پیش رفتم.

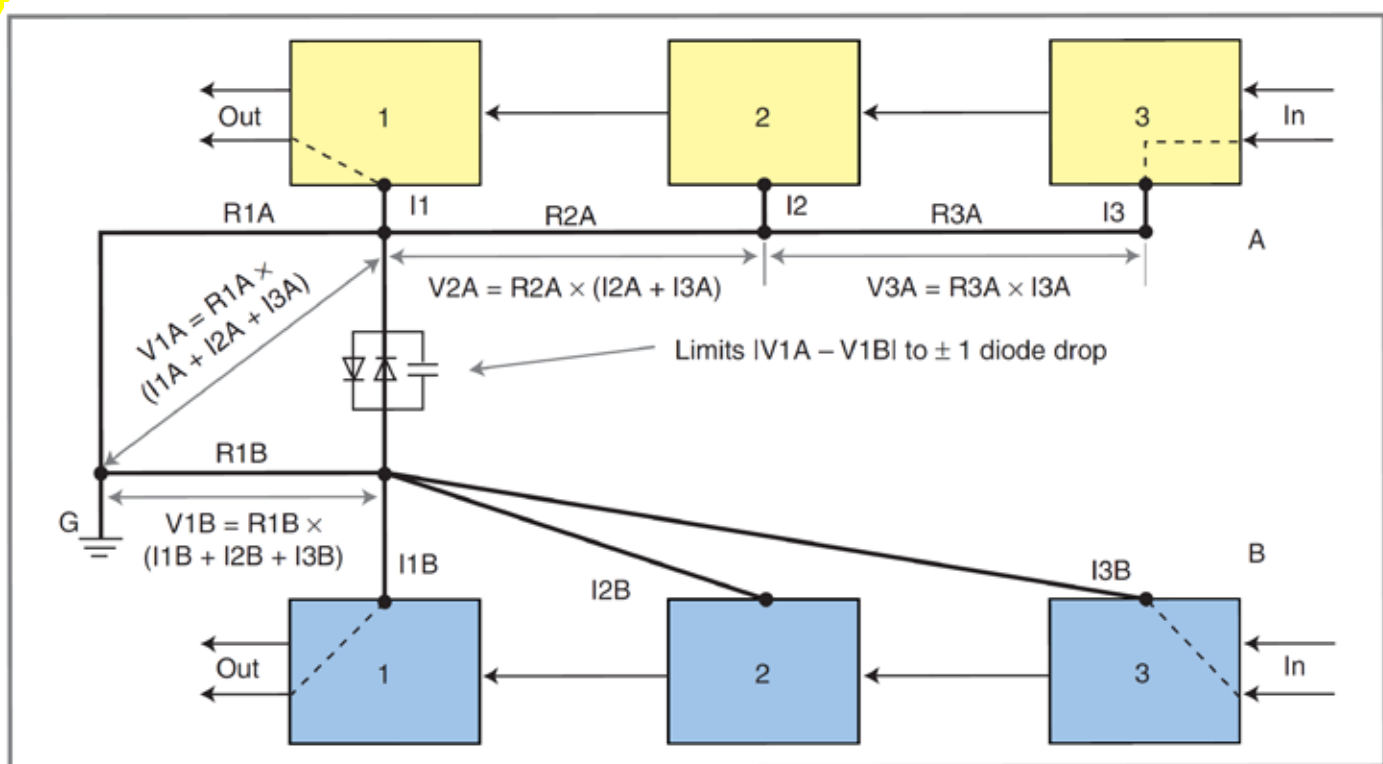
انجام این کار مدتی طول کشید، اما سرانجام، با تمرین و خطأ، مشکل را کشف کردم و نویز فرکانس تصویر ناپدید شد. گرچه بعداً متوجه شدم که کارم مثل اختراع دوباره چرخ بوده، اما درس هایی را در حین این کار آموختم که هیچ گاه از یاد نخواهم برد.

مهندسين فرکانس رادیویی (RF) همواره ملاحظه ویژه ای برای اتصالات زمین دارند. اما برای کسانی مانند ما که با فرکانس های نسبتاً پایین در سیستم های کنترلی و صوتی کار می کنند، ترازیستورها آسودگی بیشتری از لامپ خلاء به ارمغان آورده و مساله ایجاد زمین کم اهمیت تر به نظر می آید. اما این مساله تا زمانی وجود داشت که فرکانس کاری به سطوح رادیویی و مایکروویو رسید، مبدل های آنالوگ به دیجیتال و دیجیتال به آنالوگ از میزان دقت ۸ بیت به ۱۰، ۱۲، ۱۶ و ۲۴ بیت رسیدند و مشتریان بر داشتن امنیت سازگاری مغناطیسی (EMC) و تخلیه الکتریسیته ساکن (ESD) تاکید کردند.

ورود مدارهای چایی چند لایه با سطوح رسانا مشکلات زیادی را کاهش داد، اما در این شرایط باید مفاهیمی را دوباره کشف می کردیم که مهندسین رادیویی آن را پیشتر به طور کامل شناخته بودند: توپولوژی مدار به اندازه هندسه آن اهمیت دارد، و زمین کردن مهم ترین مساله آن است.

معیار کارایی یک سطح رسانا را طراح آن مشخص می کند. سطح

اهمیت اتصال مناسب زمین در مدارات



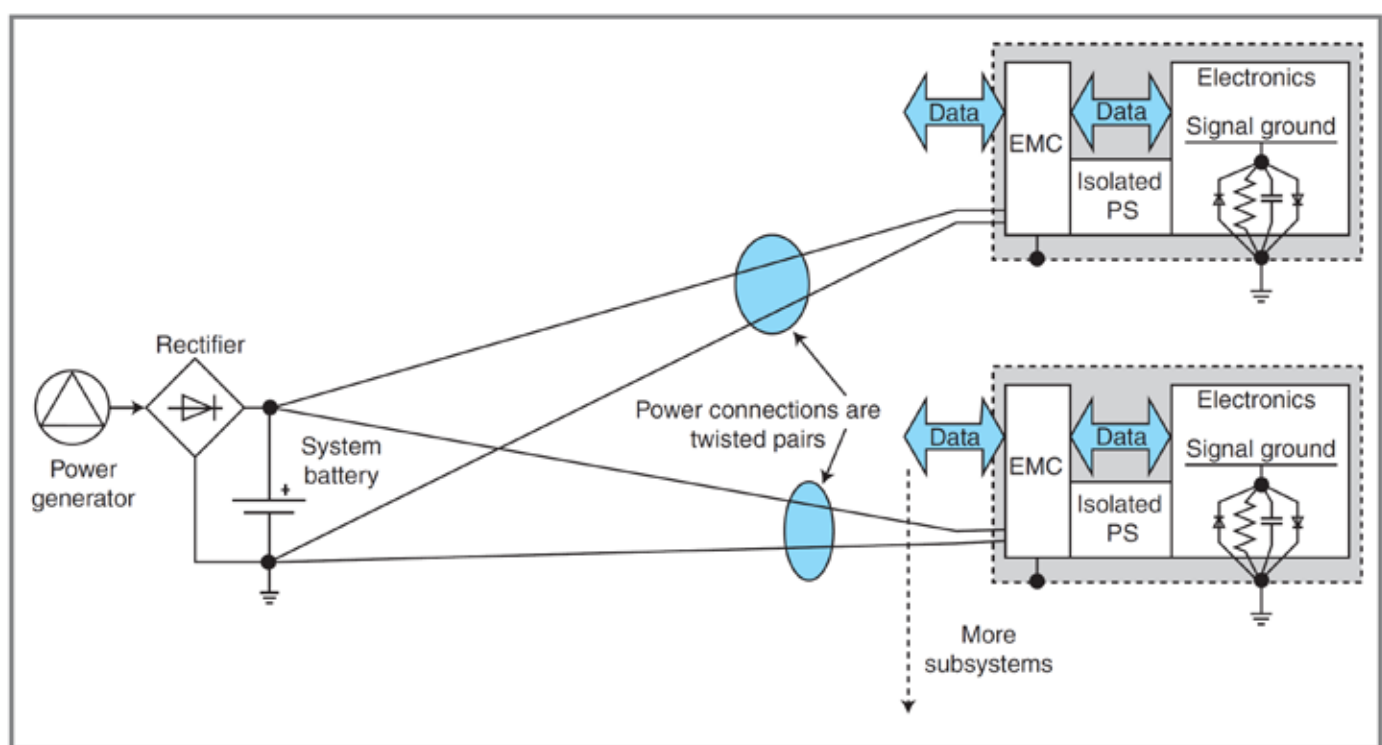
شکل ۱: هردو قسمت A و B روی یک بخش PCB با مینهای جداگانه قرار خواهد گرفت. دیدوها و خازن‌های مابین بخش‌ها، باعث ایجاد محدودیت در اختلاف پتانسیل خواهد شد. خطوط شکسته بلوک‌های ۱ و ۳ نشانگر مرجع زمین غیر متفاوت و رودی و خروجی است.

حلقه‌های زمین و فیدبک های پارازیتی بین تجهیزات الکترونیکی و اتصالات بدن، باید از ترکیب دیود، خازن و مقاومت به صورتی که بیشتر نشان داده شد استفاده شود.

محفظه های دور زیر سیستمها که در شکل با نقطه چین نشان داده شده اند، توسط پیچ یا تسمه به اتصال زمین وصل می شوند. بسیاری از تجهیزات مربوط به دستگاههای خودکار هوایپیما (الکترونیک هوایپیما) امروزه از منابع تغذیه ایزوله استفاده می کنند. برای از بین بردن حلقه های اتصال زمین، نباید هیچ اتصال گالوانیک (برقی) بین زمین برگشت توان و زمین سیگنال داخلی وجود داشته باشد. اما با این حال، برای از بین بردن فیدبک های پارازیتی که بر اثر کوپلینگ های خازنی بوجود می آید اتصال محفظه به سیگنال داخلی واجب است؛ و همان گونه که گفته شد این عمل موجب بوجود آمدن حلقه های اتصال زمین می شود. در هر حال می دانیم که در بعضی از مدل های عماری سیستم، برای جلوگیری از بوجود آمدن حلقه های اتصال زمین، نیاز به سیگنال های زمین مجزای ایزوله شده از اتصال زمین وجود دارد. در چنین شرایطی، برای جبران پارازیت خازنی بوجود آمده در اثر مجاورت محفظه هی فلزی با اجزای داخلی و محافظه های EMI رعد و برق، از ترکیب مقاومت، خازن و دیود (همانطور که در بالا ذکر شد) استفاده می شود. در این شرایط معمولاً از مقاومت در حدود ۱۰ کیلو اهم و خازن کمتر از ۱۰ میکرو فاراد استفاده می شود. ضمناً همان طور که پیشتر هم گفته شد، مقدار خازن مورد نظر را می توان با ترکیب موازی خازن های کوچک تر ساخت، تا برای طیف فرکانس مورد نظر بتواند عمل خنثی کردن را بخوبی به انجام برساند.

شکل ۱۶، رویکردی که اغلب در تجهیزات رادیویی استفاده می شود را نشان می دهد. هیچ به اشتراک گذاری در اتصالات زمین وجود ندارد؛ همه آنها به صورت مجزا به یک گره متصل شده اند. هر کدام از مدارهای A و B می تواند مدار چاپی مختص به خود را داشته باشد و یا بر روی یک مدار چاپی با هم قرار داشته باشند، با این شرط که همانند مدارات آنالوگ و دیجیتال دارای سطوح رسانای مجزا باشند. اتصالات زمین در نقطه G، جایی که اتصال زمین نیز متصل می شود به هم می رسند. در محلی که مقداری سیم سطوح مجزا را به هم متصل می کند، بهتر است از دیودهای سریع سیگنال و خازن به روشنی که در شکل نشان داده شده، بین دو سطح مجزا استفاده شود. در صورتی که هر گونه اختلاف پتانسیلی به علت امپدانس محدود سیم کشی، همانگونه که در شکل ۱ نشان داده شده است، بین سطوح مجزا بوجود آید، توسط این سه بخش، ضعیف شده و برش داده می شوند. توجه داشته باشید که "خازن" عملاً باید ترکیب موازی از تعدادی خازن بسته به کاربرد باشد، تا صحبت عملکرد در سراسر طیف را تضمین کند. معمولاً از این مقادیر خازن ها استفاده می شود:

در سیستم های اینمنی حساس مانند سیستم هوپاپیما که شامل دو یا چند زیر سیستم محصور در پوشش های فلزی اند، مانند آنچه در شکل ۲ نشان داده شده است، تنها جریان ناشی از برخورد رعد و برق و یا تداخلات دیگری که توسط بلوک های EMC بلوک شده اند، مجاز به بازگشت به اتصال زمین هستند. توان را باید از طريق زوج سیم منتقل کرد و کلیه سیم های برگشت در یک نقطه به اتصال زمین وصل می شوند. در صورتی که سیگنال های زمین الکترونیکی اجازه وصل شدن به سیم اتصال زمین را نداشته باشند، که این مساله به ساختار سیستم بستگی دارد، برای جلوگیری از بوجود آمدن



شکل ۲ : ارتباط زیر سیستم برای جلوگیری از حلقه های زمین

بررسید، اما من این عمل را اصلاً توصیه نمی کنم. در کتاب من، هیچ گاه حالتی مشابه با "یک زمین بیش از حد کافی" وجود نخواهد داشت.

نویسنده : George Novacek
Elektor Magazine 2010

منبع :

از قوانین پیروی کنید
تا پیش از این، مدارات دیجیتال به اندازه مدارات آنالوگ حساس به چگونگی زمین کردن نداشتند. اما این مساله دیگر درست نیست. ممکن است که در صورتی که شما با مدارات منطقی و CMOS و مدارات آنالوگ با پهنهای باند کوچک و بهره نسبتاً کوچک کار کنید، بتوانید با شکستن تعدادی از قوانین زمین کردن به نتیجه مطلوب

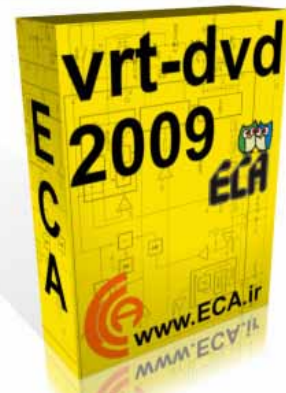
vrt-dvd 2009

electronic components like integrated circuits, transistors, diodes, FETs, thyristors, UJTs
دیتابیسی کامل و عظیم شامل مشخصات این نسخه :

- * over 90.000 diodes
- * over 55.000 FETs
- * over 130.000 transistors
- * over 18.000 thyristors * over 105.000 integrated circuits

نسخه ۲۰۰۹ این مجموعه بر روی DVD ارائه گشته است.

لينك محصول : <http://eshop.eca.ir/link/276.php>

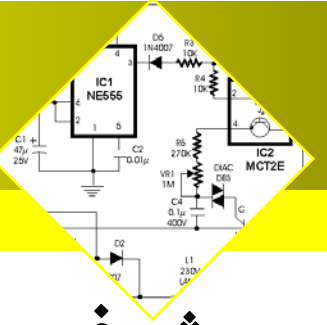


مستند آموزشی ساخت مدارات مجتمع Silicon Run I & II

این مجموعه فیلمی مستند از تمامی مراحل ساخت IC می باشد .
این مجموعه به زبان انگلیسی و در دو قسمت در قالب یک CD ارائه گشته است .

لينك محصول : <http://eshop.eca.ir/link/469.php>





پیشرفت های حاصله ای جدید در کلاس D کاهش یافته و فیلتر خروجی وجود ندارد

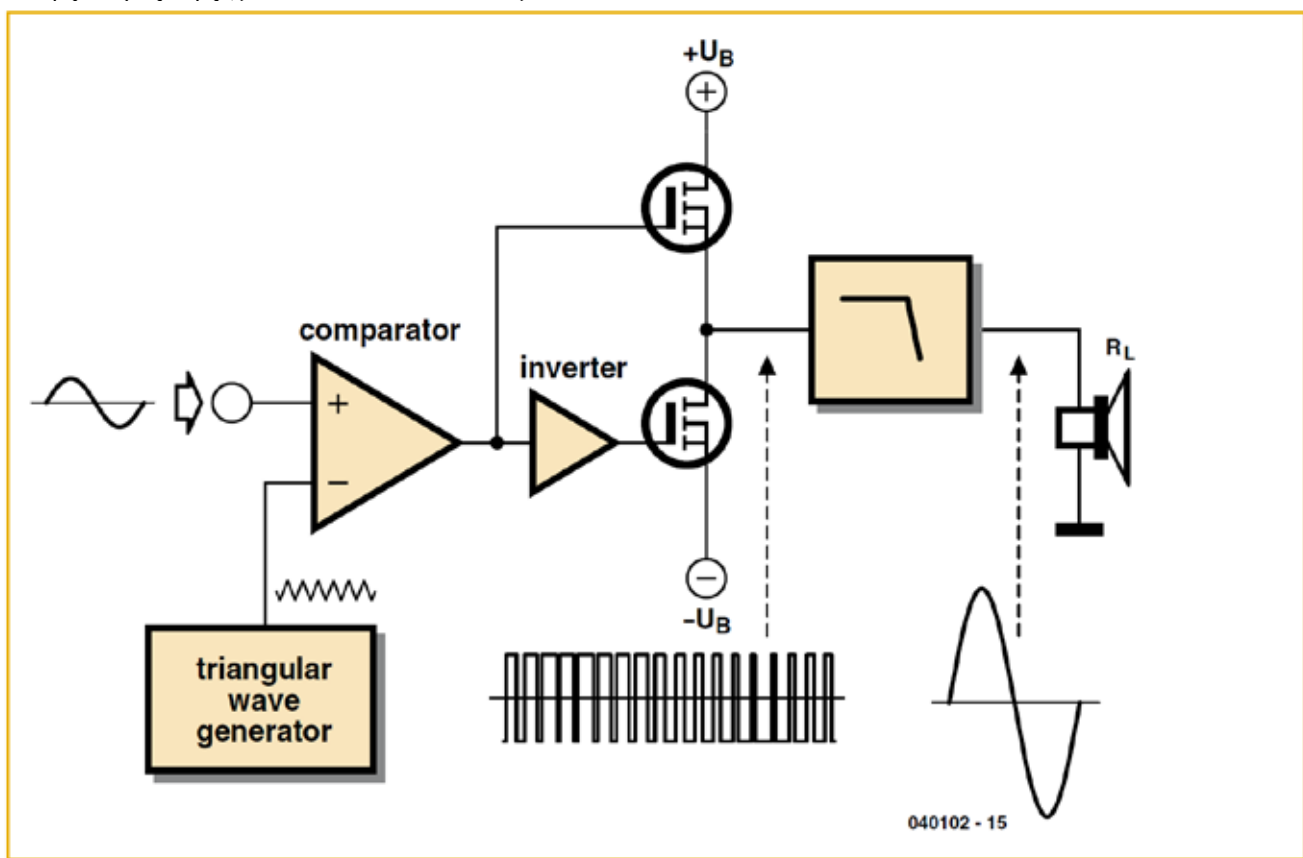
کلاس D

بهتر است ابتدا نگاهی بر چگونگی عملکرد تکنولوژی کلاس D بیندازیم. یک تقویت کننده کلاس D به سادگی سیگنال ورودی را طبق آنچه که هست تقویت نمی کند (رجوع شود به شکل ۱). در عوض از تکنیکی به نام مدولاسیون پهنه ای پالس (PWM) استفاده می کند. ولتاژ خروجی متناسب با پهنه ای پالس می باشد (رجوع شود به شکل ۲). افزایش فرکانس سوئیچینگ، تطابق بین سیگنال خروجی و سیگنال اولیه را بهبود می بخشد. متاسفانه فرکانس های سوئیچینگ بالا همه نوع مشکلاتی را از قبیل تداخل و اتلاف سوئیچینگ بالا می گردد. در نتیجه، فرکانس سوئیچینگ عموماً در بازه ۵۰ KHZ تا ۱.۵MHZ است، بسته به نوع کاربرد مورد استفاده قرار می گیرد.

فاقد فیلتر

به علت تقاضای مداوم بر مدارهایی که هم فشرده تر بوده و هم عملکرد بهتری داشته باشند، تکنیک های مداری که نیاز به فیلتر خروجی ندارند، گسترش یافته اند. مثال مربوطه، تکنیک مورد استفاده در Maxim Max 9700 (رجوع شود به طرح شماتیک

توقفی در پیشرفت تکنولوژیکی از جمله تکنولوژی تقویت کننده (آمپلی فایر) کلاس D وجود ندارد. پیشرفت های حاصله ای جدید، مقدار تداخل الکترومغناطیسی (EMI) را کاهش داده و تقویت کننده را قادر می سازد تا بدون فیلتر خروجی کار کند. متن زیر را بخوانید تا بدانید که چگونه طراحان هوشمند می توانند این کار را انجام دهند. از کارایی های تقویت کننده کلاس D ممنونیم این تقویت کننده ها برای کاربردهای فشرده و قابل حمل ایده آل هستند. هر چند تقویت کننده های کلاس D متداول نیاز به یک فیلتر پایین گذر خارجی دارند تا سیگنال صوتی را از سیگنال مدوله شده پهنه ای باند باز بینی کنند (رجوع شود به قسمت پایین). به علاوه، آنها اغلب موجب مشکلات EMI می شوند و به خصوص سطح اعوجاج (THD+N) جدید چندان خوب نیست. اما در تقویت کننده های کلاس D تکنیک های پیشرفت های مورد استفاده قرار گرفته تا این مشکلات را رفع کرده و نیاز به فیلتر خروجی را از بین ببرد که این امر نه تنها مقدار فضای لازم را بر روی PCB کاهش می دهد بلکه در بسیاری از موارد هزینه های کلی سیستم های فشرده و قابل حمل را کاهش می دهد.



شکل ۱ طرح شماتیک ساده شده تقویت کننده کلاس D

در بلندگو کافی است. هر چند، این امر مستلزم این است که بلندگو در فرکانس سوئیچینگ تقویت کننده مشخصه القایی داشته باشد تا تضمین کند که توان ماکریم قابل دستیابی است.

طیف توان

عموماً تقویت کننده های کلاس D توان نسبتاً زیادی را در فرکانس سوئیچینگ به صورت اشعه ی الکترومغناطیسی ساطع می کند. به علت لبه ای شکل موج پالس در خروجی تقویت کننده، سبب می شود طراحی مداری که بتواند بدون فیلتر خروجی از استانداردهای کاربردی EMI EMC تبعیت کند، امری دشوار باشد.

روشی برای اجتناب از مشکل، استفاده از فرکانس سوئیچینگ "طیف انتشار" است. با این تکنیک، فرکانس سوئیچینگ تقویت کننده به طور تصادفی در بازه ای معینی (مثل ۱۰٪) تغییر می کند. اگر چه این امر باند فرکانسی را که در درون آن تقویت کننده سیگنال های HF را منتشر می کند، وسعت می دهد، با این حال به طرز چشمگیری مقادیر حداکثر را در این باند کاهش می دهد(که در غیر اینصورت اغلب مقدار مجاز ماکریم را افزایش می دهد) و نتیجاً، تقویت کننده درون محدوده ای تشعشعی مجاز باقی می ماند. در اینجا اطمینان از این مسئله اهمیت دارد که چرخه کار سیگنال PWM ثابت بماند زیرا در غیر اینصورت بخش یا تمامی سیگنال صوتی از بین خواهد رفت. به عبارت دیگر مقدار کلی توان در طیف خروجی ثابت می ماند، اما در بازه ای فرکانس گسترده تری منتشر می شود. مقدار حداکثر سیگنال های HF کاهش یافته اند و مقدار EMI انتشار یافته از طریق کابل های بلندگو کمتر است.

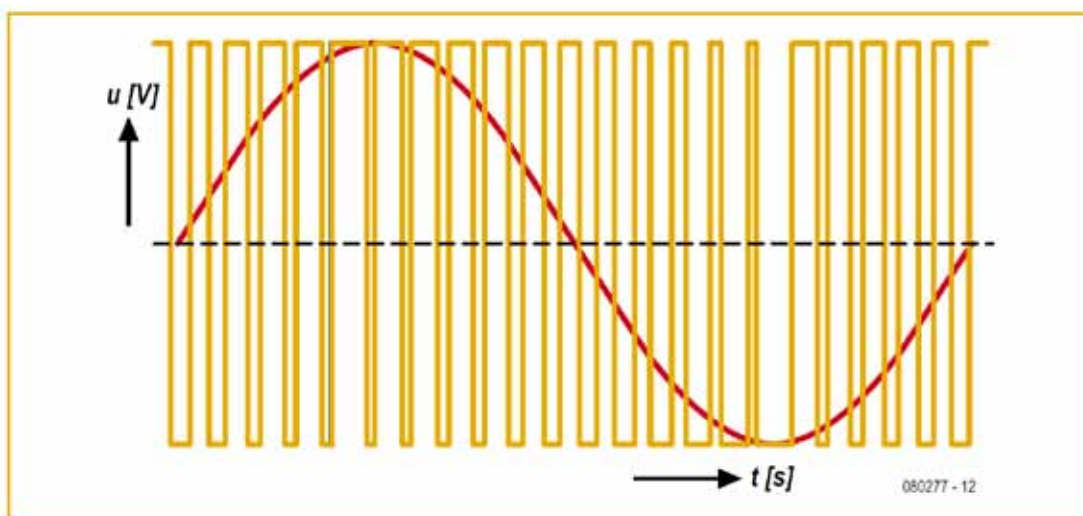
اگر چه مدولاسیون طیف انتشار به طرز چشمگیری EMI را کاهش می دهد، ولی این عیب را دارد که طول کابل بلند گو محدود شده است. مقدار EMI با طول کابل ها افزایش می یابد، در نتیجه طولی نمی کشد که در نقطه ای معین، مدار را از علامت CE تأیید تبعیت نمی کند. در این نقطه، فیلتر لازم است با این وجود که بسیاری از موارد دانه ای فریتی کافی است.

در شکل ۳ می باشد. این تکنیک بدین ترتیب عمل می کند که هر طبقه خروجی پوش-پول (push-pull) مقایسه کننده مخصوص به خود را دارد. بنابرین هر طبقه خروجی را می توان بصورت جداگانه راه اندازی کرد. مقایسه کننده ها (comparator) به وسیله ای سیگنال صوتی دیفرانسیلی و ژنراتور دندان ارهای مشترک راه اندازی شده اند. هنگامی که خروجی های دو مقایسه کننده کم است، دو خروجی تقویت کننده کلاس D هر دو زیاد هستند. همزمان، خروجی گیت NOR R_{ON}/C_{ON} به اندازه t_{ONmin} به وسیله ای شبکه ای RC به تأخیر افتاده گیت NOR از سطح آستانه ای معینی تجاوز می کند، کلیدهای S2 و S1 بسته می شوند. این امر سبب می شود که OUT+ و OUT- هر دو تا شروع فاصله نمونه گیری بعدی کم باشند. در نتیجه، دو خروجی فقط در مدت مینیمم t_{ONmin} فعال هستند. استمرار این مدت از طریق مقادیر C_{ON} و R_{ON} تعیین شده است. اگر سطح سیگنال در ورودی صفر باشد، خروجی های OUT+ و OUT- دقیقا همزمان هستند و پهنه ای پالس t_{ONmin} است. هنگامی که دامنه ای سیگنال صوتی در ورودی تغییر می کند، دو مقایسه کننده در زمانهای مختلفی به کار می افتد. در ترکیب با مدار t_{ON} مینیمم، این امر موجب می شود پهنه ای پالس یکی از خروجی ها تغییر یابد در حالیکه پهنه ای پالس خروجی دیگر به همان صورت باقی می ماند(t_{ONmin}). مقدار میانگین سیگنال موجود در هر خروجی مطابق با نوع یکسو شده ای نیم موج سیگنال صوتی می باشد. اختلاف بین دو مقدار میانگین در خروجی ها، سیگنال صوتی کامل را شکل می دهد.

زمانی که خروجی ها به هنگام صفر بودن سیگنال ورودی، هم فاز هستند، در این شرایط هیچ گونه سیگنال تفاضلی در بار وجود ندارد، مصرف توان حداقل بوده و تمام این کارها بدون نیاز به فیلتر خروجی انجام می گیرد. همچنان مدار از امپدانس بلندگو متصل استفاده می کند. این امپدانس شامل قسمت حقیقی(R_C) و قسمت القایی(L_C) می باشد که زیر وند "e" نشان دهنده ای جزء الکتریکی است. این قسمت ها عملیک فیلتر پایین گذرمربه ای اول را با فرکانس زاویه ای تشکیل می دهند:

$$f_C = 1/(2\pi L_C / R_C) [\text{HZ}]$$

در اکثر بلندگوها این فیلتر مرتبه ای اول برای بازیابی سیگنال صوتی و منع از اتلاف بیشتر توان (حاصل از فرکانس سوئیچینگ بالا)



شکل ۲ : پس از فیلتر کردن، سیگنال موج سینوسی (قرمز) بدست می آید

پیشرفت های حاصله ای جدید در کلاس D

کلاس D که از ERC استفاده نمی کند، دارد. خطاهای موجود در سیگنال صوتی PWM بوسیله ای فیدبک داخلی تصحیح می شوند.

ERC

روش دیگری نیز برای رفع این مشکل وجود دارد. جدیدترین ابداعات طراحی، EMI thdtn و کاهش کارایی، تا حد ممکن تقلیل داده اند. تکنیکی به نام کنترل میزان لبه (ERC) به منظور کاهش بیشتر EMI تولید شده توسط دستگاهی ایجاد شده است. توان فرکانس بالا که از تقویت کننده ای کلاس D خارج شده است، ناشی از لبه های پالس ها در سیگنال خروجی می باشد. هر چه زمان افزایش و کاهش این پالس ها کوتاهتر باشد توان HF بیشتری توسط لبه ها تولید می شود. اگر این زمانها افزایش یافته باشند طوریکه لبه ها در همان شبب نباشند، مقدار توان فرکانس بالای تشعشع یافته کاهش می یابد.

هر چند عملی کردن این ایده چندان آسان نیست. افزایش مدت زمان انتقال می تواند اثری منفی بر عملکرد تقویت کننده داشته باشد. هر چه زمان باقی ماندن مراحل خروجی در حالت بین روشی کامل و خاموشی کامل طولانی تر باشد. توان بیشتری به شکل گرما تلف PWM می کنند که موجب کاهش کارایی می شود. به علاوه سیگنال از شکل موج پالس ایده آل منحرف شده و سبب افزایش اعوجاج (THD+N) می شود.

اگرچه ERC می تواند اثری منفی بر عملکرد تقویت کننده داشته باشد، طراحان مجبور به استفاده از این تکنیک هستند تا طرح هایشان را به منظور دستیابی به کاهش بالقوه EMI بهبود بخشنند. اگر این تکنیک به طور صحیح مورد استفاده قرار گیرد، می توان اتلاف توان و نیز (THD+N) را به حداقل رساند. روش صحیح کم کردن فعالیت صرفأً بخشی از لبه است. با این روش، ERC تقلیل یافته است و اتلاف توان تا همان سطحی کاهش می یابد که تقویت کننده

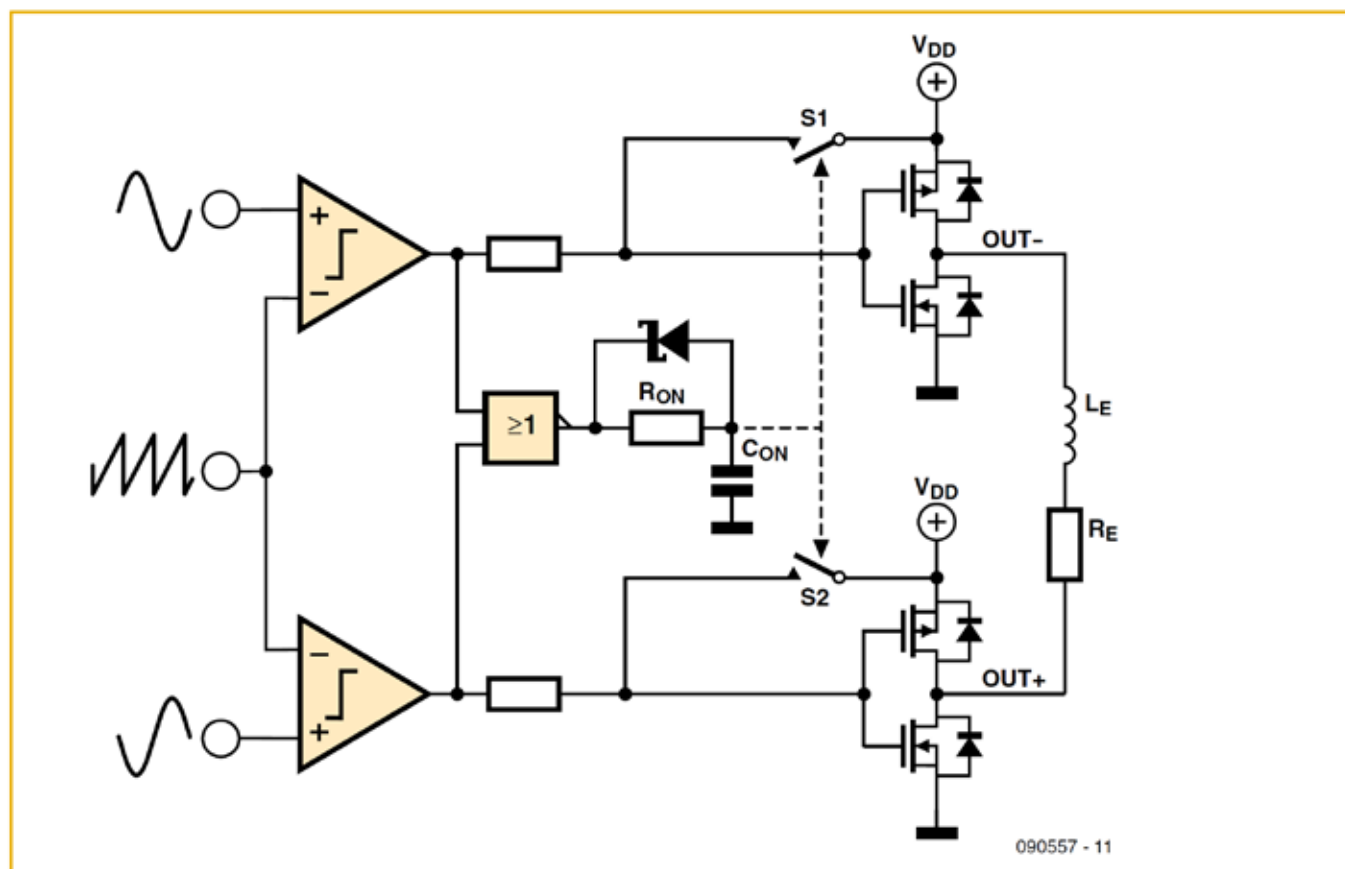
جنبه های عملی

به رغم این واقعیت که تکنیک های تشریح شده می توانند به طرز چشمگیری EMI را کاهش دهند. مشاهده و بررسی دقیقت دستورالعمل های طراحی خاص به هنگام طراحی PCB برای تقویت کننده ای کلاس D همچنان امری ضروری است. این راهنمایی ها شامل ایزوله کردن راه هایی هستند که سیگنال های سوئیچ شده را انتقال می دهند و نیز جدا کردن ورودی های آنالوگ و خطوط منبع از تمامی اجزای سوئیچینگ می باشد.

با افزایش مداوم تقاضا برای دستگاه های قابل حمل و کارآمد در انرژی، تقویت کننده ای کلاس D به علت دارا بودن کارایی بالا، بیش از پیش مورد استفاده قرار می گیرد. پیشرفت های حاصله در کیفیت و عملکرد EHI به طرز چشمگیری طراحی این تقویت کننده ها را تسهیل کرده است. قوانین ترکیبی آسان و اجزاء خارجی کمتر به کاهش زمان طراحی کمک کرده و در عین حال امکان طراحی های فشرده تر و عمر طولانی تر باشی در کاربرد قابل حمل را میسر می سازد. هزینه های کلی را نیز کاهش می دهد و همه ای این موارد بدون کاهش کیفیت سیگنال صوتی انجام می گیرد. در نتیجه همه ای این پیشرفت ها، کلاس D دیگر نا مرغوب تر از کلاس AB نبوده و احتمالاً در آینده هنگامیکه مدارهایی با تقویت کننده فشرده و کارآمد در انرژی مورد نیاز باشند، تنها گزینه هی معقول خواهد بود.

Elektor Magazine 2010

منبع :



شکل ۳: با تنظیمات مناسب، تقویت کننده ای کلاس D می تواند بدون فیلتر خروجی کار کند.



سنسورهای اُلتراسونیک و عملکرد آنها

بازتابیده شده و بخشی شکسته می‌شود.

قانون Snell رابطه بین زاویه و سرعت امواج را توصیف می‌کند.

$$R = \left(\frac{Z_1 - Z_2}{Z_1 + Z_2} \right)^{\frac{1}{2}}$$

سنسورهای اُلتراسونیک چگونه کار می‌کنند؟

امواج صوتی با فرکانس‌های بالاتر از فرکانس شنوایی (امواج اُلتراسونیک) را می‌فرستند و امواج بازگشتی را دریافت می‌کنند. از تاخیر زمانی و سرعت صوت در هوا برای تعریف فاصله از هدف استفاده می‌کنند و همچنین می‌توان تنها برای تشخیص هدف وجود یا عدم وجود آن مورد استفاده قرار گیرد.

خرنگی‌های جریان و ولتاژ متناسب با فاصله سنسور از هدف هستند.

ابتدا به تشریح مفاهیم پایه مرتبت با موضوع می‌پردازیم.

انتشار موج در مواد:

سرعت صوت در یک ماده تابعی است از مشخصات آن ماده و وابسته به دامنه موج صوتی می‌باشد. رابطه بین سرعت صوت در یک ماده جامد و چگالی و ثابت‌های الاستیک به صورت زیر است:

$$V = \sqrt{\frac{C_{ij}}{\rho}}$$

V : سرعت صوت

c : ثابت الاستیک

ρ : چگالی ماده

امپدانس صوتی یک ماده (Z) حاصلضرب چگالی(ρ) در سرعت صوتی (V) آن ماده است. $Z = \rho V$

انتقال و بازتابش صوت:

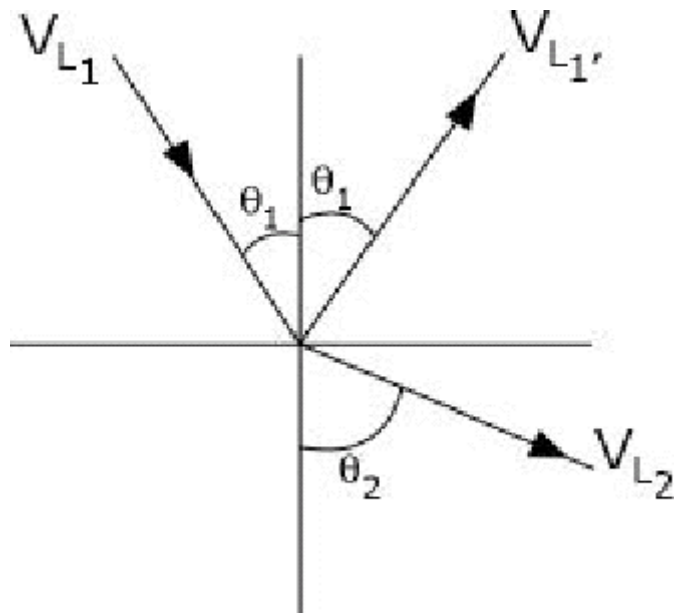
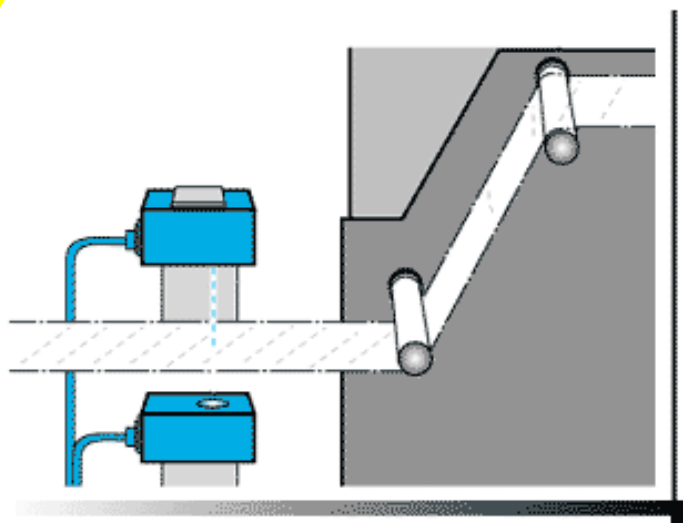
انرژی موج صوتی بازتابیده شده بصورت رابطه زیر به دست می‌آید.

Z : امپدانس صوتی

انرژی صوت ارسال شده + انرژی صوت بازتابیده شده = 1
اگر یک موج فرا صوتی از سطح بین دو ماده که دارای مشخصات بازتابش متفاوتی هستند با زاویه مورب عبور کند، بخشی از آن

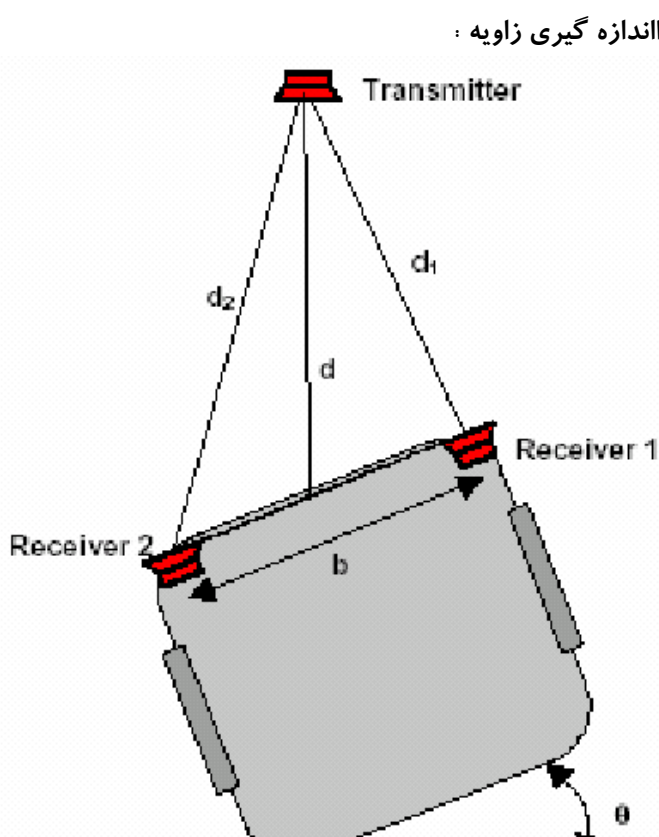


سنسورهای التراسونیک



کاربرد سنسورهای التراسونیک

- اندازه گیری زاویه (Angular Measurement)
- مسافت یابی (Ranging)
- تست های غیر مخرب (Non Destructive Test)
- اندازه گیری جریان (Flow Metering)
- Non-intrusive medical procedures



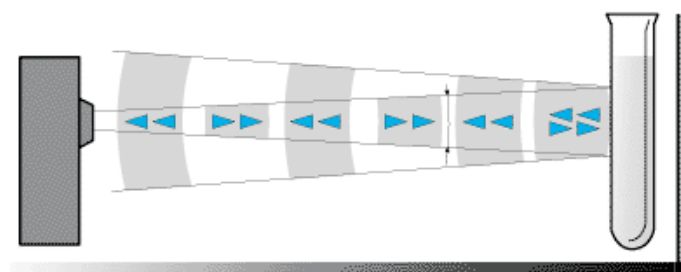
$$\theta = \sin^{-1} \left(\frac{d_2 - d_1}{b} \right)$$

روش های مسافت یابی:

- Time of Flight Measurement

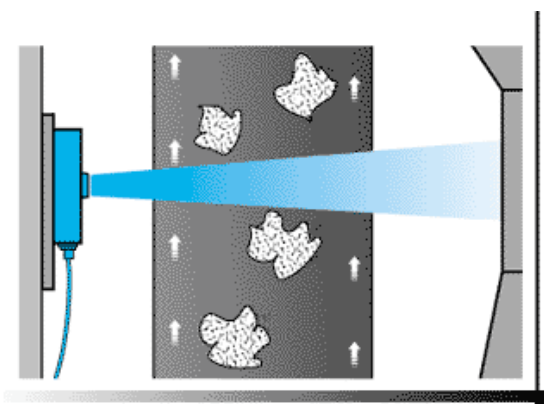
- Measurement of Phase Difference

در روش TOF یک موج صوتی توسط سنسورهای التراسونیک



Ultrasonic retro-reflective sensor

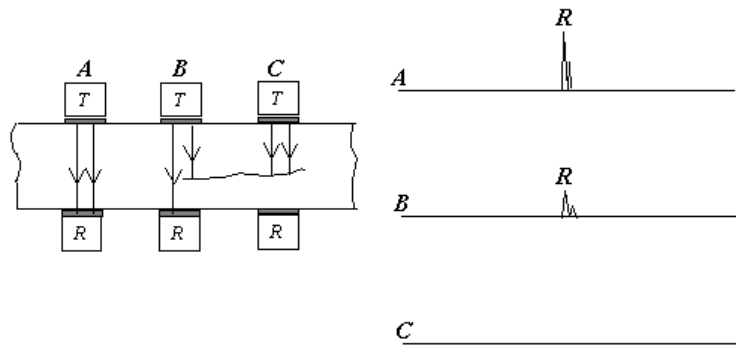
فاصله زمانی بین ارسال و دریافت سیگنال التراسونیک (زمان انتشار) ثابت و شناخته شده است. وقتی که یک جسم سیگنال التراسونیک را قطع می کند خروجی فعال می شود.



Ultrasonic through beam sensor

این سنسورها برای کاربردهایی که اشیاء به سرعت و پشت سر هم در حرکتند ایده‌آل هستند. این سنسورها همچنین زمانی که فرکانس‌های سویچینگ بالا (حدودا ۲۰۰ Hz) مورد نیاز باشد، پیشنهاد می شوند.

تست های غیر مخرب بوسیله سنسورهای با فرستنده و گیرنده مجزا



مزایای سنسورهای التراسونیک

- میتوانند انواع بیشتری از اشیاء را در مقایسه با دیگر سنسورهای مجاورتی detect.
- برای تشخیص فاصله ها بسیار کارآمدند.
- نسبت به سنسورهای خازنی و القابی رنج بزرگتری دارند.
- در شرایط ناملایم و خشن نیز می توانند عمل کنند.
- پاسخ زمانی سریع
- عمر عملی طولانی

محدودیت ها

- یک ناحیه مرده (dead zone) در نزدیکی سطح سنسور وجود دارد که موجب می شود که سنسور نتواند اشیاء خیلی نزدیک را تشخیص دهد.
- اشیاء خیلی کوچک را نمی توانند تشخیص دهنند. (اندازه قابل تشخیص وابسته به طول موج می باشد).
- سرعت وابسته است به ماده (پارچه نخی، پنبه، اسفنج و غیره نیازمند فرکانس های کند هستند).
- اشیاء سطح نرم باید به دقت تنظیم و هم تراز شوند در غیر اینصورت موج بازتابیده شده به سنسور نمی رسد.

مدارات راه انداز سنسور التراسونیک

فرستنده :

برای راه اندازی فرستنده، مثلا برای سنسور ۱۶ امیلی متری، باید یک پالس با حداکثر دامنه ۶۰ ولت و فرکانس ۴۰ kHz به پایه های مازول فرستنده داد تا فرستنده با حداکثر توان کار کند. این مقادیر به طور دقیق در برگه مشخصه سنسور وجود دارد.

برای تولید این پالس مدارات مختلفی می توان بیان کرد. مثلا استفاده از آی سی های تایمر، مدار پل H، مدارات ترانزیستوری بی استabil، آی سی های درایبور و یا گیت های CMOS.

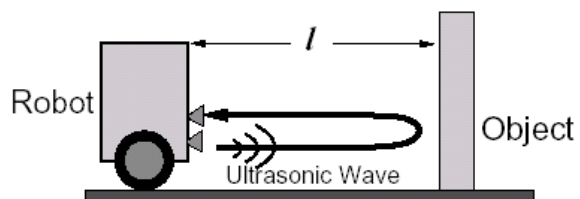
حال چند نمونه از این مدارات را بررسی می کنیم :

آی سی ۴۰۴۹ شامل ۴ عدد گیت NOT می باشد و این آی سی می تواند با تغذیه ۱۵ ولت کار کند(یعنی VCC آن به جای ۵ ولت به ۱۵ ولت وصل می شود) پس به وسیله آن می توان موجی با دامنه بیک تو پیک ۳۰ ولت به وسیله آن به صورت زیر درست کرد. فقط باید به قسمت ورودی مدار زیر یک سیگنال با فرکانس مورد نظر اعمال کنیم.

مسافت یاب ارسال شده و فاصله زمانی که طول می کشد تا موج صوتی به جسم برخور کند و به منبع برگرد محاسبه می شود. در این حالت زمان را که به دست آورده ایم سرعت صوت نیز ثابت است پس طبق رابطه $x=vt$ فاصله محاسبه می گردد.

روش اندازه گیری اختلاف فاز

اگر یک موج التراسونیک شامل بیش از یک سیگنال باشد، اختلاف فاز بین سیگنالها می تواند اندازه گیری شود. روش اختلاف فاز خیلی دقیق است اما دارای این محدودیت است تنها از یک سیگنال با فرکانس خاص به عنوان مثال فرکانس ۴۰ kHz می تواند استفاده کند و حداکثر فاصله ای که می تواند توسط این روش detect شود به ۸mm محدود می شود.



The principles of the time-of-flight (TOF) method.

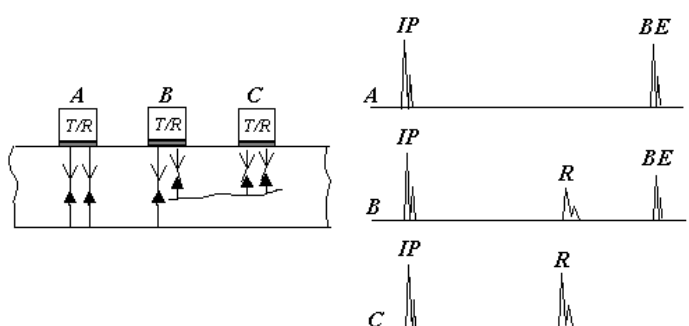
کاربردهای مسافت یابی (Ranging)

سنسورهای التراسونیک در رباتیک جهت مسافت یابی (Ranging) استفاده می شوند. مسافت یابی در رباتیک عموماً بر پایه روش TOF است. مشکل اصلی در اینکاربرد تداخل امواج (Crosstalk) است. یعنی در این روش موج فرستاده شده با موج بازتابش شده تداخل پیدا می کند. البته Crosstalk می تواند ناشی از عوامل دیگر زیر باشد:

- ✓ امواج بوجود آمده بوسیله دیگر المان های مدار
- ✓ سنسورهای التراسونیک دیگر بر روی ربات
- ✓ سنسورهای التراسونیک بر روی دیگر ربات ها

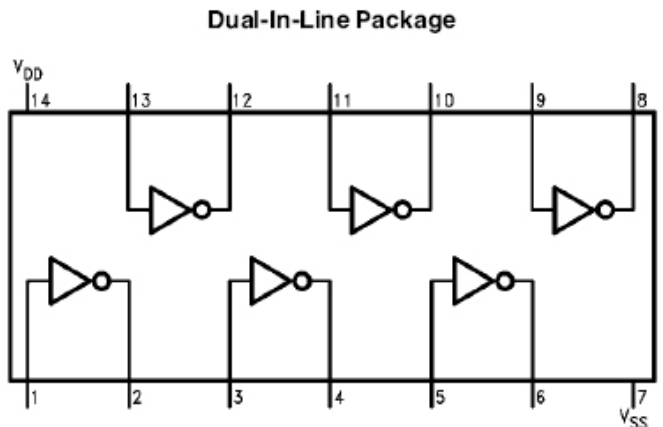
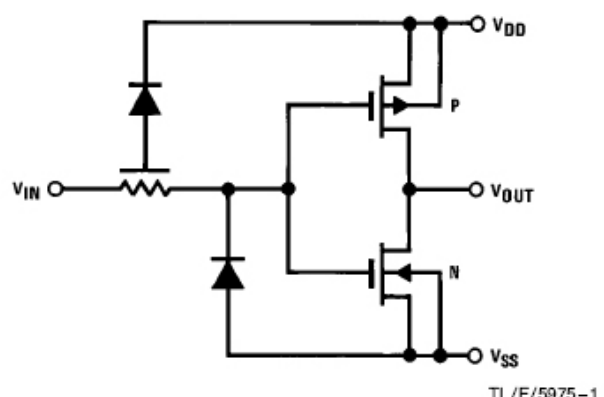
کاربرد در تست های غیر مخرب:

تست های غیر مخرب بوسیله سنسورهای فرستنده گیرنده

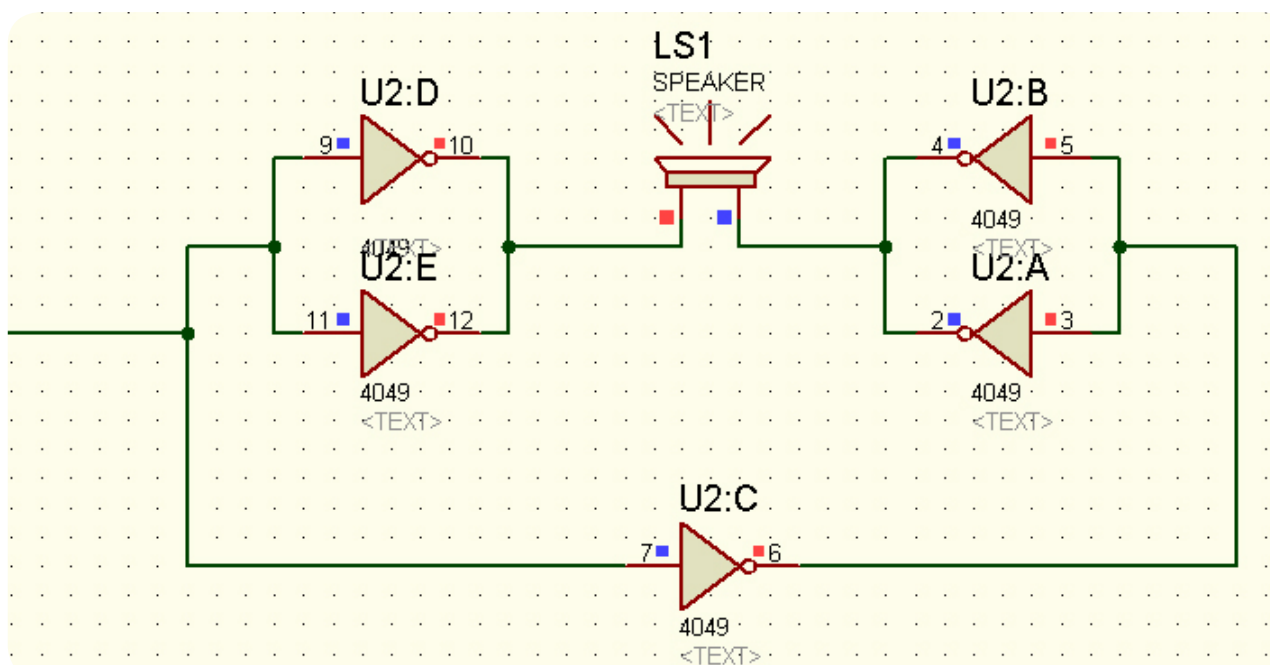


سنسورهای التراسونیک

Schematic and Connection Diagram



Order Number CD4069UB



شده اند. این کار برای افزایش جریان دهی و در نتیجه افزایش توان صورت گرفته است.

البته به جای مدار فوق بهتر است از پل H استفاده کنیم زیرا می‌تواند ولتاژ بیشتری در خروجی به ما مدهد و می‌دانیم هر چه ولتاژ اعمالی به فرستنده بیشتر باشد سنسور توانایی سنجش مسافت‌های دورتر را دارد.

با توجه به همین مسئله و اینکه سنسور در زمان‌های کوتاه‌می‌تواند ولتاژ خیلی بالاتری را تحمل کند بنابراین ولتاژ بالاتری در زمان‌های کوچکتر به سنسور فرستنده می‌دهند و مسافت‌هایی را بیشتر از توان سنسور اندازه گیری می‌کنند. مدار پل H به صورت زیر است.

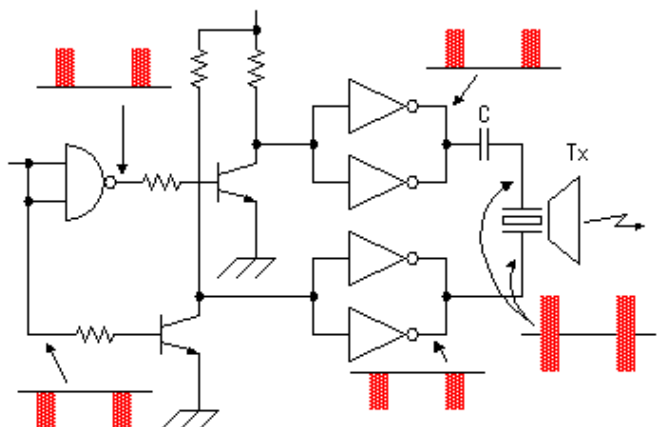
این مدار کاربرد های زیادی دارد زیرا این مزیت جالب را دارند که در حالت‌های صفر و یک منطقی، اتلاف توان ایستا ندارند. محرك NMOS با اتصال متواالی و بار PMOS هر دو ترانزیستورهای افزایشی اند. درین های آنها بهم متصل اند و سیگنال خروجی در این گروه دریافت می‌شود.

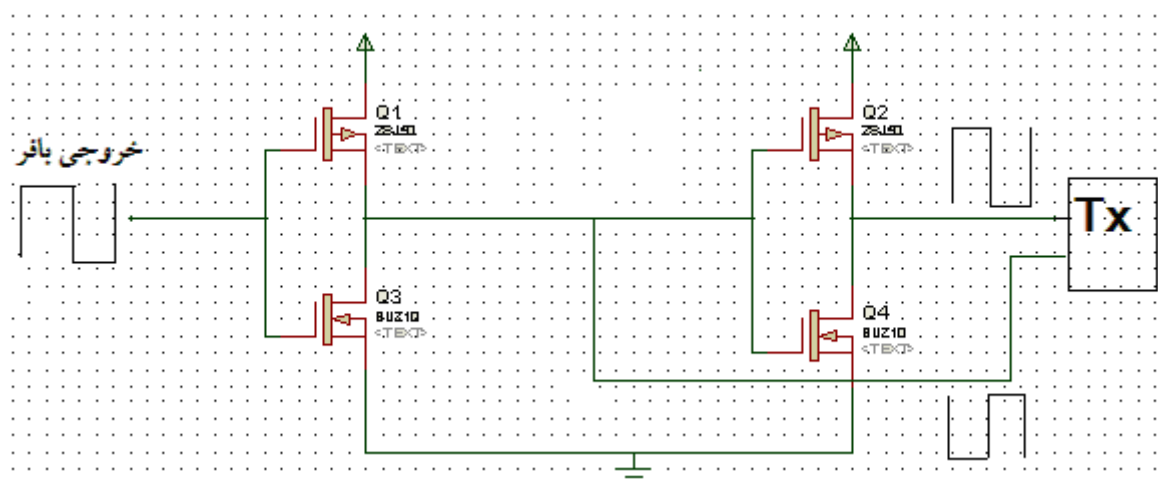
دو گیت آنها هم به یکدیگر متصل اند و سیگنال و رودی همزمان به هر دو گیت مشترک اعمال می‌شود. ولتاژ ورودی از صفر ولت

البته باید توجه نمود سطح ولتاژ سیگنال اعمالی به قدری باشد که بتواند ورودی گیت را تحریک کند.

در مدار بالا فرض کنید سیگنال ورودی در سطح Low باشد بنابراین خروج گیت‌های d و e به صورت High شده و خروجی گیت‌های a و b به صورت Low می‌گردد.

با توجه به شکل زیر مشاهده می‌شود که دو گیت با هم موازی





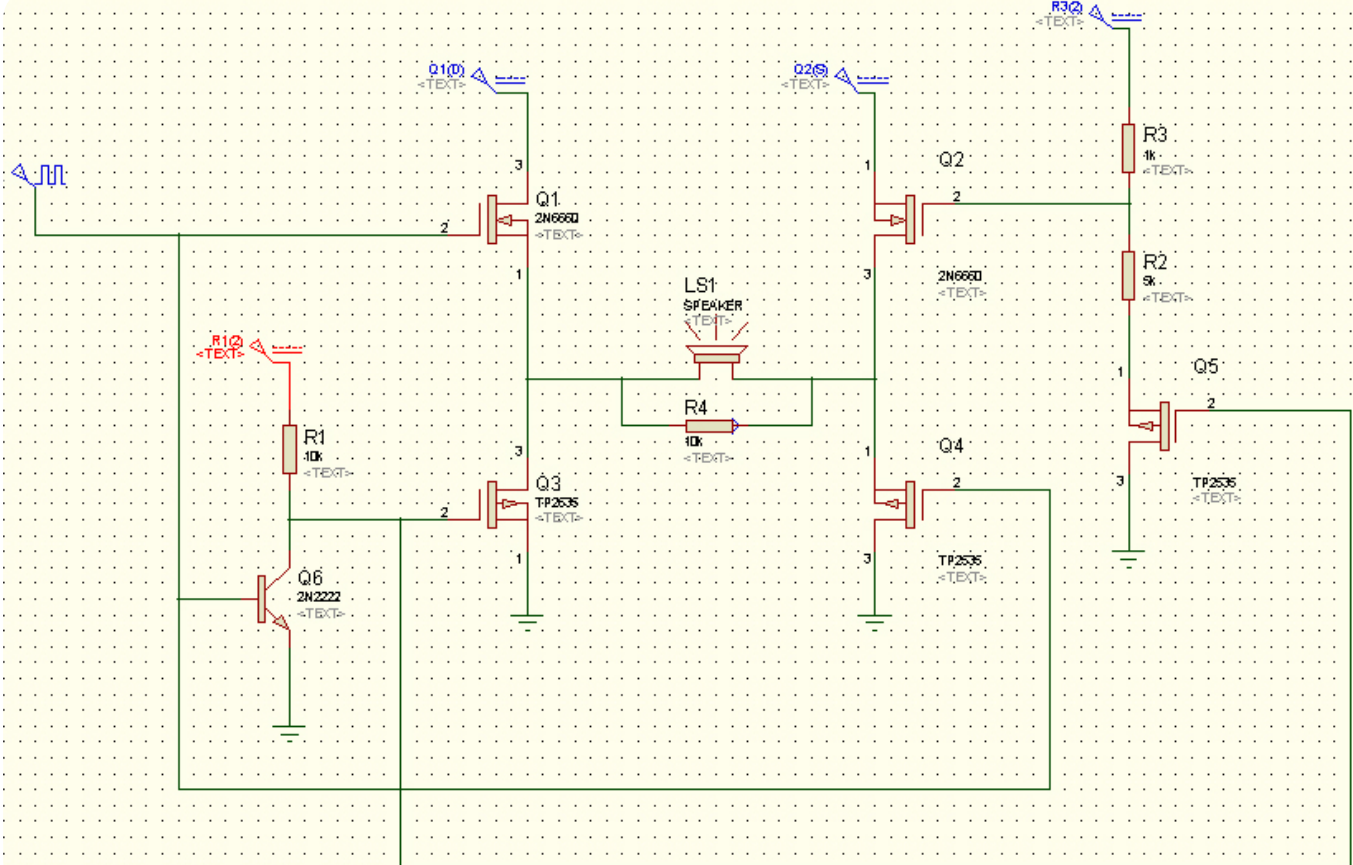
صفراست. اما در عمل توان برابر حاصلضرب جریان نشستی در حالت قطع و VDD است و مساوی چند نانووات است.

به طور خلاصه می توانیم اینگونه بیان کنیم که در MOSFET های بالا اگر $V_{gs}=5$ شد ماسفت ها روشن می شوند و اگر کمتر از ۵ ولت بود خاموش می شوند همچنین اگر ولتاژ گیت-سورس بیشتر از ۲۰ ولت گردید فت می سوزد.

در مدار زیر ترانزیستور BJT نقش گیت NOT را دارد. هنگامی که ورودی high است ترانزیستور های q1 و q4 روشن می شوند و هنگامی که ورودی low است ترانزیستور های q2 و q3 روشن می شوند.

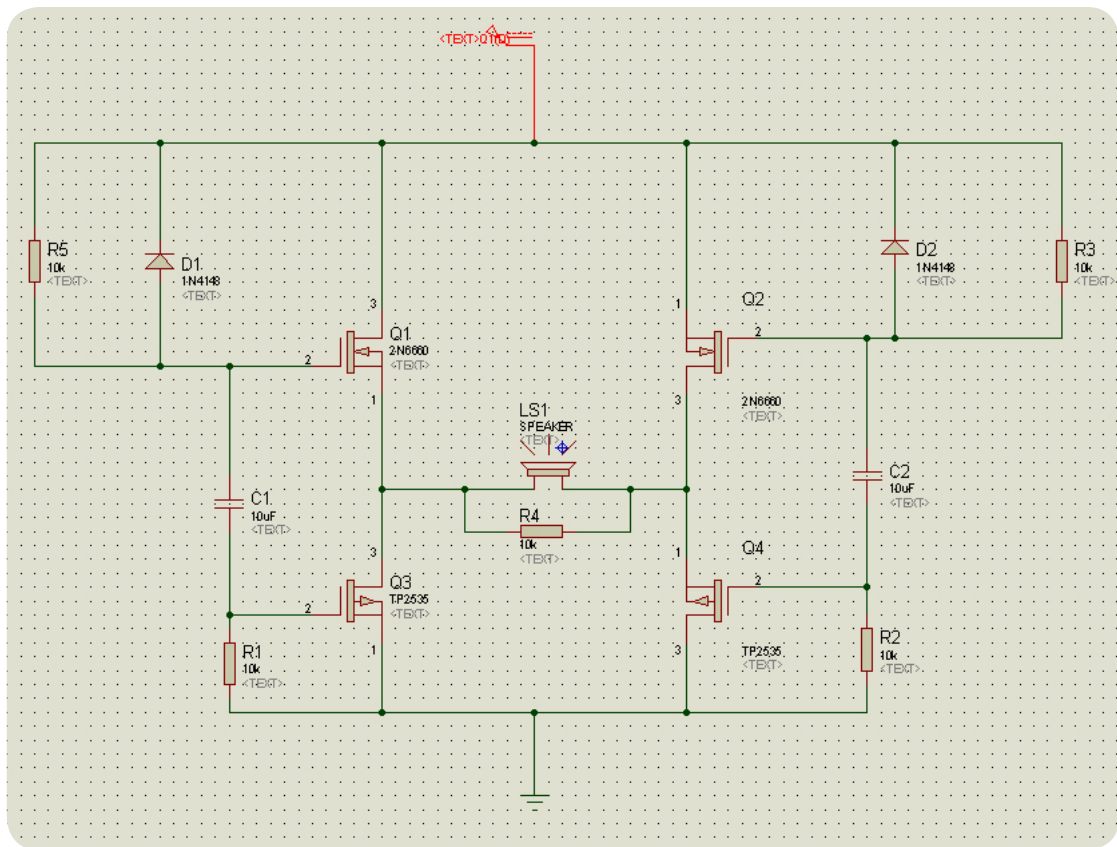
ترانزیستور q5 برای این در مدار قرار گرفته تا q2 نسوزد و توسط تقسیم ولتاژ، ولتاژ گیت-سورس را محدود نگه می دارد. البته این مدار را به صورت زیر نیز می توان طراحی نمود. اما مدار زیر یک سری

ta VDD تغییر می کند. وقتی ورودی صفر است، $VGS1=0$ و $VGS2=-VDD$ و قطعه‌ی پی ماسی Q1 قطع است. در حالیکه $VGS1=VDD$ و قطعه‌ی پی ماسی Q2 وصل است. اما چون دوفت متوالی اند، جریان در Q2 برابر جریان در Q1 است $I1=I2=0$ با وجود این ولتاژ گیت مقداری دارد که ظاهراً باعث هدایت می شود. به عبارت دیگر Q2 بر اساس $VGS2=-VDD$ مثل ولتاژ گیت P-channel مشخصه‌ی خروجی می شود. چون $VDS2=0$ است، $VO=VDD$ حال فرض کنید $Vi=VGS1=VDD$ و در این صورت Q1 وصل است اما Q2 با $VGS=0$ قطع است. بنابراین $ID1=ID2=0$ و Q1 بر اساس مشخصه‌ی ترانزیستور و مستقل از $VGS1$ عمل می کند. چون و لتاژ دو سر Q1 صفر است، داریم: $V0=0$ باز هم خاصیت وارنگری (NOT) بدست می آید زیرا به ازای $Vi=V1$ داریم: $V0=V0$ هر دو حال منطقی. G2 یا $G1$ قطع است و اتلاف توان در حالت ایستا



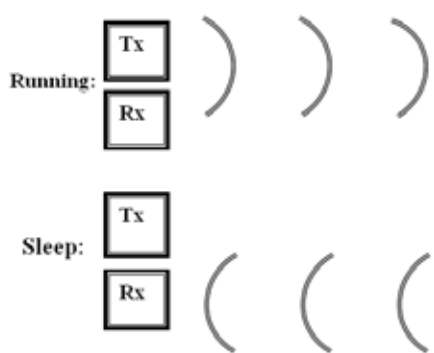
مدار کامل شده پل H

سنسورهای التراسونیک

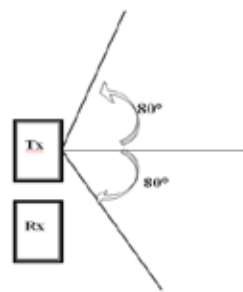


حالت sleep یعنی زمانیکه بوسیله ی پالس $40\text{ }\mu\text{s}$ تحریک نمیشود و حالت Running که بوسیله تعداد مشخصی پالس $40\text{ }\mu\text{s}$ تحریک میشود. علت قرار دادن فرستنده در این دو وضعیت، به عملکرد سنسور گیرنده ارتباط پیدا می کند. یعنی سنسور فرستنده در وضعیت Running و سنسور گیرنده در وضعیت sleep فعال است. در واقع برای این که از این نوع سنسور بصورت انعکاسی استفاده کنیم، لازم است برای یک مدت زمان کوتاه که در بالا به آن حالت Running گفته شد از این سنسور فرستنده پالس دهیم. این پالسها بصورت تعدادی موج صوتی در فضا رها شده و گیرنده در مدت زمان sleep منتظر دریافت پالس صوتی می باشد.

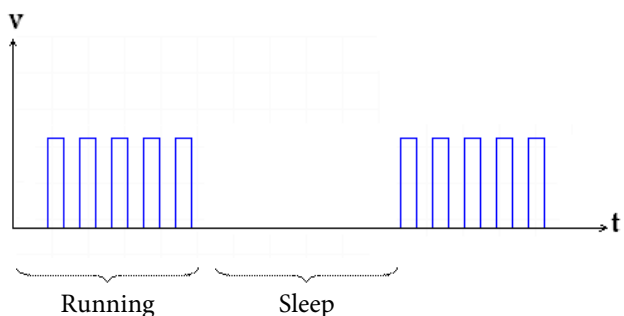
در واقع علت اینکه ما بصورت مداوم به فرستنده پالس صوتی نمی دهیم این است که اگر پالس صوتی دائمی در حال ارسال باشد، پالس انعکاسی که دامنه‌ی آن نیز تا حدودی تضعیف شده، بر هم نهی می کند. چون دارای اختلاف فاز نیز می باشد. و پالس صوتی که گیرنده دریافت می کند بسیار ضعیف می باشد و قابل آشکارسازی نیست، ما زمان sleep را برای دریافت موج بصورت آزاد قرار می دهیم (یعنی موج صوتی ارسال نمی کنیم).

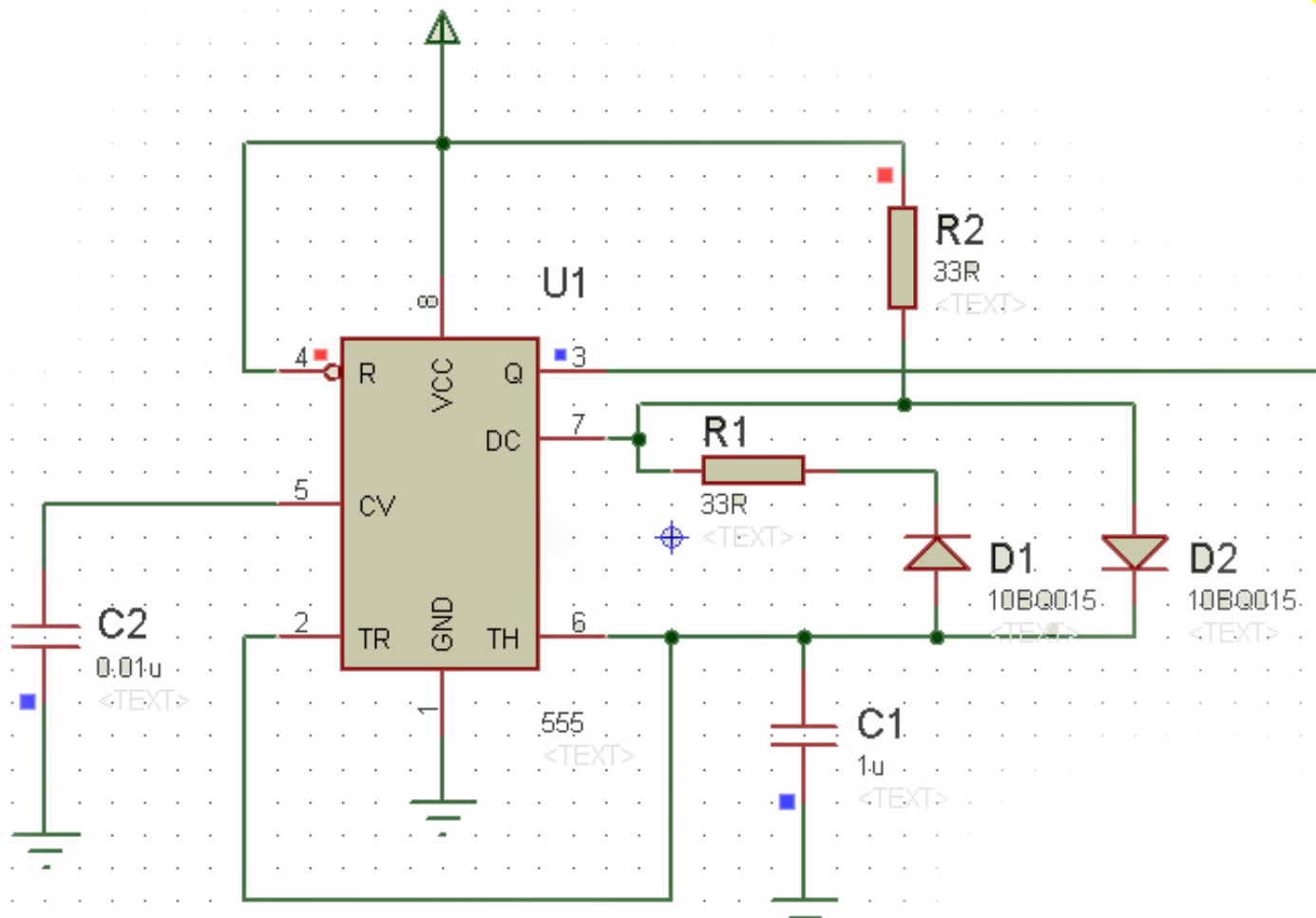


ملاحظات برای طراحی دارد که باید به آنها توجه نمود. خوب در ادامه باید پالسی تولید کنیم که به وسیله مدارات فوق دامنه آن را افزایش دهیم. این پالس را به روش های گوناگون میتوان ساخت مثلا با استفاده از آی سی های تایمیر یا میکرو کنترلرهای در این قسمت باید به این نکته توجه کرد که اگر در هنگام برگشت امواج ما همواره موج هم ارسال کنیم چون امواج با زاویه 80° درجه منتشر می شوند امواج مسیر رفت و برگشت بر روی هم اثر گذاشته و همیگر را تضعیف می کنند.



برای رفع این مشکل تعدادی پالس ارسال میکنیم و مدت کوتاهی مکث کرده و دوباره پالس ارسال می کنیم. یعنی فرستنده در دو مدار sleep و running کار می کند:





مدار تولید پالس به وسیله آن سی ۵۵۵ در حالت آ-استابل

رجیستر OCRO که ماکریم شمارش را مشخص می کند برابر 10^3 می شود.

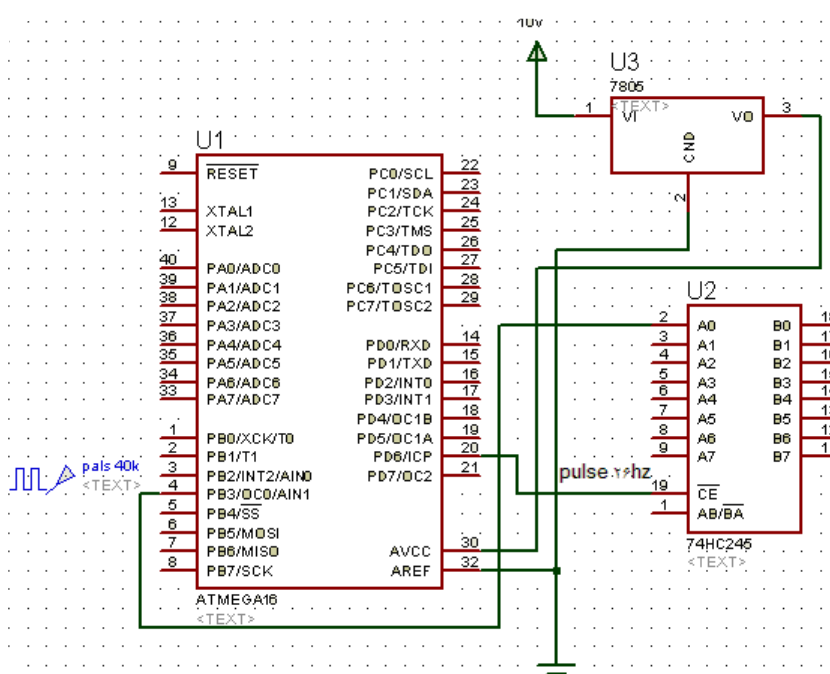
با توجه به این که فرکانس کاری تایمر ۸MHZ می باشد، هر پله از 10^3 پله را در زمانی معادل 125ns می شمارد. پس زمانیکه از صفر تا 10^3 پله را طی می کند 12.85 میکروثانیه می شود. با توجه به تاخیراتی که سایر دستورات میکرو ایجاد می کنند، فرکانس پالس

در این قسمت می خواهیم شکل موج مربعی مورد استفاده سنسور فرستنده را تولید کنیم. برای این منظور از یک ریز پردازنده AVR مدل Atmega16 استفاده کنیم.

این ریز پردازنده دارای ۴ سری تایمر و ۳۲ پایه که به صورت ورودی و خروجی بکار می روند، می باشند. سنسورهایی که در این جا مورد بحث قرار دادیم با فرکانس ۴۰k کار می کنند. بدین منظور ریز پردازنده ای ما باید یک پالس 40k را تولید کنند. همچنین این پالس باید در وضعیت های Sleep و Running سوئیچ شود.

برای اینکار از یک برنامه ای کامپیوترا استفاده می کنیم که به ما دو مدل پالس مربعی می دهد. یکی با فرکانس 40k و دیگری با فرکانس 26.44Hz .

D.C Duty cycle پالس 40k و 50% 26.44hz می باشد. برنامه ای کامپیوترا که اینکار را برای ما انجام می دهد، در صفحه بعد نوشته شده است. برنامه فوق بدین صورت عمل می کند که تایمر صفر در مد کاری CTC قرار گرفته و



سنسورهای التراسونیک

```
This program was produced by the
CodeWizardAVR V1.25.9 Professional
Automatic Program Generator
Date : 2007/07/09
Author : amin sheikh najdi
Chip type : ATmega16
Program type : Application
Clock frequency : 8.000000 MHz
*****
#include <mega16.h>
#include <delay.h>
#include <stdio.h>
#include <stdlib.h>
#include <math.h>
int a=0;
float L=0;
char str1[100],str2[100];
#asm
.equ __lcd_port=0x1B
#endasm
#include <lcd.h>
interrupt [EXT_INT2] void ext_int2_isr(void)
{
if((a>=200)&&(a<=2500))
L=(0.0023175*a);
}
interrupt [TIM0_COMP] void timer0_comp_isr(void)
{
a=a+1;
if(a<=3000)
PORTD.6=1;
if(a>3000)
PORTD.6=0;
if(a>=3025)
a=0;
}
void main(void)
{
PORTA=0x00;
DDRA=0x00;
PORTB=0x00;
DDRB=0x08;
PORTC=0x00;
DDRC=0x00;
PORTD=0x00;
DDRD=0x40;

// Timer/Counter 0 initialization
// Clock source: System Clock
// Clock value: 8000.000 kHz
// Mode: CTC top=OCR0
// OC0 output: Toggle on compare match
TCCR0=0x19;
TCNT0=0x00;
OCR0=103;

TCCR1A=0x00;
TCCR1B=0x00;
TCNT1H=0x00;
TCNT1L=0x00;
OCR1AH=0x00;
OCR1AL=0x00;
OCR1BH=0x00;
OCR1BL=0x00;
ASSR=0x00;
TCCR2=0x00;
TCNT2=0x00;
OCR2=0x00;

// External Interrupt(s) initialization
```

```
// INT0: Off
// INT1: Off
// INT2: On
// INT2 Mode: Rising Edge
GICR|=0x20;
MCUCR=0x00;
MCUCSR=0x40;
GIFR=0x20;
TIMSK=0x02;
ACSR=0x80;
SFIOR=0x00;
lcd_init(16);
#asm("sei")

while (1)
{ ftoa(L,4,str1);
sprintf(str2,"distans:%s",str1);
lcd_puts(str2);
delay_ms(100);
lcd_clear();
}
```

خروجی تایمر صفر، K ۴۰ می شود. یعنی دوره تناوب سیگنال ۲۵ میکروثانیه می باشد. اما برای تولید پالس با فرکانس ۲۶,۴۴HZ باید از وقفه های تایمر صفر (وقفه ی Comparematahs) استفاده کنیم. این وقفه هر $12.5\mu s$ یکبار تکرار می شود. یعنی مدت زمانیکه شمارنده از مقدار صفر تا ۲۵۵ (یعنی همان ۱۰۳ پله) را شمرده است. درون این وقفه از متغیر a بعنوان شمارنده استفاده کرده ایم. که در هر بار تکرار وقفه، یکی به آن اضافه می شود. همانطور که در برنامه‌ی بالا مشخص است ما پایه‌ی D6 یعنی پایه‌ی ۲۰ میکرو را بعنوان خروجی تعریف کرده ایم. طبق برنامه فوق تا زمانیکه مقدار a کمتر از ۳۰۰۰ است، خروجی پایه‌ی D6 یک است. زمانیکه مقدار a بزرگتر از ۳۰۰۰ شد، مقدار پایه‌ی D6 برابر صفر می شود. زمانیکه مقدار a برابر ۳۰۲۵ شد، a را برابر صفر قرار می دهیم تا این سیکل مجدد تکرار شود.

بر پایه‌ی مطالب فوق و با توجه به این که با هر بار که به a یک عدد اضافه شود، زمانی معادل $12.5\mu s$ طول می کشد، زمان کل بین صفر تا ۳۰۰۰ $37.5ms$ طول می کشد که در این مدت خروجی برابر یک است. زمانی که پایه‌ی D6 صفر می شود $312.5ms$ می باشد.

در ادامه باید این دو پالس را با هم ترکیب کنیم تا حالت Sleep و Running مورد نیاز برای فرستنده ایجاد شود.

برای ترکیب این دو پالس از یک بافر سه حالت بهره می گیریم. بدین صورت که پالس $40k$ را بصورت ورودی به بافر اعمال می کنیم و پالس $26.44HZ$ را به Enable بافر می دهیم. در نتیجه در خروجی پالس مورد نظر ایجاد می شود.

در واقع سیستم فوق بدین صورت عمل می کند که در قسمت ورودی بافر همواره یک پالس $40k$ داریم. اما فقط زمانی این پالس به خروجی می رسد که صفر شده باشد. یعنی مدت زمان $312.5\mu s$ در خروجی پالس $40k$ داریم و به مدت $37.5ms$ خروجی برابر صفر است. در وضعیتی که خروجی صفر است، چون بافر سه حالت می باشد، خروجی در حالت High امپراسن قرار می گیرد و برای این که خروجی بصورت صفر و یک شود، باید خروجی بافر را Ground کنیم. یعنی خروجی را با یک مقاومت به Dull Down

وصل کنیم.

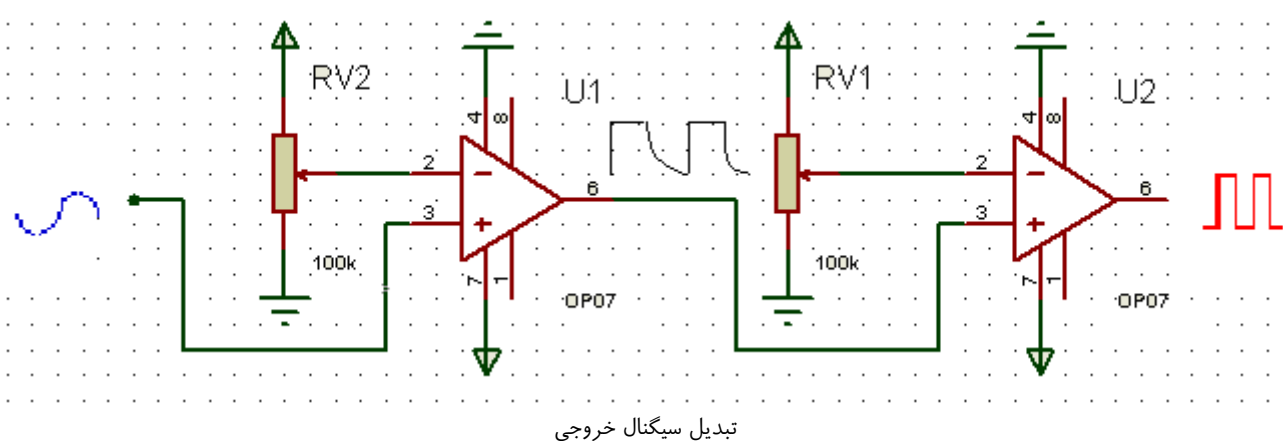
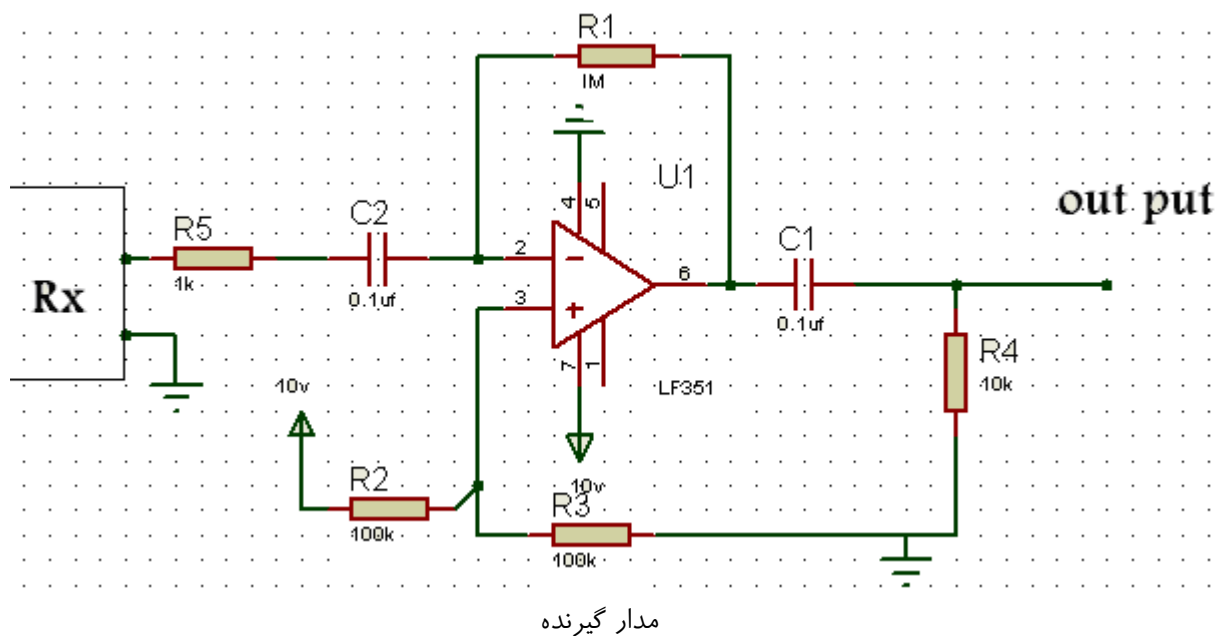
در نهایت پالس مورد نظر تولید می‌شود که دامنه آن تقریباً ۵V می‌باشد. IC بافری که این عملیات را انجام می‌دهد، بافر شماره 74HC245 است.

مدار گیرنده :

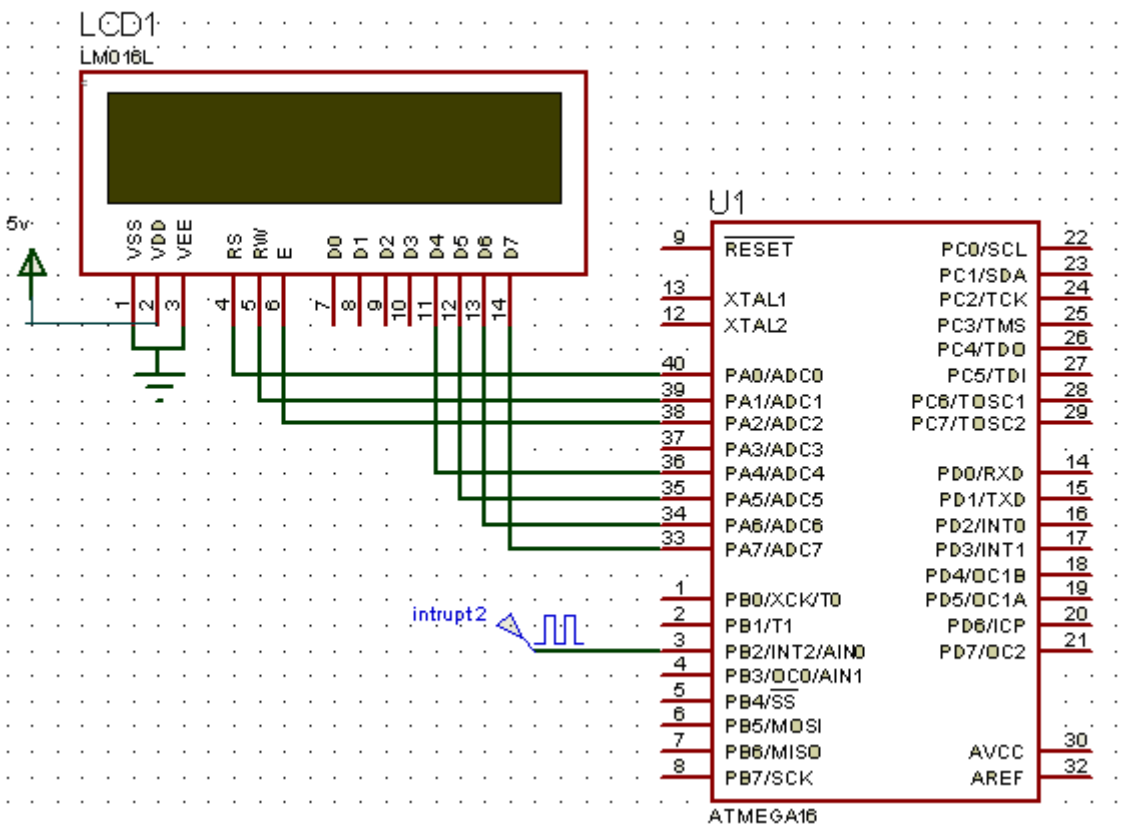
سیگنال بار گشته از فرستنده در گیرنده دامنه بسیار کوچکی دارد و ضعیف است همچنین چون سیگنال از محیط عبور کرده مقداری نویز با آن جمع شده بنا بر این باید سیگنال در یافته در گیرنده را فیلتر و تقویت نمود سپس برای پردازش به میکرو فرستاد.

مدار تقویت کننده :

این بلوک سیگنال دریافتی را تقویت می‌کند. معمولاً دامنه موج دریافت شده توسط سنسور گیرنده در حد میلی ولت است. به همین دلیل ما مقدار آنرا بوسیله ی یک مدار تقویت کننده ی ساده با گین ۱۰۰۰ افزایش می‌دهیم. گین این مدار توسط مقاومت‌های R1 و R5 و با توجه به فرمول زیر



سنسورهای التراسونیک



بردازش سیگنال خروجی

اگر سنسور ما مانعی کمتر از نیم متر جلوی آن قرار گرفت، قادر به تشخیص فاصله‌ی آن نمی‌باشد.

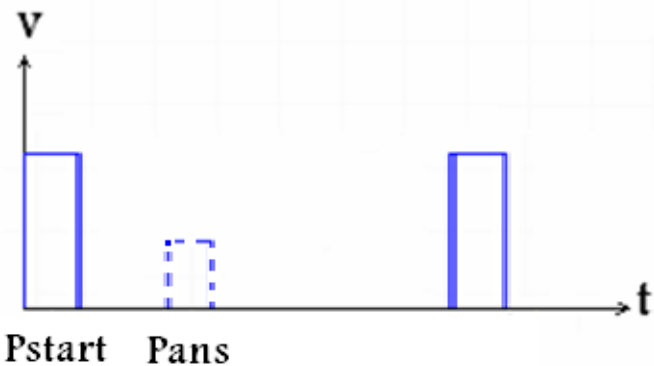
همچنین اگر که مانعی در فاصله بیشتر از ۴.۵m قرار داشت نیز همین وضعیت بوجود می‌آید.

اندازه‌گیری فاصله در برنامه فوق به این صورت است که ما زمان بین پالس Pst و پالس Pans را اندازه‌گیری کنیم این زمان مدت زمانی است که سیگنال ارسال شده از فرستنده به مانع برخورد کرده و توسط گیرنده دریافت شده این زمان زمان برگشت است. پس $\frac{1}{2}$ این زمان برای اندازه‌گیری مسافت بکار می‌رود.

طبق برنامه‌ای که در بالا گفته شد، a مدت زمان رفت و برگشت سیگنال است. یعنی تعداد تکرارهای وقفه‌ی تایмер ضربدر ۱۲.۵ میکرو ثانیه.

میکرو می‌نویسیم (وقفه شماره ۲)
این برنامه بصورت زیر است :

IF((a>=200)and(a<=2500))



$$x = \frac{v * t}{2}$$

فرمول بالا به این صورت بدست آمده که :

$$\frac{1s}{2} \quad 330\text{ m} \quad \frac{a * 12.5\mu\text{s}}{2} \quad \Rightarrow \quad L = 0.0023175$$

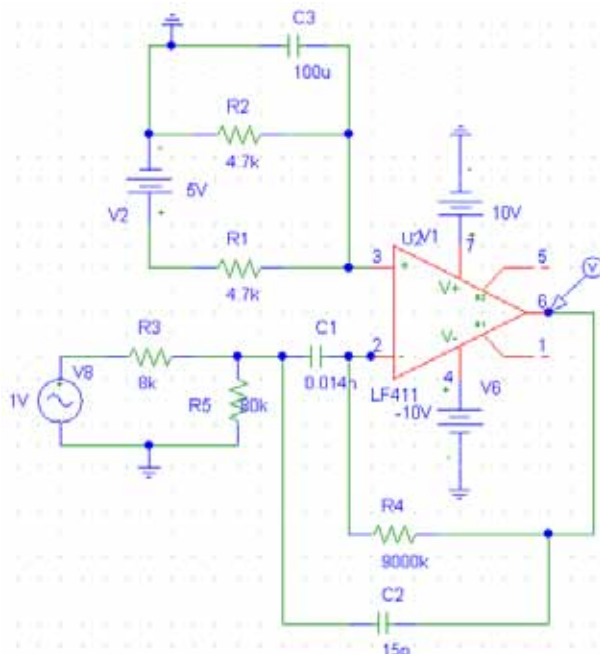
طبقه فیلتر:

سیگنال تقویت شده را بوسیله یک فیلتر میان گذر که فرکانس مرکزی آن 40 k باشد و پهنه‌ی باند آن در حدود ۲ تا 3 k باشد، فیلتر کنیم. می‌توان اینکار را با استفاده از سری یک کردن یک فیلتر بالا گذر و یک پایین گذر نیز انجام داد. به این صورت که فرکانس قطع فیلتر بالا گذر در حدود 35 کیلو هرتز و فرکانس قطع فیلتر

$$l = (0.0023175 \times a)$$

همانطور که در برنامه بالامشخص است سیگنال بر پایه‌ی شماره ۲ اعمال می‌شود. و در طول یک دوره تناوب سه مرتبه این وقفه اجرا می‌شود یعنی ۲ بار به ازای Pst و یکبار به ازای Pans حال می‌خواهیم زمانی وقفه را معتبر اعلام کنیم که پالس Pans به وقفه اعمال شده باشد برای این کار از شرط if استفاده کرده ایم. این شرط اینگونه بیان می‌دارد که اگر زمان سیگنال ورودی بیشتر از زمان معادل $200 \times 12.5\mu\text{s}$ بود یا زمانی کمتر از $200 \times 12.5\mu\text{s}$ باشد، وقفه فعال می‌شود اما اندازه‌گیری فاصله انجام نمی‌گیرد.

در نتیجه وقفه غیرمعتبر اعلام می‌گردد. توضیح مطالب بالا بدین صورت است که ما برای اینکه اندازه‌گیری فاصله را انجام دهیم فرض کردہ‌ایم سنسورها فاصله‌ی نیم متر به بالا را sense کند یعنی

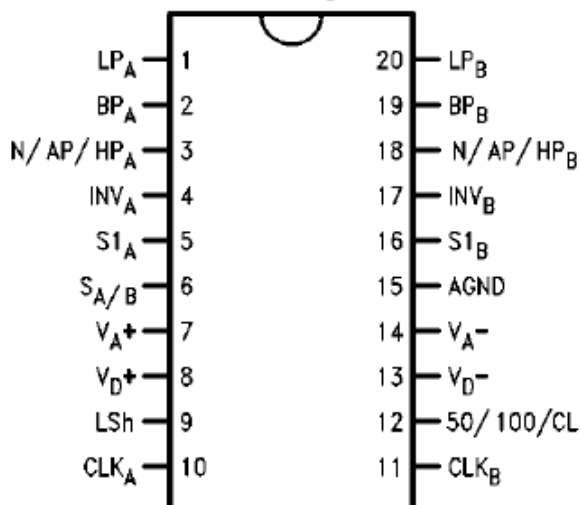


برای ساختن فرکانس خروجی باید کلاکی اعمال کنیم که فرکانس آن، فرکانس خروجی را تعیین میکند:
 $F_o = F_{clock}/100$ or $F_{clock}/50$

در هر کدام از مدل های پیشنهاد شده در datasheet فیلتر، مقادیر مقاومت ها و خازن ها از روابط خاصی بدست می آید.

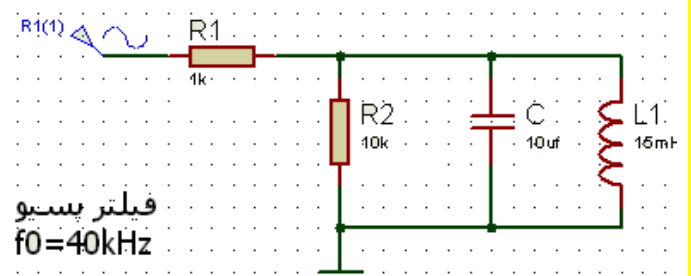
Connection Diagram

Surface Mount and Dual-In-Line Package



پایین گذر در حدود ۴۵ کیلو هرتز تنظیم شود. پس از فیلتر کردن سیگنال، سیگنال حاصله را مجدد تقویت می کنیم این سیگنال دیگر حاوی نویز نیست و میتوان آنرا به یک مقایسه کننده داد و سپس پس از تبدیل شدن موج سینوسی به مربعی آنرا به وقهه ی میکرو منتقل کرده و نتیجه را روی LCD مشاهده می کنیم. در این روش می توانیم حتی اگر خروجی گیرنده بسیار کم باشد، آنرا چندین طبقه تقویت نمایی و فواصل در حدود چند ده مترا اندازه گیری کنیم. برای فیلتر کردن سیگنال میتوان هم از فیلترهای اکتیو و هم از فیلترهای پسیو استفاده کرد.

در زیر دو نمونه از فیلترهای اکتیو و پسیو ارائه شده است: فیلتر پسیوی که درشکل می بینید با استفاده از سلف و خازن طراحی شده است. اگر این مدار را با استفاده از نرم افزارهایی چون Spice و Orcad طراحی کنیم، مشاهده میشود که فیلتر مورد نظر با استفاده از مقادیر استاندارد جواب مناسبی می دهد یعنی در مداری که در orcad تحلیل کرده ایم، مقاومت خازن بی نهایت و مقاومت سلف، صفر درنظر گرفته شود. اما هنگامیکه این مدار را بطور عملی می بنديم، متوجه می شویم که سلف مقاومتی در حدود $4/0$ اهم دارد. اگر همین مقاومت را وارد محاسبات کنیم یا اینکه در تحلیل کامپیوترا اضافه کنیم خواهیم دید که فرکانس مرکزی کاملاً تغییر کرده و پهنهای باند چند صد برابر می شود. این موضوع به ما نشان میدهد که سلف را نمی توان بصورت ایده آل در نظر گرفت راه کار مناسب این است که بجای سلف های استاندارد از سیم پیچ با هسته ی فریت استفاده کنیم. مشکل این کار آن است که حجم المان مدار زیاد شده و ظرفیت سلفی در اثر تغییرات مکانیکی ممکن است تغییر کند. پس می توان گفت این نوع فیلتر نیاز ما را بر آوده نمی کند دو راه داریم



یکی استفاده از فیلر اکتیو و دیگری استفاده از IC های فیلتر. این دو فیلتر بصورت میان گذر طراحی می شده و فرکانس مرکزی آنها تقریباً 40.0 k روی تنظیم شده و پهنهای باند آنها حدوداً 1.0 k میباشد.

استفاده از IC

این IC ها همزمان می توانند به چند نوع فیلتر متفاوت با فرکانس های کاری متفاوت تبدیل شوند. یعنی IC فیلتر را می توانیم با استفاده از چند مقاومت به یک فیلتر میان گذربا هر فرکانس مرکزی و یا یک

فیلر بالا گذر یا پایین گذر با هر فرکانس قطع تبدیل کنیم. بهمین دلیل استفاده از IC فیلتر هم ساده تر و هم راحت تر می باشد. با توجه به مطالب فوق پیشنهاد می کنیم برای مداراتی که به برد بیش از ۵ متر نیاز است از IC Mf10 استفاده شود.

سنسورهای التراسونیک

در زیر به یکی از مدل ها و فرمول های لازم اشاره شده است:

$$R_{2A} = R_{4A} \frac{f_{0A}^2}{(f_{CLK}/100)^2}$$

$$R_{2B} = R_{4B} \frac{f_{0B}^2}{(f_{CLK}/100)^2}$$

$$R_{3A} = Q_A \sqrt{R_{2A} R_{4A}}$$

$$R_{3B} = Q_B \sqrt{R_{2B} R_{4B}}$$

$$R_{1B} = 20k$$

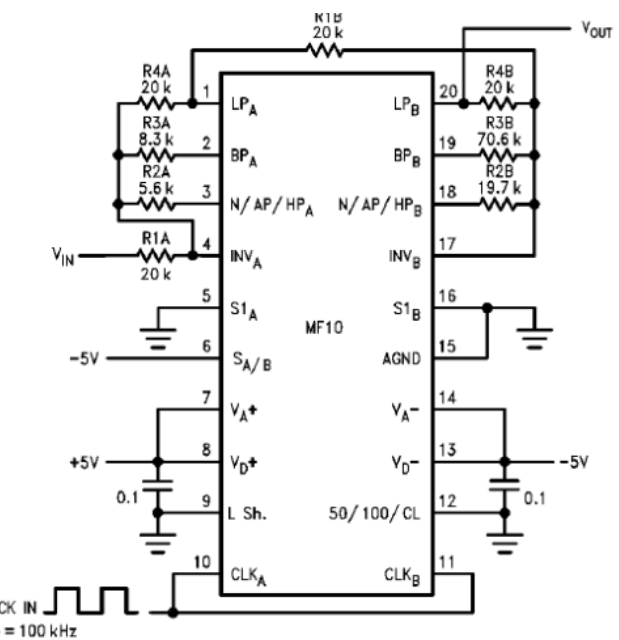
$$R_{4B} = R_{1B} = 20k$$

aminnima2@gmail.com

نویسنده: امین شیخ نجدی

Supply Voltage ($V^+ - V^-$)	14V
Voltage at Any Pin	$V^+ + 0.3V$ $V^- - 0.3V$
Input Current at Any Pin (Note 2)	5 mA
Package Input Current (Note 2)	20 mA
Power Dissipation (Note 3)	500 mW
Storage Temperature	150°C
ESD Susceptability (Note 11)	2000V

پس طبقات گیرنده به ترتیب زیر می باشند:
حذف \leftarrow تقویت کننده \leftarrow حذف افست \leftarrow دو برابر کننده ولتاژ
 \leftarrow مقایسه کننده \leftarrow بافر سه حالته \leftarrow میکرو



لینک محصول: <http://eshop.eea.ir/link/334.php>

Windows Embedded CE 6.0 +R2&R3

یک سیستم عامل کوچک که مایکروسافت برای کامپیوترهای شخصی دستی و کوچک طراحی نموده و در سیستم هایی چون AutoPC گنجانده شده است. ویندوز CE، که رابط گرافیکی آن مشابه رابط گرافیکی ویندوز X ۹ و NT است، نسخه کوچکی از برخی از برنامه های کاربردی مایکروسافت، از جمله اکسل word اینترنت اکسپلورر - Schedule و یک سرویس گیرنده پست الکترونیکی و بسیاری امکانات دیگر را در خود جای داده است. این سیستم عامل قابلیت نسبت بروی نسل های ۹ به بعد تراشه های ARM را دارا می باشد. این نسخه شامل یک کامل نرم افزار های مورد نیاز جهت نسب این سیستم عامل به همراه مجموعه ای از مقالات، نکات آموزشی و فیلم جهت کار با این سیستم عامل بوده که لیست کامل محتویات یک در زیر قرار داده شده است.

Windows CE 6.0

Windows CE 6.0 R2

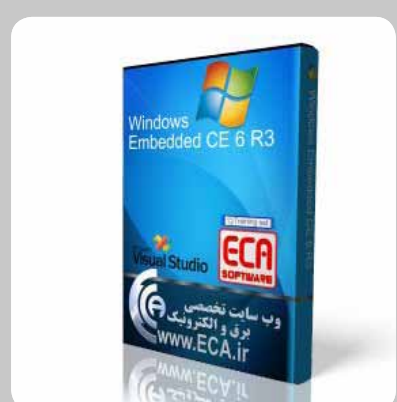
Windows CE 6.0 R3

Visual Studio 2005 Pro

Mini2440 CE6 Suite 1001

UPDATE MINI2440

Training set



پروگرامر و دیباگر J-LINK V8.0



JTAG
TECHNOLOGIES

Cortex
Intelligent Processors by ARM®

NXP

ATMEL



محتویات محصول :

- یک دستگاه پروگرامر J-Link
- کابل USB
- کابل فلت ۲۰ رشته
- پرگه ضمانت ۱۲ ماهه
- لوح فشرده شامل :

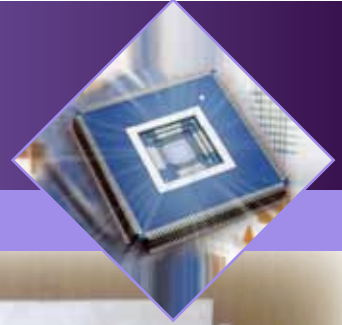
- J-Link ARM V4.14f
- Keil µVision V4.03q
- IAR for ARM v5.50.5
- ARM DataSheet

برخی از ویژگی های مهم این دستگاه :

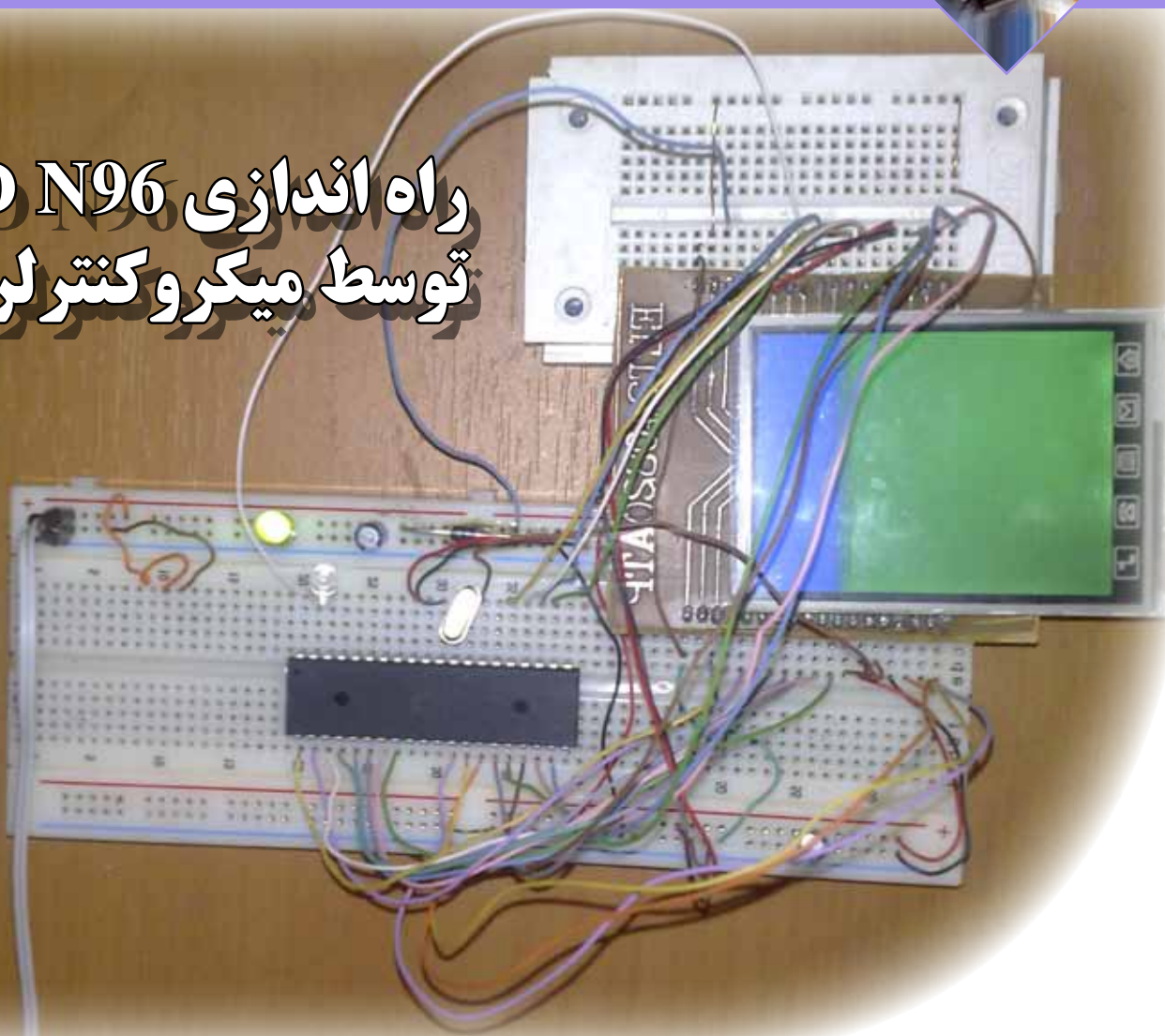
- ارتباط با کامپیوتر از طریق پورت USB 2.0
- توانایی پروگرام و دیباگ در کامپایلرهای مختلف (... , IAR , Keil)
- پشتیبانی کامل از تمام میکروکنترلهای ARM7/ARM9/ARM11(Atmel, Philips, Cortex-M0/M1/M3, ...)
- پشتیبانی از Serial Wire Debug (SWD)
- پشتیبانی از Serial Wire Viewer (SWV)
- قابلیت شناسایی اتوماتیک قطعات 12MHZ تا JTAG
- سرعت دانلود تا 720 Kbytes/second
- سرعت DCC تا 800 Kbytes/second
- سازگاری کامل با IAR Embedded Workbench IDE
- بدون نیاز به تغذیه (تامین تغذیه از طریق پورت USB)
- قابلیت نمایش JTAG signal و قابلیت اندازه گیری target voltage
- پشتیبانی از دستگاههای متعدد plug and play
- دارای کانکتور JTAG ۲۰ پین استاندارد
- رنج ولتاژ کاری بالا از ۱.۲v تا 3.۳v (قابلیت کار تا ۵v)
- دارای کابل USB و کابل ریبون ۲۰ پین
- دارای سیستم تغذیه هوشمند (محافظت در برابر اضافه بار)
- قابلیت استفاده از JTAG به صورت ۱۴ پین Memory viewer
- پشتیبانی از Flash programming
- پشتیبانی از نرم افزارهای Flash DLL
- پشتیبانی از سیستم Software Developer Kit (SDK)
- پشتیبانی از Embedded Trace Buffer (ETB)



لينك محصول : <http://eshop.eca.ir/link/506.php>



راه اندازی LCD N96 توسط میکروکنترلر AVR



یعنی هر سطر از ۱۲۸ پیکسل تشکیل شده است پس در کل این LCD $128 \times 64 = 8192$ پیکسل دارد و برای نمایش تصویر این پیکسل ها باید مقدار دهی شوند.

هر چه تعداد پیکسل ها در یک مساحت ثابت و مشخص بیشتر باشد، تصویر کیفیت بهتری خواهد داشت.

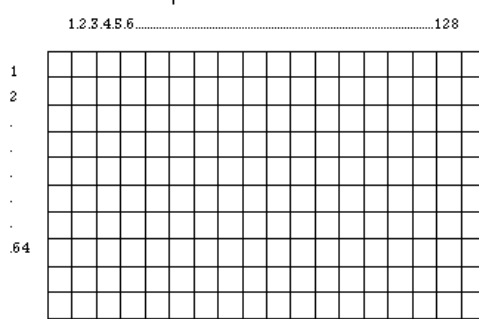
دو شکل ۲-الف و ۲-ب را در نظر می گیریم مساحت هر دوی آن ها با هم برابر است (هر دوی آن ها 3×2 هستند) ولی تعداد پیکسل های شکل (ب) بیشتر از شکل (الف) است در نتیجه فاصله پیکسل ها از هم کم است و پیکسل ها نزدیک به هم هستند در نتیجه تصویری

یکی از متداول ترین روش های نمایش اطلاعات استفاده از LCD ها می باشد. LCD ها معمولا در سه نوع کارکتری، گرافیکی و رنگی یافت می شوند. از LCD های کارکتری برای نمایش حروف و اعداد و از LCD های گرافیکی برای نمایش تصاویر گرافیکی سیاه و سفید استفاده می شود. اما برای نمایش تصاویر رنگی باوضوح و کیفیت بالاتر از LCD رنگی استفاده می کنند.

در این مقاله به توضیح LCD N96 چینی (ELT240320ATP) می پردازیم که این LCD دارای یکی از کنترلرهای ILI9325 یا ILI9320 می باشد که در اینجا به توضیح کنترلر ILI9325 می پردازیم (البته ناگفته نماند که کدهای راه اندازی هر دوی آنها مشابه هم می باشد).

در ابتدا به توضیح مختصراً درباره ای اصطلاحاتی که در این مقاله بیشتر با آن ها سرو کار داریم و درک مفهوم آن ها حائز اهمیت است می پردازیم.

پیکسل : LCD های گرافیکی چه از نوع رنگی و یا سیاه و سفید تصویر را به کمک پیکسل ها به نمایش در می آورند مثلاً گرافیکی سیاه و سفید 128×64 را در نظر می گیریم. 64×128 نشان می دهد که این LCD ۶۴ سطر دارد و در هر سطر 128 ستون



شکل ۱ : به هر یک از این خانه ها یک پیکسل می گویند

راه اندازی LCD N96 توسط میکروکنترلر AVR

عملکرد پایه های LCD

پایه های تغذیه : این LCD دارای ۵ پایه تغذیه می باشد که پایه های ۵ و ۳۴ GND هستند و پایه های VCC ۶،۳۲،۳۳ هستند که باید به ولتاژ تغذیه ۳،۳ وصل شوند (رنج ولتاژ مجاز در DATA آورده شده است).

پایه های (DB10-DB17) و (DB1-DB8) : این پایه ها DATA BUS (گذرگاه های داده) هستند یعنی توسط این پایه ها کد دستورات و داده ها به LCD ارسال می شوند و میکرو توسط این خطوط داده ها را از LCD می خوانند.

پایه CS : پایه انتخاب تراشه (CHIP SELECT) است که باید در هنگام خواندن و یا نوشتند DATA در LCD این پایه فعال باشد (CS=1) حالت فعال CS=0 و حالت غیر فعال.

پایه RS : این پایه وظیفه ای انتخاب رجیستر دستور العمل با رجیستر داده را بر عهده دارد که اگر این پایه در سطح پایین (0 منطقی) باشد رجیستر دستور العمل انتخاب می شود و اگر در سطح بالا (1 منطقی) باشد رجیستر داده انتخاب می شود.

پایه WR : توسط این پایه می توانیم دستورات یا داده ها را در LCD بنویسیم یعنی اگر این پایه در سطح پایین باشد قصد نوشتند دستور در رجیستر دستور العمل یا دیتا در رجیستر داده را داریم.

پایه RD : اگر این پایه در سطح منطقی صفر باشد یعنی قصد خواندن داده را از LCD داریم.

پایه RST : اگر این پایه در سطح منطقی صفر باشد LCD را باز نشانی می کند.

پایه IM0 : توسط این پایه می توانیم مد کاری LCD را تعیین کنیم که اگر این پایه در سطح منطقی پایین باشد (IM0=0) مد ۱۶ بیتی انتخاب می شود و اگر این پایه در سطح منطقی بالا باشد (IM0=1) مد ۸ بیتی انتخاب می شود توجه کنید که اگر مد ۸ بیتی انتخاب شود (IM0=1) در این صورت پایه های (DB10-DB17) را از LCD بعنوان گذرگاه های داده مورد استفاده قرار می گیرد. همچنین بر روی فلت LCD دو تا جای مقاومت وجود دارد که اگر مد ۸ بیتی انتخاب شود باید مقاومت لحیم شده در R2 را در بیاوریم و به R1 لحیم کنیم.

پایه های X+Y-X-Y : مربوط به صفحه لمسی LCD می باشند. **پایه های LEDK1-LEDK4 و LED-A :** این پایه ها مربوط به بک لایت LCD می باشد که LED-A آند دیود های نورانی می باشد و بقیه (LEDK1-LEDK-4) کاتد های دیود های نورانی می باشد.

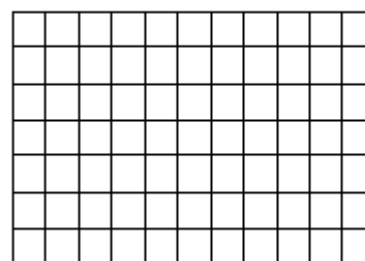
نحوه خواندن و نوشتند

در این جا لازم است با مفهوم دو کلمه (دستور و داده) آشنا شویم. **دستور :** برای تنظیم قسمت های مختلف LCD (تنظیمات قسمت های LCD، پانل POWER، تنظیمات شفافیت تصویر و...) ابتدا باید کد هر یک از این قسمت هارا به LCD ارسال کنیم تا کنترلر LCD متوجه شود که ما قصد مقدار دهی بیت های کدام قسمت را داریم. که به این کد ها کد دستوری می گوییم. مثلا برای تنظیم قسمت ENTRY MODE ابتدا باید کد (03H) را ارسال کنیم با ارسال این کد، کنترلر LCD متوجه می شود که ما می خواهیم بیت های

که در شکل (ب) به نمایش در می آید نسبت به شکل (الف) کیفیت بهتری خواهد داشت.

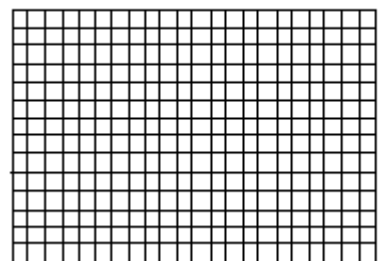
یکی از تفاوت های LCD های رنگی با سیاه و سفید این است که LCD های رنگی تعداد پیکسل بیشتری نسبت به LCD های سیاه و سفید دارند و این باعث می شود که کیفیت تصویر در LCD های رنگی بیشتر از LCD های گرافیکی سیاه و سفید باشد. به علاوه پیکسل های LCD های رنگی توانایی نمایش رنگ های مختلف را دارند ولی پیکسل های LCD های سیاه و سفید از این توانایی برخوردار نیستند.

3 CM



شکل ۲ - الف

3 CM



شکل ۲ - ب

کنترلر : در داخل LCD های گرافیکی ۱ یا ۲ کنترلر (آی سی) وجود دارد که تمام کار های LCD اعم از تنظیمات تغذیه، مقداردهی پیکسل ها و... را انجام می دهد.

نحوه نمایش تصویر بر روی LCD های گرافیکی : در LCD های گرافیکی یک RAM داخلی وجود دارد که اطلاعات مربوط به پیکسل ها در این RAM ذخیره می شوند سپس کنترلر این LCD اطلاعات را از RAM خوانده و متناسب با آن پیکسل ها را مقداردهی می کند بعد از مقدار دهی پیکسل ها تصویر یا چیز دیگری که قرار است روی LCD نشان داده شود به نمایش در می آید.

درباره LCD N96 چینی

این LCD دارای ۲۰۰*۲۰۰ پیکسل می باشد که در دو مد ۱۶ بیتی و ۸ بیتی کار می کند. این نوع LCD دارای یکی از کنترلرهای ILI9320 یا ILI9325 است. البته کنترلرهای دیگری نیز وجود دارند ولی در این مقاله بحث ما فقط در مورد دو کنترلر ذکر شده خواهد بود. این LCD قابلیت اتصال تاچ اسکرین را نیز دارد.

راه اندازی LCD N96 توسط میکروکنترلر AVR

8.2.6. Entry Mode (R03h)

R/W	RS	D15	D14	D13	D12	D11	D10	D9	D8	D7	D6	D5	D4	D3	D2	D1	D0
W	1	TRI	DFM	0	BGR	0	0	HWM	0	ORG	0	I/D1	I/D0	AM	0	0	0

جدول ۱

مقدار دهی می شود و بایت کم ارزش با مقدار کد دستور مقدار دهی می شود.

برای نوشتندگی داده در رجیستر داده (WRITE TO CONTROL REGISTER OR THE INTERNAL GRAM BY WDR) ابتدا CS را فعال می کنیم (CS=0) بعد RD و RS را SET می کنیم (RS=1, RD=1) سپس مقدار داده را در پایه های DB17 تا DB1 (wr=0) قرار می دهیم و پایه wr را reset می کنیم (wr=1, cs=1) تا داده ها وارد رجیستر مربوطه شوند سپس cs را set (wr=1, cs=1) برای خواندن داده از lcd طبق جدول (۵) می کنیم (wr=1, cs=1). برای خواندن داده از rdr reg (read from the internal gram by rdr reg) ابتدا wr و rs را set می کنیم و طبق معمول Cs را نیز reset می کنیم بعد هر زمان که بخواهیم داده ها را از رجیستر مربوطه بخوانیم reset RD را RD می کنیم (RD=0) می کنیم در این صورت اطلاعات خوانده شده و در روی پورت های مربوطه قرار می گیرد و سپس بعد از خواندن داده ها پایه i RD را SET می کنیم.

تنظیمات راه اندازی اولیه LCD

برای اینکه LCD بتواند به درستی کار کند نیاز به تنظیماتی از قبیل تنظیمات power، تعیین مد LCD، تعیین مساحت پنجره GRAM و ... است که قبل از استفاده از LCD باید این ها مقدار دهی شوند البته این LCD تنظیمات زیادی دارد که توضیح همه این ها از بحث ما خارج است و ما فقط آن قسمت های را که مهم هستند توضیح خواهیم داد. و بقیه قسمت ها را می توان با استفاده از date sheet مقدار دهی نمود (البته همه این قسمت ها در برنامه بطور خلاصه توضیح داده خواهد شد).

1-1 start oscillation: طبق جدول کد دستور این قسمت (00h) است که ابتدا باید این کد را به LCD ارسال کنیم و سپس با توجه به جدول داده i (0001h) را به LCD ارسال کنیم.

1-2 driver output control: در این قسمت باید دو بیت ss و sm مقدار دهی شوند. بیت ss تا s720 را تعیین کند و بیت sm تا 00H=DB9 و DB8 را تعیین کند.

8.2.3. Start Oscillation (R00h)

R/W	RS	D15	D14	D13	D12	D11	D10	D9	D8	D7	D6	D5	D4	D3	D2	D1	D0
W	1	-	-	-	-	-	-	-	-	-	-	-	-	-	-	1	
R	1	1	0	0	1	0	0	1	1	0	0	1	0	0	1	0	1

The device code "9325h" is read out when read this register.

جدول ۲

Registers selection by system interface (8-/9-/16-/18-bit bus width)

I80

Function

RS	nWR	nRD
0	0	1
0	1	0
1	0	1
1	1	0

Write an index to IR register

Read an internal status

Write to control registers or the internal GRAM by WDR register.

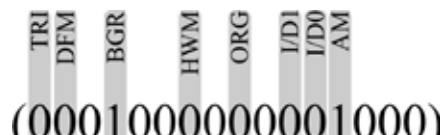
Read from the internal GRAM by RDR register.

جدول ۳

این قسمت را مقدار دهی کنیم که به (03H) کد دستور ENTRY MODE می گوییم.

ENTRY MODE در مثال بالا بعد از ارسال کد دستور MODE نوبت به آن می رسد که بیت های آن قسمت (TRI, DFM, BGR, HWM, ORG, I/D1, I/D0, AM) را مقدار دهی می کنیم که به مقدار این بیت ها که توسط میکرو ارسال می شود داده می گوییم. به عنوان مثال این بیت ها را این طوری مقدار دهی می کنیم که به مقدار این بیت ها داده می گوییم (Data=0001000000001000). بعد از کد دستورها به تمامی اطلاعات (کد رنگ ها و تصویر...) نیز داده گفته می شود. بعد از آشنایی با مفهوم داده و دستور به نحوه نوشتندگی در LCD از نحوه خواندن و نوشتندگی داده در LCD می پردازیم.

در مرد ۱۶ بیتی طبق جدول ۳ برای نوشتندگی در رجیستر دستور العمل (WRITE AN INDEX TO IR REGISTER) ابتدا پایه i CS را فعال کنیم (CS=0) بعد طبق جدول پایه i RS را وارد شوند (RD=1, RS=0) سپس SET می کنیم (RD=1, RS=0) و پایه i RESET را



شکل ۳

کد دستور را در پایه DB17 تا DB1 قرار می دهیم و سپس WR را RESET می کنیم (WR=0) با WR کردن کد دستور در پایه های DB17 وارد رجیستر دستور العمل (IR REGISTER) می شود بعد از وارد شدن مقادیر در رجیستر دستور العمل پایه های CS و WR را SET می کنیم (CS=1, WR=1). توجه: چون تمامی کد های دستور مقداری یک باشند پس باید کد دستور در پایه های DB8 تا DB1 قرار گیرند و بقیه پایه های DB17 تا DB9 با مقدار صفر مقدار دهی شوند (کد دستور DB17=00H=DB9 و DB8=0). یعنی باید پر ارزش با صفر

راه اندازی AVR میکرو کنترلر LCD N96 توسط

8.2.6. Entry Mode (R03h)

R/W	RS	D15	D14	D13	D12	D11	D10	D9	D8	D7	D6	D5	D4	D3	D2	D1	D0
W	1	TRI	DFM	0	BGR	0	0	HWM	0	ORG	0	ID1	ID0	AM	0	0	0

جدول ۵

بیت AM: نحوه استفاده از LCD به صورت افقی یا عمودی را مشخص می کند. اگر AM=0 باشد LCD بصورت افقی و اگر AM=1 باشد LCD بصورت عمودی مورد استفاده قرار می گیرد. بیت های I/D: مقدار این بیت ها نحوه UPDATE (00000H) را در GRAM می دهد. حالت غیر فعال این بیت صفر است (ORG=0).

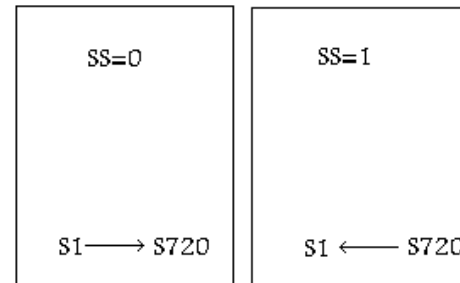
بیت BGR: اگر مقدار این بیت یک باشد (BGR=1) در این صورت جای R و B عوض می شود (RGB) و در حالت غیر فعال مقدار این بیت صفر است (BGR=0). در صورتی که این بیت غیر فعال باشد در آن صورت تغییر در جاهای (RGB) ایجاد نمی شود و در حالت اصلی (RGB) باقی می ماند.

بیت TRI: در حالت غیر فعال مقدار این بیت صفر است اگر مقدار این بیت یک شود (TRI=1) در آن صورت بیت DFM مد انتقال داده را تعیین می کند.

RESIZING CONTROL REGISTER: ۱-۴ کد دستور این قسمت (04H) می باشد که می بایستی ابتدا در رجیستر دستور العمل نوشته شود.

بیت های RSZ0 و RSZ1: مقدار این بیت ها طبق جدول زیر ضریب کوچک شدن تصویر اصلی را نشان می دهد. که از این جدول

می کند. اگر SS=0 باشد جهت شیفت از S1 به S720 می باشد و اگر SS=1 باشد جهت شیفت از S720 به S1 می باشد. (جدول ۶) SCAN CONTROL : عملکرد این بیت را در جدول قسمت SM توضیح خواهیم داد.



8.2.4. Driver Output Control (R01h)

R/W	RS	D15	D14	D13	D12	D11	D10	D9	D8	D7	D6	D5	D4	D3	D2	D1	D0
W	1	0	0	0	0	0	SM	0	SS	0	0	0	0	0	0	0	0

جدول ۶

ENTRY MODE ۱-۳ : طبق جدول ۶ کد دستور این قسمت (03H) می باشد ابتدا باید این کد را در رجیستر دستور العمل بنویسیم و بعد بیت های این قسمت را مقدار دهی کرده و در رجیستر داده می نویسیم.

SM	GS	Scan Direction	Gate Output Sequence
0	0		G1, G2, G3, G4, ..., G318 G317, G318, G319, G320
0	1		G320, G319, G318, ..., G8, G5, G4, G3, G2, G1
1	0		G1, G3, G5, G7, ..., G311 G313, G315, G317, G319 G2, G4, G6, G8, ..., G312 G314, G316, G318, G320
1	1		G320, G318, G316, ..., G10, G8, G6, G4, G2 G319, G317, G315, ..., G9, G78, G6, G3, G1

جدول ۶

LCD رنگی با تاچ (نمایشگر معروف به LCD گوشی N96 چینی)

LCD گوشی N96 چینی با ELT240320 دارای یک نمایشگر رنگی ۷*۵ سانتی متری (با اندازه تصویر ۲۰ * ۳۲ پیکسل) می باشد که توسط آن میتوانید تصاویر و متون رنگی خود را به نمایش در آورید.

این lcd دارای درایور داخلی به شماره i li9325 می باشد که میتواند از طریق ۱۶ خط داده با انواع میکرو کنترلر های ۸ و ۱۶ بیتی (arm یا avr) ارتباط برقرار کرده و اطلاعات مربوط به تصاویر را از آنها دریافت کند.

این LCD به همراه تاچ اسکرین مخصوص خودش ارائه میشود.

لینک محصول :

<http://eshop.eea.ir/link/511.php>

راه اندازی LCD N96 میکروکنترلر AVR

	I/D[1:0] = 00 Horizontal : decrement Vertical : decrement	I/D[1:0] = 01 Horizontal : increment Vertical : decrement	I/D[1:0] = 10 Horizontal : decrement Vertical : increment	I/D[1:0] = 11 Horizontal : increment Vertical : increment
AM = 0 Horizontal				
AM = 1 Vertical				

جدول ۸

TRI	DFM	16-bit MPU System Interface Data Format
0	*	<p>system 16-bit interface (1 transfers/pixel) 65,536 colors</p>
1	0	<p>80-system 16-bit interface (2 transfers/pixel) 262,144 colors</p>
1	1	<p>80-system 16-bit interface (2 transfers/pixel) 262,144 colors</p>

TRI	DFM	8-bit MPU System Interface Data Format
0	*	<p>system 8-bit interface (2 transfers/pixel) 65,536 colors</p>
1	0	<p>80-system 8-bit interface (3 transfers/pixel) 262,144 colors</p>
1	1	<p>80-system 8-bit interface (3 transfers/pixel) 262,144 colors</p>

جدول ۸

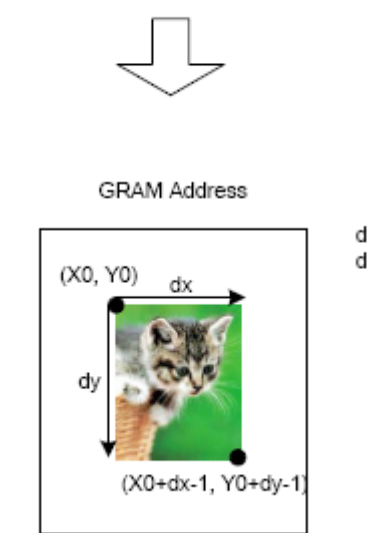
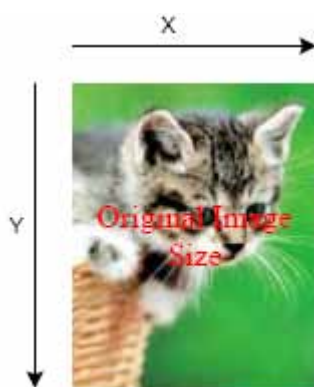
8.2.7. Resizing Control Register (R04h)

R/W	RS	D15	D14	D13	D12	D11	D10	D9	D8	D7	D6	D5	D4	D3	D2	D1	D0
W	1	0	0	0	0	0	0	RCV1	RCV0	0	0	RCH1	RCH0	0	0	RSZ1	RSZ0

جدول ۹

مشاهده می شود که تصویر اصلی می تواند ۲ یا ۴ برابر کوچکتر شود.
بیت های (RCH1,RCH0): طبق جدول زیر مقدار این بیت ها باقی مانده پیکسل ها در جهت افقی نشان می دهد.

بیت های (rcv1,rcv0): مقدار این بیت ها باقی مانده پیکسل ها را درجهت عمودی نشان می دهد.



شکل ۳

شروع تصویر در gram می باشد. یعنی می توانیم تصویر کوچک شده را در هر نقطه‌ی دلخواه بر روی پانل lcd به نمایش در بیاوریم (باعظی مقادیر $x0 \times y0$ و $(x0+dx-1, y0+dy-1)$)

پارامتر های H و V به ترتیب باقی مانده تعداد پیکسل ها در جهت افقی RCH و باقی مانده پیکسل ها در جهت عمودی RCV است و N نیز RESIZING FACTOR یا ضریب کوچک شدن تصویر است.

دستور این قسمت (07H)DISPLAY CONTROL1-5: طبق جدول ۱۴ کد دستور این قسمت (07H) می باشد. که طبق معمول ابتدا باید این کد در رجیستر دستورالعمل نوشته شود.

RSZ[1:0]	Resizing factor
00	No resizing (x1)
01	$\times 1/2$
10	Setting prohibited
11	$\times 1/4$

جدول ۱۰

Original Image Size (X x Y)	Resized Image Resolution	
	1/2 (RSZ=2'h1)	1/4 (RSZ=2'h3)
640 × 480	320 × 240	160 × 120
352 × 288	176 × 144	88 × 72
320 × 240	160 × 120	80 × 60
176 × 144	88 × 72	44 × 36
120 × 160	60 × 80	30 × 40
132 × 132	66 × 66	33 × 33

جدول ۱۱

همان طور که در شکل ۳ دیده می شود. طول تصویر اصلی برابر x و عرض تصویر برابر y فرض شده است. بعد از عمل کوچک کردن

RCH [1:0]	Number of remainder Pixel in Horizontal Direction
00	0 Pixel
01	1 Pixel
10	2 Pixel
11	3 Pixel

جدول ۱۲

تصویر اصلی، تصویری که در پانل lcd به نمایش در خواهد آمد طولی برابر با dx و عرضی برابر dy خواهد داشت. $x0$ و $y0$ آدرس

RCV [1:0]	Number of remainder Pixel in Vertical Direction
00	0 Pixel
01	1 Pixel
10	2 Pixel
11	3 Pixel

جدول ۱۳

راه اندازی LCD N96 میکروکنترلر AVR

8.2.8. Display Control 1 (R07h)

R/W	RS	D15	D14	D13	D12	D11	D10	D9	D8	D7	D6	D5	D4	D3	D2	D1	D0
W	1	0	0	PTDE1	PTDE0	0	0	0	BASEE	0	0	GON	DTE	CL	0	D1	D0

جدول ۱۴

در این صورت قسمت یک و دو تصویر غیر فعال می شوند و LCD فقط در صورتی که BASEE=1 باشد یک تصویر را نشان می دهد. و اگر مقدار این بیت ها یک شود (PTDE0=1) و (PTDE1=1) در این صورت می توانیم در پانل LCD دو تصویر مجزا را به نمایش در بیاوریم. یاد آور می شود که در این دراین حالت باید BASEE=0 باشد. (چگونگی ایجاد تصویر با استفاده از بیت های فعال ساز PTDE را در جدول ۳۴ به طور کامل توضیح خواهیم داد).

RGB DISPLAY INTERFACE CONTROL: ۱-۶ جدول ۲۱ کد دستور این قسمت (0CH) می باشد که ابتدا باید این کد را در رجیستر دستور العمل بنویسیم.

بیت های RTM0 و RTM1: طبق جدول زیر مقدار این بیت ها طول بیت های دیتا را در واسط سخت افزاری RGB تعیین می کند. به عنوان مثال اگر هر دو این بیت ها صفر شوند (RTM0=0 و RTM1=0) در این صورت داده ها به صورت ۱۸ بیتی منتقل می شوند (با استفاده از گذر گاه های DB0 تا DB17).

RIM1	RIM0	RGB Interface Mode
0	0	18-bit RGB interface (1 transfer/pixel), DB[17:0]
0	1	16-bit RGB interface (1 transfer/pixel), DB[17:13] and DB[11:1]
1	0	6-bit RGB interface (3 transfers/pixel), DB[17:12]
1	1	Setting disabled

جدول ۱۸

بیت های DM0 و DM1: طبق جدول (c) مقدار این بیت ها نوع واسط سخت افزاری را تعیین می کند. به عنوان مثال اگر مقدار این این بیت ها (01) باشد (dm1=0 و dm0=1) رابط سخت افزاری RGB انتخاب می شود.

DM1	DM0	Display Interface
0	0	Internal system clock
0	1	RGB interface
1	0	VSYNC interface
1	1	Setting disabled

جدول ۱۹

بیت RM: نوع واسط سخت افزاری را برای دستیابی به GRAM تعیین می کند به عنوان مثال اگر مقدار این بیت یک باشد (RM=1) در این صورت واسط سخت افزاری RGB برای نوشتن داده ها در GRAM به کار می رود.

RM	Interface for RAM Access
0	System interface/VSYNC interface
1	RGB interface

جدول ۲۰

بیت های D0 و D1: مقدار این بیت ها پانل LCD را روشن یا خاموش می کند. اگر مقدار این بیت ها ۱ باشد (D1=1 و D0=1) در این صورت پانل روشن می شود. در واقع روشن یا خاموش بودن پانل LCD را بیت D1 تعیین می کند. که اگر مقدار این بیت ۱ باشد صفحه روشن و اگر مقدار این بیت ۰ باشد صفحه خاموش می شود.

D1	D0	BASEE	Source, VCOM Output	ILI9325 internal operation
0	0	0	GND	Halt
0	1	1	GND	Operate
1	0	0	Non-lit display	Operate
1	1	0	Non-lit display	Operate
1	1	1	Base image display	Operate

جدول ۱۵

بیت CL: طبق جدول ۱۶ اگر مقدار این بیت صفر شود LCD ۲۶۲،۱۴۴ رنگ می شود. و اگر مقدار این بیت ۱ شود LCD ۸ رنگ می شود.

CL	Colors
0	262,144
1	8

جدول ۱۶

بیت های GON و DTE: مقدار این بیت ها سطح ولتاژ خروجی راه اندازهای G1 تا G32 را تعیین می کند.

GON	DTE	G1 ~G320 Gate Output
0	0	VGH
0	1	VGH
1	0	VGL
1	1	Normal Display

جدول ۱۷

بیت BASEE: در پانل LCD می توانیم تصویر را بصورت یکپارچه (یک تصویر) به نمایش در آوریم یا می توانیم پانل LCD را به دو قسمت مجزا تقسیم کنیم و در هر قسمت یک تصویر ایجاد کنیم حال LCD مقدار این بیت یک شود (BASEE=1) در این صورت تصویر پایه را بصورت یکپارچه نمایش می دهد یعنی اگر ما بخواهیم تصویر را در کل LCD مشاهده کنیم باید مقدار این بیت را یک کنیم. اگر مقدار این بیت صفر منطقی باشد (BASEE=0) در این صورت LCD تصویری را نشان نمی دهد.

و برای نمایش تصویر باید بیت های PTDE0/1 را مقدار دهی نمود. بیت های PTDE1 و PTDE0: بیت های فعال ساز قسمت ۲۱ تصویر (PTDE1=0, PTDE0=0) می باشد. اگر مقدار این بیت ها صفر باشد (PTDE1=1, PTDE0=1).

8.2.12. RGB Display Interface Control 1 (R0Ch)

R/W	RS	D15	D14	D13	D12	D11	D10	D9	D8	D7	D6	D5	D4	D3	D2	D1	D0
W	1	0	ENC2	ENC1	ENC0	0	0	0	RM	0	0	DM1	DM0	0	0	RIM1	RIMO

جدول ۲۱

راه اندازی AVR LCD N96 توسط میکروکنترلر

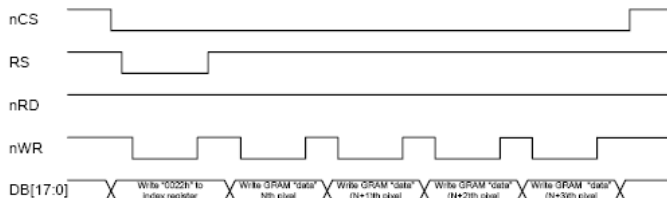
8.2.19. GRAM Horizontal/Vertical Address Set (R20h, R21h)

R/W	RS	D15	D14	D13	D12	D11	D10	D9	D8	D7	D6	D5	D4	D3	D2	D1	D0
W	1	0	0	0	0	0	0	0	0	AD7	AD6	AD5	AD4	AD3	AD2	AD1	AD0
W	1	0	0	0	0	0	0	0	AD16	AD15	AD14	AD13	AD12	AD11	AD10	AD9	AD8

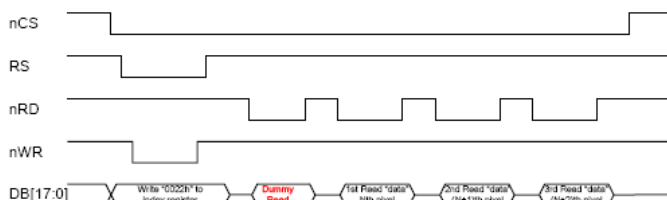
جدول ۲۲

تصویر در GRAM توسط بیت های AD0 تا AD16 می تواند تصویر را در هر نقطه ای دلخواه از پانل LCD به نمایش در آورد. READ DATA FROM GRAM: برای خواندن داده ها از GRAM ابتدا باید کد دستور این قسمت یعنی (22H) را در رجیستر (CS=0) دستور العمل بنویسیم سپس پایه ای CS را (CS=0) (جدول ۲۵). موقعی که می خواهیم کد دستور را بنویسیم برای لحظه ای RS و WR را نیز RESET می کنیم (RS=0,WR=0) سپس

(a) Write to GRAM



(b) Read from GRAM



شكل ۴

بعد از نوشتن کد دستور RS و WR را SET می کنیم. بعد با هر بار RESET کردن RD یک پیکسل داده از GRAM خوانده شده و داده ها در روی گذرگاه های DB0 تا DB17 تا AD0 تا AD16 می گیرد.

WRITE DATA FROM GRAM: برای نوشتن داده ها در GRAM ابتدا باید کد دستور این قسمت (22H) را در رجیستر دستور العمل بنویسیم سپس پایه ای CS را RESET می کنیم (طبق جدول ۲۶). یعنی همه ی مراحل نوشتن در GRAM مانند خواندن از آن است. فقط با این تفاوت که در موقع نوشتن هر بار که بخواهیم یک پیکسل داده را در GRAM بنویسیم باید پایه ای WR را RESET و بعد از نوشتن، WR را باید SET کنیم.

8.2.21. Read Data from GRAM (R22h)

R/W	RS	D17	D16	D15	D14	D13	D12	D11	D10	D9	D8	D7	D6	D5	D4	D3	D2	D1	D0
R	1	RAM Read Data (RD[17:0], the DB[17:0] pin assignment differs for each interface.)																	

جدول ۲۵

8.2.20. Write Data to GRAM (R22h)

R/W	RS	D17	D16	D15	D14	D13	D12	D11	D10	D9	D8	D7	D6	D5	D4	D3	D2	D1	D0
W	1	RAM write data (WD[17:0], the DB[17:0] pin assignment differs for each interface.)																	

جدول ۲۶

بیت های ENC0، ENC1، ENC2 عملکرد این بیت ها نیز به طور واضح در جدول زیر آورده شده است.

ENC[2:0]	GRAM Write Cycle (Frame periods)
000	1 Frame
001	2 Frames
010	3 Frames
011	4 Frames

جدول ۲۳

GRAM HORIZONTAL/VERTICAL ADDRESS SET: طبق جدول ۲۲ کد دستور این قسمت (20H) و (21H) می باشد که کد دستور (20H) مربوط به قسمت HORIZONTAL و (21H) مربوط به قسمت VERTICAL می باشد.

بیت های AD16 تا AD0 که مقدار این بیت ها آدرس شروع در GRAM را مشخص می کند. بیت های AD7 تا AD0 که کد دستور این قسمت (20H) می باشد طول نقطه ای شروع در GRAM و بیت های AD8 تا AD16 که کد دستور این قسمت (21H) می باشد عرض نقطه ای شروع در GRAM را تعیین می کند. بنابراین مقدار بیت های AD0 تا AD7 می تواند از ۰ تا ۲۳۹ باشد و مقدار بیت های AD8 تا AD16 می تواند از ۰ تا ۳۱۹ باشد. (جدول ۲۴)

AD[16:0]	GRAM Data Map
17'h00000 ~ 17'h000EF	1 st line GRAM Data
17'h00100 ~ 17'h001EF	2 nd line GRAM Data
17'h00200 ~ 17'h002EF	3 rd line GRAM Data
17'h00300 ~ 17'h003EF	4 th line GRAM Data
17'h13D00 ~ 17'h13DEF	318 th line GRAM Data
17'h13E00 ~ 17'h13EEF	319 th line GRAM Data
17'h13F00 ~ 17'h13FEF	320 th line GRAM Data

جدول ۲۴

در اینجا لازم است که به طور خلاصه با مفهوم GRAM آشنا شویم. GRAM همانطور که از اسمش پیداست مخفف کلمه ای Graphic RAM (رم گرافیکی) است که اطلاعات مربوط به پیکسل ها در این RAM ذخیره شده و کنترلر LCD این اطلاعات را از GRAM خوانده و پیکسل ها را مقدار دهی می کند. هر پیکسل در آدرسی دارد و به همین دلیل با تغییر آدرس نقطه ای شروع

راه اندازی LCD N96 توسط میکروکنترلر AVR

8.2.25. Horizontal and Vertical RAM Address Position (R50h, R51h, R52h, R53h)

	R/W	RS	D15	D14	D13	D12	D11	D10	D9	D8	D7	D6	D5	D4	D3	D2	D1	D0
R50h	W	1	0	0	0	0	0	0	0	HSA7	HSA8	HSA5	HSA4	HSA3	HSA2	HSA1	HSA0	
R51h	W	1	0	0	0	0	0	0	0	HEA7	HEA8	HEA5	HEA4	HEA3	HEA2	HEA1	HEA0	
R52h	W	1	0	0	0	0	0	0	0	VSA8	VSA7	VSA6	VSA5	VSA4	VSA3	VSA2	VSA1	VSA0
R53h	W	1	0	0	0	0	0	0	0	VEA8	VEA7	VEA6	VEA5	VEA4	VEA3	VEA2	VEA1	VEA0

جدول ۲۷

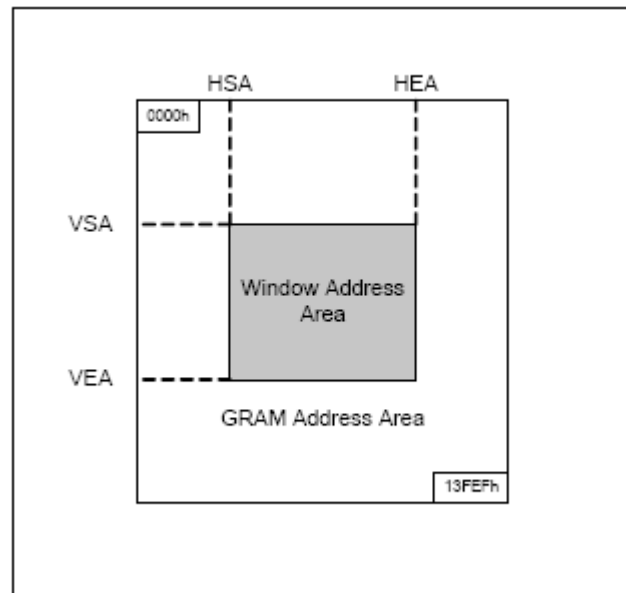
VSA \leq VEA , VEA \leq 319 باشد. هچنین مقدار بیت های VEA کوچکتر از VEA باشد.

: طبق جدول ۲۸ این جدول نیز از GATE SCAN CONTROL سه قسť تشکیل شده است که هر قسť کد دستور مربوط به خود را دارد. در اینجا به علت مهم بودن قسمت اول فقط قسمت اول این جدول را توضیح خواهیم داد.

بیت های SCAN0 تا SCAN5 مقدار این بیتها با توجه به جدول b سطر شروع جاروب را تعیین می کنند به عنوان مثال اگر مقدار این بیت ها (OAH) باشد سطر شروع جاروب از سطر ۸۱ شروع خواهد شد(جدول ۲۹).

بیت های NL0 تا NL5 مقدار این بیتها تعداد سطر LCD را

Horizontal and vertical RAM address position جدول ۲۷ این جدول از چهار قسمت تشکیل شده است که برای تنظیم نمودن هر یک از این قسمت ها ابتدا باید کد دستور مربوط را ارسال کرده و سپس داده ی مربوطه را در رجیستر داده بنویسیم. طبق شکل زیر می توانیم در GRAM قسمت مشخصی را به عنوان مساحت پنجره تعیین کنیم تا تصویر فقط در این قسمت تشکیل شود. برای این منظور باید بیت های جدول ۲۷ را مقدار دهی کنیم. بیت های HSA0 تا HSA7 مقدار این بیتها طول نقطه ی شروع



شکل ۵

را در GRAM تعیین می کنند. بیت های HEA7 تا HEA0 مقدار این بیتها طول نقطه ی پایان را در GRAM تعیین می کنند.

مقدار بیت های HSA و HEA باید در محدوده ی ۰ \leq HEA , HEA \leq 239 باشد. هچنین مقدار HSA کوچکتر از HEA باشد.

بیتها VSA8 تا VSA0: مقدار این بیتها عرض نقطه ی شروع را در GRAM مشخص می کند.

بیتها VEA8 تا VEA0: مقدار این بیتها عرض نقطه ی شروع را در GRAM مشخص می کند.

مقدار بیت های VSA و VEA باید در محدوده ی

جدول ۲۹

8.2.26. Gate Scan Control (R60h, R61h, R6Ah)

	R/W	RS	D15	D14	D13	D12	D11	D10	D9	D8	D7	D6	D5	D4	D3	D2	D1	D0
R60h	W	1	GS	0	NL5	NL4	NL3	NL2	NL1	NL0	0	0	SCN5	SCN4	SCN3	SCN2	SCN1	SCN0
R61h	W	1	0	0	0	0	0	0	0	0	0	0	0	0	0	NDL	VLE	REV
R6Ah	W	1	0	0	0	0	0	0	0	VL8	VL7	VL6	VL5	VL4	VL3	VL2	VL1	VL0

جدول ۲۸

راه اندازی AVR N96 توسط میکروکنترلر LCD

مقاومت ها (VRCP0, VRCP1, VRCN0, VRCN1) نیز از نوع مقاومت های متغیر هستند (مقایمت تنظیم شیب) که مقدار این مقاومت ها می تواند بین ۰ تا ۲۸ اهم متغیر باشد و برای تنظیم مقدار این مقاومت ها بیت های [PRPN[2:0] و [PRPN[2:0]] به کار می روند. با تغییر مقدار این مقاومت ها افت ولتاژ در روی خود این مقاومت ها و مقاومت های دیگر نیز تغییر خواهد کرد و تغییر این ولتاژ باعث تغییر شیب ولتاژ GRAYSCALE خواهد شد.

بعد از تنظیم مقدار مقاومت های متغیر توسط بیتها ذکر شده در روی هر یک از مقاومت های RP0 تا RP47 آفت ولتاژ به وجود خواهد آمد که افت ولتاژ این مقاومت ها نسبت به زمین V_{P1} نام گذاری شده است مثلاً افت ولتاژ R_{P1} است و به همین ترتیب پیش می رود حال با توجه به شکل به ۸ تا از این مقاومت هایه یک سلکتور وصل شده و کار این سلکتور ها این است که با توجه به مقدار مقدار بیت های [PKN[2:0]] یکی از این افت ولتاژ را انتخاب می کنند و به خروجی سلکتور (VGPN) می رسانند شکل

تعیین می کند به عنوان مثال اگر مقدار این بیتها (1FH) را داشته باشد LCD ۲۵۶ سطری خواهد شد و سطرهای بالاتر از ۲۵۶ تا ۳۲۰ بدون استفاده خواهد ماند.

بیت GS: مقدار این بیت جهت شروع جاروب در LCD را تعیین

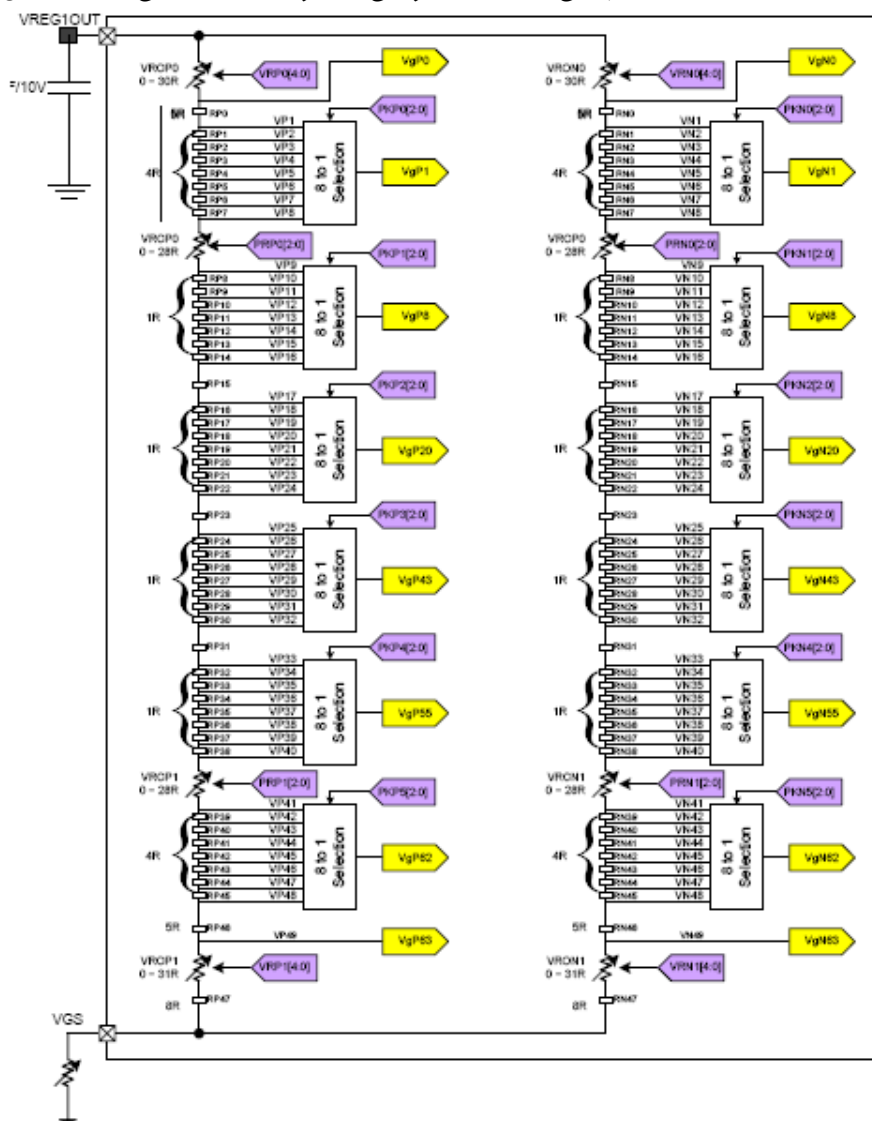
NL[5:0]	LCD Drive Line
6'h1D	240 lines
6'h1E	248 lines
6'h1F	256 lines
6'h20	264 lines
6'h21	272 lines
6'h22	280 lines
6'h23	288 lines
6'h24	296 lines
6'h25	304 lines
6'h26	312 line
6'h27	320 line
Others	Setting inhibited

جدول ۳۰

می کند اگر مقدار این بیت ۱ شود (GS=1) در اینصورت طبق جدول جهت جاروب از G320 به طرف G1 می باشد (G1<--G320)

و اگر مقدار این بیت صفر شود جهت جاروب از G320 به طرف G1 می باشد اگر جهت جاروب از G1 به طرف G320 باشد (G320<--G1) این بدان معناست که نقطه ی شروع تصویر در LCD از G1 شروع می شود و اگر جهت جاروب از G320 به طرف G1 باشد در اینصورت عکس اتفاقات بالا رخ می دهد یعنی سطر شروع تصویر از G320 شروع می شود.

۸.۲.۲۳: Gamma control: همانطور که در جدول ۸.۲.۲۳ دیاشیت مشاهده می شود این جدول از چندین قسمت تشکیل شده که هر قسمت کد دستور مربوط به خود را دارد که برای تنظیم هر قسمت ابتدا باید کد دستور آن قسمت را ارسال کرده و سپس به مقدار دهی بیت های آن قسمت پردازیم و سپس در رजیستر داده را بنویسیم. همانطور که از اسم این قسمت پیداست این قسمت برای تنظیم شیب، شفافیت و دامنه به کار می رود. در ابتدا به توضیح مختصراً در بارهی بلوك دیاگرام این قسمت می پردازیم با توجه به شکل الف مقاومت های (VRPN0, VRPN1, VRON0, VRON1) از نوع مقاومت متغیر هستند که مقدار آنها می تواند از ۰ تا ۳۰ اهم تغییر یابد و مقدار این مقاومت ها توسط VRPN[2:0] تنظیم می شوند. با تغییر مقاومت های این قسمت افت ولتاژ تمامی مقاومت های دیگر نیز تغییر می کند (مقاومت های تنظیم دامنه).

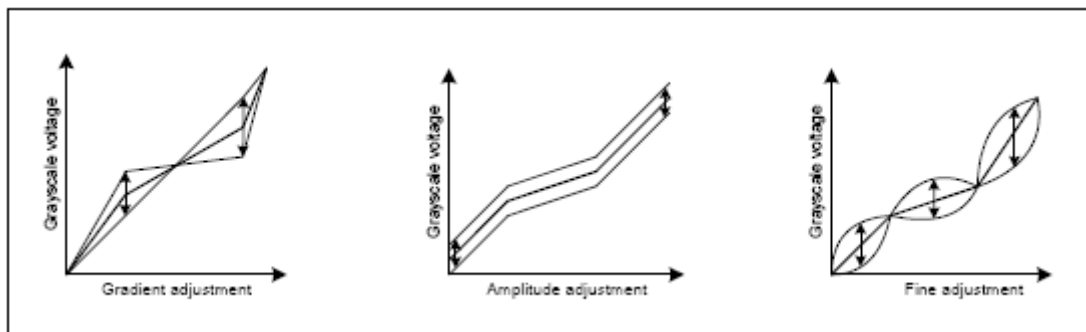


شکل ۶

8.2.33. Panel Interface Control 4 (R95h)																	
R/W	RS	D15	D14	D13	D12	D11	D10	D9	D8	D7	D6	D5	D4	D3	D2	D1	D0
W	1	0	0	0	0	0	0	DIVE1	DIVE0	0	0	RTNE5	RTNE4	RTNE3	RTNE2	RTNE1	RTNE0

جدول ۳۱

راه اندازی LCD N96 توسط میکروکنترلر AVR



شکل ۷

:Partial image 1 display positon(R80H)

طبق جدول ۳۴ کد دستور این قسمت (80H) می باشد. ابتدا باید این کد به رجیستر دستورالعمل نوشته شود.

بیت های [PTD P0[0] تا PTD P0[8]: مقدار بیت های این قسمت سطر شروع تصویر را در پانل LCD مشخص می کند. همانطور که قبل نیز گفته شد می توان در پانل LCD دو تصویر مجزا را به نمایش در آورد.

:Partial image 1 RAM start/end address بیت های [PTS A0[0] تا PTS A0[8]: مقدار این بیت ها سطر شروع تصویر یک را در GRAM مشخص می کند.

PTE A0[0] تا PTE A0[8]: مقدار این بیت ها سطر پایان تصویر یک در GRAM را مشخص می کند.

بیت های [Partial image 2display postion سطر شروع تصویر ۲ را در پانل LCD تعیین می کند.

:Partial image 2 RAM start/end address بیت های [PTS A1[0] تا PTS A1[8]: مقدار بیت های این قسمت سطر شروع تصویر ۲ را در GRAM مشخص می کند.

بیت های [PTE A1[0] تا PTE A1[8]: مقدار بیت های این قسمت سطر پایان تصویر ۲ را در GRAM مشخص می کند. با توجه به توضیحات بالا یک مثال در مورد چگونگی ایجاد دو تصویر در LCD را بررسی می کنیم. طبق جدول ۸ چون می خواهیم دو تصویر را در LCD نمایش دهیم پس باید مقدار بیت BASEE را صفر کنیم و تعداد سطرهای LCD را نیز با کمک بیت های [NL[5:0] تعیین NL[5:0] کنیم (۳۲۰ سطر). حال باید بیت های فعال ساز قسمت تصویر

زیر نمودار تغییرات ولتاژ GRAYSCALE به ازای تغییرات شب دامنه و شفافیت نشان می دهد . حال به عملکرد بیت های جدول ۳۱ می پردازیم.

بیت های [KPN[2:0]: مقدار این بیت ها برای تنظیم شفافیت ولتاژ GRAYSCALE به کار می روند که طبق جدول ۷ مقدار این بیت ها ولتاژ V_{PN} را در سلکتور انتخاب می کند.

بیت های [RPN[2:0]: مقدار این بیت ها مقدار مقاومت های VRCP(N)۰ را تعیین می کند(تنظیم شب ولتاژ GRAYSCALE) بیت های [VRPN[3:0]: مقدار این بیت ها برای تنظیم دامنه ولتاژ

Fine adjustment registers and selected voltage

Register	Selected Voltage						
	KP(N)[2:0]	VgP(N)1	VgP(N)8	VgP(N)20	VgP(N)43	VgP(N)55	VgP(N)62
000	VP(N)1	VP(N)9	VP(N)17	VP(N)25	VP(N)33	VP(N)41	
001	VP(N)2	VP(N)10	VP(N)18	VP(N)26	VP(N)34	VP(N)42	
010	VP(N)3	VP(N)11	VP(N)19	VP(N)27	VP(N)35	VP(N)43	
011	VP(N)4	VP(N)12	VP(N)20	VP(N)28	VP(N)36	VP(N)44	
100	VP(N)5	VP(N)13	VP(N)21	VP(N)29	VP(N)37	VP(N)45	
101	VP(N)6	VP(N)14	VP(N)22	VP(N)30	VP(N)38	VP(N)46	
110	VP(N)7	VP(N)15	VP(N)23	VP(N)31	VP(N)39	VP(N)47	
111	VP(N)8	VP(N)16	VP(N)24	VP(N)32	VP(N)40	VP(N)48	

جدول ۳۲

GRAYSCALE به کار می رود طبق جدول ۷ مقدار این بیت ها مقدار مقاومت های متغیر VROP(N)۰ را تعیین می کند همه بیت های گفته شده در بالا برای پلاریته های مثبت هستند و بقیه بیت های جدول ۳۱ برای پلاریته های منفی هستند و توضیحات بالا در مورد آنها نیز صدق می کند. به عنوان مثال تنظیم شب برای پلاریته های مثبت RP هست و تنظیم شب برای پلاریته های منفی RN هست و بقیه نیز به همین شکل هستند.

Gradient adjustment		Amplitude adjustment (1)				Amplitude adjustment (2)			
PRP(N)0/1[2:0]	VRCP(N)0	VRP(N)0[3:0]	VRP(N)0	VRP(N)1[4:0]	VROP(N)1	Register	Resistance	Register	Resistance
Register	Resistance	Register	Resistance	Register	Resistance	0000	0R	00000	0R
000	0R	0000	0R	00001	1R				
001	4R	0001	2R	00010	4R	00010	2R		
010	8R	0010	4R	:	:	:	:		
011	12R	:	:	1101	28R	11101	29R		
100	16R	:	:	1111	28R	11110	30R		
101	20R	1101	28R	11111	30R	11111	31R		
110	24R	1111	28R						
111	28R	1111	30R						

جدول ۳۳

8.2.27. Partial Image 1 Display Position (R80h)

R/W	RS	D15	D14	D13	D12	D11	D10	D9	D8	D7	D6	D5	D4	D3	D2	D1	D0
W	1	0	0	0	0	0	0	0	PTD P0[8]	PTD P0[7]	PTD P0[6]	PTD P0[5]	PTD P0[4]	PTD P0[3]	PTD P0[2]	PTD P0[1]	PTD P0[0]

جدول ۳۴

راه اندازی AVR میکروکنترلر LCD N96 توسط

می‌توانیم تصویر ۱ را در هر نقطه‌ی دلخواه از پانل LCD نمایش دهیم برای این منظور فقط کافی است سطر شروع تصویر ۱ در پانل LCD را توسط بیت‌های PTD P0[8:0] تعیین کنیم که در این مثال ما سطر شروع تصویر ۱ را در پانل LCD (80H) در نظر گرفتیم (سطر ۱۲۸) همه‌ی این توضیحات در مورد تصویر دو نیز صدق می‌کند شکل ۸ همه‌ی توضیحات بالا را نشان می‌دهد با توجه به همه‌ی توضیحات بالا یک برنامه جهت آموزش راه اندازی این LCD به زبان بیسیک به میکروکنترلر AVR نوشته شده است. این مقاله جهت آموزش دو رنگ LCD به نمایش در آورده‌یم و در قسمت بعد به آموزش ایجاد تصویر، فونت، ... خواهیم پرداخت.

```
$regfile = "m32def.dat"
$crystal = 12000000
1
Config Porta = Output
Config Portc = Output
Config Portd = Output
Cs Alias Portd.0
Rs Alias Portd.1
Wr Alias Portd.2
Rd Alias Portd.3
Rst Alias Portd.4
Lsb_port Alias Porta
Msb_port Alias Portc
Declare Sub Trigerlcd
Declare Sub Writedata
Declare Sub Writeindex
```

'lsb port
'msb port

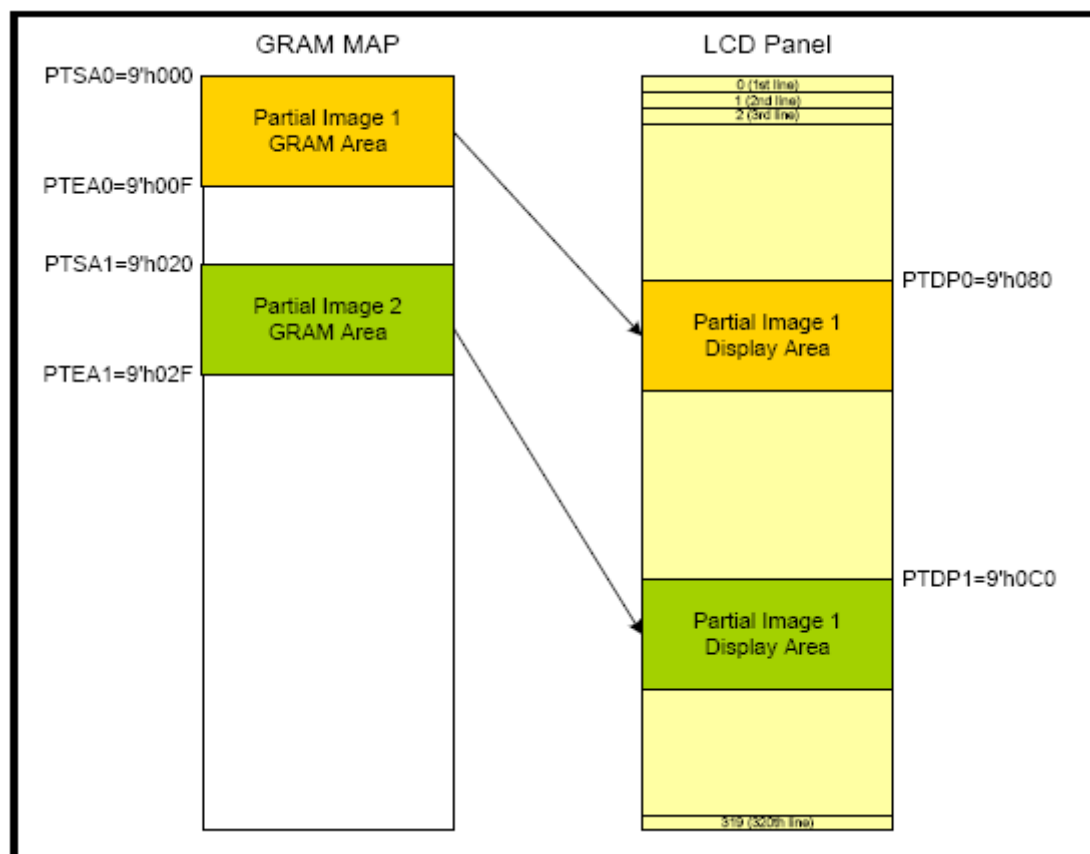
۱ و تصویر ۲ را نیز فعال کنیم که این بیت‌ها با مقدار ۱ فعال می‌شوند (PTDE1=1, PTDE0=1).

بعد از فعال سازی این بیت‌ها سطر شروع تصویر ۱ را با استفاده از بیت‌های PTS A0[8] تا PTS A0[0] در PTS A0[8] تا PTS A0[0] تعیین

Base Image Display Setting	
BASEE	0
NL[5:0]	6'h27
Partial Image 1 Display Setting	
PTDE0	1
PTSA0[8:0]	9'h000
PTEA0[8:0]	9'h00F
PTDP0[8:0]	9'h080
Partial Image 2 Display Setting	
PTDE1	1
PTSA1[8:0]	9'h020
PTEA1[8:0]	9'h02F
PTDP1[8:0]	9'h0C0

جدول ۳۵

می‌کنیم که طبق جدول a سطر شروع تصویر در GRAM را برابر (000H) در نظر گرفتیم سپس توسط بیت‌های [0] تا [8] سطر پایانی تصویر ۱ را در GRAM مشخص می‌کنیم که طبق جدول a سطر پایانی تصویر را در GRAM برابر (00FH) در نظر گرفتیم بعد از آدرس دهی تصویر ۱ در GRAM نوبت به نمایش آن در پانل LCD می‌رسد طبق توضیحات قبلی



شکل ۸

راه اندازی LCD N96 توسط میکروکنترلر AVR

```

Declare Sub Colorlcd
Dim Index As Byte , Dat As Word , Reapet As Long
2 قسمت
Const Start_osc = &H00
Const Driver_output_control = &H01
Const Lcd_driving_wave_control = &H02
Const Entry_mode = &H03
Const Resizing_control = &H04
Const Display_control1 = &H07
Const Display_control2 = &H08
Const Display_control3 = &H09
Const Display_control4 = &H0A
Const Rgb_display_interface_control1 = &H0C
Const Frame_marker_position = &H0D
Const Rgb_display_interface_control2 = &H0F
Const Power_control1 = &H10
Const Power_control2 = &H11
Const Power_control3 = &H12
Const Power_control4 = &H13
Const Gram_horizontal_address = &H20
Const Gram_vertical_address = &H21
Const Write_read_data_to_gram = &H22
Const Power_control7 = &H29
Const Frame_rate_and_color_control = &H2B
Const Gamma_control1 = &H30
Const Gamma_control2 = &H31
Const Gamma_control3 = &H32
Const Gamma_control4 = &H35
Const Gamma_control5 = &H36
Const Gamma_control6 = &H37
Const Gamma_control7 = &H38
Const Gamma_control8 = &H39
Const Gamma_control9 = &H3C
Const Gamma_control10 = &H3D
Const Horizontal_start_address = &H50
Const Horizontal_end_address = &H51
Const Vertical_start_address = &H52
Const Vertical_end_address = &H53
Const Gate_scan_control1 = &H60
Const Gate_scan_control2 = &H61
Const Gate_scan_control3 = &H6A
Const Partial_image1_display_position = &H80
Const Partial_image1_ram_start_address = &H81
Const Partial_image1_ram_end_address = &H82
Const Partial_image2_display_position = &H83
Const Partial_image2_ram_start_address = &H84
Const Partial_image2_ram_end_address = &H85
Const Panel_interface_control1 = &H90
Const Panel_interface_control2 = &H92
Const Panel_interface_control4 = &H95
Const Color_red = &H001F
Const Color_green = &H07E0
Const Color_blue = &HF800
Const Color_yellow = &H07FF
Const Color_purple = &HF81F
Const Color_black = &H0000
Const Color_white = &HFFFF
3 قسمت
'-----
Trigerlcd
Colorlcd
End
'-----'end program
'-----4 قسمت
Sub Trigerlcd
Reset Rst
Waitms 60
Set Rst
Waitms 200

```

توضیحات قسمت ۱ :

در این قسمت بعد از خروجی تعریف کردن پورت های مربوطه در خطوط ۳ الی ۵ پین هایی از میکرو را که به پایه های RST,WR,RD,RS,CS)LCD(وصل می شوند، تعیین می کنیم. چون ما در این برنامه از مدار ۱۶ بیتی LCD استفاده کردیم پس باید دو پورت از میکرو را به پین های DB17 تا DB1 وصل کنیم. حال پورتی که به پین های DB8 تا DB1 وصل می شود پورت کم ارزش می نامیم که در برنامه در خط ۱۱ پورت A به عنوان DB8 وصل کنیم. باید پین های DB1 تا DB10 به پین های DB17 وصل شوند و پورتهایی که به پین های DB12 پورت C به عنوان پورت پر ارزش تعریف شده است که باید پین های DB17 تا DB10 به پورت C وصل شوند. بعد از تعریف کردن پورتهای LSB و MSB در برنامه از خطوط ۱۳ الی ۱۶ ساب رو تین های برنامه تعریف شده است.

توضیحات قسمت ۲ :

در این قسمت کدهای دستور هر قسمت با نام آن قسمت در برناه توسط دستور const از خطوط ۱۸ تا ۶۴ در برنامه تعریف شده است. مثلا کد دستور قسمت ENTRY MODE در ENTRY DATA SHEET عدد (03H) می باشد که در برنامه MODE کد دستور این قسمت یعنی (03H) انتخاب شده است.

توضیحات قسمت ۳ :

در این قسمت از برنامه سابر رو تین های TRIGERLCD و COLORLCD فرآخوانی شده است. که سابر رو تین TRIGERLCD برای راه اندازی اولیه LCD و سابر رو تین COLORLCD برای رنگی کردن LCD فرآخوانی شده است.

توضیحات قسمت ۴ :

ساب رو تین TRIGERLCD: در این سابر رو تین کدهای دستور در متغیر INDEX که یک متغیر یک بایتی است قرار می گیرد و سپس سابر رو تین WRITEINDEX فرآخوانی می شود و مقدار متغیر INDEX که همان کدهای دستور هر قسمت می باشد در رجیستر دستور العمل نوشته می شود سپس مقدار داده ری همان قسمت در متغیر DAT که یک متغیر دو بایتی است قرار می گیرد و با فرآخوانی سابر رو تین WRITEDATA مقدار متغیر DAT در رجیستر داده نوشته می شود. به عنوان مثال می خواهیم بیت های قسمت GRAM VERTICAL ADDRESS و سپس در رجیستر داده بنویسیم در خط ۱۳۳ برنامه ابتدا کد دستور GRAM VERTICAL (21H) با نام همان قسمت (ADDRESS) در متغیر INDEX قرار می گیرد و با فرآخوانی WRITEINDEX این کد در رجیستر دستور العمل نوشته می شود. بعد از مقدار دهی بیت های این قسمت که در برنامه در خط ۱۴۴ (0000H) مقدار دهی شده است در متغیر DAT قرار گرفته و با فرآخوانی سابر رو تین WRITEDATA در رجیستر داده نوشته می شود.

توضیحات قسمت ۵ :

ساب رو تین WRITEDATA: این سابر رو تین همان طور که از نامش پیداست داده ها را از رجیستر داده می نویسد، که نحوه

راه اندازی AVR توسط میکروکنترلر LCD N96

```
Index = &H00E3 : Writeindex  
Dat = &H3008 : Writedata  
Index = &H00EF : Writeindex  
Dat = &H1231 : Writedata  
Index = Start_osc : Writeindex  
Dat = &H0001 : Writedata  
Waitms 50  
Index = Driver_output_control : Writeindex  
Dat = &H0100 : Writedata  
Index = Lcd_driving_wave_control : Writeindex  
Dat = &H0700 : Writedata  
Index = Entry_mode : Writeindex  
Dat = &H0030 : Writedata  
Index = Resizing_control : Writeindex  
Dat = &H0000 : Writedata  
Index = Display_control1 : Writeindex  
Dat = &H0133 : Writedata  
Index = Display_control2 : Writeindex  
Dat = &H0202 : Writedata  
Index = Display_control3 : Writeindex  
Dat = &H000F : Writedata  
Index = Display_control4 : Writeindex  
Dat = &H0000 : Writedata  
Index = Rgb_display_interface_control1 : Writeindex  
Dat = &H0000 : Writedata  
Index = Frame_marker_position : Writeindex  
Dat = &H0000 : Writedata  
Index = Rgb_display_interface_control2 : Writeindex  
Dat = &H0000 : Writedata  
Index = Power_control1 : Writeindex  
Dat = &H0000 : Writedata  
Index = Power_control2 : Writeindex  
Dat = &H0000 : Writedata  
Index = Power_control3 : Writeindex  
Dat = &H0000 : Writedata  
Index = Power_control4 : Writeindex  
Dat = &H0000 : Writedata  
Waitms 200  
Index = Power_control1 : Writeindex  
Dat = &H17A0 : Writedata  
Index = Power_control2 : Writeindex  
Dat = &H0137 : Writedata  
Waitms 70  
Index = Power_control3 : Writeindex  
Dat = &H0018 : Writedata  
Waitms 70  
Index = Power_control4 : Writeindex  
Dat = &H1000 : Writedata  
Index = Power_control7 : Writeindex  
Dat = &H000B : Writedata  
Waitms 70  
Index = Gram_horizontal_address : Writeindex  
Dat = &H0000 : Writedata  
Index = Gram_vertical_address : Writeindex  
Dat = &H0000 : Writedata  
Index = Gamma_control1 : Writeindex  
Dat = &H0101 : Writedata  
Index = Gamma_control2 : Writeindex  
Dat = &H0101 : Writedata  
Index = Gamma_control3 : Writeindex  
Dat = &H0101 : Writedata  
Index = Gamma_control4 : Writeindex  
Dat = &H0101 : Writedata  
Index = Gamma_control5 : Writeindex  
Dat = &H0201 : Writedata  
Index = Gamma_control6 : Writeindex  
Dat = &H0707 : Writedata  
Index = Gamma_control7 : Writeindex  
Dat = &H0707 : Writedata
```

نوشتن داده در رجیستر داده قبل توضیح داده شده است. برای این کار ابتدا CS را فعال می کنیم (خط ۱۷۹) سپس RS و RD را می کنیم (خط ۱۸۰ و ۱۸۱) سپس مقدار داده را که در متغیر دو بایتی قرار دارد، ابتدا بایت پر ارزش متغیر DAT را با استفاده از دستور HIGH در پورت پر ارزش قرار می دهیم و بایت کم ارزش متغیر DAT را با استفاده از دستور LOW در پورت کم ارزش قرار می دهیم . بعد از قرار دادن مقدار داده در روی پورت ها پایهی WR را RESET می کنیم و در این حالت مقادیر روی پورت ها در رجیستر داده نوشته می شوند بعد از این کار WR را SET می کنیم. در این حالت عملیات نوشتن تمام می شود. بعد از تمام شدن عملیات نوشتن CS را غیر فعال می کنیم (خط ۱۸۶).

توضیحات قسمت ۶:

سابروتین WRITEINDEX: این سابروتین هم کد دستور را در رجیستر دستور العمل می نویسد. برای اینکار ابتدا باید CS را فعال کنیم (خط ۱۸۹) حال چون می خواهیم در رجیستر دستوالعمل بنویسیم پس باید پایهی RS را نیز REST کنیم و RD را SET می کنیم. سپس کد دستور را در متغیر یک بایتی INDEX قرار دارد در روی پورت های مربوطه بارگذاری می کنیم. چون متغیر INDEX یک متغیر یک بایتی است پس باید به جای بایت پر ارزش (00H) را بار می کنیم. (خط ۱۹۲) و مقدار متغیر INDEX را در پورت کم ارزش قرار می دهیم (خط ۱۹۳) سپس با RESET کردن WR مقادیر روی پورت ها وارد رجیستر دستور العمل می شوند بعد از اینکار WR را SET می کنیم و بعد از اتمام شدن عملیات CS را نیز غیر فعال می کنیم (خط ۱۹۶).

توضیحات قسمت ۷:

سابروتین COLORLCD : همانطور که از نام این سابروتین بیداست این سابروتین برای در آوردن رنگ های مختلف در LCD استفاده شده است. در ابتداء مساحت پنجره ای که قرار است تصویر در آن به نمایش در آید تعیین می کنیم که این مورد را قبل توضیح دادیم. در خطوط ۱۹۹ و ۲۰۰ برنامه نقطه ای شروع عرض و در خطوط ۲۰۱ و ۲۰۲ نقطه ای پایان عرض را در پانل LCD تعیین کردیم که نقطه ای شروع (50H) و نقطه ای پایان (A0H) است. در خطوط ۲۰۳ و ۲۰۴ عرض نقطه ای شروع تصویر در GRAM را تعیین می کنیم که (50H) است و در خطوط ۲۰۵ تا ۲۰۸ طول مساحت پنجره را در پانل LCD تعیین می کنیم که طبق برنامه نقطه ای شروع طول (64H) و نقطه ای پایان طول (C8H) می باشد و در خطوط ۲۰۹ و ۲۱۰ طول نقطه ای شروع در GRAM را تعیین می کنیم که (64H) می باشد. حال نوبت به ارسال داده ها به GRAM می رسد پون این داده ها باید در ۲۲H را در پس قبل از نوشتن داده ها در GRAM ابتداء باید کد ۲۱۱ را در رجیستر دستوالعمل بنویسیم اینکار را در خط ۲۱۱ برنامه اجرا کردیم . حال تعداد پیکسل ها را در مساحت تعیین شده به دست می آوریم. طبق شکل زیر عرض پنجره ۸۰ پیکسل و طول پنجره ۱۰۰ پیکسل می باشد. پس در مساحت تعیین شده ۸۰۰۰ پیکسل وجود دارد. پس ما باید ۸۰۰۰ پیکسل داده به GRAM ارسال کنیم. در خطوط ۲۱۲ الی ۲۱۵ با هر بار اجرای حلقه FOR NEXT یک پیکسل داده به GRAM ارسال می شود بنابراین در خطوط

راه اندازی LCD N96 میکروکنترلر AVR

```

Index = Gamma_control8 : Writeindex
Dat = &H0707 : Writedata
Index = Gamma_control9 : Writeindex
Dat = &H0101 : Writedata
Index = Gamma_control10 : Writeindex
Dat = &H0201 : Writedata
Index = Horizontal_start_address : Writeindex
Dat = &H0000 : Writedata
Index = Horizontal_end_address : Writeindex
Dat = &H00EF : Writedata
Index = Vertical_start_address : Writeindex
Dat = &H0000 : Writedata
Index = Vertical_end_address : Writeindex
Dat = &H013F : Writedata
Index = Gate_scan_control1 : Writeindex
Dat = &H2700 : Writedata
Index = Gate_scan_control2 : Writeindex
Dat = &H0001 : Writedata
Index = Gate_scan_control3 : Writeindex
Dat = &H0000 : Writedata
Index = Panel_interface_control1 : Writeindex
Dat = &H0010 : Writedata
Index = Panel_interface_control2 : Writeindex
Dat = &H0000 : Writedata
Index = Panel_interface_control4 : Writeindex
Dat = &H0110 : Writedata
Index = Frame_rate_and_color_control : Writeindex
Dat = &H0000 : Writedata
End Sub
5 قسمت
Sub Writedata
Reset Cs
Set Rs
Set Rd
Msb_port = High(dat)
Lsb_port = Low(dat)
Reset Wr
Set Wr

```

```

Set Cs
End Sub
6 قسمت
Sub Writeindex
Reset Cs
Reset Rs
Set Rd
Msb_port = &H00
Lsb_port = Index
Reset Wr
Set Wr
Set Cs
End Sub
7 قسمت
Sub Colorlcd
Index = Horizontal_start_address : Writeindex
Dat = &H0050 : Writedata
Index = Horizontal_end_address : Writeindex
Dat = &H00A0 : Writedata
Index = Gram_horizontal_address : Writeindex
Dat = &H0050 : Writedata
Index = Vertical_start_address : Writeindex
Dat = &H0064 : Writedata
Index = Vertical_end_address : Writeindex
Dat = &H00C8 : Writedata
Index = Gram_vertical_address : Writeindex
Dat = &H0064 : Writedata
Index = Write_read_data_to_gram : Writeindex
For Reapet = 1 To 4000
Dat = Color_yellow
Writedata
Next Repeat
For Reapet = 1 To 4000
Dat = Color_red
Writedata
Next Repeat
End Sub

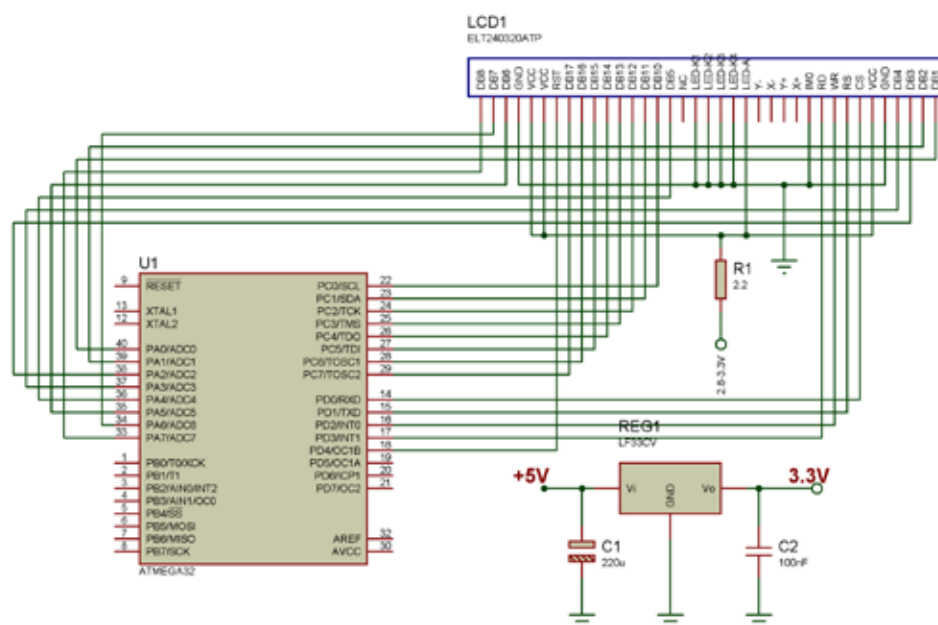
```

پیکسل داده به GRAM ارسال می شود

منبع: دیتاشیت ILI9325

<http://miladelectronic.vcp.ir> M.M.S.نویسنده گان: گروه

۲۱۵ الی ۴۰۰ پیکسل داده (رنگ زرد) به GRAM ارسال می شود. از خطوط ۲۱۶ الی ۲۱۹ نیز ۴۰۰ پیکسل داده (رنگ قرمز) به GRAM ارسال می شود که در این سایر وظایف در مجموع ۸۰۰



Multi AVR

Programmer



- » هماهنگی با پورت های USB1.1 و USB2.0
- » دارای ۲ پورت USB جهت برطرف نمودن کمبود جریان احتمالی
- » بدون نیاز به تغذیه خارجی
- » مجهز به کانکتور ISP خروجی
- » دارای سرعت بالا و قابل تنظیم (5kBytes/sec)
- » مولد پالس ساعت برای بازیابی میکرووهایی که فیوز بیت آنها به اشتباہ تغییر داده شده است
- » سازگاری با سیستم عامل های Linux / Mac OS X / Windows
- » پشتیبانی از تمامی میکرووهای خانواده AVR
- » پشتیبانی از میکروکنترلرهای سری AT89Sxx
- » پشتیبانی از حافظه های سریال 24Cxx
- » توانایی تست LCD های کاراکتری
- » کارت گارانتی ۱۲ ماهه
- لينک محصول :

<http://eshop.eca.ir/link/489.php>

ARM Wiggler Programmer



- » توانایی پروگرام کردن انواع ARM های سری CORTEX-M3 , XSCALE , ARM7 , ARM9
- » توانایی کار در سیستم عامل های Win98 , ME , 2000 , NT , Vista , XP , Vista
- » کار با پورت پارالل (LPT)
- » سازگاری کامل با کامپایلر قدرتمند KEIL ARM MDK
- » سازگاری کامل با کامپایلر قدرتمند IAR ARM
- » توانایی debugging کامل در محیط Keil و IAR
- » کارت گارانتی ۱۲ ماهه

لينک محصول :

<http://eshop.eca.ir/link/395.php>

AVR USB

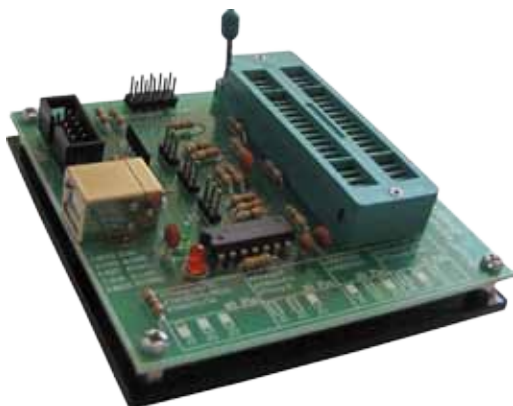
Programmer



- » هماهنگی با پورت های USB1.1 و USB2.0
- » بدون نیاز به تغذیه خارجی
- » مجهز به ۲ کانکتور ISP خروجی
- » دارای سرعت بالا و قابل تنظیم (5kBytes/sec)
- » مولد پالس ساعت برای بازیابی میکرووهایی که فیوز بیت آنها به اشتباہ تغییر داده شده است
- » سازگاری با سیستم عامل های Linux / Mac OS X / Windows
- » پشتیبانی از تمامی میکرووهای خانواده AVR
- » کارت گارانتی ۱۲ ماهه

<http://eshop.eca.ir/link/490.php>

STK300 AVR Programmer



- » بدون نیاز به تغذیه خارجی
- » مولد پالس ساعت برای بازیابی میکرووهایی که فیوز بیت آنها به اشتباہ تغییر داده شده است.
- » پشتیبانی از تمامی میکروکنترلرهای خانواده AVR
- » انجام تمامی عملیات مورد نیاز (خواندن ، نوشتن ، پاک کردن ، تنظیم فیوز بیتها و ...)
- » قابلیت دسترسی به EEPROM داخلی میکرو
- » سازگاری با سیستم عامل های Linux / Mac OS X / Windows
- » سازگاری با تمامی کامپایلرهای
- » کار با پورت پرینتر
- » کارت گارانتی ۱۲ ماهه
- لينک محصول :

<http://eshop.eca.ir/link/319.php>

نرم افزارهای برق Software

DESIGN , ANALYSIS AND SIMULATION



نرم افزارهای
اندازه گیری
و تحلیل
الکترونیک



کرده‌ایم اما این بار خود را محدود به برنامه‌ها و نرم افزارهای انحصاری کرده‌ایم که شما را مجاز به استفاده‌ی رایگان برای اهداف آموزشی و خصوصی می‌کند. (برای استفاده‌ی حرفه‌ای، برای نرم افزار باید بول پرداخت کنید) بنابراین شما می‌توانید حقیقتاً اندازه گیری‌های رایگان انجام دهید.

شما به چه چیزی نیاز دارید؟

در حقیقت هر کامپیوتر پیشرفته برای انجام اندازه گیری‌های آنالوگ ساده و یا تولید سیگنال‌های شنیداری به اندازه کافی سریع است. بنابراین ما نیاز به یک PC داریم که سیستم عامل ویندوز را بعنوان یک پلتفرم اجرا می‌کند. برای این منظور، XP بهترین گزینه است که اکثر برنامه‌های قدیمی نیز بدون مشکل روی آن اجرا خواهند شد. متأسفانه برای پلتفرم‌های دیگر مانند لینوکس و Mac OS دسترسی به نرم افزارهای کنترلی و تست خیلی محدود می‌شود. علاوه بر این، یک کارت صدا ضروری بوده و ویژگی‌های مهمی دارد که در حقیقت قابلیت‌های اندازه گیری را مشخص می‌کند. خوشبختانه در سال‌های اخیر، کارت‌های صدا بهبود داده شده اند تا جایی که روی یک بورد اصلی کامپیوتر (مادر بورد)، غالباً یک مجموعه از تراشه‌های شنیداری (audio) وجود دارد که در فرکانس

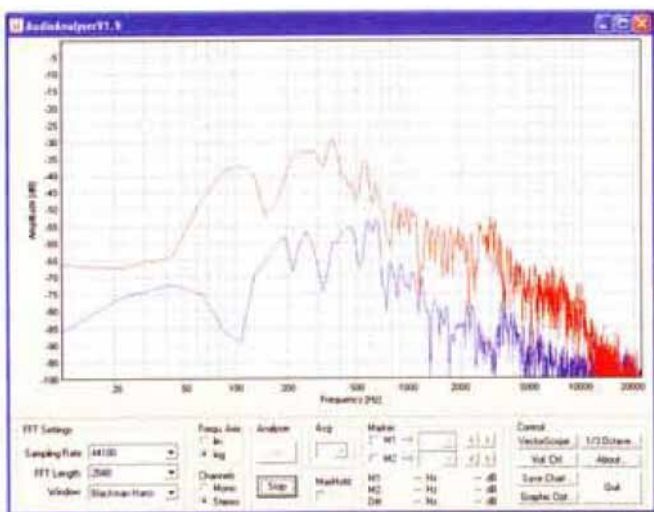
افرادی که به طور منظم با علم الکترونیک سروکار دارند، حداقل به برخی از تجهیزات تست نیاز دارند تا اندازه گیری‌هایی را روی تجهیزات و مدارات الکترونیکی انجام دهند. اساس و پایه این عملیات، یک مالتی متر است اما در صورتی که به بررسی‌های عمیق تری نیاز باشد، یک فانکشن ژنراتور نیز مورد نیاز است. با استفاده از یک کامپیوتر و برخی از نرم افزارهای رایگان، بدون خرید تجهیزات تست اضافی، قادر به اندازه گیری‌های فرکانس پایین خواهید بود.

کامپیوتر بیشتر برای انواع کاربردهای کنترلی و آزمایشی استفاده می‌شود. تعداد زیادی سخت افزار و نرم افزارهای ویژه، برای این هدف وجود دارد. علاوه بر این، حتی با وجود ابزار تست مجزا و مستقل، می‌بینیم که این تجهیزات، اغلب با یک کامپیوتر، بعنوان نقطه شروعی طراحی می‌شوند که برای آنها سخت افزار O/I خاص و نرم افزار تخصصی توسعه داده می‌شود.

اگر شما نیاز به اندازه گیری‌های فرکانس بالا یا باند وسیع نداشته باشید، می‌توانید بطور قابل توجهی با استفاده از کامپیوتر و برخی از نرم افزارهای ساده، بخوبی کار کنید. بدین روش، خواندن از روی یک فانکشن ژنراتور، حداقل برای محدوده‌ی فرکانسی شنیداری، برای شما آسان خواهد بود.

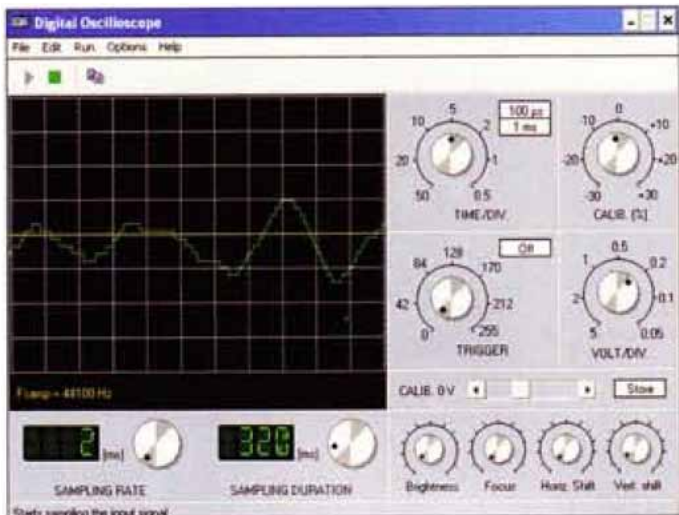
ما قبلاً نرم افزارهایی برای این هدف در وب سایت توصیف

نرم افزارهای اندازه گیری رایگان برای کامپیوتر



گیری شده می تواند در فایلی ذخیره شود. آنالیزگر FFT به سرعت عمل می کند مخصوصاً اگر کامپیوتر های پیشرفته با توان محاسباتی قابل توجه در دسترس باشد.

BIP Oscilloscope برنامه است که بیش از ۱۰ سال است که استفاده شده و شاید خیلی از ویژگی های برنامه های دیگری که در اینجا توصیف می شوند را ندارد. این برنامه تحت ویندوز XP کار می کند و یک طرح بندی واضحی داشته و کار کردن با آن از



طریق دکمه های چرخشی آسان است. هنگام استفاده از این اسکوپ می بینیم که نسبت به برنامه های دیگر کنترل اجرا می شود.

فانکشن ژنراتورها

Audio Sweepgen یک برنامه ای خوب و سازمان دهی شده است که توسط David Taylor برای تولید جاروب های شنیداری توسعه داده شده است. شما می توانید شکل موج سیگنال را خواهید موج مربعی باشد یا موج سینوسی برای عملیات جاروب انتخاب کنید. همچنین تعدادی دکمه برای تعدادی از محدوده های رایج جاروب وجود دارد، مانند گفتار. هم چنین می توانید فرکانس شروع و پایان را به دقت بصورت دستی انتخاب کنید. سرعت جاروب نیز کاملاً قابل تنظیم بوده و یا می توانید از زمان های از قبل تعیین شده استفاده نمایید آپشن های خطی و لگاریتمی برای جاروب وجود داشته و در

۹۶kHz کار می کنند. اگر شما بخواهید کارت صدای مجازی بخرید، به عنوان مثال می توانید مدلی با ماکریم فرکانس نمونه برداری ۱۹۲kHz و یک رزلوشن ۲۴ بیتی انتخاب کنید. این مدل ها امروزه در حدود ۱۰۰ پوند هستند.

ورودی و خروجی یک کارت صوتی نوعی، معمولاً با سوکت های RCA یا جک های ۳.۵ میلی متری ساخته می شوند این تجهیزات برای اندازه گیری های مختلف، خیلی مناسب نیستند، بنابراین مناسب است که تعداد کلی کابل های آدپتور خریداری کرده بصورتی که از RCA به BNC یا جک های ۳.۵ میلی متری روانه شوند. با این کار می توان، برای مثال یک پروب استاندارد اسیلوسکوپ را به ورودی متصل کرد (توجه: تنها باید از حالت ۱:۱ استفاده کرد نه از حالت ۱:۱۰ که باعث کاهش دامنه سیگنال می شود). می توان مشابه حالت فوق را برای خروجی در نظر رفت: می توان یک آدپتور برای استفاده از متصل کننده های مشابه BN ساخت، اما یک کابل آدپتور با یک سوکت دوتایی می تواند با راحتی بیشتری مورد استفاده قرار گیرد. هنگام استفاده از کارت های صدا برای اندازه گیری، مراقب دامنه ولتاژی که اندازه خواهد گرفت، باشید. معمولاً ورودی سیمی نمی تواند با سیگنال های بیشتر از ۰.۵ ± ولت سر و کار داشته باشد و با ولتاژ های بزرگتر، معکوس کننده های A/D بکار گرفته می شوند. بنابراین به هنگام اندازه گیری ولتاژ های بزرگتر، نیاز است که تقلیل دهنده های دامنه سیگنال در جلوی ورودی متصل شود. هم چنین بخارط داشته باشید که امپدانس ورودی چنین کارت صدایی خیلی بالا نبوده و تنها در حدود چند کیلو اهم است. با این عمل به وضوح حساسیت کمتری نسبت به یک اسیلوسکوپ واقعی حاصل می شود که می تواند بصورت بالقوه، مدار مورد آزمایش را تحت تأثیر قرار دهد.

ورودی میکروفون می تواند برای اندازه گیری های خیلی حساس به کار برده شود اما باید توجه داشت که یکی از ورودی های میکروفون، برای توان دهی به electret-microphone که یک ولتاژ DC دارد به کار برده می شود. هنگام استفاده از خروجی ها باید توجه داشت که نمی توان آنها را به مقدار زیادی بارگذاری کرد. بعضی از می توان یک بار ۵۰ اهمی را مستقیماً به خروجی متصل کرد. در چنین مواردی نیاز به اتصال یک تقویت کننده کم توان است (برای مثال می توان از یک تقویت کننده ی کوچک از یک بلندگوی فعال کامپیوتر استفاده کرد به شرط اطمینان از اینکه ویژگی های فرکانسی را با استفاده از یکی برنامه هایی که در ادامه آمده، اندازه گیری کند).

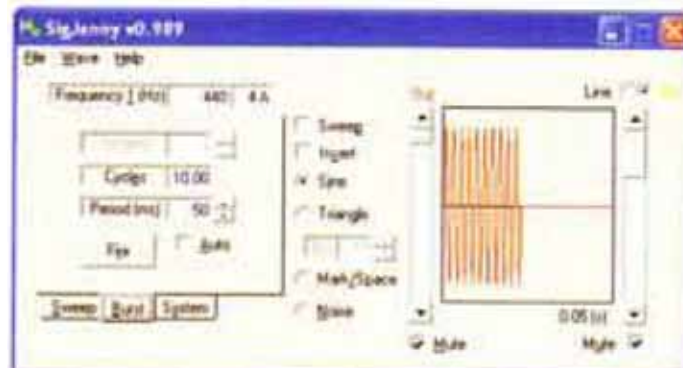
اسیلوسکوپ آنالیزگرهای شنیداری

Audio Analyser VI.9 یک آنالیزگر طیفی برای سیگنال های شنیداری بوده و دارای ویژگی های مناسبی می باشد. با این برنامه های رایگان می توان یک تحلیل فرکانسی بلاذرنگ را انجام داد. فرکانس نمونه برداری، طول FFT و نوع پنجره ی FFT به آسانی انتخاب می شوند. هم چنین می توان بین چندین اندازه گیری میانگین انجام داد و نیز دو نشانگر برای نشادن سطوح سیگنال در یک فرکانس معین قرار داد. علاوه بر این چندین ابزار در داخل آن وجود دارد. یک اسکوپ برداری که تفاوت سطح و فاز را بین کانال های چپ و راست و آنالیزگر ۱/۳ اکتاوا، نشان می دهد. هم چنین داده ی اندازه

نرم افزارهای اندازه گیری رایگان برای کامپیوتر

استفاده می کند را تولید می کند. این نرم افزار می تواند اشکال مختلفی از سیگنال را تولید کند که شامل چندین موج سینوسی است که می تواند فرکانس و فاز هر کدام از موج سینوسی مجذرا را انتخاب کند. هم چنین اشکال دیگری از موج نیز ممکن است مانند سینوسی نرمال، مربعی، مثلثی، و موج دندانه اره ای انتخاب شود. علاوه بر این می توانید سوئیپ بین دو فرکانس انتخاب کنید. حتی یک سیگنال دامنه یا فرکانس وارد شده می تواند ساخته شود. هم چنین نرم افزار می تواند نویز سفید یا صورتی را تولید کند. با کمک تحلیل گر کار فرکانسی می توانید به ترکیب فرکانسی سیگنال تولید شده نگاه کنید. شکل موج خروجی روی یک نوع صفحه ی اسکوپ نشان داده شده است.

یک برنامه ی مولد است که ممکن است در نگاه اول فربینده باشد. شما می توانید یک موج سینوسی، مثلثی و یا دندانه اره ای تولید کنید. یک ویژگی خوب آن این است که می تواند شکل مثلثی را به آرامی به سوی شکل دندانه اره ای تغییر دهد. هم چنین یک آپشن جاروب وجود دارد که توسط آن شما آپشن های بین یک جاروب خطی و لگاریتمی دارید. علاوه بر این می توانید یک قطار سیگنال تولید کنید که فرکانس، تعداد پریودها و نیز فرکانس تکرار همگی قابل تنظیم اند. مثالی از چنین شکل موج تولید شده در یک پنجره کوچک نشان داده شده است. با اینکه عملیات، دقت خیلی زیادی ندارد اما برای یک بررسی سریع بسیار آسان است.



نرم افزارهای چند منظوره

برنامه هایی وجود دارند که چندین تابع دارند، اینها غالباً به همراه یک اسیلوسکوپ و یک فانکشن ژنراتور، یک آزمایشگاه پایه ی کاملی را تشکیل می دهند.

مجموعه از برنامه های مجاز است که بطور کامل در HigherFi.com رایگان است. مجموعه شامل اسیلوسکوپی

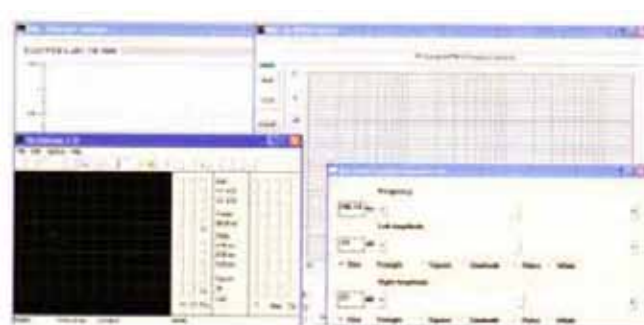
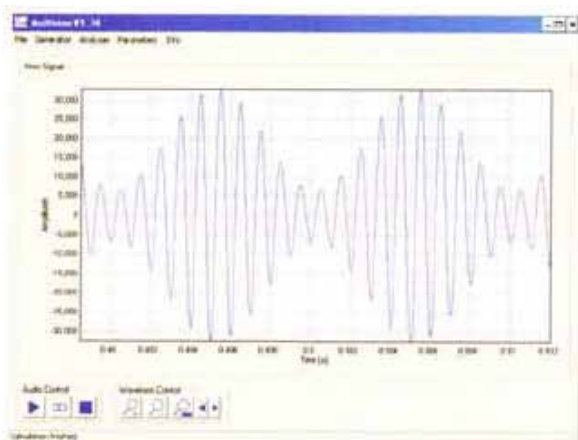
ضمن می توانید یک نشانگر نیم اکتاو را روشن کنید.



یک مولد ساده‌ی **BIP FINE WAVE GENERATOR** تولید موج سینوسی است که از دکمه های چرخشی جهت تنظیم دامنه ی فرکانس استفاده می کند. هم چنین یک آپشن جاروب وجود دارد. این برنامه از همان زمان BIP scope شروع به کار کرده و هنوز روی بسیاری از کامپیوتر ها کار می کند.



فانکشن ژنراتوری که **Multisine V 1.74** نامیده می شود ابزاری عالی است که تمام اشکال مختلف سیگنال که از یک کارت صدا

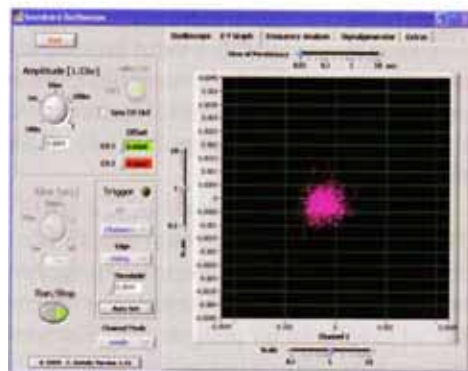
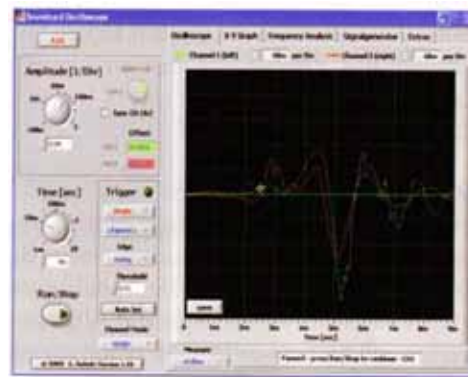


نرم افزارهای اندازه گیری رایگان برای کامپیوتر

یک اسیلسکوپ واقعی کار می کنید . تمام توابع Scope موجودند و چندین آپشن تریگر نیز وجود دارد. علاوه بر این صفحه نمایش یک اسیلسکوپ معمولی را می توان تغییر داد بصورتی که صفحه نمایش y-x تبدیل شده تا بتوانند اشکال لسازو را نمایش دهد. بنابراین یک جدول بندی وجود دارد که یک پنجره FFT را نشان می دهد و شما قادر به انجام تحلیل فوریه روی سیگنال ورودی اندازه گیری شده خواهید بود. Tab بعدی یک فانکشن ژنراتور دو کانالی را نشان می دهد که برای بیشتر قسمت ها می تواند با استفاده از دکمه های چرخشی تنظیم شود. در مورد اشکال مختلف سیگنال، انتخاب موج سینوسی، مثلثی، مربعی، دندنه ارهای و نویز سفید ممکن خواهد بود. هم چنین جاروب بین دو فرکانس ممکن است در نهایت تنظیماتی برای کارت صدا (مانند فرکانس نمونه برداری) و ثبات (recorder) وجود دارد بصورتی که سیگنال اندازه گیری شده می تواند به عنوان یک فایل wav ذخیره شود.

Visual Analyzer برنامه ساخت ایتالیاست و آپشن های بسیار زیادی دارد. بصورت پیشفرض دو پنجره روی صفحه وجود دارد؛ یکی توابعی که بصورت یک اسیلسکوپ دو کاناله هستند و دیگری پنجره ای که بصورت همزمان یک تحلیل FFT از سیگنال های اندازه گیری شده را نشان می دهد. هم اسیلوسکوپ و هم تحلیل گر FFT خیلی سریع عمل می کنند و می توانند به خوبی با هم کار کنند. تنظیمات بی شماری وجود دارد و اغلب مکان یابی آپشن ها موردنظر است. علاوه بر این شما قادر به نمایش ویژگی های فاز در یک پنجره ای مجزا خواهید بود، در ضمن آنکه می توانید پنجره ای با یک شمارنده فرکانسی در اختار بگیرید. همچنین یک مولد سیگنال جامع و کلی وجود دارد که می تواند شکل موج های متنوعی را تولید کند در ضمن آنکه یکتابع جاروب نیز پیشنهاد می شود. ویژگی های دیگر آپشن ها محاسبه ای اتوماتیک THD و اندازه گیری های LCR به کمک برخی از سخت افزارهای اضافی است (شمایتیک آن از وبسایت نویسنده قابل دسترسی است) متأسفانه طراحی این برنامه کمی درهم و برهم است و همواره تحت ویندوز های استاندارد مرسوم نصب نمی شود. اما باید توجه داشت که این برنامه ویژگی های بسیار خوبی را در اختیار ما قرار می دهد.

است که اساساً سال های پیش بعنوان یک برنامه ای انحصاری توسط یک دانشجوی روسی ساخته شد، اما اکنون نوع جدیدتری که Zeloscope نامیده می شود را می تواند خریداری شود. این مجموعه همچنین شامل یک تحلیل گر طبیعی است که از آزمایشگاه های Dazyweb نشأت می گیرد، یک مولد ساده تن که شما می توانید فرکانس، دامنه و اشکال مختلف سیگنال را تنظیم کنید، در نهایت یک رسام فرکانسی وجود دارد که شما می توانید برای ایجاد یک ویژگی فرکانسی استفاده کنید. اینها همگی نرم افزارهای قدیمی هستند اما مجموعه هی خوبی برای اندازه گیری به حساب نمی آیند.



Soundcard Scope یک کاربرد آن اندازه گیری خوب است که بطور کامل در NI labview از NI انجام می شود. حقیقتاً برنامه شبیه به یک اسیلوسکوپ معمولی است و شامل دکمه هایی برای تنظیم زمان و حساسیت ورودی است. برنامه سریعاً به تغییرات سیگنال ورودی عکس العمل نشان می دهد بصورتی که شما احساس می کنید با



نرم افزارهای اندازه گیری رایگان برای کامپیوتر

SigJenny V0.989:
www.natch.co.uk/downloads/SigJenny/SigJenny.html
Audio Test Bench:
www.highererfi.conr/software.htm
Soundcard 5cope:
www.zeitnitz.de/Christian/scope_en
VisualAnalyzer:
www.sillanumsoft.org/prod01.htm

Elektor Magazine 2010

Audio Analyser:
www.softsolutions.sedutec.de/audioanalyser.php
BIP Oscilloscope:
www.electronics-lab.com/dowrrloads/pc/002/index.html
Audio Sweepgen:
www.satsignal.eu/software/audio.html
BIP Sine Wave Cererator:
www.electronics-lab.com/downloads/pc/005/index.html
Multisine:
www.softsoLutions.sedutec.de/multisine.php

منبع :

NI Measurement Studio Enterprise for VS2008 v8.6

Measurement Studio مجموعه ای یکپارچه از کلاسها ، کنترل های لبیو جهت استفاده در مایکروسافت ویژوال استودیو .NET 2003/2005 و ویژوال استودیو 6.0 است. این نرم افزار راه را برای برنامه نویسان ویژوال استودیو هموار نموده و می توانند بدون هیچ مشکلی از تمامی ابزارها و امکانات لبیو با چند کلیک ساده در نرم افزارهای خود استفاده نمایند. این کمپوننت ها قابل استفاده در تمامی قسمتهای ویژوال استودیو از قبیل Windows Forms, Web Forms, ActiveX و ... می باشد. نرم افزار labVIEW با امکانات بسیار پیشرفته یاز قبیل برنامه ریزی گرافیکی، قابلیت اتصال بسیار بالا، توابع ریاضی و کنترلی متعدد و ... بوده و تمامی امکانات آن توسط این نرم افزار قابل استفاده در محیط ویژوال استودیو می باشد.

محتوایت مخصوص شامل نرم افزار Measurement Studio به همراه 2008 در Visual Studio مجموعه ای از ابزارهای مفیدی را در اختیار شما قرار می دهد. این ابزارها شامل مجموعه ای از ابزارهایی هستند که ممکن می کنند تا شما می توانید از قدرت هایی که در LabVIEW وجود دارد برای پروژه های خود استفاده کنید.



لینک محصول : <http://eshop.eca.ir/link/518.php>

LabVIEW 2009 SP1 Professional Full AddOns

نرم افزار LabVIEW با امکانات بسیار پیشرفته‌ی ، برنامه ریزی گرافیکی، قابلیت اتصال بسیار بالا توابع ریاضی و کنترلی متعدد و پشتیبانی یک شرکت پیشرو از این نرم افزار، دلیل مناسی برای محبوبیت این نرم افزار در بین مهندسین می باشد . در این مجموعه می توانید مجموعه کاملی از Add-Ons و Modules های موجود برای Toolkits موجود برای این نرم افزار را دریافت و استفاده کنید :

LabVIEW 2009 SP1 Professional

- # DVD 1~4
- LabVIEW 2009 Platform
 - | LabVIEW English (Base/Full/Professional)
 - | Real-Time Execution Trace Toolkit
 - | LabVIEW SignalExpress
 - | NI Motion Assistant
 - | Real-Time Module
 - | FPGA Module
 - | Vision Development Module 2009
 - | Control Design and Simulation Module
 - | MathScript RT Module
 - | Statechart Module
 - | PID and Fuzzy Logic Toolkit
 - | Simulation Interface Toolkit
 - | System Identification Toolkit
 - | Report Generation Toolkit for Microsoft Office
 - | Database Connectivity Toolkit
 - | Internet Toolkit
 - | Advanced Signal Processing Toolkit
 - | Digital Filter Design Toolkit
 - | Adaptive Filter Toolkit
 - | Desktop Execution Trace Toolkit
 - | VI Analyzer Toolkit
 - | Unit Test Framework Toolkit
 - | DataFinder Toolkit
 - | Microprocessor SDK
 - | Mobile Module
 - | Datalogging and Supervisory Control Module
 - | Touch Panel Module
 - | NI SoftMotion Module
 - | Sound and Vibration
 - | NI Device Drivers DVD - August 2009



DVD 5

- LabVIEW 2009 Service Pack 1
- NI DIadem 11.1
- LabVIEW 2009 SP1 Control Design and Simulation
- LabVIEW 2009 SP1 Datalogging and Supervisory Control Module
- LabVIEW 2009 Touch Panel Module
- NI Vision Development Module 2009

DVD 6

- LabVIEW 2009 Embedded Module for ARM Microcontrollers
- LabVIEW 2009 Sound and Vibration
- LabVIEW 2009 Real-Time Module

DVD 7

- LabVIEW 2009 SP1 FPGA Module
- LabVIEW SignalExpress 2009
- NI TestStand™ 4.2.1
- NI-VISA Full

DVD 8

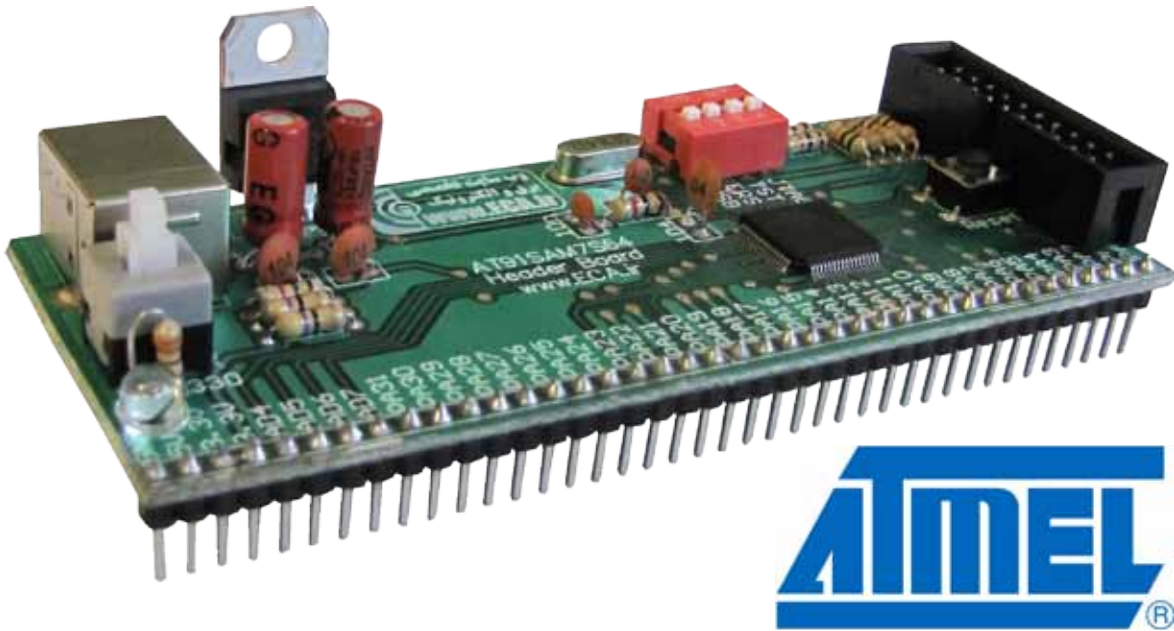
- NI Vision Acquisition Software
- NI Vision Acquisition Software 2

این محصول در قالب هشت DVD ارائه گشته است .

لینک محصول : <http://eshop.eca.ir/link/485.php>

AT91SAM7S64

Header Board



برد راه انداز میکروکنترلرهای ARM7 با امکانات اولیه جهت کار با میکروکنترلرهای AT91SAM7S64 شرکت اتمل. این برد امکان قرار گرفتن بر روی برد بود را دارا بوده و به علت یک ردیفه بودن پین ها کمترین فضا از برد بورد اشغال می گردد . از دیگر مزایای این برد راه انداز تأمین ولتاژ مورد نیاز میکرو از طریق پورت USB به همراه کلید قطع وصل می باشد . پورت USB علاوه بر تأمین ولتاژ مورد نیاز میکرو ، ارتباط SAMBA جهت پروگرامر کردن میکرو و ارتباط با ماژول USB میکرو را نیز مهیا ساخته است . جهت پروگرام کردن این میکرو می توانید از ۲ طریق ارتباط SAMBA (از طریق پورت USB) و یا پورت JTAG اقدام نمایید .

خلاصه مشخصات برد راه انداز AT91SAM7S64 :

- حداقل مدار جهت راه اندازی میکروکنترولر AT91SAM7S64
- دارای خروجی تمام پایه های ورودی خروجی به ترتیب شمارشی
- امکان نصب مستقیم برد بر روی برد برد
- دارای خروجی ولتاژهای ۳,۳ و ۵ ولت
- دارای کلید قطع و وصل تغذیه
- امکان فعل و غیر فعل کردن پورت USB
- امکان استفاده از پروگرامر SAM-BA
- دارای پورت JTAG
- دارای کلید ریست
- امکان کنترل پایه های TST, JTAGSELT و ERASE با استفاده از دیپ سوئیچ
- دارای ۱۲ ماه گارانتی تعویض



بررسی مدل‌لایسیون دامنه در متلب

- موج متوسط (MW) : یکی از رایج‌ترین باندهای پخش امواج در ایستگاه‌های رادیویی AM است.
- موج کوتاه (SW) : توسط ایستگاه‌هایی به کار می‌رود که قصد انتشار امواج خود را به فواصل بسیار دورتر از محل ایستگاه دارند. امواج متوسط و کوتاه باند AM، در شب و روز رفتار و اثرات متفاوتی را از خود نشان می‌دهند. در طول روز سیگنال‌های AM بوسیله امواج (انتشار) زمینی منتقل می‌شوند. در انعکاس از زمین امواج AM، سیگنال‌ها قادرند تا چند صد کیلومتری ایستگاه ارسال شوند و این در حالیست که این امواج بعد از غروب آفتاب بر اساس تغییرات لایه یونسفر جو به شیوه انتشار آسمانی منتقل می‌گردند که در این حالت امواج منتشر شده از ایستگاه تا فواصل دورتری نسبت به روز قابل ارسال و دریافت خواهد بود. سیگنال‌های رادیویی AM در فضاهای شهری می‌توانند براحتی توسط ساختمان‌های مرتفع و آسمان‌خراش‌ها گسیخته و مختل شوند. به علاوه دیگر منابع انتشار امواج رادیویی نیز می‌توانند اثرات مخرب و نامطلوبی بر فرآیند انتقال این امواج بر جای گذارند. بنابر این یک فرستنده AM دستگاهی است که با تلفیق و سوار کردن سیگنال‌های صوتی بر روی امواج حامل، یک موج AM را تشکیل داده و از طریق آتن، آن را منتشر می‌نماید. یک گیرنده AM نیز مجهز به یک قسمت فیلتر و یک قسمت آشکارساز می‌باشد که عمل جداسازی سیگنال‌های صوتی از امواج حامل و آشکار نمودن آنها را بر عهده دارد.

* $\cos(\alpha) \cdot \cos(\beta) = \cos(\alpha + \beta) + \cos(\alpha - \beta)$

در فرستنده که عمل مدل‌لایسیون انجام می‌گیرد سیگنال پیام را در یک موج حامل که فرکانسی به مرتب بالاتر از سیگنال پیام دارد ضرب می‌کنند و بخش $\cos(\alpha + \beta)$ را با فیلتر جدا می‌کنند با این عمل فرکانس پیام به مقدار مورد نیاز بالا می‌رود. در قسمت دمدلاتور گیرنده نیز دوباره پیام دریافتی را در کریری با همان فرکانس ضرب می‌کنند اما این مرحله $\cos(\alpha - \beta)$ را با فیلتر جدا می‌کنند. اگر فرض کنیم β فرمول بالا همان فرکانس کریر است و α همان سیگنال پیام، با کمی دقت به این مهم پی می‌بریم که در مدلاتور کریری با فرکانس پیام جمع شده و سیگنال مدوله شده را درست می‌نماید و در دمدلاتور همان حامل (carrier) از سیگنال کم می‌گردد تا دوباره به سیگنال پیام برسیم.

در اینجا ما بر آن شدیم تا اعمالی را که در یک مدل‌لایسیون دامنه با حضور نویز اتفاق می‌افتد را با نرم افزار متلب شبیه سازی نماییم. در مرحله اول سیگنال پیام را تعریف می‌کنیم. FM فرکانس پیام، f_c فرکانس موج حامل، ac دامنه حامل و X سیگنال پیام است. با دستور FFT می‌توان سیگنال پیام را در حوزه فرکانس مشاهده نمود.

یک سیگنال حاوی اطلاعات (مثل سیگنال صوتی) برای اینکه بتواند فرستاده شود باید فرکانس بالایی داشته باشد و با فرکانس خودش امکان ارسال ندارد. مدوله کردن سیگنال یعنی تغییر فرکانس سیگنال که آن را برای ارسال آماده می‌کند. همه امواج رادیویی اطراف ما مدوله شده هستند و بعد از دریافت لازم است که رمزگشایی یا دیکد بشنوند. این کار (دمدوله کردن) توسط مدارهای مختلف می‌تواند انجام شود که یک نمونه همان مدارهای موجود در رادیو و تلویزیون است که کار دمودلاتور را انجام می‌دهند.

مدول‌لایسیون AM

مدول‌لایسیون AM یکی از روش‌های پخش امواج رادیویی است که رایج‌ترین شیوه پخش امواج رادیویی خصوصاً پخش همگانی بوده و هم اکنون نیز استفاده وسیعی دارد. این شیوه بیشتر توسط ایستگاه‌های رادیویی که رویکرد پخش اخبار داشته و یا اغلب حجم مطالب مورد انتشار آنها را (صحبت کردن) تشکیل می‌دهد، مورد استفاده واقع می‌گردد. این درحالیست که ایستگاه‌های رادیویی عمومی و پخش موسیقی در دهه‌های اخیر از شیوه پخش FM استقبال نمودند. روش AM تا قبل از جنگ جهانی اول برای ایستگاه‌های رادیویی کلامی و موسیقی استفاده می‌شد، اما در دهه بعد از جنگ اول جهانی فعالیت این دستگاه‌ها به اوج خود رسید. اولین دستگاه رادیویی AM (تجاری) در ۱۹۲۰ در پنسیلوانیای آمریکا آغاز به کار کرد. موسس این ایستگاه شخصی به نام "فرانک کان راد" بود.

انتشار امواج رادیویی AM بر روی چندباند فرکانس مختلف به شرح زیر انجام می‌گیرد.

موج بلند (LW) : ۱۵۳ - ۲۷۹ khz

موج متوسط (MW) : ۵۳۰ - ۱,۷۱۰ khz

موج کوتاه (SW) : ۲,۳۰۰ - ۲۶,۱۰۰ khz

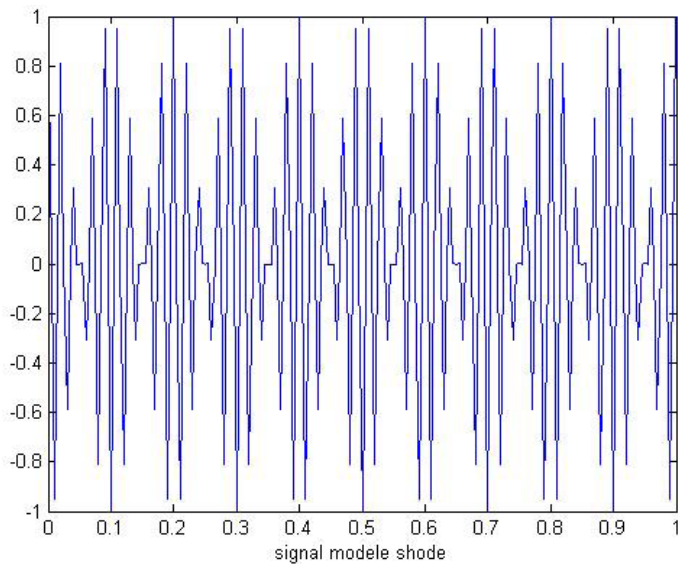
که موج کوتاه آن (SW) خود به چندین تکه باند کوچکتر تقسیم بندی می‌شود.

تخصیص این باندها در وهله اول بر اساس تصمیم ITU یا اتحادیه بین المللی مخابرات (بخش تنظیم مقررات رادیویی) و در مراحل بعدی توسط سازمان‌های تنظیم مقررات ملی هر کشور انجام می‌گیرد. برای مثال در کشور ما، سازمان تنظیم مقررات و ارتباطات رادیویی و در ایالات متحده FCC یا کمیسیون فدرال ارتباطات عهده دار انجام این تقسیم بندی و تخصیص می‌باشد.

• موج بلند (LW) : این باند برای انتشار امواج رادیویی ایستگاه‌های تجاری در اروپا، آفریقا، آسیا و استرالیا (هرسه منطقه ITU) مورد استفاده قرار دارد. این در حالیست که در کشور آمریکا این باند به عنوان پشتیبان یا باند رزرو برای باند مسیریابی هوا نورده در نظر گرفته شده است.

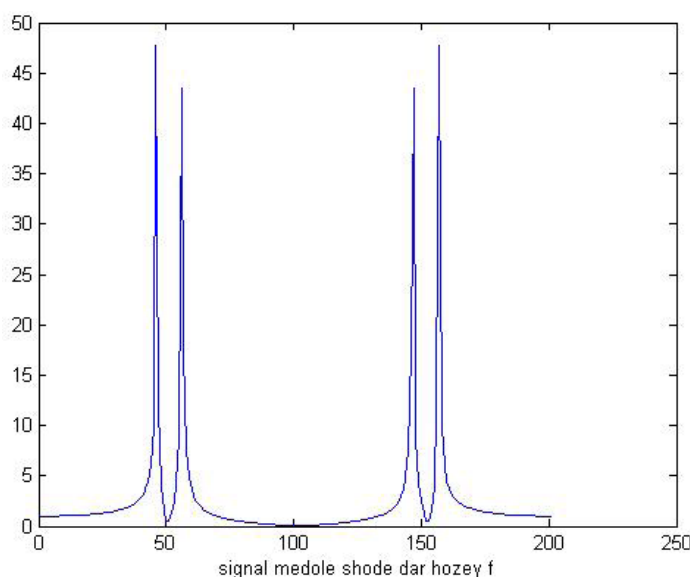
بررسی مدولاسیون دامنه در متلب

```
xc=AC*x.*cos(2*pi*t*fc);
plot(t,xc)
xlabel('signal modele shode')
```



در این قسمت سیگنال کریتر را در حوزه فرکانس مشاهده و رسم می‌نماییم . (xfc)

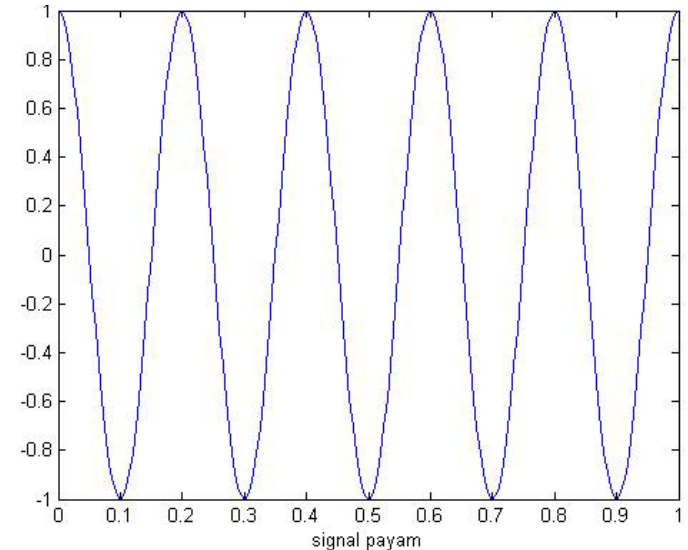
```
xfc=fft(xc);
fxc=abs(xcf);
plot(fxc);
xlabel('signal medole shode dar hozey f')
```



حال با دستور randn یک سیگنال نویز تعریف می کنیم (n)

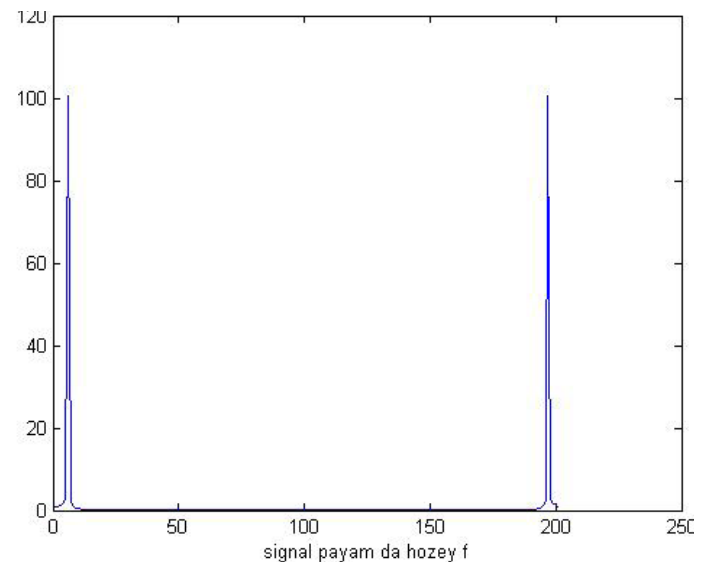
```
n=randn(1,l);
plot(t,n)
xlabel('signal noise')
```

```
fc=50;
AC=1;
fm=5;
fs=200;
Ts=1/fs;
t0=1;
t=0:Ts:t0;
l=length(t);
x=cos(2*pi*fm*t);
plot(t,x);
xlabel('signal payam')
```



در قسمت زیر سیگنال حامل (xc) را تعریف و رسم می کنیم :

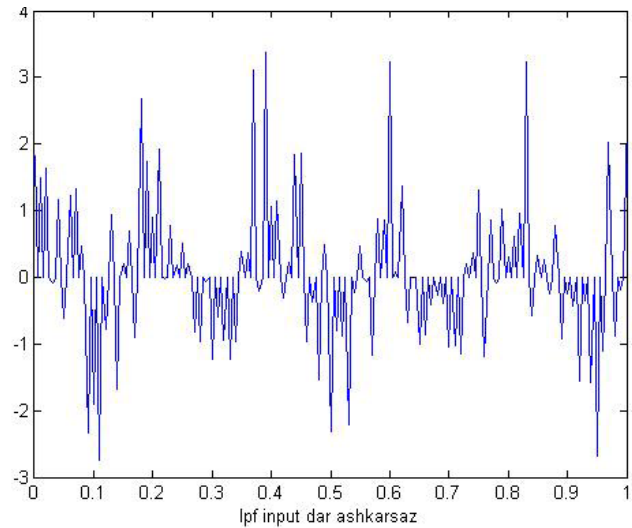
```
xf=fft(x);
f=abs(xf);
plot(f);
xlabel('signal payam da hozey f')
```



بررسی مدولاسیون دامنه در متلب

حال باید سیگنال پیام را آشکار سازی کنیم . برای این منظور دوباره سیگنال را در یک موج کسینوسی ضرب می کنیم.

```
lin=y.*cos(2*pi*t*fc);
plot(t,lin);
xlabel('lpf input dar ashkarsaz')
```



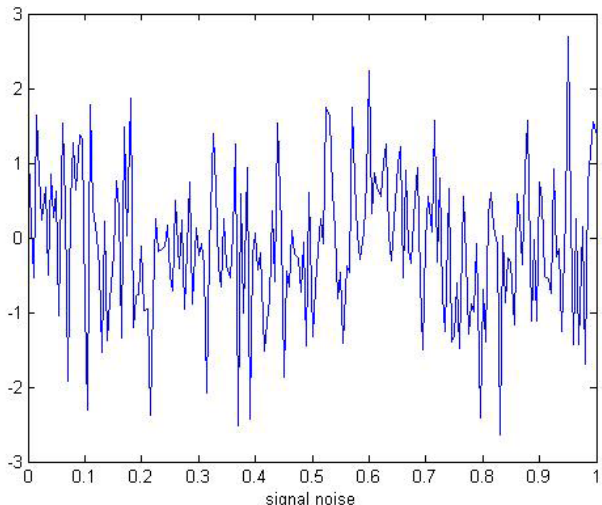
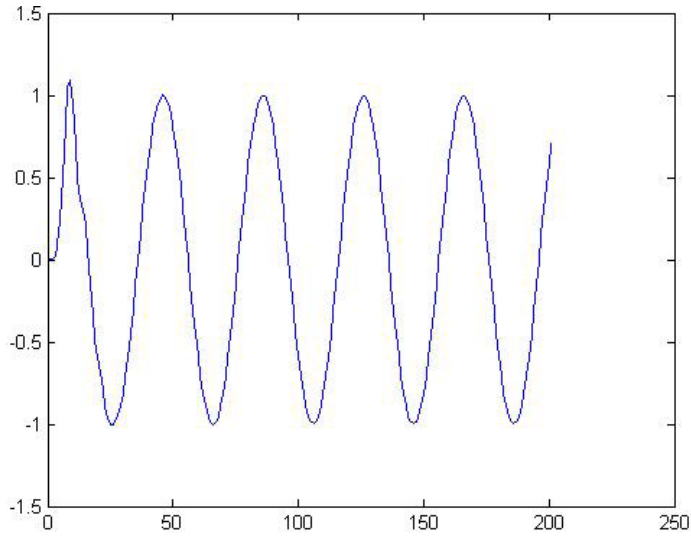
حال فقط کافیست فیلتر را طراحی کنیم برای این کار از دستور fdatool استفاده می کنیم.

برای جدا کردن سیگنال پیام از نویز باید از یک فیلتر پایین گذر استفاده نمود، تا ترم اول که حاوی سیگنال پیام است جدا گردد. این فیلتر باید پهنای باندی معادل پهنای باند سیگنال پیام داشته باشد حول دو برابر فرکانس کریم.

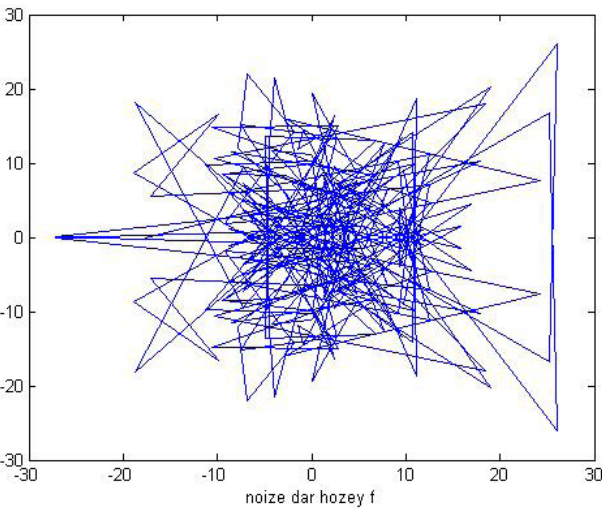
برای طراحی فیلتر دستورات دیگری نیز می توان استفاده نمود مانند دستور زیر :

```
[b,a] = butter(9,50/150,'low');
y=filter(b,a,x);
plot(y);
```

در این مرحله خروجی آشکار ساز می شود :

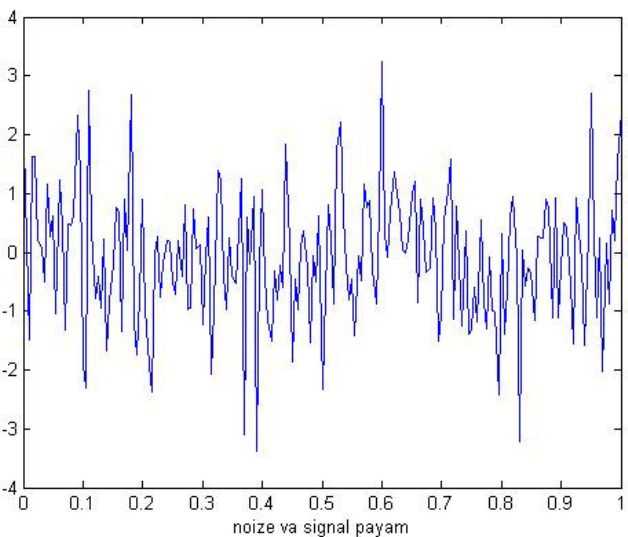


```
nf=fft(n);
fn=abs(nf);
plot(fn);
xlabel('noize dar hozey f')
```



در مرحله بعد سیگنال نویز را با سیگنال پیام جمع می کنیم (y) زیرا می دانیم نویز سیگنالی جمع شونده است.

```
y=xc+n;
plot(t,y)
xlabel('noize va signal payam')
```



بنابر این برنامه نهایی به شکل زیر خواهد بود :

MATLAB & Simulink Release 2010a 32&64bit



مطلوب (MATLAB) یکی از زبانهای برنامه نویسی سطح بالا با تمرکز بر روی تکنیکهای محاسباتی است. این نرم افزار محیطی مناسب برای انجام عملیات‌های ریاضی، ایجاد محیط‌های ویژوال و برنامه نویسی آسان را هم‌مان فراهم کرده است. در این نرم افزار تلاش بر آن است که مسائل ریاضی و راه حل‌های آنها به همان صورتیکه در ریاضیات رایج دانشگاهی وجود دارد ارائه شوند.

این نرم افزار به صورت اختصاصی در موارد زیر کاربرد دارد:

- ۱- ریاضیات و محاسبات
- ۲- ساخت و پیاده سازی الگوریتم های ریاضی
- ۳- جمع آوری داده ها
- ۴- مدلسازی، شبیه سازی و تحلیل مدل
- ۵- آنالیز، استخراج مشخصه های آماری، رسم و نمایش دیتا
- ۶- رسم گرافهای مهندسی و علوم(منحنی های دو بعدی و سه بعدی، منحنی های آماری و ...)
- ۷- تولید نرم افزارهای کاربردی دارای واسطه گرافیکی

شرکت MathWorks به همراه نرم افزار MATLAB ، راه حل‌های کاربردی معینی در زمینه های علوم نو را با عنوان Toolbox عرضه کرده است. آنچه در این جعبه ابزارهای کاربردی ارائه شده چنان است که کاربران را قادر می سازد ضمن استفاده از تکنولوژی محاسباتی مربوطه به یادگیری و توسعه آن نیز پردازد، این جعبه ابزارها ، مجموعه ای از توابع مطلب (m-file) را شامل شده که ضمن اضافه شدن به نرم افزار مطلب محیط آن را برای حل مسائل ویژه ای از علوم جدید آماده می کند.

از حوزه های علوم جدیدی که در این جعبه ابزارها به آنها پرداخت شده می توان به جعبه ابزارهای پردازش تصویر، پردازش سیگنال، سیستم های کنترلی، شبکه های عصبی، منطق فازی، فوریه دو بعدی Wavelett ، شبیه سازی و ... اشاره کرد.

این نسخه در قالب دو DVD هم برای ارایه های ۳۲ بیتی و هم برای رایانه های ۶۴ بیتی ارائه گشته است.

لينك محصول :

<http://eshop.eea.ir/link/401.php>

```

fc=50;
AC=1;
fm=5;
fs=200;
Ts=1/fs;
t0=1;
t=0:Ts:t0;
l=length(t);
x=cos(2*pi*fm*t);
plot(t,x);
xlabel('signal payam')
xf=fft(x);
f=abs(xf);
plot(f);
xlabel('signal payam da hozey f')
xc=AC*x.*cos(2*pi*t*fc);
plot(t,xc)
xlabel('signal modele shode')
xcf=fft(xc);
fxc=abs(xcf);
plot(fxc);
xlabel('signal medole shode dar hozey f')
n=randn(1,l);
plot(t,n)
xlabel('signal noise')
nf=fft(n);
fn=abs(nf);
plot(nf);
xlabel('noize dar hozey f')
y=xc+n;
plot(t,y)
xlabel('noize va signal payam')
lin=y.*cos(2*pi*t*fc);
plot(t,lin);
xlabel('lpf input dar ashkarsaz')
[b,a] = butter(9,50/150,'low');
y=filter(b,a,x);
plot(y);

```

aminnima2@gmail.com

نویسنده : امین شیخ نجدی



بازگشت راکتورها



و اروپا تحول عمده در فناوری هسته ای دور از ذهن می آمد. بنظر می رسد چندین عامل این مستله را تحت تاثیر گذاشت اند از جمله تغییر وضعیت آب و هوا و آگاهی از هزینه های پنهان سوخت های فسیلی.

طراحی راکتورهای جدید- به سه دسته تقسیم می شوند:
اولین دسته راکتور های جدید آب سبک بودند که مشابه نمونه های

فعلی بوده و اکنون تنها در زمینه ای امنیتی ارتقا یافته اند.

بعد از آن دسته، راکتورهای مدولار بودند که کمتر از ۳۰۰ مگاوات تولید می کردند ولی قابلیت ارتقا ظرفیت را داشتند برای ظرفیت بالاتر فقط کافی بود مازول های بیشتری به نیروگاه اضافه کرد و سرانجام دسته سوم طرح های Really Out there صنعت به عنوان نسل چهارم شناخته می شوند.

طرح های ارزشمند و جذاب بسیاری وجود داشتند تا در اینجا مورد بررسی قرار گیرند بعد از صحبت با دهها متخصص هسته ای، سرانجام هفت طرح راکتور را که برایمان بیشترین جذابیت و نوآوری را داشت انتخاب کردیم. این ها شامل طرح هایی هم بودند که فقط روی کاغذ بودند و یا آنها بی که دقت تنظیم آنها به اندازه یک تار مو بود.

بیش از نیم قرن پیش، اولین راکتور برق هسته ای تجاری در انگلستان و ایالات متحده به موضوعی مورد توجهی تبدیل شدند. در دهه های اخیر ارمغان تکنولوژی برای ما، تراشه هایی با ۳ میلیارد ترانزیستور در داخل آن، فضایپماهای سرنشین دار، ربات های ویولن نواز و... بوده است با این وجود اساس طراحی راکتورهای برق هسته ای تجاری تغییر اندکی کرده است. به نظر می رسد که آنها در پنهانهای تازه قرار گرفته اند که در آن تکنولوژی فراموش شده است.

بلی، حفاظت نکته ای مهمی می تواند باشد و چه جایی بهتر از طراحی راکتورهای هسته ای، صنایع الکترونیکی قابلیت رسیک پذیری کمی دارند و بنابراین بطور منطقی نمی توان از آنها انتظار داشت که چندین میلیارد دلار را روی یک راکتور آزمایش نشده، به خطر بیندازند.

از سوی دیگر شما نمی توانید نقطه امیدی برای یک رنسانس هسته ای روی طراحی تازه داشته باشید آنهم زمانی که تلویزیون های رنگی و مسافرت های بین قاره ای پدیده ای تازه باشند.

نیاز بود که مسائل خیلی جالب تری را ارائه دهید به همین دلیل کمتر از یک دوچین راکتور هسته ای جدید در حال پیشرفت ارائه شدند. پشتیبانان این طرح ها، تجارت های عظیمی را در پس آنها می دیدند، کشورهای بزرگ توسعه یافته مانند: چین و هند طرح های عظیم برق رسانی را دنبال می کردند از سوی دیگر در ایالات متحده

بوده که مورد تایید کمیسیون ناظر فعالیت های هسته ای ایالات متحده NRC قرار گرفته است. (با وجود این که سایر کشورها نیز پروسه تایید مخصوص خود را دارند و اکثراً بطور عمده ای از NCR که دارای نفوذ بین المللی زیادی است اقتباس کرده اند.) این نسل جدید PWR، که شامل یک مدل فرانسوی به نام EPR نیز



می شود، در صنعت به نام نسل سوم یا مافوق سوم شناخته می شود.

طرح یک راکتور هسته ای

طرح یک راکتور با آب سبک دهه ها مورد استفاده قرار گرفته است. در اینجا طرز کار آن نشان داده می شود:

۱- یک هسته PWR شامل صدها پایه فلزی به طول ۴ متر می باشد که مجموعه سوختی نامیده می شود. هر مجموعه سوختی دارای چندین میله است که این میله ها حاوی قرص های اورانیوم ۲۳۵ و قرص های اورانیوم غنی شده است (به طور مثال ۳ تا ۵ درصد اورانیوم ۲۳۵ و بقیه ۲۳۴ می باشد) هسته درون یک مخزن فشار پر از آب قرار می گیرد.

۲- درون هسته: هسته اورانیوم ۲۳۵ دستخوش شکافت شده و نوترون ساطع می کند. این نوترون ها به سرعت در حال حرکت می باشند و باقیتی به طور معمول از هسته جدا شوند بدون اینکه جذب سایر هسته ها شوند. آب به عنوان کندکننده، سرعت این نوترون ها را کاهش داده و باعث می شود که با تعداد زیادی هسته ای اورانیوم ۲۳۵ برخورد کرده و آنها را شکافت دهند و به همین ترتیب نوترون های بیشتری تولید می شوند.

۳- این واکنش زنجیره ای شکافت، تعداد زیادی انرژی آزاد کرده و باعث می شود که آب درون هسته تا حدوداً تا 315° سانتی گراد بالا برود گرمایی تولید شده در یک سیستم آبی ثانویه برای تولید بخار استفاده می شود. بخار خیلی گرم نیز توربینی را که متصل به

راکتور های آب سبک نسل جدید

برای درک نسل جدید راکتورهایی هسته ای، نیاز دارد که از پایه شروع کنید برای درک بهتر راکتور را به عنوان یک آرایه تشکیل از المان های متصل تصور کنید.

میله های چند متری که گرمای را پراکنده می سازد در مرکز، شبیه گیاه فلزی انعطاف ناپذیر، قرار دارند و پیرامون این میله ها یک مخزن فشار پر از آب معمولی یا آب سبک وجود دارد. هر میله با قرص های سوخت اورانیومی پر می شود. هنگامی که این میله ها به یکدیگر نزدیک می شوند مقدار زیادی نوترون همراه با گرمایی فراوان تولید می کنند. آب در راکتورهای هسته ای گرمایی سه وظیفه دارد: "گرمای را بگیرد، سوخت هسته ای را سرد کنند که در غیر این صورت بیش از حد داغ شده و موجب توقف کار می شود و آخر کاهش سرعت نوترون های ساطع شده به وسیله ای واکنش های هسته ای در آن سوخت، می باشد." وقتی که یک نوترون به هسته اورانیوم اصابت می کند آن هسته به دو هسته ای کوچکتر شکافته می شود و نوترون های بیشتری نیز آزاد می شود. این نوترون ها نیز به نوبه خود با هسته های دیگری برخورد کرده و آنها را می شکافند و دوباره نوترون های جدید آزاد می شوند که به هسته های دیگر برخورد کرده و این منوال ادامه می یابد و این همان واکنش زنجیره ای هسته ای است.

با اینکه غیر قابل درک به نظر می رسد ولی سرعت نوترون ها بایستی کمتر شود تا میزان هسته های اورانیومی که در میله هی سوخت بدان برخورد می کند و آنها را می شکافند، افزایش یابد. بدون وجود آب، که سرعت آنها را بکاهد (گرافیت یک کند کننده دیگر است) نوترون ها با سرعت خیلی زیادی حرکت می کنند بطوریکه هسته ای اورانیومی نمی تواند آنها را جذب کند و فعل و افعالات شیمیایی به آسانی شکست می خورد.

در یک راکتور آب سبک، آب معمولی هم نقش خنک کننده و هم نقش کند کننده را بر عهده دارد. این راکتور ها به دو نوع عمدۀ تقسیم می شوند:

- راکتورهایی که فشار آب در آنها بالا برده شده Pressurized Water Reactors (PWR) یا Westinghouse می رسد. در این دسته بدنه مخزن سوخت در فشار ۱۶۰ اتمسفر نگه داشته می شود و بنابراین آبی که از هسته عبور می کند هرگز بخار نمی شود.

- دسته دیگر راکتورهای آب جوشان هستند که توسط General Electric پیشگام کاربرد تجاری شد و همانطور که از نامش پیداست با جوشیدن آبی که راکتور را خنک کرده کار می کند. در حال حاضر PWR ها به طور وسیعی بر گستره ای راکتورها تسلط دارند.

گرمای برای تولید بخار به کار می رود این بخار نیز یک توربین را می گرداند، پس دینام چرخیده شده و برق تولید می شود. در هر دو دسته، بخار همیشه توسط گذر سریع آب از روی لوله های خیلی گرم به وجود می آید.

راکتورهای آب سبک با توجه به تاریخچه دیرینه شان، به این زودی ها کنار گذاشته نخواهد شد. یکی از مدعاوین پیشرو برای نسل بعدی به Westinghouse تعلق دارد و در قالب یک PWR تقویت شده و به نام AP1000 می باشد. تاکنون تنها طرح جدید PWR

بازگشت راکتورها



سازنده:	کمپانی الکتریکی Westinghouse
نوع:	راکتور آب تحت فشار
گرمایی:	۳۴۱۵ مگاوات، الکتریکی ۱۱۱۷ مگاوات
توان:	مجموعه سوخت حاوی اورانیوم غنی شده مشابه PWR معمولی
سوخت:	هر ۱۸ تا ۲۴ ماه
سوخت گیری:	آب
خنک کننده:	آب
کند کننده:	آب
پس ماند:	سوخت مصرف شده شامل اورانیوم ۲۳۵ باقیمانده و سایر زباله های رادیواکتیو

یک ژنراتور بوده می چرخاند و بدین ترتیب برق تولید می شود اصول کار گردش توربین بوسیله ی بخار در اغلب طرح های راکتورهای هسته‌ی ثابت و یکسان است.

۴- آب داخلی: راکتور همچنین یک عملکرد محافظتی دارد، در حالی که دمای آب بالا می رود چگالی آن کمتر شده و در نتیجه به طور طبیعی توانایی اش برای کاهش سرعت نوترون ها کاهش می یابد و این امر منجر به افت واکنش های زنجیره ای می شود. همچنین آب باعث می شود که نوترون ها به خارج پراکنده نشوند. وسیله کنترلی و محافظتی دیگر میله های کنترل جذب کننده نوترون می باشند که حاوی بور (B) بوده و اگر وارد هسته شوند باعث قطع واکنش ها و از کار افتادن سیستم می شوند.

۵- یک PWR معمولی نیاز به سوخت گیری در هر دو سال دارد. سوخت مصرف شده، شامل اورانیوم ۲۳۵ باقیمانده و دیگر پسماندهای رادیواکتیو می تواند به انبارهای دائم فرستاده شود، (یک استخراج از آب برای تقریبا ده سال و سپس در بشکه های خشک مخصوص) و یا بازیابی شود. در بازیابی اورانیوم شکافته نشده و همچنین پلوتونیوم که می تواند در تولید سوخت Mixed Oxide به کار رود، جدا می شوند. فراورده جانبی بازیابی شامل پلوتونیوم ۲۳۹ می باشد که در ساخت بمب های هسته‌ی استفاده می شود. به همین جهت بعضی متخصصین بازیابی را به عنوان یک ریسک گسترش تولیدات اتمی می بینند.

WESTINGHOUSE AP1000

مشخصه‌ی پسیو امنیتی این راکتور را بدون نیاز به هیچ عنوان، پمپ، یا نیروی انسانی از کار می اندازد.

نحوه‌ی کارکرد:

هسته AP1000 مشابه هسته‌ی PWR معمولی است. سوخت تولید گرما می کند و این گرما آب را به بخار تبدیل می کند. بخار ایجاد شده نیز توربین را می چرخاند.

مزایا:

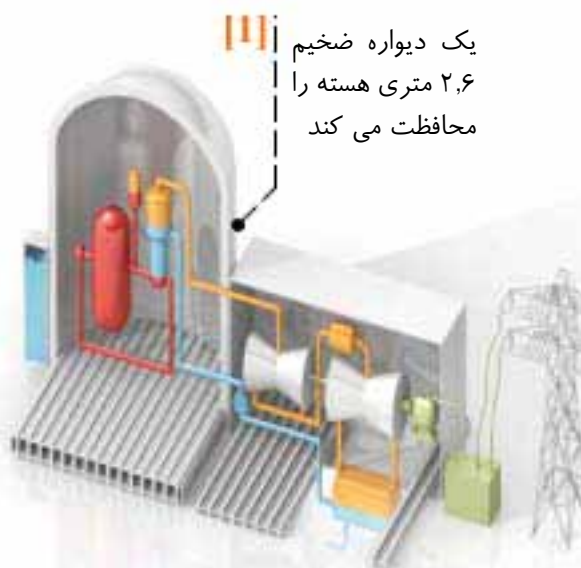
طرحان راکتور، خصوصیات امنیتی را به طور قابل توجهی نسبت به PWR معمولی بهبود بخشیده‌اند. در حالیکه راکتورهای متداول برای مقابله با حوادث به شیرهای موتور دار و پمپ های آبی تکیه کرده اند، طرح اصلاح شده AP1000 دارای سیستم امنیتی

معایب:

برخی تحلیل گران در مورد اینکه EPR مطمئن‌ترین راکتور جهان باشد، اظهار شک کرده‌اند. بیشتر نگرانی آنها مصرف سوخت است نرخ بالای تشعشع نوترون‌های سوخت، مصرف رادیو اکتیو بیشتر را موجب می‌شود که نگرانی‌ها را در مورد گسترش تسهیلات هسته‌ای افزایش می‌دهد.

قالب زمانی:

چهار EPR هم اکنون در حال ساخت هستند، یکی در فنلاند یکی در فرانسه و در واحد ۱۶۵۰ مگاوات در Taishan چین، علاوه بر آن قرار است دو راکتور دیگر نیز ساخته شود. نیروگاه فنلاند اولین EPR ساخته شده و اولین راکتور نسل III در جهان خواهد بود. چندین شرکت آمریکایی نیز قصد دارند تا بعد از تایید NCR حداقل ۴ نیروگاه EPR بسازند.



Areva

سازندۀ:

راکتور آب تحت فشار

نوع:

گرمایی ۴۵۰۰ مگاوات، الکتریکی ۱۶۵۰ مگاوات

توان:

راکتور می‌تواند دی اکسید اورانیوم ۹۵٪ مخلوط

سوخت:

شده در میله‌های سوخت را استفاده کند همچنین

می‌تواند از مخلوط اورانیوم - پلوتونیوم ۵۰٪ درصدی

نیز استفاده کند.

سوخت گیری:

حداکثر هر ۲۴ ماه

خنک کننده:

آب

کند کننده:

آب

پس ماند:

سوخت مصرف شده شامل اورانیوم ۲۳۵ باقیمانده و

سایر پس ماندهای رادیو اکتیو

است که در جریان هوا تغییرات فشار و جاذبه متکی است. برای مثال اگر یک لوله خنک کننده بشکند فشار درون مخزن نگهدارنده، توامان افزایش می‌یابد [۱] که تغییر در آن یک سیستم اضطراری جریان آب پر فشار را به راه می‌اندازد، [۲، ۳، ۴] آب درون محفظه نگهدارنده کاملاً بسته، گرم شده و به تبدیل می‌شوند. بخار آب به سوی صفحات فولادی که با چرخشش هوا در اطراف محفظه خنک می‌شوند، بالا می‌رود. به همین دلیل بخار دوباره به آب تبدیل می‌شود. این چرخه فشار و دما را کاهش می‌دهد. برخلاف سایر راکتورهای آبی تحت فشار، AP1000 خصوصیات حفاظتی علاوه بر همان مشخصه پسیو امنیتی ندارد.

معایب:

آب مخصوصاً آب خیلی داغ باعث پوسیده شدن آهن می‌شود در نتیجه لوله‌ها، اتصالات و سایر مجرای‌ها بایستی به طور منظم بازرسی و محافظت شده و در صورت نیاز تعویض گردد. با توجه به یک تخمین AP1000 نسبت به PWR های معمولی، به ازاء تولید یک مگاوات برق، آب بیشتری مصرف خواهد کرد.

قالب زمانی:

شرکت Westinghouse چهار راکتور AP1000 در چین می‌سازد ساخت Sanmen1 که اولین AP1000 به کا افتاده در جهان خواهد بود، در مارس ۲۰۰۹ آغاز شده و بایستی تا سال ۲۰۱۳ تکمیل شود سه شرکت مهندسی آمریکایی اعلام کرده‌اند که طرح ساخت شش راکتور AP1000 را یک زمان بندی برای کاربرد اقتصادی در ۲۰۱۶ را دارند. با حال تازمانیکه NRC برای راکتورها موافقت نامه نهایی خود اعلام نکند، ساخت این راکتورها نمی‌تواند شروع شود. در عین حال کمیسیون نیز می‌گوید این امر تا نیمه سال ۱۱۰۲ اتفاق نخواهد افتاد.

EPR (European Evolutionary Power Reactor)

EPR بزرگترین راکتور آب پر فشار در جهان خواهد بود.

نحوه‌ی کارکرد:

هسته EPR مشابه PWR متدائل بوده با این تفاوت که از آن بزرگتر است.

مزایا:

این راکتور نواده‌ی راکتورهای N4 و Konvoi می‌باشد که قبل مورد آزمایش قرار گرفته بودند و پیشرفت‌های راکتورها در فرانسه و آلمان می‌باشند.

توربین یک EPR را تازمانیکه که کار می‌کند، می‌توان نگه داشت. سازندگان آن اظهار می‌دارند که زمان توقف ناشی از کار افتادن توربین و تعویض آن بسیار کم بوده و بعلاوه عمر این توربین‌ها ۶۰ سال است. اتحادیه متخصلین هسته‌ای به عنوان تها طرح جدید راکتور که مورد توجه ایالات متحده قرار گرفته، مراجعت کرده اند و به نظر می‌رسد که به طور قابل ملاحظه‌ای قابلیت اطمینان و امنیت بیشتری در مقابل حملات را نسبت به راکتورهای امروزی داشته باشند [۱]. علاوه بر آن EPR تاکنون بیشترین بازده ۳۶ درصد) را تبدیل انرژی حرارتی به انرژی الکتریکی، نسبت سایر راکتورهای آب سبک دارد که بازده آنها بین ۳۳ و ۳۴ درصد می‌باشد.

بازگشت راکتورها



مخزن نگهداری به
منظور ارتقاء اینمی
با آب پر می شود.

[3]

آب توسط پدیده
ی همرفتی درون
مخزن به گردش
در می اید.

[2]

هسته‌ی اتمی آب را گرم
می کند تا به مولد بخار برسد

[1]

گرمایی ۱۶۰ مگاوات، الکتریکی ۴۵ مگاوات برای هر مازول. یک نیروگاه کامل می‌توان ۱۲ تا ۲۴ مازول داشته و ظرفیت توان
الکتریکی ۵۴۰ تا ۱۰۸۰ مگاوات داشته باشد.

اورانیوم غنی شده تا حدود ۵ درصد که در لوله‌های ۱,۸ متری قرار داده شده باشد. مشابه راکتور آب سبک معمولی

سازنده: NuSCALE POWER

نوع: رادیو اکتیو آب سبک

توان:

سوخت:

سوخت گیری:

آب

خنک کننده:

آب

کند کننده:

آب

پس ماند:

سوخت مصرف شده شامل اورانیوم ۲۳۵ باقیمانده و دیگر زباله‌های رادیو اکتیو

اتمی برای سرمایه‌گذاران بسیار ناچیز به نظر می‌رسد.

راکتورهای کوچک بایستی انرژی قابل مقایسه و بدون تشعشعات
مضر را با کمترین ریسک اقتصادی فراهم کنند. آنها همچنین باید
بتوانند این کارها را در مناطق خارج از شبکه‌ی توزیع نیز انجام
دهند. مزیت دیگر این است که یکی از مازول‌ها می‌تواند به تنها ی

یکی از مزایای مهم انرژی هسته‌ای، اندازه توان بالای موجود در یک
واحد تولیدی است گیگاوات بیشتر از صد برابر مگاوات است یک
نیروگاه ۱ گیگاواتی می‌تواند در حدود یک میلیون خانه را تامین کند.
در این روزها هزینه‌های چند میلیارد دلاری ساخت نیروگاه‌های

راکتورهای مدولار کوچک

زمانی که بقیه در حال کار هستند، به منظور تعمیر یا تعویض متوقف شود. در این صورت هزینه های بالای ناشی از بازه های طولانی توقف، کاهش می یابد.

ماژول قدرت: Hyperion

Hyperion می تواند یک شهر کوچک یا یک منطقه خارج از پوشش شبکه توزیع را تأمین کند.

نحوه کارکرد:

ماژول قدرت (HPM) Hyperion، یک راکتور پر سرعت است. این دسته از راکتورها نیاز به کند کننده ندارند. در یک PWR معمولی، که به نام راکتور گرمایی شناخته شده است، آب عنصر اساسی است، چون سرعت نوترنون ها را کاهش می دهد تا بتواند سایر اتم های اورانیوم را شکافته و نوترنون های بیشتری تولید شود. مزایای استفاده از یک کند کننده مانند آب این است که می توان این محظوظه نیز با آب پر شده است. برخلاف راکتورهای آب سبک معمولی که نیاز به پمپ های بزرگ برای چرخاندن درون هسته دارند، راکتور NuSCALE بر پایه همرفت یا جا به جایی ساخته شده است. سوخت آب را گرم می کند [۱] گرما به بالای هسته مرکزی حرکت کرده و به ژنراتور وصل می شود. در آنجا گرمای آب گرفته شده و آب سرد به پایین بر می گردد و چرخه تکرار می شود [۲] بخار ژنراتور الکتریکی را راه اندازی می کند. سپس از مصرف انرژی بخار سرد شده و دوباره به مایع تبدیل می شود. پس از آن دوباره به درون ژنراتور بخار منتقل شده و پروسه تکرار می شود.

مزایا:

ترکیب سرب-بسیمoot بطور مطمئن تر از فلز مایع خنک کننده می باشد سرب با هوا و آب واکنش نمی دهد. به خاطر این که HPM یک راکتور پر سرعت بوده و مقدار زیادی آب مصرف نمی کند، در نتیجه در مناطقی که آب کمیاب بوده یا به سهولت در دسترس نباشد، بسیار مورد توجه می باشد. سوخت نیترید اورانیوم [۲] که جایگزین اکسید اورانیوم متداول شده است، در دماهای بالاتر کمتر در معرض انفجار قرار می گیرد.

طراحان اظهار کرده اند که وجود شکافت در مخزن که باعث نشت فلز مایع می شود، در عوض راکتور ممکن است در زیر زمین نیز ساخته شود. در عین حال چرخه ای که نیز برای امنیت بیشتر وجود داشته باشد.

معایب:

راکتورهای پر سرعت محدودی از نظر اقتصادی قابلیت تولید برق مطلوب دارند. در عوض این نوع راکتورها اغلب در زمینه های تحقیقاتی و نیز در زیر دریایی های نظامی مورد استفاده قرار گرفته اند. سوخت نیترید اورانیوم Hyperion و نیز خنک کننده سرب-بسیمoot آن هر یک بطرور مجزا در راکتورهای تحقیقاتی مورد آزمایش قرار گرفته اند ولی هیچگاه باهم در یک جا مورد استفاده قرار نگرفته اند. کارخانه تا کنون فقط یک نمونه کامل عملیاتی را نشان داده است. در نهایت هیچ تضمینی وجود ندارد که Hyperion در وعده خود در راستای کاهش مصرف سوخت هسته ای نتیجه ای کاملاً مطلوبی بدست آورد.

قالب زمانی:

گفته می شود که هم اکنون بیش از ۱۵۰ خریدار، در انتظار Hyperion می باشند از جمله شرکت های معدن یابی و ارتباطات در جمهوری چک، آفریقای جنوبی، انگلستان و آمریکا، ولی این خریداران مجبورند تا زمان مورد نیاز برای تأییدات لازم صبر کنند. مجوز راکتور HPM در آمریکا ممکن است از زمانی که شرکت

NuSCALE

یک راکتور مدلول آب سبک طراحی شده برای جایگزینی با نیروگاه های فسیلی (شامل ذغال سنگ و گاز) می باشد.

نحوه کارکرد:

مجموعه سوخت هسته ای درون یک مخزن مرکزی قرار می گیرد. این مخزن نیز در داخل یک محفظه ای نگه دارنده قرار گرفته که این محفظه نیز با آب پر شده است. برخلاف راکتورهای آب سبک معمولی که نیاز به پمپ های بزرگ برای چرخاندن درون هسته دارند، راکتور NuSCALE بر پایه همرفت یا جا به جایی ساخته شده است. سوخت آب را گرم می کند [۱] گرما به بالای هسته مرکزی حرکت کرده و به ژنراتور وصل می شود. در آنجا گرمای آب گرفته شده و آب سرد به پایین بر می گردد و چرخه تکرار می شود [۲] بخار ژنراتور الکتریکی را راه اندازی می کند. سپس از مصرف انرژی بخار سرد شده و دوباره به مایع تبدیل می شود. پس از آن دوباره به درون ژنراتور بخار منتقل شده و پروسه تکرار می شود.

مزایا:

این طرح اساساً یک نسخه پیشو از تکنولوژی راکتور آب سبک تجاری است. سیستم خنک کننده تنها به جابجایی آب وابسته است و به پمپ نیازی ندارد. نیروگاه قابل ارتقا بوده و می تواند از ۱ تا ۲۴ راکتور داشته باشند. در ماژول می تواند به تنهای سوخت گیری شود، بدون اینکه تأثیری در کارکرد سایر ماژول داشته باشد. ماژول ها می توانند به تعداد دلخواه خارج از نیروگاه تولید شده و توسط کامیون یا قطار به نیروگاه منتقل شود. که در این صورت زمان بازسازی کاهش می یابد. در نهایت سوخت ژنراتور بخار درون یک محفظه ای فولادی پر از آب قرار دارد [۳] که این امر باعث افزایش قابلیت پایداری در مقابل فشار شده و پراکندن گرما، نسبت به ساختارهایی که در آن از PWR تجاری استفاده شده، می شود.

معایب:

در یک نیروگاه کامل بایستی بتوان تعداد ده یا بیشتر راکتور را مدیریت، نگهداری و بازرسی کرد. برای سوخت گیری راکتورها، بایستی پوشش نگهدارنده برداشته شده و هسته به یک قسمت سروپس توسط جرثقیل منتقل شود. سپس برخی اجزای ان تفکیک شده و توسط ماشین های کنترل از راه دور سوختگیری شود.

قالب زمانی:

برنامه ریزی شده در اوایل سال ۲۰۱۲، NuSCALE به منظور دریافت مجوز طراحی و سانت به NRC ارائه شود در عین حال هر شرکتی که تمايل به ساختن یک نیروگاه داشته باشد، بایستی مجوز فعالیت و ساخت بگیرد.

NuSCALE در حال مذاکره با چندین شرکت است که نام آنها فاش نشده است و انتظار می رود که اولین نیروگاه در سال ۲۰۱۸ مورد بهره برداری قرار بگیرد.

بازگشت راکتورها

سرب-بسیمومت مایع میله های سوختی را می شوید و با عبور از انها گرمای را خارج می کند.

[1] [2] قرص های سوختی نیترید اورانیوم درون دههای میله های سوختی، می توانند دمای بالاتر را تحمل کنند.

[3] میله های کنترل واکنش را تنظیم می کنند، در حالت اضطراری مرکز با ذرات بور (B) پر می شود تا راکتور متوقف شود.

[4]

یک چرخه های خنک کننده ثانوی گرمای را از طریق لوله های خارجی پر شده از مایع خارج می کند.

یک جدار حفاظتی از راکتور محافظت می کند و بنابراین راکتور می تواند زیر زمین نیز قرار بگیرد.

[5]

Hyperion Power Generation

سازنده:

راکتور سرد شده با فلز مایع

نوع:

گرمایی ۷۰ مگاوات، الکتریکی ۲۵ مگاوات

توان:

میله های سوخت فولادی، قرص های نیترید اورانیوم جامد را در خود دارند. سوخت تا حدود ۲۰٪ غنی شده است. (PWR)

سوخت:

های متداول بین ۵ تا ۲۰ درصد غنی سازی دارند). پروتکل منع گسترش تسخیلات اتمی، غنی سازی ۲۰ درصد را به عنوان کمترین حد برای مواد هسته ای مخصوص تعريف کرده است حدی که بیشتر از آن می تواند برای ساخت سلاح های هسته ای مورد استفاده قرار بگیرد.

سوخت گیری:

نیاز به سوختگیری ندارد. کل سیستم بعد از ۱۰ سال تعویض می شود.

خنک کننده:

مایع سرب-بسیمومت (راکتورهای خنک شونده با فلز مایع معمولی با سدیم خنک می شود)

کند کننده:

نیازی به کند کننده ندارد. (یک راکتور پر سرعت)

پس ماند:

Hyperion اظهار داشته است که HPH به عنوان راکتور یکبار مصرف عمل می کند. در عوض تعویض مکرر اورانیوم مصرف شده با سوخت تازه، در این راکتور سوخت گیری به صورت تعویض کل هسته ۲۰ تنی با یک هسته ی کاملاً نو انجام می شود. Hyperion می گوید که این شرکت مسئولیت نگهداری هسته ی باقیمانده را بر عهده خواهد داشت.

اولین نمونه کاربرد را بسازد، ۳ تا ۵ سال به طول بکشد.

ژنراتورهای نسل چهارم

ژنراتورهای نسل چهارم که دارای طرح های متفاوتی می باشند، انواع جدیدی از سوخت ها و کند کننده ها را بکار می بردند. در طراحی ژنراتورهای پر سرعت این نسل، اغلب از کند کننده ها استفاده نمی شود در نتیجه سوخت مورد نیازی با غلظت بالا از مواد شکافته شده (پلوتونیوم و اورانیوم ۲۳۵) نسبت به راکتورهای آب سیک دارند و این طرح برای انجام کاری بی سابقه در زمینه سوخت و علاوه بر آن پس مانده های هسته ای ماندگار، که از آغاز معملی برای انرژی هسته ای بوده، وعده ای کمی داده است. به عنوان نسل بعدی نیروگاه های هسته ای، یک طرح نسل چهارم توسط کنسرسیومی از چندین شرکت آمریکایی مورد توجه قرار گرفته است و در آن عمل خنک سازی توسط گاز هلیوم و کند سازی توسط گرانیت صورت می گیرد. این تکنولوژی و شرکت های پیش رو در این زمینه بطور رسمی در سال ۲۰۱۱ معرفی خواهد شد علاوه بر ان راکتورهای پیشرفته تر از جمله راکتور Terra Power Travelling Wave نیز امید می رود بنابراین گفته سازندگانشان در کمتر از یک دهه دیگر مورد ساخت و آزمایش قرار بگیرند.

Toshiba 4S

حرف 4S به مخفف Simple-Small-Safe-Super می باشد. این راکتور شبیه یک باتری با عمر سی سال می باشد.

نحوه کار کرد:

هسته‌ی طویل و با قطر زیاد، [۱] دارای یک بازتابنده حلقوی منحرک است که در طول زمان به آرامی بسوی بالا حرکت می کند. این لایه نوترون‌ها را در قسمت خاصی از هسته که واکنش‌های زنجیره ای انجام می گیرد، متوجه کننده می کند. در حالیکه حلقه بالا می رود، سوخت هسته ای به تدریج مصرف می شود. راکتور 4S با سه چرخه جهت دفع گرمای طراحی شده است. در چرخه اولی فلز مایع سدیم به منظور خنک سازی هسته به چرخش در می آید. علاوه بر آن سدیم مایع در حلقه دوم که وظیفه انتقال گرمای به چرخه ای سوم را بر عهده دارد، در جریان است. حلقه سوم حاوی آب و بخار به منظور راه اندازی توربین‌ها می باشد. در چرخه اول و دوم پدیده هم رفتی باعث شارش فلز مایع می شود. برای ارتقا اینمی، پمپ‌های الکترومغناطیسی بدون قطعات منحرک - نیز بکار برده شده اند. [۲] راکتور به صورت یک گند استوانه ای یکپارچه طراحی شده و می تواند برای محافظت در برابر طوفان و نیز حملات تروریستی در عمق ۳۰ متری زمین نیز قرار بگیرد.

مزایا:

راکتور می تواند بدون نیاز به نگهداری ویژه ای ته ۳۰ سال کار کند. مخصوصاً به این دلیل که سرد کننده سدیم مایع باعث خوردگی لوله های آهنی کیله های راکتور نمی شود، در حالیکه آب گرم این خصوصیات را نداشت، همچنین چون مجبور نیست تحت فشار زیاد کار کند، شکاف در لوله ها سبب انفجار آنها نمی شود و فقط سدیم مذاب از میان سوراخ چکه می کند. همانند راکتور پر سرعت، 4S می تواند بعضی از ایزوتوپ های با عمر طولانی را نیز در سوخت مصرف

شده، بشکافد که این امر باعث کاهش تعداد ایزوتوپ ها در نتیجه کاهش کم حجم پسماند می شود.

معایب:

سدیم فوق العاده فرار بوده و در تماس با آب منفجر می شود. یکی از مزایای ادعا شده این طرح-شکافت ایزوتوپ های دارای عمر طولانی عمر در سوخت مصرفي-ممکن است یک نقطه ضعف باشد. هر چقدر که حجم پسماند کاهش داده شود، پسماند رادیواکتیو تر Dirty Bombs شده و ممکن است برای ساختن بمب های کثیف به کار برد می شود.

قالب زمانی:

در ایالات متحده توшибا مذاکرات مقدماتی را با NRC را انجام داده و گزارشات فنی مربوط به نمونه انجام شده را ارائه کرده است. انتظار ۲۰۱۲ می رود که سازنده طرح خود را برای نمایش در اوخر سال ارائه کند. NRC نمی تواند تخمین بزنده که این طرح در چه زمانی می تواند مورد تأیید نهایی قرار بگیرد. ۴S در حال حاضر گروه های علاقه مندی دارد از جمله شهر Galena در غرب آلاسکا (با ۵۹۹ نفر جمعیت) که در نظردارند به محض اینکه NCR موافقت خود را با ۴S اعلام کرد، شروع به ساخت این راکتور نماید.

نسل بعدی نیروگاه های هسته ای:

این راکتورهای نسل چهارم به منظور تولید برق و نیز گرمای مورد نیاز برای کاربردهای صنعتی طراحی شده اند.

نحوه کار کرد:

سوخت این راکتورها شامل ذرات اورانیومی به نام ایزوتوپ های سه حالته یا ذرات TRISO می باشد. [۱، ۲] بلوک ها یا کره ها شامل سوخت TRISO و کربن که به درون مخزن مرکزی هدایت شده اند. [۳، ۴] واکنش های زنجیره ای تولید می کنند. هلیوم درون هسته می چرخد و گرمای را خارج کرده و مستقیماً یک توربین را به کار می اندازد، یا این که می تواند برای تولید بخار به منظور راه اندازی توربین ها بکار برد شود. چون هسته ای حاوی هلیم و گرافیت است، می تواند تا ۹۰۰ ° و حتی بیشتر پایداری حرارتی داشته باشد، در حالیکه راکتورهای با آب تحت فشار در حدود ۳۰۰ ° کار می کنند.

مزایا:

دمایی بالای راکتور این امکان را فراهم می آورد که برای فعالیت های صنعتی از قبیل تصفیه نفت، ساخت پلاستیک، تهیه ای هیدروژن به کار برد شوند که، منجر به کاهش تولید کربن شده و باعث محدود شدن مصرف نفت و گاز طبیعی می شود.

علی رغم گرمای بالاتر، توان مصرفی این یک پنجم توان PWR است که این امر سبب افزایش قابلیت کربن در جذب نوترон ها می شود. در نتیجه کربن به عنوان یک مکانیسم اینمی پسیو عمل می کند که قابلیت متوقف کردن سیستم را دارد.

معایب:

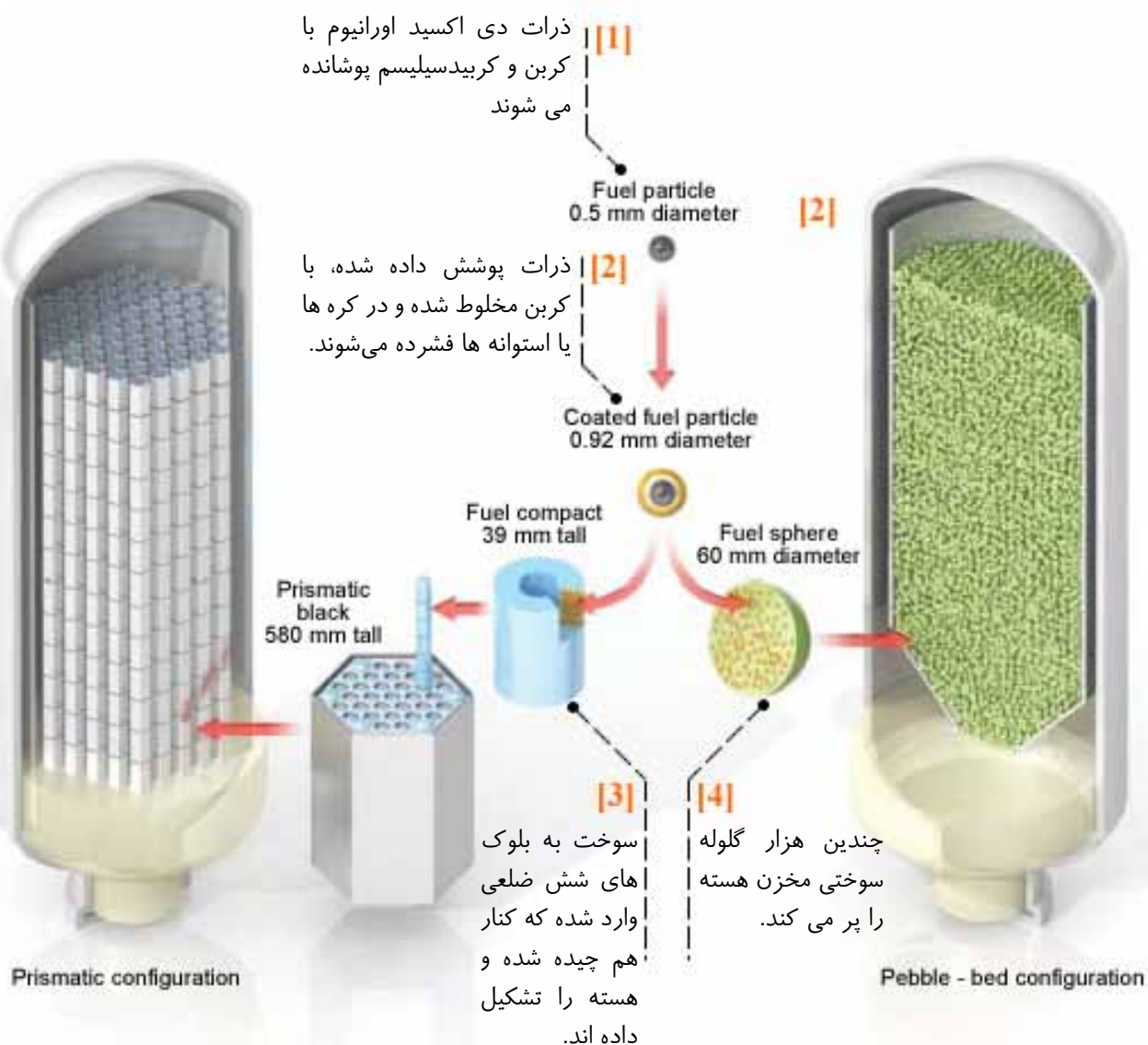
آزمایش های بیشتری هم اکنون در حال انجام است. قرص های سوخت نیاز دارند زیر بمباران سنگین نوترونی مورد ارزیابی قرار بگیرند. همینطور گرافیت نیز داخل هسته را پر کرده باید به همین نحو مورد بررسی قرار بگیرد. موادی با قابلیت گرمایی بالا برای نگه داشتن آلیاژ های پیشرفته هلیوم-نیکل نیز بایستی به طور کامل

بازگشت راکتورها

هسته‌ی راکتور در داخل زمین قرار می‌گیرد و تبادل گرهای گرمایی و توربین در روی زمین ساخته می‌شود.

[2] پمپ‌های الکترومغناطیسی به چرخش سدیم مایع خنک کننده، کمک می‌کند.

Toshiba	سازنده:
راکتور پر سرعت خنک شونده با سدیم مایع	نوع:
گرمایی ۳۰ مگاوات، الکتریکی ۱۵ مگاوات.	توان:
اورانیوم غنی شده تا ۱۹,۹ درصد (زیر ۲۰ درصد که محدوده ساخت سلاح‌های اتمی است) اورانیوم با زیروکونیوم مخلوط شده و با فولاد پوشانده می‌شود.	سوخت:
راکتور یکپارچه بوده و نیازی به سوخت گیری ندارد. وقتی که سوخت آن تمام شد، کل هسته راکتور بایستی به کارخانه بازگردانده شده و هسته‌ی تازه‌ای به جای آن قرار داده شود.	سوخت گیری:
سدیم مایع	خنک کننده:
نیازی به کند کننده ندارد. (راکتور پر سرعت)	کند کننده:
سوخت مصرف شده در درون هسته یکپارچه	پس ماند:



دو طرح توسط دپارتمان انرژی ایالات متحده تحت برنامه نسل بعدی نیروگاه های هسته ای، تأیید شده و در حال پیشرفت می باشد. یکی توسط کنسرسیومی به رهبری Genard Atomic دیگری به رهبری Westinghouse

راکتور پر فشار خنک کننده با گاز

گرمایی ۲۵۰ تا ۶۰۰ مگاوات، الکتریکی ۱۱۲ تا ۲۷۰ مگاوات

ذرات میکروسکوپی دی اکسید اورانیوم که با سبلیکن و کربن پوشش داده شده اند و به نام ایزوتوب های سه گانه یا TRISO شناخته می شوند. این ذرات همچنین با مقدار زیادی گرافیت مخلوط شده و به دو شکل متفاوت فشرده می شود. استوانه ای به اندازه توب تیس یا میله هایی به اندازه یک تکه گج که به بلوک های شش ضلعی گرافیت متصل شده اند.

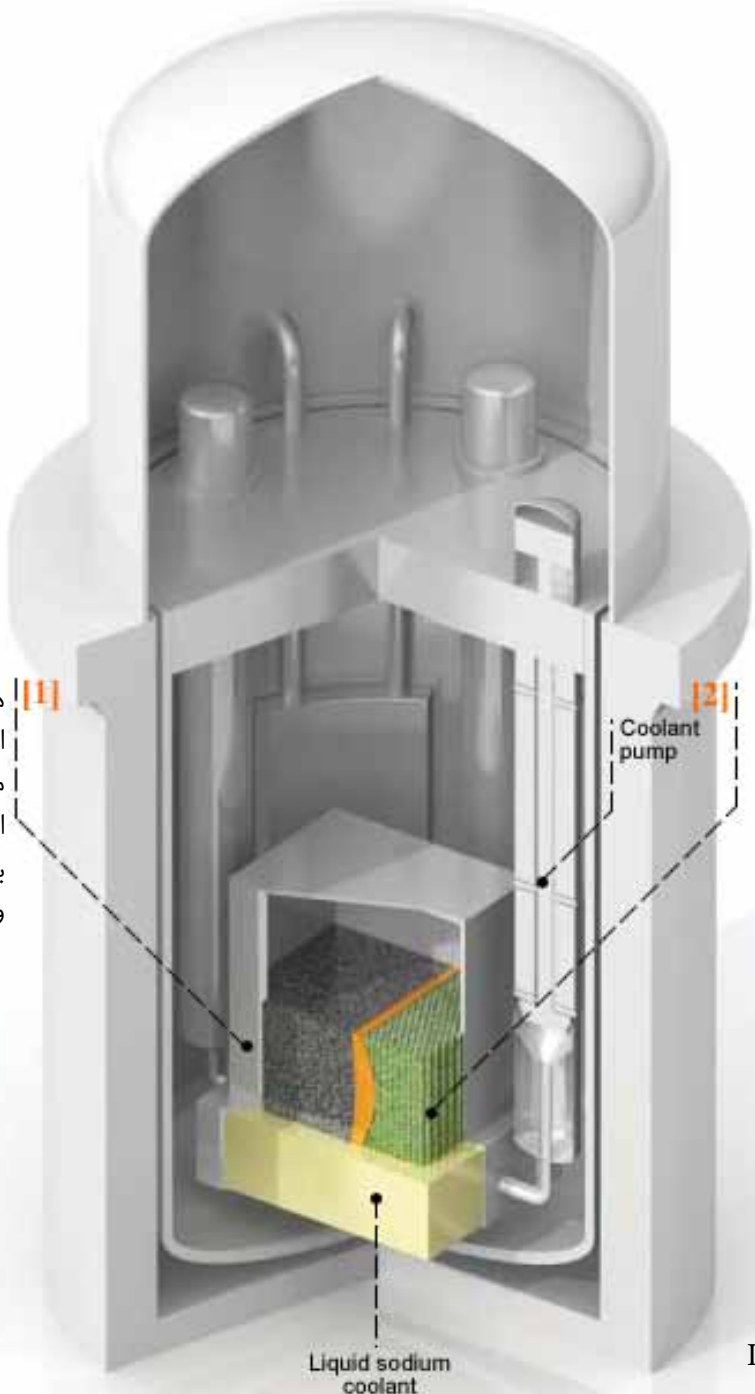
سوخت مصرف شده بطور پیوسته بدون نیاز به متوقف شدن راکتور تعویض می شود. در انواع Pebble-bed، توب های TRISO از بالا برداشته می شوند، تا اندازه شکافت آنها اندازه گیری شود و در صورت نیاز توب های جدیدی به جای آنها قرار داده شود. در انواع Prismatic، هزاران بلوک شش ضلعی انباسته شده و قطعات سوخت TRISO آنها بطری پیوسته جایگزین می شود.

هليم
گرافیت

سوخت مصرفی شامل توب ها (در انواع Pebble-bed) و بلوک ها (در انواع Prismatic) که حاوی اورانیوم باقی مانده اند که شکافته نشده اند و نیز سایر زباله های رادیو اکتیو، این پس ماند ها بایستی در آن محل و در بشکه های فلزی مخصوص نگهداری شود.

بازگشت راکتورها

شامل هسته اورانیوم ۲۳۸ مقدار ناچیزی اورانیوم غنی شده به منظور شروع واکنش زنجیره ای



واکنش های زنجیره ای از سوی هسته شروع شده و شبیه جریان موج به طرف دیگر حرکت می کنند و بدین دلیل به آرامی در طول دهه ها مصرف می شود.

Intellectual Ventures

سازنده:

راکتور موج رونده

نوع:

توان:

سوخت:

گرمایی ۴۰۰ تا ۱۲۵۰ مگاوات، الکتریکی ۳۵۰ تا ۵۰۰ مگاوات به صورت یک راکتور با قابلیت ترکیب ساخته شده است که می توانند با هم ترکیب شده و یک نیروگاه با ظرفیت گیگاوات تشکیل دهند.

سوخت اصلی اورانیوم تهی شده می باشد که به صورت هگزا فلوراید اورانیوم موجود بوده و محصول جانبی سازی اورانیوم می باشد. علاوه بر آن این راکتور می تواند سوخت مصرف شده راکتور آب سبک را نیز استفاده کند. اورانیوم ۲۳۸ به سوخت آلیاژ فلز اورانیوم تبدیل شده و در میله های سوخت قرار داده شده و هسته نیاز به یک چاشنی شامل اورانیوم غنی شده (به اندازه ۱۰ تا ۱۲ درصد حاصل از شکافت اورانیوم ۲۳۵) دارد. چاشنی فقط میزان اندکی از هسته را در بر می گیرد.

۴۰ تا ۵۰ سال طول می کشد که راکتور تمام سوخت خود را مصرف کند. در این زمان نیازی به سوخت گیری وجود ندارد. ولی تعویض مکان های میله ها به منظور بهبود کیفیت سوخت ممکن است نیاز داشته باشد.

سدیم مایع که در طول میله های سوختی جاری می شود. میله های کنترل کربیدبور در درون مسیر حرکت موج ها قرار داده می شوند به طوریکه بتوانند توان و واکنش ها را کنترل کنند.

نیازی به کند کننده نیست (راکتور پر سرعت است)

سوخت اورانیوم باقی مانده، پلوتونیوم مازاد و سایر زباله های رادیواکتیو پس ماندها می توان پس از پایان عمر رادیواکتیو در همان محل باقی بمانند.

سوخت گیری:

خنک کننده:

کند کننده:

پس ماند:

بدون استفاده است، به عنوان سوخت به کار می‌برد. (علاوه بر آن می‌تواند سوخت مصرف شده‌ی راکتورهای آب سبک فعلی را نیز به کار برد). هر گونه سوخت گیری چندین دهه برای راکتور دوام می‌آورد بنابراین می‌توان راکتور را به صورت یکپارچه بسته و نیازی به سوختگیری مجدد نداشت. پس ماندها نیز می‌توانند پس از پایان کار راکتورها همانجا باقی بمانند. یک راکتور اصلی می‌تواند برای ایجاد موج در هسته بکار برد شود پس از آن خاموش شده و به مکان دیگری انتقال یابد و در آنجا مجدد راه اندازی شود. ساختار هسته ای موج رونده به طور گسترده در مدل‌های کامپیوترهای پیشرفته، شبیه سازی شده است.

معایب:

طرح به طور کامل آزمایش نشده است. علاوه بر آن به سیستم راکتورهای پر سرعت و موادی وابسته است که تا کنون به طور تجاری مورد استفاده قرار نگرفته‌اند. برای راه اندازی موج راکتور به چندین تن اورانیوم غنی شده تا ۱۰٪ نیاز دارد، یعنی غنی سازی در حدود دو برابر سوخت راکتور آب سبک، این راکتور می‌تواند چندین تن پلوتونیوم مازاد یا سایر پس ماندهای رادیو اکتیو با درجه بالا تولید کند. راکتور چگالی مصرف بالایی دارد (چندین ده مگاوات به ازاء متر مکعب در مقایسه با حدود ۱۰۰ مگاوات به ازاء متر مکعب برای راکتور آب سبک استاندارد). به فلز مایع به عنوان خنک کننده و فلز روکش نیاز است. بایستی مقاومت بالایی در برابر گرمای و قرار گرفتن طولانی مدت در معرض نوترون‌ها را نشان دهد. تاسیس و راه اندازی اولین راکتور نیاز به همکاری چندین نهاد و حمایت سیاسی خواهد داشت.

قالب زمانی:

طرح از سال ۲۰۰۶ شروع شده و اکنون به دنبال همکاری بین المللی برای ساخت و راه اندازی اولین راکتور می‌باشد. سازندگان انتظار دارند که در سال ۲۰۲۰ اولین نمونه کاربردی آزمایش را ساخته و تا اواخر سال ۲۰۲۰ آن را به مقیاس تجاری در بیاورند.

IEEE Spectrum 2010

منبع:

مشخص شده و در شرایط نهایی امتحان شوند. شکل و ساختار راکتور بایستی شبیه سازی شده و مورد تأیید قرار گیرند. هسته‌ی راکتور بایستی تعداد فرائانی گرافیت را بر داشته و بتواند بطور منظم مورد بازیافت قرار بگیرد، فرایندی که احتمالاً هزینه‌ی بالای خواهد داشت.

قالب زمانی:

در اوایل ۲۰۱۱، دپارتمان انرژی در نظر دارد که بین طرح‌های پیشنهادی General Atomic و Westinghouse یکی را انتخاب کند. کار بیشتر در زمینه‌ی طراحی و ساخت ممکن است ۸ تا ۱۰ سال طول بکشد.

Terra Power TPT

این راکتور یک موج واکنش هسته‌ای تولید می‌کند که باعث تامین سوخت مورد نیاز خود شده و برای دهه‌ها به فعالیت ادامه می‌دهد. نحوه کارکرد:

یک مخزن مرکزی به شکل استوانه یا لوله‌های موازی عمدتاً با اورانیوم ۲۳۸ پر شده و قسمت کوچکی از آن با اورانیوم غنی شده (به عنوان چاشنی) پر می‌شود، بطوریکی این چاشنی در یک گوشه هسته قرار می‌گیرد [۱] چاشنی یک جریان ابتدایی نوترون را تولید می‌کند که این امر باعث آزاد شدن یک واکنش زنجیره‌ای هسته ای می‌شود. به خاطر شکل هسته و مشخصات اتمی اورانیوم واکنش هسته‌ی به مانند یک موج با سرعتی برابر چند سانتی متر در سال حرکت کرد و سوخت را از یک طرف به سوی طرف مقابل مصرف می‌کند مانند خاکستر سیگار روشن [۳]. موج شامل دو واکنش است، واکنش اولی اورانیوم ۲۳۸ را به پلوتونیوم ۲۳۹ تبدیل می‌کند و واکنش دوم پلوتونیوم را شکافت داده و باعث ایجاد نوترون‌های بیشتر و گرمای می‌شود. هیچ ماده قابل شکافت جدیدی نیاز نیست که بعد از شروع موج افزوده می‌شود. اگر نیاز باشد می‌توان راکتور را توسط میله کنترل خاموش کرد. وقتی که میله‌ها برداشته شوند، موج به طور طبیعی از نو شروع به فعالیت می‌کند.

مزایا:

راکتور نیازی به غنی سازی یا آماده سازی مجدد ندارد، در نتیجه خط گسترش تولیدات اتمی کاهش می‌یابد. این راکتور اورانیوم تهی شده که محصول جانبی غنی سازی اورانیوم بوده و با وجود فراوانی

به همراه فیلم‌های آموزشی

ePLAN P8 نرم افزاری ای جامع و حرفه‌ای جهت طراحی و ایجاد نقشه‌های برقی است در ePLAN P8 یک نرم افزار قدرتمند و باهوش برای طراحی نقشه‌های شماتیک برقی و تهیه دیگر مستندات لازم جهت اجرای یک پروژه بوده و با توجه به امکانات و تواناییهای فراوانی که در اختیار کاربران قرار می‌دهد توانسته است که در طی چندین سال اخیر به عنوان یک نرم افزار قابل اطمینان و قابل قبول در سطح جهانی حدود ۸۰۰۰ مشتری در ۳۰ کشور جهان جذب نماید. اگر شما طراح و راه انداز کارخانه‌ها و تأسیسات برقی هستید کافی است توسط این نرم افزار و با استفاده از امکانات آن نقشه شماتیک را طراحی نموده و بقیه کارها را به ePLAN P8 بسپارید تا لیست قطعات، نقشه کلیات، لیست ارتباطات و ... را استخراج نماید و همچنین امکان اعمال تغییرات در طرح‌های خود را داشته باشد.

در این پک علاوه بر آخرین نسخه از نرم افزار ePLAN P8 چندین مجموعه دیگر نیز موجود می‌باشد که به اختصار هر یک توضیح داده می‌شود.

اولین مجموعه که به همراه این پک ارائه گشته است، مجموعه آموزشی EPLAN Training است که یک سیستم آموزشی طبقه‌بندی شده جهت آموزش این نرم افزار پیشرفته بوده و کسانی که هیچ آشنایی به این نرم افزار ندارند می‌توانند از طریق این فیلم‌های آموزشی و طی کردن مراحل آموزشی آن با نرم افزار آشنا شده و بعد از مدت بسیار کمی توانایی طراحی در محیط P8 ePLAN را کسب کنند.

لینک محصول: <http://eshop.eca.ir/link/507.php>





PLL دقیقاً چیست؟

بود، مطرح کرد. او نقش اساسی در تجاری کردن این اختراع در طول سالهای اول دهه ۱۹۲۰ داشت. شرکت رادیویی آمریکا RCA از حق ثبت Super Heterodyne ها استفاده کرد تا بازار این نوع از گیرندها را تا سال ۱۹۳۰ در انحصار خود قرار دهد. اینگونه از گیرندها نهایتاً پا را فراتر از مرزهای پخش تجاری گسترش دادند. برای مثال ثابت شد که جهت استفاده از گیرنده های رادار مایکروویو که در طول جنگ جهانی دوم توسعه یافت، ایده آل می باشد.

با این وجود به دلیل تعداد مراحل تیون کردن گیرنده های SuperHeterodyne طراحی و روش های ساده تر مطلوب به نظر می رسید. در سال ۱۹۳۲ یک تیم از دانشمندان انگلیسی روشی را جهت پیشی گرفتن از این گیرنده ها آزمایش کردند. این نوع جدید گیرنده Homodyne synchrodyne نام گرفت که بعد ها به synchrodyne تغییر نام یافت. این گیرندها شامل یک نوسان ساز محلی، یک Mixer و یک تقویت کننده رادیویی بود. زمانی که سیگنال ورودی و نوسان ساز محلی با فاز و فرکانس یکسان mix شوند، خروجی نمایش صوتی سیگنال حامل مدوله شده می شود. تست های اولیه دلگرم کننده بود، اما دریافت synchronous ها بعد از گذشت یک دوره زمانی به دلیل تغییر کمی در فرکانس اسیلاتور محلی چار مشکل شد. برای خنثی کردن این تغییر فرکانس، فرکانس نوسان ساز محلی با ورودی، به وسیله یک تشخیص دهنده ای فاز مقایسه شده و مقداری ولتاژ اصلاحی تولید شده و به وسیله یک فیدبک به نوسان ساز محلی منتقل گشت تا فرکانس آن ثابت باقی بماند. این روش برای سیستم های خود تنظیم الکترونیکی به کار گرفته شد بود، پس چرا نباید در مورد اسیلاتورها عمل کند؟ این نوع از مدارات فیدبک آغاز انقلاب PLL بود. در واقع اگر بخواهید دقیق بدانید حقیقت این است که در سال ۱۹۳۲ دانشمندی در فرانسه با نام H.D Bell Escise مقاله ای با عنوان "La Reception Synchron" در مجله Once Electronic Volume 11 درمورد یافتن PLL ها منتشر کرد.

احتمالاً او یا کمبود مالی داشته و یا نمی دانسته است که چگونه یافته های خود را پیاده سازی کند. در این مورد عقیده شخصی نویسنده این مقاله این است که تیم دانشمندان بریتانیایی در واقع یافته های Bell escise را گسترش دادند.

هر چند گیرنده های synchronous یا همان homodyne نسبت به گیرنده های superheterodyne برتری دارند، اما قیمت PLL ها (مدارات حلقه فاز بسته) مهم تر از فواید آن هاست. به دلیل بهای گران، استفاده وسیع از آنها تا زمانی که مدارهای مجتمع یکپارچه توسعه یافته و مدارهای PLL در پکیج های IC با قیمت پائین تولید شدند، شروع نشد. بعد از این زمان بود که این چیزها شروع شد.

Phase looked loop PLL به معنای حلقه قفل شده فاز است که اساساً یک سیستم کنترل فرکانس حلقه بسته می شود. این سیستم بر اساس تشخیص دقیق اختلاف فاز بین سیگنال های ورودی و خروجی نوسان ساز کنترل شده عمل می کند. در این مقاله شما با ریاضیات یا فرمول های پیچیده برخورد نمی کنید. ما تصمیم داریم که در سطح ساده ای PLL را توضیح دهیم اما قبل از اینکه وارد جزئیات شویم، ابتدا کمی با تاریخچه PLL و سوپرھیتروداین (SuperHeterodyne) آشنا می شویم.

در اوایل دهه ۱۹۳۰، گیرنده سوپرھیتروداین در صدر بود. ادوین دوارد آرمسترانگ به عنوان یکی از نخستین پیشناذان در زمینه رادیو-الکترونیک، بسیار مورد احترام



E.H. Armstrong
1890 - 1954

بود. از میان فعالیت های عمدۀ او می توان به مدارهای فیدبک احیا کننده superheterodyne و یک سیستم پخش رادیویی با مدولاسیون فرکانس اشاره کرد که این سیستم جانشین گیرنده های فرکانس رادیویی تیون شده TRF شد که این گیرنده ها نیز توسط خود او در سال ۱۹۱۸ ابداع شده بود. نام وی در سال ۱۹۸۰ وارد تالار مختبران شهیر ملی شد. آرمسترانگ در ۱۸ سپتامبر سال ۱۸۹۰ در شهر نیویورک متولد شد، جایی که بیشتر عمر فعالیت های حرفه ای خود را در آنجا سپری کرد.

او در رشته مهندسی برق از دانشگاه کلمبیا در سال ۱۹۱۳ فارغ التحصیل شد. پدیده فیدبک احیا شونده در مدارهای لامپ خلا را هنگامی که هنوز فارغ التحصیل نشده بود مشاهده کرد. در دانشگاه کلمبیا تحت تاثیر نام پروفسور مختصر، مایکل آی یوین قرار گرفت،



Michael I. Pupin
1858 - 1935

کسی که نقش اساسی را در پیشرفت این مخترع جوان (آرمسترانگ) ایفا کرد.

در سال ۱۹۱۵ آرمسترانگ مقاله بالارزش خود را در زمینه تقویت کننده ها و نوسان سازهای احیا کننده به IRE ارائه کرد. متعاقباً، فیدبک احیا کننده، از زمانی که توسط هارولد بلک، هری نائیکوئیست، هنریک بود و دیگران در سال های ۱۹۱۵ تا ۱۹۴۰ توسعه یافت، به علم وسیع مهندسی پیوست.

آرمسترانگ، اصول گیرنده های superheterodyne را در ۱۹۱۸ در فرانسه مشغول خدمت در حالی که در واحد مخابرات ارتش

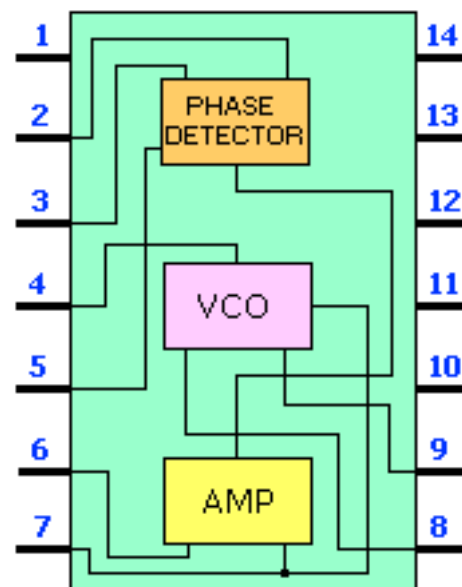
این قطعه شامل یک تشخیص دهنده فاز، تقویت کننده و یک VCO می باشد (شکل ۱ را ببینید) و در واقع مخلوطی از تکنیک های دیجیتال و آنالوگ را در یک بسته ارائه می کند. یکی از ویژگی ها و کاربردهای زیاد آن تشخیص درجه صدا می باشد.

آنطور که گفته می شود در گذشته در استفاده از PLL ها نوعی میلی وجود داشته است. بخشی از آن مربوط به پیچیدگی مدارات گسسته PLL می شود و بخش دیگری از این عدم تمایل به دلیل این احساس است که PLL ها نمی توانند قابل اعتماد باشند. امروزه با وجود PLL های ارزان قیمت و کاربرد ساده PLL ها، مشکل پذیرش اولیه آنها حل شده است و همچنین با طراحی مناسب و کاربردهای محافظه کارانه PLL مانند دیگر عناصر یک مدار مثل آپ امپ و فلیپ فلیپ ها به قطعه ای قابل اعتماد تبدیل شد.

شکل ۲ پیکربندی کلاسیک را نشان می دهد. تشخیص دهنده فاز وسیله است که دو فرکانس ورودی را مقایسه می کند و خروجی آن بر اساس اختلاف فاز بین ورودی ها تولید می شود. (برای مثال اگر ورودی ها در فرکانس اختلاف داشته باشند، خروجی یک سیگنال f_{VCO} پریود یک است با فرکانسی برابر فرکانس اختلاف) اگر f_{IN} با f_{VCO} برابر نباشد، سیگنال خطای فاز بعد از انجام عملیات فیلترینگ و تقویت شدن، باعث می شود که فرکانس VCO در جهت f_{IN} منحرف شود. اگر شرایط مهیا باشد VCO سریعاً فرکانس را روی f_{IN} قفل می کند و در واقع یک ارتباط ثابت با سیگنال ورودی را حفظ می کند.

در واقع خروجی فیلتر شده تشخیص دهنده فاز یک سیگنال DC می باشد و ورودی کنترل کننده VCO همان اندازه فرکانس ورودی است که کاربردهای واضحی در تشخیص صدا (قابل استفاده در ارسال دیجیتال در خطوط تلفن) و تشخیص FM دارد. خروجی VCO یک فرکانس تولید شده محلی، برابر با f_{IN} است و بنابراین نمونه مشابه f_{IN} است که ممکن است خودش آغشته به نویز باشد. از آنجا که خروجی VCO می تواند یک موج مثلثی یا سینوسی باشد. یا هر چیزی باشد این خاصیت یک روش خوب را برای تولید امواج سینوسی، برای مثال، قفل شده روی قطاری از پالس ها ارائه می کند. در یکی از پر کاربردترین استفاده های PLL، یک شمارنده مدول N درین خروجی VCO و تشخیص دهنده فاز قرار می گیرد. بنابراین،

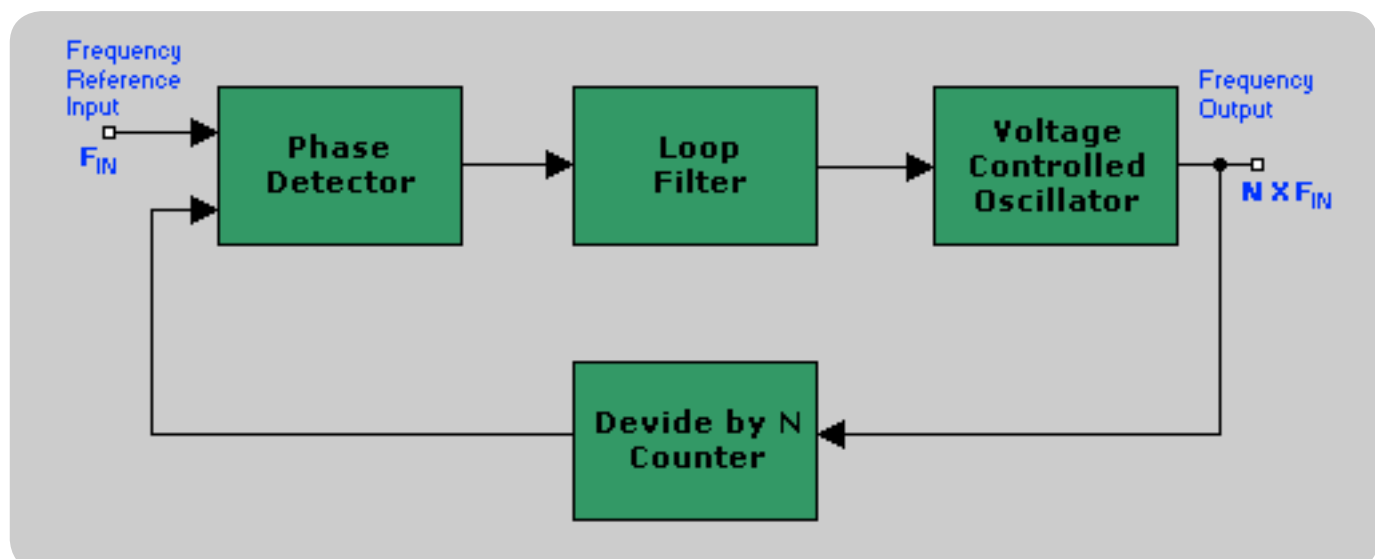
در دهه ۱۹۴۰ اولین استفاده گسترده از PLL ها در سنکرون سازی اسیلاتورهای sweep افقی و عمودی در گیرنده های تلویزیونی با پالس های سینک مخابر شده بود. این مدارها "Synchro-Lock" و "Synchro-Guide" نامیده می شدند. از آن زمان به بعد قاعده PLL الکترونیکی در دیگر کاربردها نیز استفاده شد. برای مثال در



شکل ۱

مسافت یابی رادیویی اطلاعات ماهواره ها از گیرنده های PLL باند باریک جهت بازسازی سیگنال های سطح پائین در حضور نویز استفاده می کند. هم اکنون دیگر کاربردهای آن شامل دمودولاتورهای AM و FSK، دیکدرهای FM، کنترل های سرعت موتور، تشخیص دهنده Light-coupled های Touch-tone، مجزا کننده های آنالوگ علم رباتیک، و گیرنده ها و انتقال دهنده های کنترل رادیو می باشد. امروزه، جامعه تکنولوژی ما بدون استفاده از تکنیک فوق دچار زیان خواهد شد. به طور مثال موبایل ها و تلویزیون ها و ماهواره های تلویزیونی غیرقابل استفاده خواهند بود و در واقع اصلاً بوجود نمی آمدند.

PLL یک بلوک مفید و جالب است که به صورت یک قطعه جداگانه مدار مجتمع توسط چندین تولید کننده شناخته شده، تولید می شود.



شکل ۲

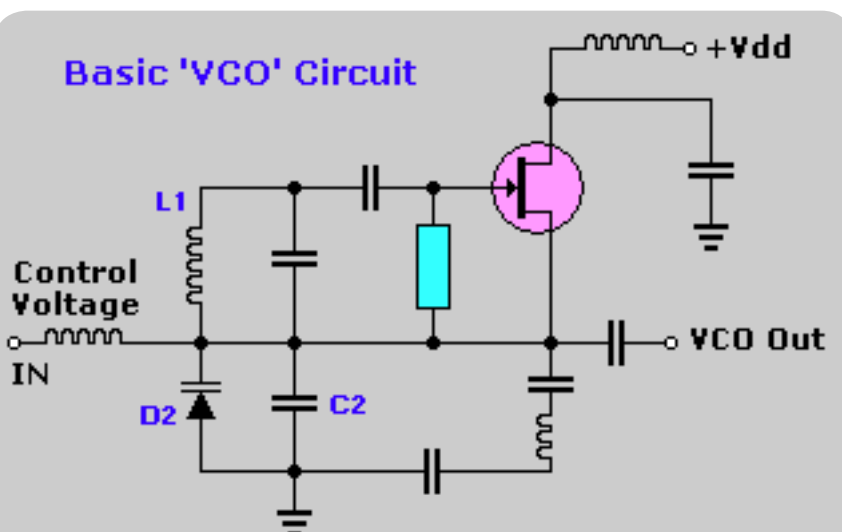
PLL چیست؟

DC به صورت فید بک به VCO داده شود به صورتی که خروجی VCO به سمت فرکانس نوسان ساز کریستالی رانده شود در نتیجه VCO بر روی فرکانس نوسان ساز کریستالی قفل می شود. این پدیده در پایه ای ترین شکل خود به عنوان یک PLL ارجاع داده می شود. تنها بخش خروجی VCO باید به دیتکتور فاز فرستاده شود.

بقیه آن می تواند در خروجی قابل استفاده باشد.

لحظه ای صبر کنید، VCO بر روی نوسان ساز کریستالی قفل شده است و بنابراین رفتار آن مثل یک نوسان ساز فرکانس ثابت است. این باعث می شود که ما پایداری نوسان ساز کریستالی را داشته باشیم ولی انعطاف پذیری که هدفمنان بود را از دست دهیم. می توانستیم یک نوسان ساز کریستالی را به تنهایی برای رسیدن به فواید یک چنین ساختاری استفاده کنیم. به طور حتم اینگونه نیست که ما هرگز هیچ کاری انجام نداده باشیم. اجازه دهید مشخص کنیم که چگونه می توانیم این مشکل را حل کنیم. فرض کنید یک نوسان ساز کریستالی ۱۰ MHz داریم اما می خواهیم VCO در ۲۰ MHz عمل کند. تشخیص دهنده فاز به طور

Basic 'VCO' Circuit



شکل ۳

قطع اختلاف فرکانس بین این دو را تشخیص داده و فرکانس VCO را به ۱۰ MHz کاهش می دهد. اما چه اتفاقی می افتد اگر ما کاری کنیم که دیتکتور فاز فکر کند که VCO با فرکانس ۱۰ MHz کار می کند در حالی که در واقعیت VCO با فرکانس ۲۰ MHz کار کند؟ نگاهی به شکل ۵ بیاندازید. فرض کنید برای مثال در شکل ۴ ما از یک مقسم ۴ به جای مقسم ۲ استفاده کنیم، در این صورت زمانی که قفل می شود، VCO در ۴۰ MHz نوسان می کند و هنوز فرکانس نوسان آن به پایداری فرکانس نوسان یک کریستال است. نوسان گر هایی وجود دارند که تحت رنج فرکانسی گسترده عمل می کنند. نوسانگر های فرکانس متغیر (VFO) برای تغییر فرکانس با استفاده از جایه جایی مقدار یکی از مدارات تعیین کننده فرکانس ساخته شده اند. یک نمونه از آن هاست که به گونه ای ساخته شده است که به صورت الکترونیکی تغییر می کنند.

اجزاء PLL

آشکارساز فاز : اجازه دهید به اساس یک تشخیص دهنده فاز نگاهی بیندازیم. دو نوع پایه ای برای آن وجود دارد : نوع ۱ و نوع ۲. نوع ۱ آشکارساز به گونه ای طراحی شده است که با سیگنال های آنالوگ یا موج مربعی دیجیتال تحریک می شود. در حالی که نوع ۲ آشکار ساز با حالت های گذراي دیجیتال تحریک می شود.

آشکار سازهای فاز با نوع ۵۶۵ (که بیشترین کاربرد را دارد و خطی نوع اول است) و نوع CMOS^{۴۰۴۶} (که شامل نوع ۱ و نوع ۲ است) معرفی می شوند. ساده ترین آشکارساز فاز نوع ۱ (دیجیتال) است که

مضربی از فرکانس مرجع ورودی یا همان f_{IN} را تولید می کند. این یک روش ایده آل برای تولید پالس های Clocking با فرکانسی A/D به اندازه مضربی از فرکانس خطوط توان برای مبدل های انتگرال گیر (شب دو گانه، متعادل ساز بار الکتریکی)، به منظور حذف نامحدود تداخل در فرکانس خطوط توان و هارمونیک هایش می باشد. همچنین این روش یک تکنیک اساسی برای ترکیب کننده های فرکانس است.

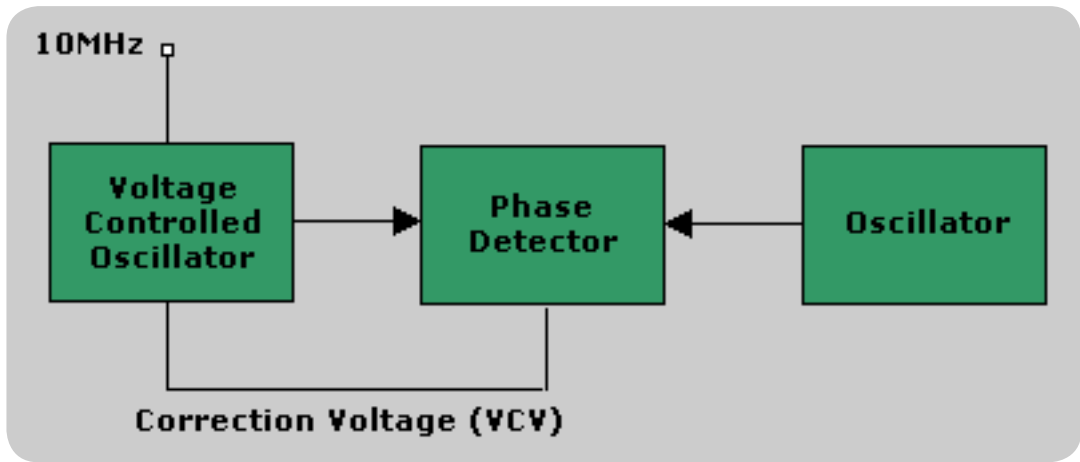
یک نوسان ساز کنترل شده با ولتاژ (VCO) در شکل ۳ مشاهده می شود. این شکل یک VCO را نشان می دهد که فرکانس نوسان آن به وسیله L1 ، C2 ، D2 تعیین می شود.

Dیود ورکتور (varactor) یا وریکپ (varicap) می باشد. بیشتر دیودهای رایج و معمولی زمانی که به صورت معکوس بایاس می شوند مانند یک varicap عمل می کنند. البته باید دقت کرد که آنها در شرایطی پائین تر از پارامترهای شکست پیوندی به کار بrede شوند. زمانی که بایاس معکوس باشد این دیود مانند یک خازن رفتار می کند و

ناحیه تخلیه آن خواص دی الکتریکی را شکل می دهد. زمانی که میزان بایاس معکوس در محدوده شکست دیود تغییر می کند، عرض ناحیه تخلیه تغییر خواهد کرد و در نتیجه ظرفیت موثر خازن ایجاد شده توسط دیود تغییر می کند. در نتیجه فرکانس تشدید مدار نوسان ساز تغییر خواهد کرد.

و اما این چگونه به ما کمک می کند؟ با همه آنچه که گفته شد، VCO پایدار نیست. هر تغییر کوچکی در ولتاژ مدار باعث جایه جایی و تغییر فرکانس می شود. اگر روشی وجود داشت که می شد انعطاف پذیری VCO را با پایداری نوسان ساز کریستالی ترکیب کرد آنگاه سیستم ترکیبی فرکانسی ایده آلی به وجود می آمد. چه اتفاقی می افتد اگر خروجی یک VCO و نوسان ساز کریستالی را به یک تشخیص دهنده فاز بدهیم؟ (شکل ۴ را ببینید) دیتکتور فاز مشابه یک جداکننده و یا دیتکتور رادیو است که در آشکارسازی فرکانس استفاده می شود یا می توانند یک قطعه دیجیتالی باشد مثل گیت Exclusive OR های

اگر دو سیگنالی که وارد نشخیص دهنده فاز می شوند از نظر فاز و فرکانس مشابه باشند، تشخیص دهنده خروجی خود را ندارد. به هر حال اگر دو سیگنال در فاز و فرکانس برابر نباشند، اختلاف آن ها به صورت یک سیگنال DC خروجی ظاهر می شود. هر چه اختلاف بین فرکانس یا فاز دو سیگنال ورودی بیشتر باشد ولتاژ خروجی بزرگ تر است. به شکل ۴ نگاه کنید. در این شکل خروجی های VCO و نوسان ساز کریستالی توسط یک تشخیص دهنده فاز ترکیب شده اند و در نتیجه خروجی یک ولتاژ dc می باشد. فرض کنید این ولتاژ



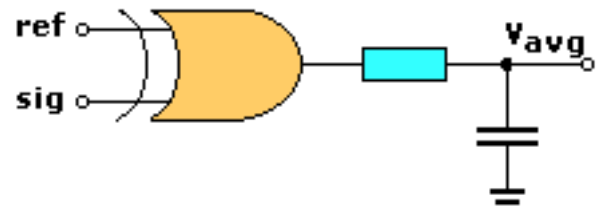
شکل ۴

گستره وسیعی داشته باشد. در نتیجه تکنیک های تسریع باید بهبود داده شوند. برای بازارهای 3G و WCOMA یک هدف قابل قبول و منطقی به صورت زیر است : ۱۰۰ تا ۱۵۰ میلی ثانیه برای ۶۰ MHz با همگرایی ۲۵۰ MHz. یک راه حل که صنایع به احتمال قریب به یقین در آینده اتخاذ خواهد کرد این است که از ساختارهای ترکیبی عالی سیگما دلتای کسری PLL استفاده کنند تا به فرکانس مرجع بالا و پهنای باند گستردگی برای حلقه با حفظ دقت مشخصه نویز فاز مطلوب (سطح کم) دست یابیم. این تکنیک هم اکنون در حال تکمیل شدن است.

دوباره تکرار می کنم که می توان فرمول ها و معادلات پیچیده بسیاری را نشان دهیم ولی این با هدف ما که همانا یک آموزش ساده است مغایرت دارد. نوع ۲ آشکار ساز فاز فقط به زمان سنجی نسبی لبه های بین سیگنال و ورودی VCO بستگی دارد. (همانند شکل ۶) مدار مقایسه گر فاز هم پالس های خروجی پیش فاز و هم پس فاز تولید می کند. بستگی به این دارد که حالت های گذراخ خروجی VCO قبل و یا بعد از حالت های گذراخ سیگنال مرجع رخ بدنه و به همین ترتیب عرض این پالس ها برابر با زمان بین لبه های مربوطه می باشد. مدار بندی خروجی، جریان را در مدت این پالس ها، جمع می کند و یا کاهش می دهد و در غیر این صورت مدار باز است و

در واقع یک گیت Exclusivor است. شکل a-۵ را مشاهده کنید با استفاده از یک فیلتر پائین گذر، شکل ولتاژ خروجی به ازای فازهای مختلف مطابق شکل رو به رو می شود. (برای موج های مربعی و معادل ۵۰ درصد duty cycle)

Exclusive OR gate



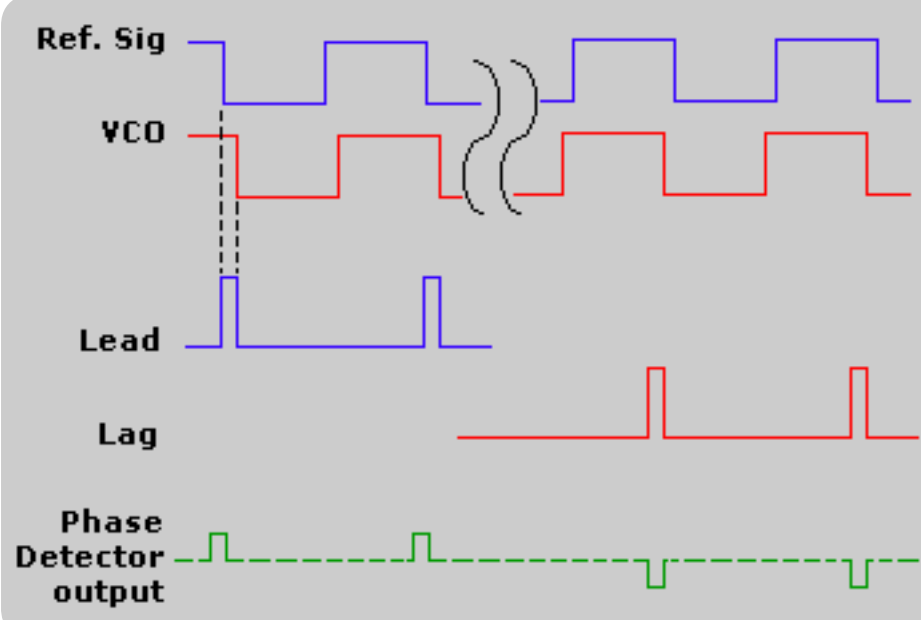
شکل a-۵

نوع ۱ (خطی) آشکار ساز فاز نیز دارای مشخصه مشابه ولتاژ خروجی به ازای فاز می باشد. با این تفاوت که مدار بندی داخلی این نوع در واقع یک ضرب کننده چهار ربعی است که به عنوان یک مخلوط کننده متعادل نیز شناخته می شود.

مدل بسیار خطی آشکار ساز فاز نوع ۱ در شناسایی lock in که تکنیک بسیار ظرفی است ضروری و مورد نیاز است.

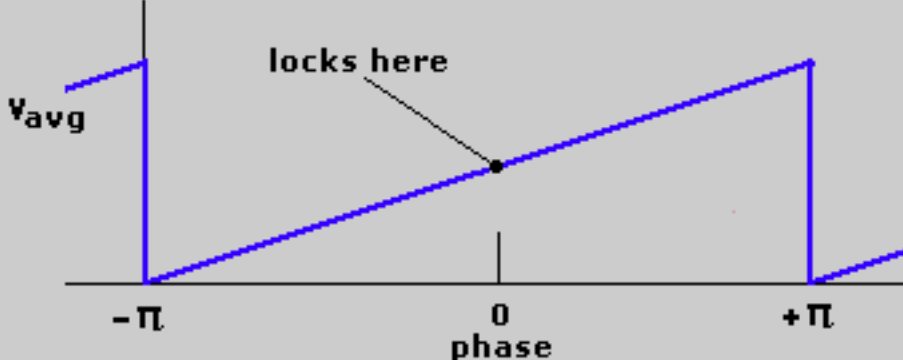
امروزه مهندسین در زمینه طراحی مدارهای PLL. به علت وجود درجهات نویز فاز و خصوصیات کلی سیگنال های طراحی رادیو و شبکه های مخصوصا در زمینه طراحی WLAN و تکنولوژی پیسیم با چالش های مشخصی روبرو هستند. در حال حاضر سرعت سوئیچینگ PLL ها به پارامتر حساسی در طراحی امروزی ترکیب کننده ها و به خصوص شبکه های مدرن مثل 3G، WLAN و تکنولوژی BLUETOOTH تبدیل شده است. سرعت سوئیچینگ به عنوان یکی از نیازهای چالش برانگیز در طراحی PLL تک حلقه و تک چیپ مطرح شده است.

سرعت به طور معمول تابعی از پهنای باند مدار می باشد ولی بسیاری از موارد پهنای باند حلقه بدلیل ملاحظات نویز فاز نمی تواند



شکل ۶

PLL چیست؟



شکل ۷

رايجاند و در آنها از يك سري اصطلاحات فني استفاده می شود که به طور مستقيم با گين و فاز مدار باز در ارتباط است. اگر بخواهيم يك سري از دستگاه های PLL از سازنده های مختلف را نام ببريم عبارت خواهند بود:

NE560 to NE567 (Signetics), MC4046 COS/MOS (Motorola), LM565 (National), NTE989 (NTE Electronics). ...

ویژگی های عمومی :

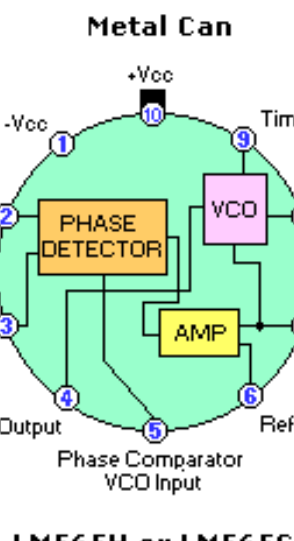
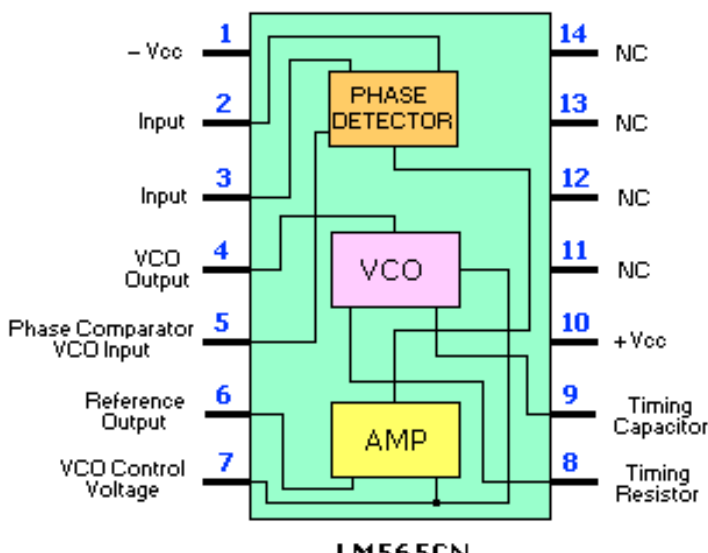
LM565 يك آئی سی PLL با کاربرد کلی است که شامل اسیلاتور کنترل شده با ولتاژ (VCO) پایدار با در خطی بودن بالا را برای اغتشاشات پایین در مدولاسیون FM و یک تشخیص دهنده فاز بالا نشده با مرتبه دو و قابلیت حذف حامل خوب می باشد. فرکانس VCO توسط يك خازن و مقاومت خارجی تنظیم شده و همچنین يك رنج تنظیم با نسبت ۱۰:۱ می تواند با همان خازن به دست آید. ویژگی های يك سیستم حلقة بسته - پنهانی باند، سرعت پاسخ و رنج pull in و capture - را میتوان با استفاده از يك خازن و مقاومت خارجی در محدوده وسیعی تنظیم کرد. حلقة بين آشکارساز فاز و VCO هنگام جاگذاری مقسم فرکانس دیجیتال به منظور بدست آوردن ضرب فرکانسی ، ممکن است قطع شود.

يك متوسط ولتاژ خروجي بر حسب تغييرات فاز مانند شکل ۷ توليد می کند. اينها همه مستقل از سیگنال های ورودی duty cycle وضعيت مقایسه گر نوع می باشنند، بر خلاف وضعیت مقایسه گر نوع ۱ که پیشتر بحث شده بود. يك دیگر از ویژگی های مطلوب اين آشکار ساز فاز اين است که پالس های خروجي در زمانی که اين دو سیگنال قفل می شوند، بطور كامل ناپديد می شوند. اين بدین معنی است که هیچ موجی در خروجي ايجاد کننده می مدولاسيون فازی پریودیک در مدار تولید نمی شود.

و همچنین يك تفاوت دیگر نیز بين اين دو نوع آشکارساز فاز وجود دارد، نوع ۱ آشکار ساز معمولا يك موج خروجي توليد می کند که سپس باید توسط فیلتر حلقه، فیلتر شود. بنابراین در يك PLL با آشکار ساز فاز نوع ۱، فیلتر حلقه به عنوان يك فیلتر پائین گذر عمل می کند و سیگنال خروجي منطقی نوسانی را صاف می کند. معمولا يك ریپل اضافی و پیامد نوسانات فاز پریودیک در چنین حلقه های وجود دارد. مدارهای که حلقه های فاز آنها قفل شده است، برای ضرب فرکانسی یا سنتز استفاده می شوند. در اين مدارها به سیگنال خروجي آنها باند کناري مدولاسيون فاز اضافه می شود. با مقایسه آشکار ساز فاز نوع ۲ تنها زمانی پالس خروجي ايجاد می کند که يك خطای فاز بين سیگنال مرجع و سیگنال VCO وجود داشته باشد. از آنجايي که خروجي آشکارساز فاز شبیه يك مدار باز عمل می کند و ولتاژ را در مقداری نگه می دارد ذخیره کننده ولتاژ عمل می کند و ولتاژ VCO به نقطه قفل می شود.

نوع دوم PLL به عنوان اساس همه طراحی ها و تکنولوژی های PLL ترکیب کننده به کار می رود. تقریبا در همه طراحی های PLL مخصوصا برای ترکیب کننده ها، حلقة های مرتبه سوم و چهارم

Dual-In-Line



اصولاً دارای ۳ حالت است:

Free running -۱

Capture -۲

قفل فاز -۳

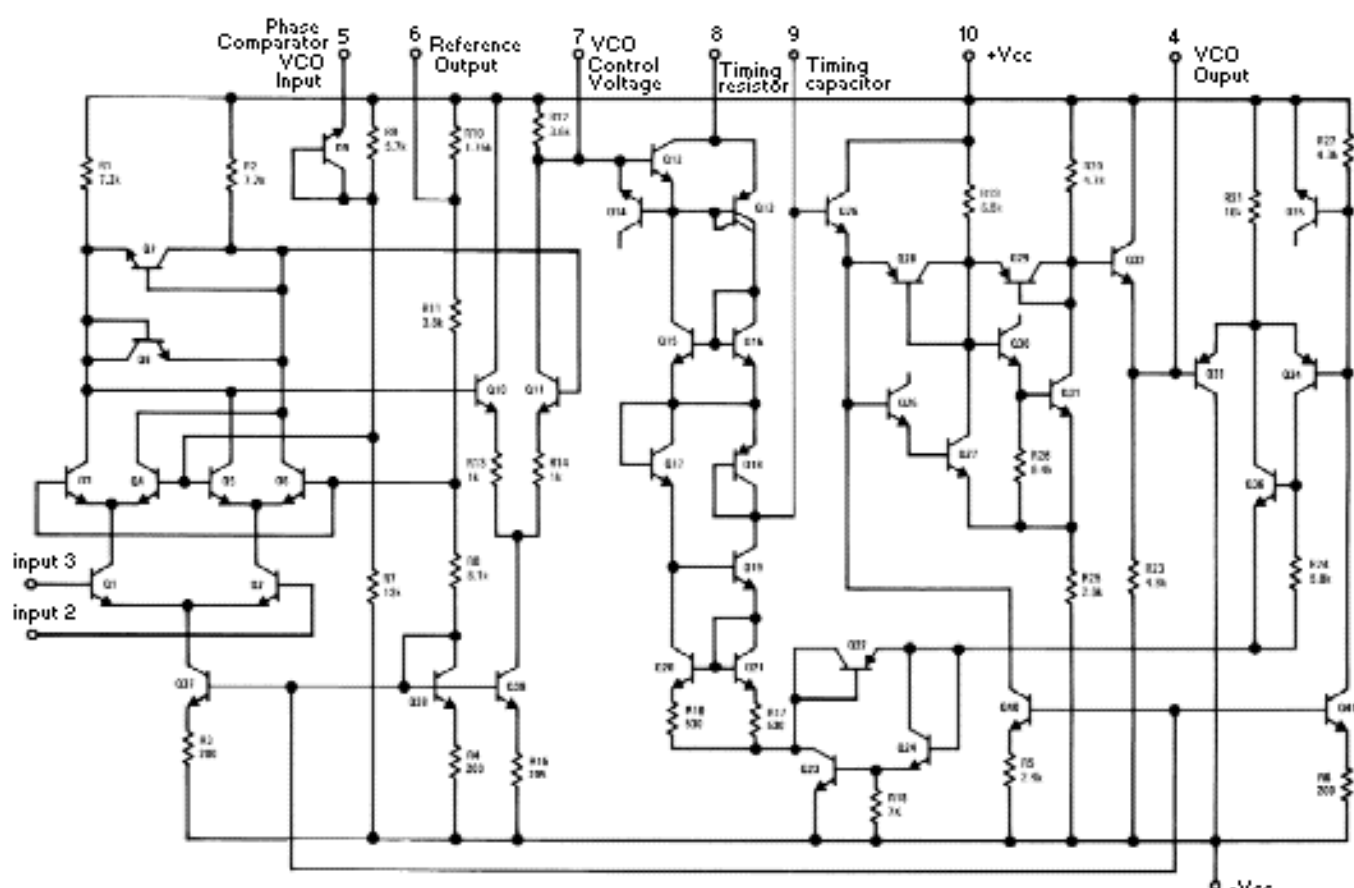
رنجی که در آن سیستم حلقه تغییرات فرکانس ورودی را دنبال می‌کند، رنج قفل می‌گویند. از سوی دیگر محدوده فرکانسی که در آن حلقه نیاز به قفل فاز دارد رنج capture نامیده شود و هیچ وقت از رنج قفل بزرگتر نمی‌شود.

یک فیلتر پائین گذر جهت کنترل ویژگی‌های دینامیک حلقه قفل فاز استفاده می‌شود اگر تفاوت بین فرکانس‌های VCO و سیگنال ورودی به طور قابل توجهی بزرگ باشد، سیگنال حاصله از محدوده capture-range حلقه خارج می‌شود. زمانی که حلقه فاز شده است، فیلتر تنها سرعت حلقه را در شناسایی تغییرات فرکانس ورودی محدود می‌کند. بعلاوه فیلتر حلقه یک سری حافظه کوتاه مدت را فراهم می‌کند تا از recapture شدن سریع هنگامی که سیستم از حالت قفل توسط حالت گذاری نویز خارج شده است، اطمینان حاصل شود.

طراحی فیلتر حلقه ممکن است باعث از حد خارج شدن پارامترهای از فیلتر می‌شود که رنج capture حلقه و سرعت آن را محدود می‌کند، ولی با این وجود تقریباً غیر ممکن است که حلقه فاز قفل شده بدون وجود آن قفل شود.

ویژگی‌های عمومی و کاربردها

- پایداری فرکانس VCO برابر $200 \text{ ppm}/\text{c}$
- محدوده منبع تغذیه از ۵ تا ۱۲ ولت با (نوعی % 100 ppm)
- خطی بودن خروجی دمودوله شده 0.2%
- رنج فرکانس از ۱۰۰ هرتز تا ۵۰۰ هرتز
- خروجی موج مثلثی بسیار خطی
- موج مثلثی خطی با چندین عبور از صفر فاز
- ورودی آشکارساز فاز سازگار با DTL و TTL و خروجی موج مربعی
- محدوده جلوگیری قابل تنظیم از ۱% تا بیش از ۶۰%
- بعضی از کاربردها:
 - سنکرون سازی نوار و اطلاعات
 - مودم
 - مدولاسیون FSK
 - مدولاسیون FM
 - ترکیب کننده فرکانس
 - آشکار ساز صدا
 - ضرب و تقسیم کننده فرکانس
 - دمودوله گرهای SCA (رادیو پنهان)
 - گیرندهای مساحت سنج
 - بازسازی سیگنال
 - دمودوله گرهای کوهرنت (منسجم)
 - ماهواره
 - کنترل رادیو و رباتیک



دیاگرام اجزا داخلی یک LM565

PLL چیست؟

- فرکانس VCO (هرتز) $f_o = \frac{V_c}{V_{c_0}}$

فیلتر حلقه :

در بیشتر کاربردها، مطلوب است که سیگنال در خروجی تشخیص دهنده فاز فیلتر شود (pin 7). یک فیلتر پس فاز ساده ممکن است برای کاربردهای حلقه بسته با پهنهای باند وسیع به کار برده شود. برای مثال تعقیب مدولاسیون که در آن انحراف فرکانسی حامل به اندازه کافی بالاست (بیش از ۱۰٪) یا جایی که سیگنال های مدولاسیون باند پهن باید تعقیب شوند.

برای کاربردهای باند باریک که پهنهای باند نویز باریک مطلوب است، مثل کاربردهایی که شامل دنبال کردن یک حامل تدریجاً متغیر باشد، یک فیلتر پیش-پس فاز باید استفاده شود. به طور کلی ضریب میرایی حلقه بسیار کوچک می شود که باعث overshoot و بی ثباتی در پاسخ حالت گذاری حلقه می شود.

اختصارات :

AFC = کنترل فرکانس اتوماتیک

AM = دامنه مدولاسیون

CCO = نوسان ساز کنترل شده با جریان

CO = اسیلاتور کنترل شده

COS = سیستم کار کننده با حامل

DTL = منطق ترانزیستور دیود

FC = کنترل فرکانس

FM = فرکانس مدولاسیون

FSK = قطع متناوب شیفت فرکانس

IC = مدار مجتمع

OS = سیستم عملگر

PLL = حلقه قفل فاز

SCA = اختیار ارتباطات وابسته

TTL = منطق - ترانزیستور - ترانزیستور

VCO = اسیلاتور کنترل شده با ولتاژ

vco = VCN ولتاژ اصلاحی

برای دیدن یک مثال از عملکرد PLL مدار شکل زیر (شکل ۸) را مشاهده کنید. این دیاگرام شماتیک یک به اصطلاح مبدل SCA را نشان می دهد. مخفف SCA در واقع اختصاصی از عبارت Subsidiary Communications (Authorization) می باشد. برای موسیقی و پیام های پنهان و غیره روی بخش پنهان باند FM استفاده می شود. این امر بر اساس قرار گرفتن یک زیر عامل ۶۷ کیلوهرتز روی حامل اصلی FM ایستگاه است.

حتی این امکان وجود دارد که زیر عامل های چندگانه ای داشته باشیم بطوری که اطلاعات دیجیتال را حمل کند و بعضی صوت و یا داده های حفاظتی و پیام های کد شده و یا دیگر چیز ها را حمل کند. انتقال زیر حامل ها روی باند های استریو مونو FM استاندارد تاثیری ندارد و با همه رادیوهای موجود سازگار است. این مدارات می توانند به بیشتر تیونر های FM با کمترین اغتشاش صوتی منتقل

این آموزش خیلی کوتاه است، چون پیچیدگی و حضور نسبی PLL هنوز مطالعه می شود و توانایی های واقعی آن بیشتر و بیشتر تشخیص داده می شود. خواص عجیب و غریب آن هنوز وجود دارند و به مرور با گذشت زمان کشف می شوند. تعدادی از نکاتی که بایستی مورد توجه قرار گیرد این است که در مورد اجزا ایدهآل درون PLL خطاهای فاز سینماتیک رخ می دهد که در این صورت مؤلفه های هارمونیک سیگنال خروجی از یک ساختار کاملاً پیچیده می باشد و نکته دیگر اینکه خواص باند پهن آنطور که گاهی اوقات مورد بحث واقع می شوند چیز ساده ای نیستند. در اغلب کاربردها، سیستم PLL در ترکیب با سیستم های کنترل فرکانس اتوماتیک (AFC) و یا سیستم های کنترل بهره اتوماتیک استفاده می شود.

دیگر اطلاعات کاربردهای مغاید

در طراحی با PLL ها پارامترهای مهمی که به آن ها علاقه مندیم عبارتند از :

- فرکانس free-running

$$F_o = \frac{1}{37} R_o C_o$$

بهره حلقه :

بهره حلقه وابسته است به میزان تغییر فاز بین سیگنال ورودی و سیگنال VCO برای شیفت فرکانس سیگنال ورودی (فرض کنید حلقه قفل باقی بماند). در قضیه سرو (خود تنظیم) این مقدار، ضریب خطای سرعت نامیده می شود.

$$K_o K_D = \frac{V_o}{V_{c_0}}$$

• حساسیت نوسان ساز (radians per sec/V)

• حساسیت آشکار ساز فاز (V/radian)

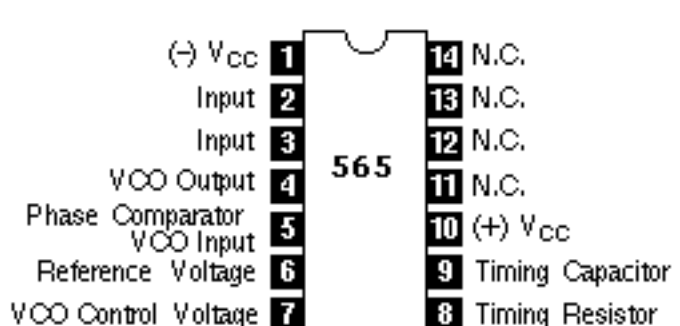
بهره حلقه LM565 به ولتاژ منبع بستگی دارد و ممکن است به صورت زیر یافت شود:

$$K_{oKD} = 33.6 f_o / V_c$$

$$f_o = \frac{V_c}{V_{c_0}}$$

• ولتاژ منبع تغذیه مدار =

بهره حلقه ممکن است با اتصال یک مقاومت بین Pin6 و Pin7



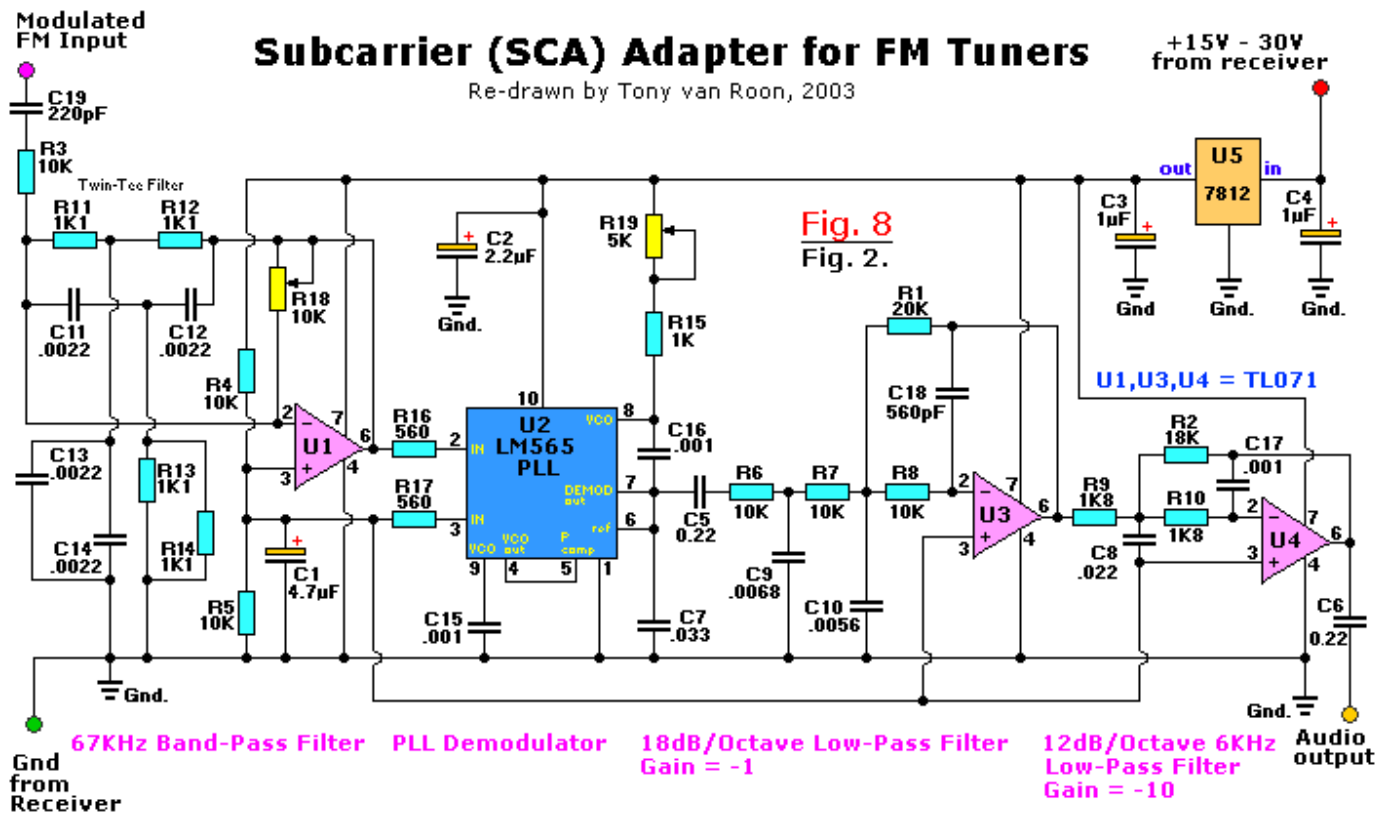
کاهش یابد. این باعث می شود که امپدانس تقویت کننده خروجی و در نتیجه بهره حلقه کاهش یابد.

محدوده بازداری (HOLD IN range) محدوده بازداری در واقع رنج فرکانسی است که در آن حلقه از ابتدا قفل باقی خواهد ماند.

$$f_H = \pm 8 f_o / V_c$$

منبع: آنها نیز به سهولت یافت می شود. استفاده از برد مدار چاپی (PCB) برای طراحی آن پیشنهاد می شود.

Phase-Locked Loop by Tony van Roon



Parts List for the SCA Adapter

Semiconductors:

U1,U3,U4 = TL071, FET OpAmp

U2 = LM565, Phase-Locked-Loop

U5 = LM7812, 12V Regulator

C18 = 560pF, Polystyrene

C19 = 220pF, Ceramic disc

Resistors: (All resistors are 1/4W, 5% precision

Capacitors:

C1 = 4.7uF/16V, electrolytic

C2 = 2.2uF/16V, electrolytic

C3 = 1uF/16V, electrolytic

C4 = 1uF/35V, electrolytic

C5,C6 = .22uF, metalized Polyester

C7 = .033uF, metalized Polyester

C8 = .022uF, metalized Polyester

C9 = .0068uF, metalized Polyester

C10 = .0056uF, metalized Polyester

C11-C14 = .0022uF, metalized Polyester

C15-C17 = .001uF, metalized Polyester

units unless otherwise noted.)

R1 = 20K, 2% precision

R2 = 18K

R3-R8 = 10K

R9,R10 = 1K8

R11-R14 = 1100 ohm, 2% precision

R15 = 1K

R16,R17 = 560

R18 = 10K, miniature vertical

trim-pot

R19 = 5K, miniature vertical

trim-pot



فروشگاه تخصصی برق و الکترونیک ECA

مجموعه ای از کتب مرجع و پر کاربرد دانشگاهی و تخصصی در تمامی گرایش های برق



جدیدترین و حرفه ای ترین نرم افزارهای تخصصی برق و الکترونیک جهت استفاده دانشجویان و متخصصین



مقالات معتبرترین نهاد های علمی داخلی و خارجی و همچنین جدیدترین مقالات کنفرانس های کشوری و بین المللی



جامعترین اطلاعات مورد نیاز متخصصین ، آموزش های کاربردی نرم افزارها و فیلم های آموزشی



تجهیزات و دستگاه های تخصصی مرتبط با الکترونیک و رایانه



معتبرترین مجلات برق ، الکترونیک و علوم مرتبط در قالب مجموعه های چند ساله



مجموعه قطعات و لوازم تخصصی و پر کاربرد الکترونیک و رباتیک



بردهای سخت افزاری کاربردی و آموزشی طراحی شده توسط تیم وب سایت ECA



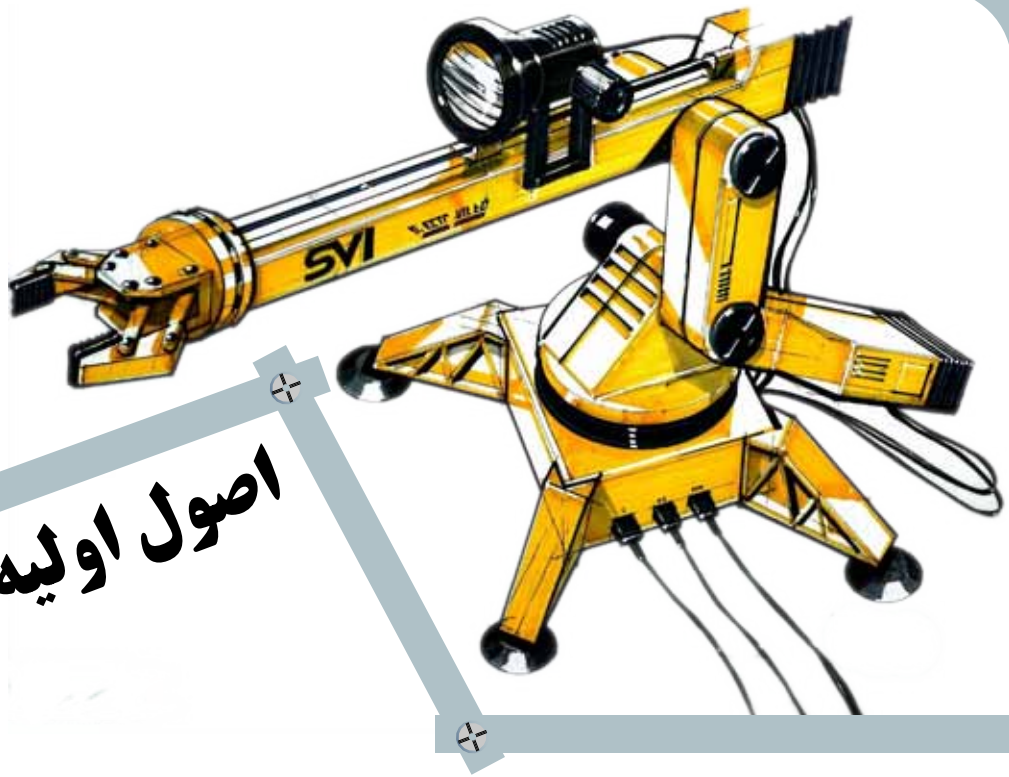
www.eShop.ECA.ir

لیست نمایندگی های فروش :

نام شهر	شرکت / فروشگاه	مسئول / رابط	آدرس	شماره تماس
اصفهان	دفتر پخش اصفهان	مهدي مهرى	----	۰۹۱۳۸۰۶۷۵۲۹
تبريز	دفتر مرکزی ECA	فرشاد اکرمی	پایین تر از چهارراه شريعتی به سمت باغ گلستان، مجتمع تجاری گلستان، ط ۴، واحد ۱۶	۴۱۱۵۵۳۳۷۳۲
شيراز	ارتباط بهينه جنوب	فرشته جعفری	خیابان فلسطین (باغشاه) - چهارراه هدایت - جنب ساختمان سبز - ساختمان مرکز مشاوره راه سبز زندگی - طبقه اول	۰۹۳۶۰۳۵۹۳۶۱
مشهد	ماورا صنعت بارثاوا	محمد مقبلی	بلوار احمدآباد، خ ابوذر غفاری، بین ابوذر ۳۳ و ۳۱، پلاک ۳۲۷، طبقه ۲	۵۱۱۸۴۲۴۶۷۳



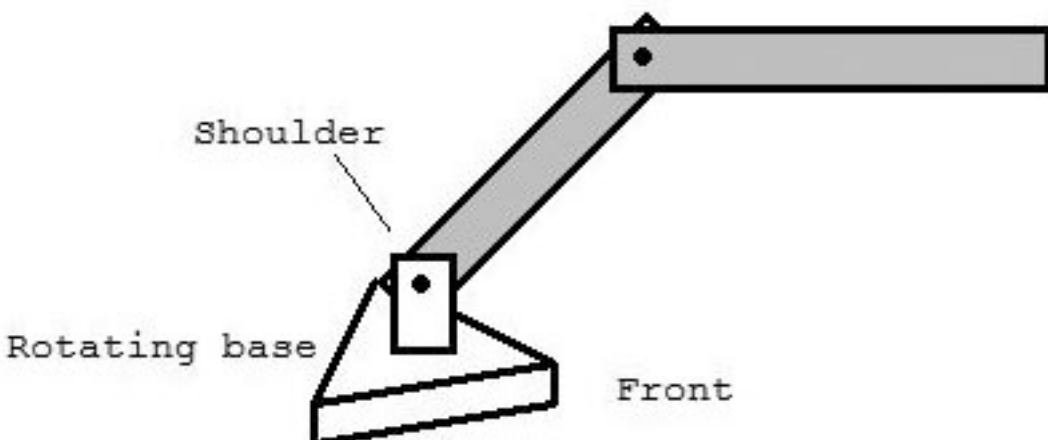
اصول اولیه بازوی رباتیک



می‌توان آن را کنترل نمود. می‌توان یک بازو با یک و یا دو درجه آزادی ساخت، اما ساخت دستگاهی کاربردی با این درجه آزادی سخت است. حتی سه درجه آزادی نیز محدودیت‌هایی دارد (که در ادامه خواهیم دید)، اما محدود بودن حرکت تا حد زیادی محاسبات ریاضی مورد نیاز برای مفاصل را ساده می‌کند؛ که باعث می‌شود این ربات برای معرفی ایده‌های بنیادین عالی باشد. به این دلیل، این مقاله بر روی بازویی با سه درجه آزادی تمرکز می‌کند. بنابراین خواهشمندیم از انتخاب یک بازوی ساده برای این مقاله دلگیر نشویم. با مصالحه‌ای اندک، این بازو نیز می‌تواند کارهای جالب توجهی را انجام دهد. در کنار اینکه شما را با اصول اولیه مورد نیاز پیش از حرکت به سمت سیستم‌های پیچیده‌تر آشنا می‌کند.

همان طور که می‌دانید، برنامه نویسی برای یک بازوی رباتیک با برنامه نویسی برای ربات‌های متجرک بسیار متفاوت است. این مقاله برخی از نیازهای اساسی و اصول مرتبط با این کار منحصر به فرد را بررسی می‌کند. علاوه بر این، این مقاله یک شبیه سازی سه بعدی از بازوی ربات، که می‌توان آن را بصورت یک بازوی واقعی برنامه ریزی نمود را ارائه می‌کند تا بتوان مفاهیم ارائه شده در این مقاله را بدون صرف زمان و هزینه یک ربات فیزیکی، آزمود. ما نمی‌توانیم بدون توجه به تنظیمات سخت افزاری بالقوه آن به درستی جنبه‌های برنامه نویسی بازوی روباتیک را بررسی نمائیم. قدرت مانور بازوی ربات متناسب با درجه آزادی آن (DOF) است، که بطور کلی به تعداد مفاصل و یا بندهایی اشاره می‌کند که

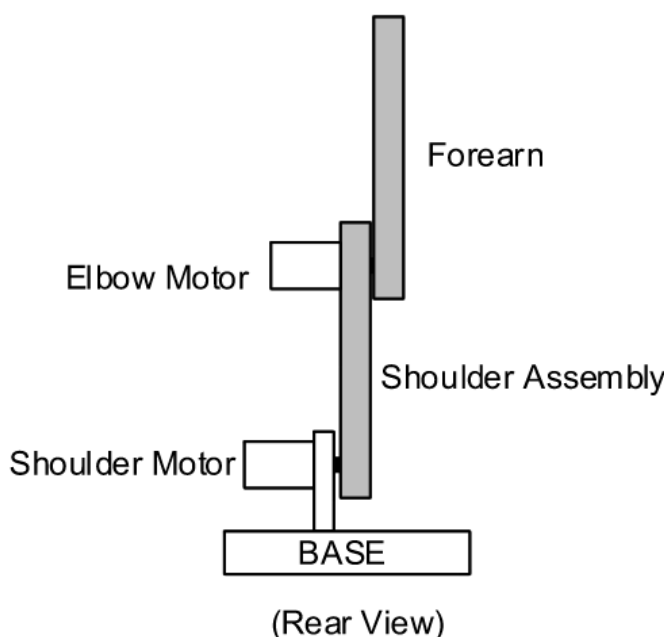
Elbow



شکل ۱ : یک بازوی ساده با ۳ درجه آزادی

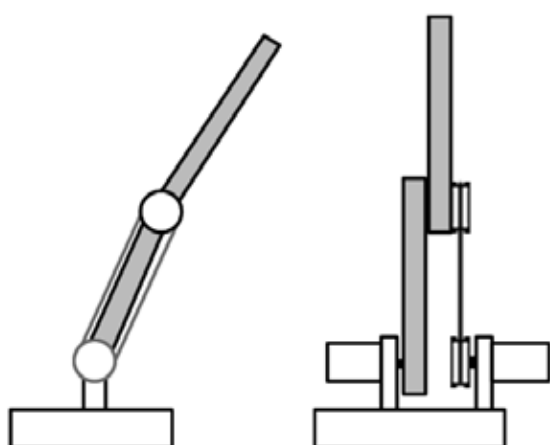
اصول اولیه بازوی رباتیک

سنجدیده می شود. به این معنی که هر حرکت شانه زاویه آرنج را نسبت به پایه تغییر می دهد (توجه کنید که در این حالت در صورتی که آرنج ثابت باشد، زاویه آن نسبت به شانه تغییر نمی کند). علاوه بر این، می توان موتور آرنج را بر روی پایه سوار کرد و از یک سیستم قرقره ای (نگاه کنید به شکل ۳) برای حرکت مجموعه آرنج



شکل ۲ : نصب موتور بازو را مستقیم بر روی مجموعه شانه

استفاده نمود. مزیت آشکار این روش این است که در این حالت موتور شانه نیازی به تحمل وزن موتور آرنج در پیکربندی خود، ندارد. ضمناً توجه نمائید که در این حالت، زمانی که شانه حرکت می کند، مجموعه آرنج (نسبت به پایه) حرکت نمی کند.



شکل ۳ : سوار کردن موتور آرنج بر روی پایه

یک بازو هم برای من بساز!

در انتهای مجموعه آرنج (در اصل ساعد)، بازوی ما به نوعی اندام انتهایی برای اینکه بتواند اشیاء را بلند کند نیاز دارد. می توان برای انجام این کار از نوعی دست با گیرنده هایی انگشت مانند استفاده نمود، اما این کار مساله برنامه نویسی را فوق العاده پیچیده می کند. اما برای اینکه این بازو بتواند کارهای مفید انجام دهد (کارهایی مثل

دست به کار شویم!

بهتر است در ابتدا برخی از تصمیماتی که شما ممکن است در حین ساخت یک بازو با سه درجه آزادی با آنها روپرتو شوید را بررسی کنیم. در این مقاله، ما حرکت ها را آنگونه که در شکل ۱ نشان داده شده است فرض می کنیم: یک پایه قابل چرخش، یک مفصل شانه متصل به پایه، و یک مفصل آرنج متصل به شانه. بعد از تعیین شکل کلی بازو، باید نوع موتورهایی که قرار است استفاده کنید را تعیین کنید. ما سه نوع موتور در نظر می گیریم: موتور پله ای، موتور DC گیربکسی، و موتور Servo. هر کدام از اینها مزایا و معایبی دارند. موتورهای پله ای نیاز به فیدبک ندارند، اما معمولاً دارای گشتاور و سرعت محدودتری نسبت به انتخاب های دیگر می باشد. موتورهای پله ای به این دلیل منحصر به فرد هستند که در زمانی که بازو ثابت است به همان اندازه ای جریان می کشند که بازو در حال حرکت است، بنابراین نیاز به توان زیاد دارند.

علاوه بر این، موتور پله ای نیاز به یک رشته پالس مشخص برای کنترل حرکات موتور دارد. این کار را معمولاً توسط چیپ های راه انداز موتور پله ای انجام می دهند که هم منطق پالس را می دهد و هم بافر جریان است. موتورهای DC گیربکسی به طور کلی قادر ترند ترین انتخاب برای بازوی موردنظر است، اما این موتورها نیاز به نوعی فیدبک مانند پتانسیومتر، رمزگذار تدریجی، و یا رمز گذار مطلق برای هر یک از مفاصل متحرک است.

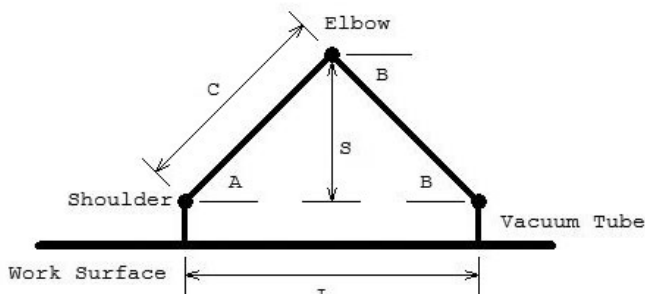
این مساله باعث پیچیده شدن فرآیند می شود، زیرا نرم افزار باید برای اطمینان از حرکت صحیح، فیدبک را مورد نظارت قرار دهد. امادر موتور پله ای، چیپ راه انداز معمولاً بهترین انتخاب برای روشن کردن هر یک از موتورها می باشد.

اگر این اولین باری است که بازو می سازید، سرو و موتور بهترین انتخاب می تواند باشد. این موتورها از یک موتور DC و یک سیستم چرخ دنده برای انتقال نیرو، به همراه فیدبک داخلی تشکیل شده اند، بنابراین به نسبت اندازه و وزن خود قوی هستند. آنها همچنین شامل یک مدار یکپارچه پتانسیومتر و مدار داخلی برای رسیدن خودکار به محل مورد درخواست می باشند. در این موتور هم، استفاده از یک مژاول درایور عموماً ساده ترین راه برای کنترل توسط کامپیوتر است. بعد از اینکه موتور خود را انتخاب کردید، گام بعدی این است که در مورد اینکه موتورها چگونه بر روی بازویتان نصب شود تصمیم گیری کنید. تقاضتی که تصمیمات شما در نرم افزار کنترلی خواهد گذاشت مطمئناً شما را شگفت زده خواهد کرد. تشریح جزئیات مکانیکی این کار فراتر از حیطه ای این مقاله می باشد، اما همانطور که خواهید دید چگونگی نصب این موتور می تواند بر چگونگی حرکت دست و بنابراین چگونگی کنترل آن تاثیر گذار باشد.

پایه قابل چرخش می تواند چیز ساده ای مانند یک میز گرد که با یک موتور در زیر آن قابلیت چرخش پیدا می کند باشد. پیاده سازی مفصل شانه هم نسبتاً آسان است، به این دلیل که موتور می تواند بر روی پایه نصب شود و نیرو را بطور مستقیم به مفصل منتقل کند. با وجود این، برای قرار دادن موتور برای مفصل آرنج، حداقل دو گرینه وجود دارد. اول اینکه می توان موتور بازو را مستقیم بر روی خود مجموعه شانه نصب کرد (شکل ۲ را ببینید). در صورتی که موتور را به این صورت نصب کنید، زاویه آرنج نسبت به مجموعه شانه

داشته باشید که در شکل ۵، زمانی که بازو به شیوه ای قرار داده شده که تیوب مکنده بر روی زمین قرار دارد، مجموعه آرنج و شانه یک مثلث متساوی الاضلاع با طول (L) را تشکیل می دهند که فاصله L فاصله بین پایه بازو تا مرکز اندام انتهایی می باشد.

در صورتی که مقدار L را داشته باشیم، می توانیم با استفاده از فرمول



شکل ۵ : با کمی محاسبات ریاضی می توان زاویه مورد نیاز محاسبه کرد.

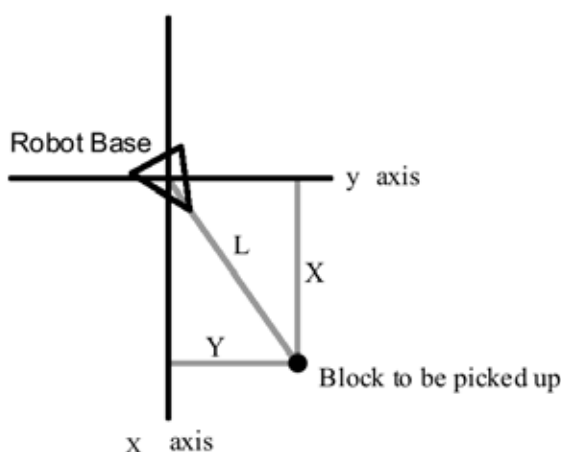
مثلثاتی زیر زوایای A و B را (که حتماً به یاد داشته باشید که باید با هم برابر باشند) بدست آوریم:

$$A = \text{arcTan}(S / (L/2))$$

البته برای بدست آوردن مقدار A باید مقدار L و S را بطور همزمان داشته باشیم. می توان مقدار S را با استفاده از قضیه فیثاغورس بدست آورد:

$$S = \text{Sqrt}((L/2)^2 + C^2)$$

این به این معنی است که با داشتن فاصله بین پایه بازو تا نقطه مقصد (L) می توان زوایای مورد نیاز برای بازو و آرنج را تعیین کرد. معمولاً نقطه مقصد بازوی ما به شکل مختصات X و Y. همانطور که در شکل ۶ نشان داده شده می باشد. باز هم توجه کنید که ما یک مثلث راست گوشه داریم، بنابراین می توان فاصله L را به کمک قضیه فیثاغورس محاسبه نمود. همچنین، به همان شیوه ای که پیشتر گفته شد، می توانیم زاویه پایه (A) را محاسبه کنیم.

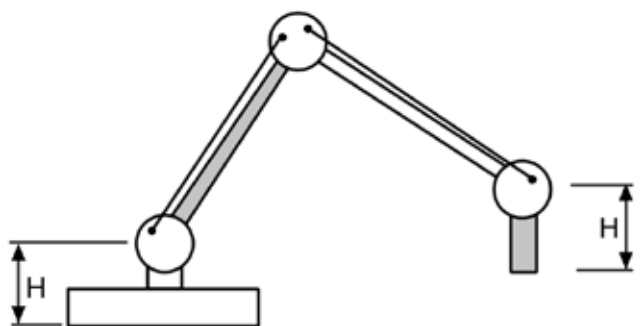


شکل ۶ : محاسبه موقعیت ساده می باشد.

روی هم گذاشتن بلوك ها، به طور مثال، باید بر روی اندام انتهایی یک ربات با ۳ درجه آزادی دیگر هم قرار دهیم، به طوری که دست بصورت مرتبط با خود بازو حرکت کند. اما از آنجایی که این کار فراتر از محدوده این مقاله مقدماتی است، ما از یک گیرنده مکشی استفاده خواهیم نمود.

برای بازوی نهایی، ما از یک جارو شارژی ۱۲ ولت که برای کارهای ساده از آن استفاده می شود بهره بردیم. اما از آنجایی که ما به مکش زیادی نیاز نداریم، می توانید این کار را با یک جعبه و فن کوچک نیز انجام دهید. در هر صورت، یک شلنگ کوچک انعطاف پذیر باید به مخزن مکنده متصل شده و در امتداد بازوی ربات به نقطه گیرنده رفته و در آنجا به یک تیوب پلاستیکی و یا برنجی که به مفصل مج متصل است وصل شود. با نگه داشتن سر تیوب به سمت پائین، می توانیم با روشن کردن جارو، تعدادی مقوا را از روی زمین برداریم؛ با این تصور که این مقواها در واقع همان بلوك هایی هستند که قصد جا به جایی شان را داشتیم.

اینکه بخواهیم سر تیوب را به سمت پائین نگه داریم، همان طور که پیشتر توضیح داده شد نیاز به یک درجه آزادی دیگر هم دارد، منتها اگر ما خلاقیت به خرج دهیم، می توان به روش های دیگری هم این عمل را انجام داد. به یاد دارید که چگونه موقعیت مجموعه آرنج را با سوار کردن آن بر روی پایه بصورت مرتبط با آن نگهداری نمودیم؟ می توان این کار را با استفاده از قرقره و یا میله مهار، به صورتی که در شکل ۴ نشان داده شده برای اندام انتهایی هم انجام داد. با استفاده از این پیکربندی، تیوب مکنده صرف نظر از زوایای فرضی برای آرنج و شانه همیشه رو به پایین می ماند.



شکل ۴ : مفصل ها می توانند باعث چرخش بازو شوند.

بازو و ریاضی!

اگر ما طول نازل خلاء را با ارتفاعی که بازو بالای پایه نصب شده (H) در شکل ۴ برابر بگیریم، ریاضیات مورد نیاز برای بازوی ما بسیار ساده تر می شود. بسیاری در اولین بازوی خود به این ملاحظات به مقدار کافی فکر نمی کنند و در نهایت بازیوی می سازند که استفاده از آن دشوار است. بیایید با هم نگاهی به برخی از مفاهیم ریاضی مورد نیاز برای بازویمان بیندازیم. اولین چیزی که ما باید در ریاضی این است که اگر ما می خواهیم که اندام انتهایی به زمین برسد، زوایای A و B باید همیشه با هم برابر باشند (همانگونه که در شکل ۵ نشان داده شده). اگر A و B با هم برابر نباشند، قسمت پائینی اندام انتهایی از لحظه ریاضی یا بالا و پایین سطح کاری قرار خواهد گرفت. توجه

اصول اولیه بازوی رباتیک

علاوه بر این، ما فرض می کنیم که زیرروال MoveArm به نحوی مقادیر سنسورها را می خواند (در مورد موتور دی سی) و یا موقعیت فعلی مفاصل را ردیابی می کند (برای موتورهای پله ای و سروو) و مکان زاویه فعلی هر یک از مفاصل را در متغیرهای ElbowAngle و ShoulderAngle قرار می دهد. با تغییر یک خط کد می تواند کاری نمود که بتوان در شبیه سازی طریقه قرار گرفتن دیگر موتور بازو را هم شبیه سازی نمود (همان طور که پیشتر در مورد آن بحث شد)، بنابراین شما می توانید هر دو تنظیمات را آزمایش کنید.

علاوه بر این در زیرروال MoveArm فرض بر این است که متغیر InHand در صورتی که دست چیزی را نگه نداشته باشد، صفر باشد؛ و یا در صورتی که دست یکی از بلوک ها را برداشته باشد، یک عدد بین یک تا سه برای نشان دادن آن بلوک در متغیر قرار می دهیم. قبل از فراخوانی MoveArm کد شما می تواند متغیر Vac را برای اینکه دست چیزی را بگیرد و یا آن را رها کند، به True و یا False تغییر دهد (شبیه ساز تا زمانی که اندام انتهای نزدیک سطح کار باشد به شما اجازه رها کردن شی را نخواهد داد). همانطور که قبلاً اشاره شد، جزئیات مربوط به اینکه این زیرروال برای یک بازوی واقعی چگونه عمل می کند به موتورهای مورد استفاده، نوع پورت های مورد استفاده و مدارات بافر بستگی دارد. از آنجایی که این مقاله در مورد برنامه نویسی خود بازو است، نه در مورد ساخت یک رابط موتوری، ما فرض می کنیم که زیرروال MoveArm وجود دارد. این مساله کاملاً برای بازوی شبیه سازی شده ما مناسب است، زیرا ما زیرروال MoveArm مناسب که دقیقاً مشابه با وضعيتی که شرح داده شد عمل می کند را فراهم می کنیم. به توانایی قانون بالا توجه کنید. با استفاده از این استراتژی، هر کسی می تواند یاد بگیرد چگونه باید برنامه بازو را بنویسد، بدون توجه به اینکه در نهایت ممکن است از چه موتوری برای بازو استفاده شود و یا اینکه اصلاً بازو وجود خواهد داشت یا نه. سپس، زمانی که یک بازوی واقعی در دسترس باشد، در صورتی که MoveArm مناسب نوشته شده باشد، می توان همین کد را برای آن استفاده نمود. در اینجا بالاخره می توانیم برنامه جالب است، یک برنامه ای که به حدی که جالب و چالش برانگیز باشد پیچیده باشد، اما خیلی هم پیچیده نباشد، چون این مقاله یک مقاله معرفی است.

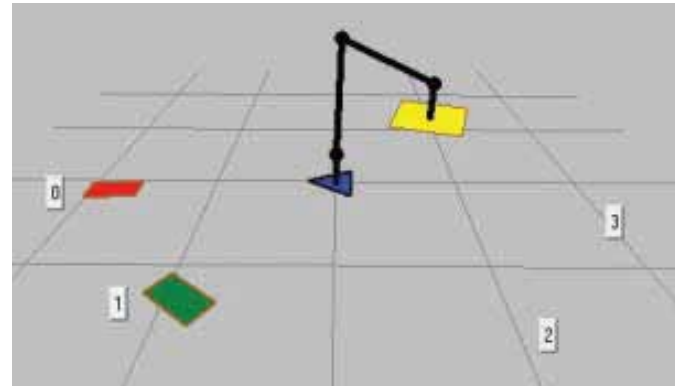
و حالا، انجام کار

بازو می تواند سه ورق کاغذ با رنگ های مختلف را در چهار مکان مشخص در محل کار جا به جا و یا بر روی هم قرار دهد. رابط انسان با بازو همانطور که در شکل ۸ نشان داده شده است شامل یک سری دکمه است. با استفاده از این دکمه ها، کاربر قادر خواهد بود بازو را به یکی از آن چهار موضع حرکت داده و بلوک های کاغذی را بلند کرده و یا رها کند. کاربر همچنین می تواند درخواست اقدامات پیچیده تر مانند رنگ سبز را بردار و یا کارهای نسبتاً پیچیده مانند قرار دادن زرد روی قرمز را بدهد. در مثال های بالا، ما از بازو انتظار به نمایش گذاردن هوش معقولی را داریم. به طور مثال، در صورتی که بازو چیزی را نگه نداشته باشد، باید درخواسترها کردن را رد کند. حتی در شرایط پیچیده، بازو باید حداکثر تلاش خود را برای

این محاسبات ممکن است پیچیده به نظر برسند، اما می توان آنها را به راحتی در هر زبان برنامه نویسی که توانع مورد نیاز ریاضی را دارد پیاده سازی نمود. نکته مهم این است که محاسبه زوایای پایه، شانه و آرنج برای هر مختصات x و y بر روی سطح کار (حداقل برای بازوی ساده شده ما) ساده است. از آنجا که مدل ساده شده ما بلوک ها از کاغذ نازک و یا مقوا ساخته شده است، این محاسبات را می توان برای بلوک های مجزا و یا انباستی از بلوک ها در هر نقطه ای بر روی سطح کار استفاده نمود.

وارد نمودن ماتریس

موقعیت x و y اشیائی که انجام کار با آنها را داریم را می توان بصورت دستی و یا توسط عکس های دوربینی که بالای سطح کار نصب شده انتخاب نمود. نرم افزار RobotBASIC فرمان های بصری دارد که وارد نمودن عکس از وب کم و استخراج داده های موقعیتی را برای اشیاء با رنگ های مشخص آسان می سازد. ما متوجه شدیم که بسیاری از مردم علاقه به تجربه نمودن بازو هایی از این دست دارند، به خصوص اگر آنها بازو را نساخته باشند و یا آن را خریده باشند. به این منظور، ما از RobotBASIC برای اجرای شبیه سازی سه بعدی یک بازو که در عمل کاملاً مشابه با بازوی خودمان است استفاده نمودیم. شکل ۷ تصویری را از دست شبیه سازی شده نشان می دهد. در شبیه سازی، مختصات x و y چهار نقطه به صورت دستی مشخص شده اند. عموماً در صورتی که بخواهیم یک بازوی واقعی را برنامه ریزی کنیم، بسته به نوع موتور و سنسور مورد استفاده برای ساخت بازو، تغییرات قابل توجهی را باید در کد ایجاد کنیم. یکی از راه حل هایی که می توان برای این مشکل در نظر گرفت این است که کلیه دستورات مرتبط با موتورها را در یک مازل جدا قرار دهیم. بینیم این مساله چطور مشکل ما را حل خواهد کرد.



شکل ۷ : شبیه سازی ۳ بعدی توسط نرم افزار RobotBASIC

فرض کنید ما یک زیرروال به نام MoveArm که حرکت بازو را بر اساس مقدار سه متغیر اجرا می کند: پایه، آرنج و شانه. در صورتی که هر یک از این متغیرها صفر باشد، با فراخوانی زیرروال آن مفصل حرکت نمی کند. اگر حداقل یکی از این متغیرها حاوی مقدار (مثل ۱ یا -۱) باشد، آن مفصل به اندازه همان عدد (بر حسب درجه) حرکت خواهد کرد (در این مورد، یک درجه، که این حرکت، با توجه به علامت آن عدد به سمت جلو و یا عقب خواهد بود).

ColorOnColor:

```
// places color curcol1 ON curcol2
block = curcol2 // clear dest block
gosub PickUpColor
gosub Drop
block = curcol1
// get the block to stack
gosub PickUpColor
block = curcol2
gosub MoveOver
gosub Drop
return
```

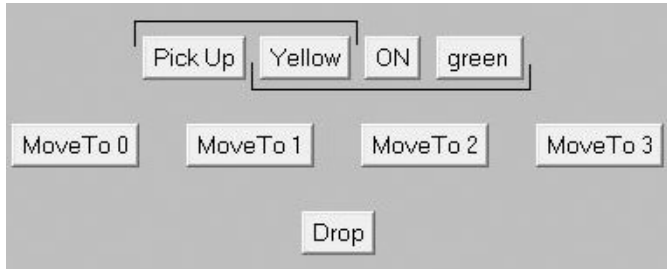
نام MoveOver بازو را به سمت بلوک مشخص شده توسط متغیر بلوک حرکت می‌دهد. اکنون، بازو بلوک را نگه داشته و در بالای یک نقطه آزاد قرار دارد، بنابراین، تنها کافی است که Drop را بر دیگر فراخوانی کنیم.

توانایی این سادگی نباید دست کم گرفته شود. روال ColorOnColor ما بسیار شبیه به مدیر اجرایی یک شرکت بزرگ عمل می‌کند که در مورد آنچه باید انجام شود تصمیم گیری می‌کند، اما بر تخصص مدیران و کارگران مناسب برای انجام وظایف انتکا می‌کند. همه کار واقعی انجام شده در روال ColorOnColor توسط زیر روال‌های تابع انجام می‌شود. البته، باید آن روال‌ها را نیز بسازیم و در صورتیکه آنها هم پیچیده باشند، فرض می‌کنیم در آنها روال‌های تابع بیشتری جهت انجام کارهای اضافی وجود دارد. زیرروال MoveArm که مرتبه ای زیر روال‌ها قرار دارد و به طور مستقیم کنترل سخت افزار را بر عهده دارد. هیچ یک روال‌های سطح بالا به سخت افزار دسترسی نخواهند داشت. این یعنی شما به راحتی می‌توانید از کدهای نوشته شده در این پروژه برای هر نوع بازوییکه خواهید ساخت (صرف نظر از اینکه از چه نوع موتوری استفاده خواهید کرد) با نوشتن رووال MoveArm مختص به آن بازو استفاده کنید. بر همین اساس ما رووال MoveArm ای را برای بازوی ساده شده خودمان ساختیم، به طوری که شما بتوانید با استفاده از کد ما و یا نوشتن یک رووال کاملاً جدید بدون نیاز به یک بازوی فیزیکی اولین تجربه خود را داشته باشید. می‌توانید تمام نرم افزار نمایشی ارائه شده در این مقاله، سورس کد کامل بازوی شبیه سازی شده، و نرم افزار RobotBASIC را از www.RobotBASIC.com دریافت نمائید.

SERVO Magazine 2009

منبع :

برآورده کردن اهداف خواسته شده به کار بیند. مثلاً اگر شما از بازو بخواهید که بلوک زرد را روی بلوک قرمز قرار دهد، بازو باید ابتدا اگر چیزی روی بلوک قرمز قرار دارد برداشته و آنها را در یک محل موقتی قرار دهد. در مرحله بعد باید بلوک زرد را بردارد و برای این کار باید ابتدا اگر بلوکی بر روی آن قرار دارد برداشته، و در نهایت بلوک زرد را بر روی بلوک قرمز قرار دهد.



شکل ۸: این دکمه‌ها بواسطه انسانی را برای کنترل بازو پشتیبانی می‌کنند

برنامه‌ای که ما قصد نوشتن آن را داریم می‌تواند همه اعمالی که در بالا گفته شد و حتی بیشتر از آن را اجرا کند، اما لزوماً همه کارها را به بهترین شکل انجام نمی‌دهد، زیرا ما در جایی که امکان ساده سازی وجود داشته باشد تا حد امکان برنامه را ساده خواهیم نوشت. این ساده سازی‌ها به این دلیل است که اطمینان بیابیم که کد برای همه (حتی برای مبتدیان) ساده و قابل فهم باشد. زمانی که نحوه عملکرد کد را متوجه شدید، اکیداً به شما پیشنهاد می‌کنیم که برنامه را بهبود بخشید، تا بخشی از نقصه‌هایی که به علت ساده سازی مابود آمد را برطرف نمایید.

برای اینکه دنبال نمودن منطق کد را برای شما آسان نمائیم، از یک رویکرد از بالا به پایین استفاده می‌کنیم. مطمئناً پیچیده ترین روال برنامه ما آن بخشی از کد است که می‌تواند هر بلوکی را برای دیگری قرار دهد. با استفاده از طراحی از بالا به پایین، با فرض اینکه ما ماثولوی هایی داریم که می‌توانند وظایف خاص را برای ما انجام دهد، طراحی روال به سادگی انجام خواهد شد. کد مورد نیاز برای پیاده سازی زیرروال ColorOnColor در شکل ۹ نشان داده شده است. در روال ما فرض می‌شود که بخش رابط انسان به کد ما، رنگ مبدأ (زرد در شکل ۸) را در متغیر curcol1 و رنگ مقصد (سبز در شکل ۸) را در متغیر در curcol2 قرار می‌دهد. توجه کنید که با این فرض که ما ماثولوی هایی داریم که می‌توانند این کار را برای ما انجام دهد، پیاده سازی این روال پیچیده تا چه حد آسان خواهد شد. اولین کاری که این روال باید انجام دهد این است که هر بلوکی را که ممکن است روی رنگ مقصد باشد، بردارد. می‌توان این کار را با برداشتن بلوک مقصد و دوباره گذاشتن آن به سادگی انجام داد. این بدان معنی است که زیر روال PickUpColor ما باید همه اقدامات لازم برای برداشتن بلوکی که رنگ آن در متغیر بلوک قرار دارد، من جمله دور انداختن کلیه بلوک‌هایی که ممکن است بر روی آن قرار داشته باشد انجام دهد. روال رها کردن هم بلوکی که در حال حاضر توسط دست نگه داشته شده را در محل فعلی بازو قرار خواهد داد. مرحله بعد این روال برداشتن بلوک مبدا است، که توسط متغیر curcol2 مشخص شده است. می‌توان برای این کار روال PickUpColor را دوباره فراخوانی نمود. سپس، یک روال جدید به

فروشگاه تخصصی برق و الکترونیک

ECA SOFTWARE **ECA** UTILITY

ECA EBOOK **ECA** MAGAZINE **ECA** PAPER **ECA** HARDWARE

www.eShop.ECA.ir

کارا الکترونیک

Kara Electronic
PCB & PCBA Manufacturing Services

تولید کننده انواع مدار چاپی

- یک لایه
- دو لایه
- دولایه متالیزه
- چندلایه (تا ۳۲ لایه)

تلفن: ۰۲۹۲ (۳۴۲۶۳۴۳) - فکس: ۰۲۹۲ (۳۴۲۶۳۴۰)
info@karapcb.com www.karapcb.com

مرکز تخصصی XMEGA در ایران

* فروش ویژه برق آموزشی
MKII و پروتکل امتر XMEGA

* پردازهای دوره های آموزشی
XMEGA - ARM - DSP
AVR - FPGA - PROTEL

ترجمه متن‌ها و مصطلحات تجربی

شرکت مهندسی نوین تراشه البر [تلفن: ۰۹۱۰-۸۸۸۸۸۸۸](tel:09108888888)

www.novintarashe.com

ترجمه تخصصی متون برق و الکترونیک

Translate.ECA

ترجمه کلیه متون تخصصی ، علمی ، دانشگاهی ، فنی و ...

www.Translate.ECA.ir

ماشین های اداری نگاریخ

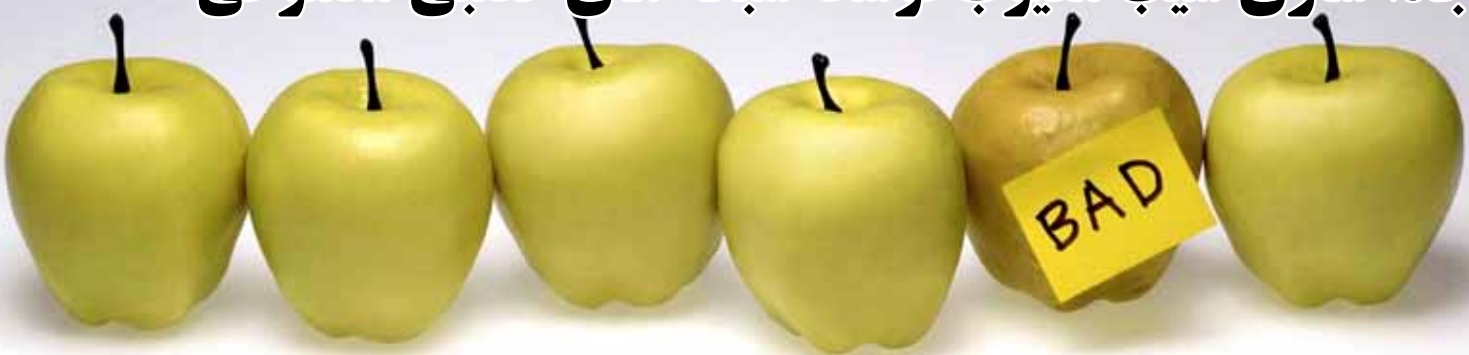
۸۸۳۲۸۶۸۰

ارائه انواع تجهیزات
کیبورد های فلزی

وب سایت تخصصی برق و الکترونیک (ECA) افتخار دارد با بیش از ۹۵۰۰ عضو ، یکی از بزرگترین وب سایت های تخصصی ایران را تشکیل داده و پاسخگوی نیاز دانشجویان ، متخصصان ، محققان و صنعتگران عرصه برق و الکترونیک کشور باشد. بی شک یکی از اهداف این انجمن ، برقراری ارتباط بین صنعت و جامعه می باشد. لذا از تمام شرکت ها ، کارخانجات و موسسات صنعتی علمی آموزشی دولتی و خصوصی ، تقاضا مندیم در صورت تمایل به عقد قرارداد تبلیغاتی و یا قبول اسپانسری برای مجله تخصصی نوبز از طرق زیر با ما در ارتباط باشند .

تلفن: ۰۴۱۱-۵۵۷۱۲۶۱
فکس: ۰۴۱۱-۵۵۳۹۷۶۹
ایمیل: adver.eca@gmail.com

جدا سازی سیب معیوب توسط شبکه های عصبی مصنوعی



به علت فقدان مقادیر مورد نظر، ارائه نمی دهد. چنین روشی توسط Leemans Etal برای جداسازی پکار موارد معیوب به کار رفته است. مطالب ذکر شده نشان می دهد که در سطح جداسازی میوه سیب، محققین بیشتر به بررسی روش های بر اساس آستانه و روش طبقه بندی بر اساس بیزین می پردازند. بعلاوه جدا سازی موارد معیوب به علت چندین واقعیت یک وظیفه دشوار می باشد. از اینرو در این مقاله بر جدا سازی موارد معیوب با استفاده از طبقه بندی سطح بالا می پردازیم که "شبکه عصبی مصنوعی" (ANN) نامیده می شود.

روش بررسی

جدا سازی نقص پوست دو رنگ را در شکل ۱ پیشنهاد می کنیم. بعد از توضیح نحوه بدست آوردن تصاویر و پایگاه داده به تشریح این سیستم به عنوان بخش منفرد می پردازیم.

بدست آوردن تصاویر و پایگاه داده

تصویر برداری از میوه در محیط کاملاً روشن و توسط یک سیستم چند طیفی شامل یک دوربین تک رنگ با وضوح تصویر بالا و چهار فیلتر باند گذر (در فرکانس مرکزی ۴۵۰، ۵۰۰، ۷۵۰، ۸۰۰ nm با پهنای باند به ترتیب ۴۰، ۸۰، ۱۰۰ nm) انجام می گیرد.

شکل ۲ مثالی از یک سیستم تصویر برداری را نشان می دهد که تنها قادر به بازدید از یک جهت می باشد. هر تصویر فیلتر شامل ۴۳۰-۵۶۰ پیکسل با تفکیک پذیری ۸ بیت به ازای هر پیکسل می باشد.

شکل ۲۴۶ سیب Jonagold با معايب مختلف ایجاد شده به صورت طبیعی یا مصنوعی، در این مطالعه مورد بررسی قرار گرفته است. نوع جداسازی موارد معیوب را به علت سطح گذر رنگی دشوارتر می کند. جداسازیJonagold انتخاب شده است زیرا دارای پوست دورنگی می باشد و سطح معیوب در پایگاه داده به صورت دستی توسط متخصصین جداسازی می شود و به عنوان مرجع در این مقاله مورد استفاده قرار می گیرد. شکل ۳ مثالهایی از پایگاه داده مرتبط با جدا سازی دستی می باشد.

ساخت سیستم تصویربرداری و مجموعه ای از پایگاه داده در دپارتمان مکانیک و ساخت دانشگاه کشاورزی Gembloux بذریک انجام گرفته است.

این مقاله جدا سازی سیب معیوب دو رنگی که توسط چندین شبکه عصبی مصنوعی اجرا می شود را ارائه می کند. از روش طبقه بندی pixel-wise برای جداسازی استفاده می شود. ارزیابی کمی و کیفی نشان می دهد که برای انجام جداسازی سیب معیوب شبکه های رقابتی دارای اشتباہ فراوان می باشند در حالیکه شبکه های recurrent feed-forward دقیقتر می باشد.

مقدمه

کیفیت میوه های سیب بسته به سایز، رنگ، طرح و نوع پوسته معیوب با توجه به استانداردهای فروش کمیسیون اروپایی تعیین می شود. بازاری چشمی سیب با توجه به سایز و رنگ توسط بازدید ماشین در حال حاضر به صورت خود کار در صنعت انجام می گردد. با این وجود شناسایی موارد معیوب به علت تغییرات زیاد نوع نقایص، وجود ساقه/فرورفتگی فوقانی و تغییرات ذاتی رنگ پوست دشوار می باشد. تشخیص مورد معیوب نیاز به جداسازی دقیق دارد. در اکثر موارد برای جدا سازی سیب معیوب از یک حد آستانه ساده استفاده می شود. Wen و Tao یک تبدیل کروی قابل تطبیق قبل از آستانه ساده را برای حذف تأثیرات انعکاس جانی که توسط حالت کروی میوه ایجاد می شود، بکار برندند. Kim etal از آستانه کلی قابل تطبیق (روش اصلاح شده الگوریتم Otsu) برای جداسازی موارد دارای نقص در قسمت پایینی بر روی سیب ها استفاده می کند.

تکنیک های بر اساس محدوده، تصاویر را بر مبنای یافتن مناطق همسان و متجانس بامعيارهای مشابه تقسیم بندی می کند. Yang از تکنیک براساس محدوده (الگوریتم Flooding) برای جداسازی معايب تکه ای بر روی سیب استفاده می کند.

تکنیک های بر اساس دسته بندی در صدد تقسیم پیکسل ها به چندین طبقه بر اساس روش های دسته بندی مختلف می باشند. طبقه بندی بیزین (Bayesian) که بیشترین کاربرد را توسط محققین دارد، پیکسل ها را با مدل از قبل محاسبه شده مقایسه کرده و طبقه بندی به عنوان سالم یا معیوب را انجام می دهد. از سوی دیگر Nakano یک سیستم بر اساس شبکه عصبی برای طبقه بندی پیکسل های پوست سیب به ۶ دسته، که شامل یک دسته می باشد را ارائه کرد. طبقه بندی بدون نظارت هیچگونه کمکی در فهم پروسه

جدا سازی سیب معیوب توسط شبکه های عصبی مصنوعی

تعريف ناحیه مورد نظر

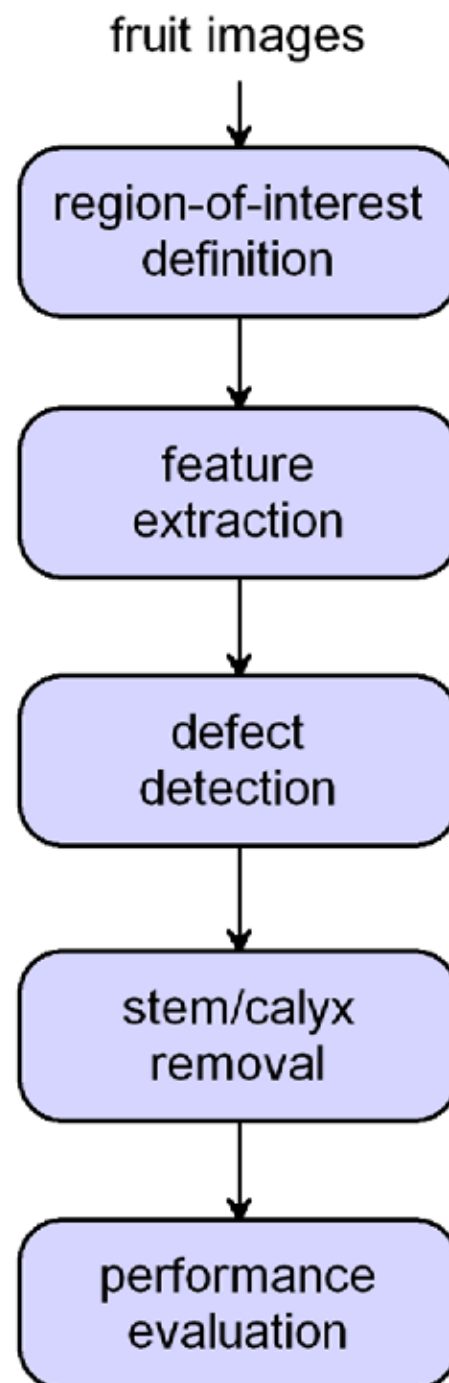
همانطوری که در شکل ۳ مشاهده می کنید، زمینه کوچکتر از ناحیه سیب می باشد و بنابراین ناحیه سیب به چند قسمت مجزا از پس زمینه، توسط آستانه تا 750 nm تصویر فیلتر با مقدارشتد ۳۰ تقسیم می شود. با این وجود این مرز ثابت به صورت نادرست چند عیب را که دارای شدت کمتری می باشند، حذف می کند. از اینرو ریخت شناسی برای جلوگیری از بروز این خطا بکار می رود. مشاهدات اولیه نشان می دهد که جدا سازی در لبه کناری میوه ها احتمالا به علت روش سازی مشکل می باشد. بنابراین بعد از حذف پس زمینه، ناحیه سیب توسط عنصر ساختاری مستطیلی با اندازه مطابق با اندازه میوه (۱۵٪ جعبه محاطی میوه) سائیده می شود. نتایج مراحل سائیده شدن ناحیه مطلوب را که ناحیه سیب (roi) را مشخص می کند، نشان می دهد.

بدست آوردن ویژگی ها

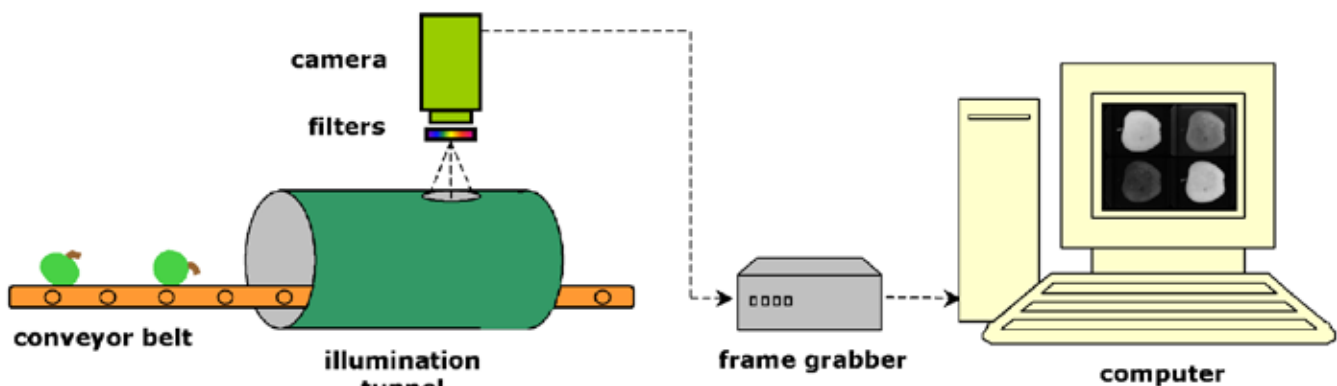
جدا سازی موارد معیوب در سطح پیکسلی نیاز به مشخص کردن ویژگی ها در هر پیکسل دارد. بنابراین مقدار شدت هر پیکسل از چهار فیلتر تصویر، ویژگه های محلی (ذاتی) آن را تشکیل می دهد. در کار قبلی نشان دادیم که یک ویژگی محلی اضافی مرتبط با موقعیت پیکسل وابسته به مرکز هندسی roi، جدا سازی معیوب ها در همان پایگاه داده را بهبود می دهد. علاوه بر ویژگی های محلی، همچنین انحراف معیار متوسط و استاندارد مقدار شدت در roi از هر فیلتر تصویر محاسبه شده، ویژگی های کلی را ایجاد می کند. از این رو هر پیکسل توسط ۱۳ مشخصه در فضای مشخصه (جدول ۱) نشان داده می شود. مقادیر ویژگیها برای قرار دادن در رنج $[1+, 1-]$ قبل از معرفی مراحل تشخیص عیب نرم افزاری می شود.

تشخیص عیب

مطالعات بر روی چگونگی و نحوه عملکرد مغز حیوانات نشان می دهد ANN ها از لایه های جمع شده با ساختار موازی و با درجه بالای ارتباط داخلی بین آنها تشکیل شده است. از میان الگوریتم های مختلف ANN که ارائه شده است، روش توضیح داده شده در ادامه را برای جدا سازی معیوب ها استفاده می کنیم.

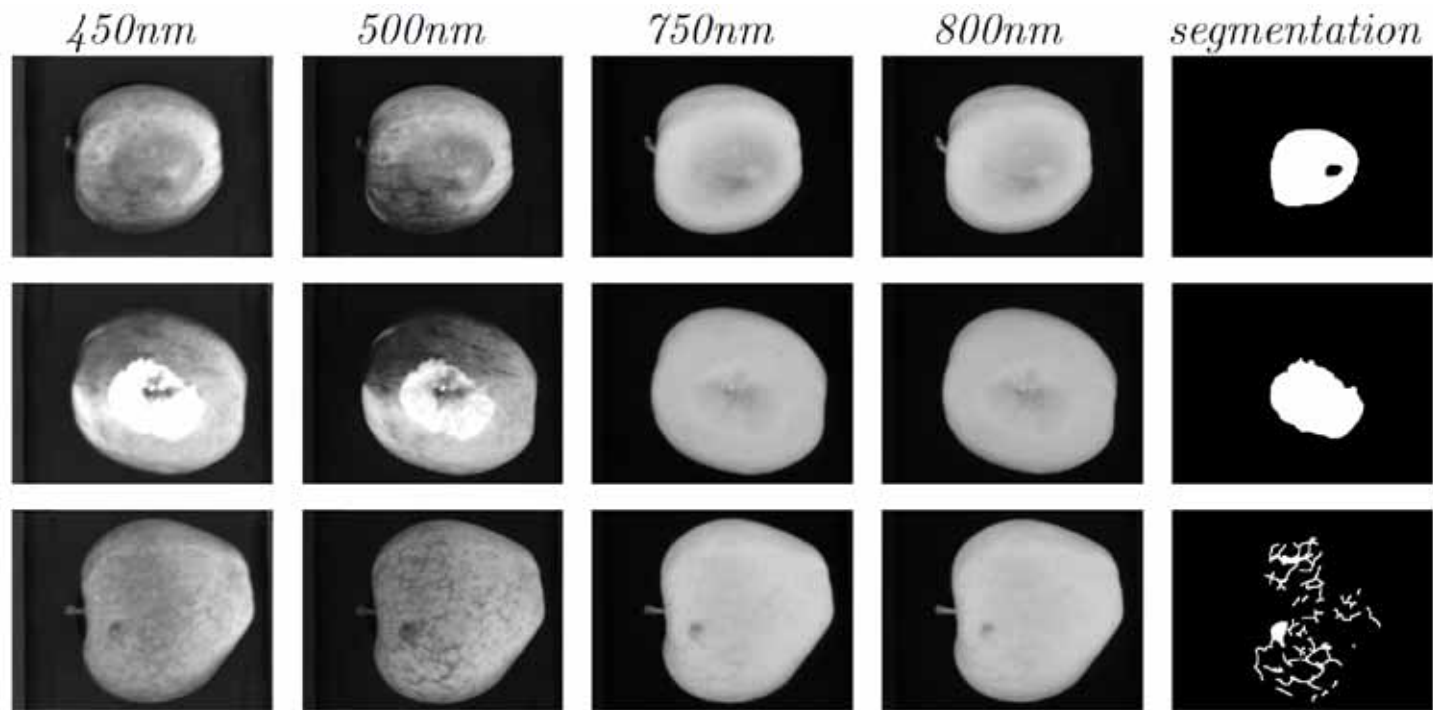


شکل ۱. ساختار سیستم که برای قطعه بندی معیوب بکار می رود.



شکل ۲. مثالی از سیستم تصویر برداری استفاده شده

جدا سازی سیب میتوسط شبکه های عصبی مصنوعی



شکل ۳. مثالی از تصاویر سیب و جدا سازی دستی مربوط.^۴ ستون اول، تصاویر فیلترهای مختلف را نشان می دهد در حالی که آخری جدا سازی متناظر دستی را نشان می دهد. ردیفها، سیبهایی با نوع عیب مختلف را نشان می دهد.

شبکه های عصبی رقابتی (CNN)

مناسبترین مثال از شبکه های رقابتی CNN که از روش های بدون نظارتی می باشد و می تواند گروهی از ورودی های مشابه را تشخیص دهد. CNN دارای اتصال جانبی در میان نورون ها می باشد.

Learning Vector Quantizers(LVQ)

LVQ ترکیبی از لایه های رقابتی که توسط یک لایه خطی (لایه ای از نورون ها با تابع فعالسازی خطی) همراه می شود و در آن عنصر اول دسته بنده ورودی ها را یاد گرفته و دومین عنصر خروجی های عنصر قبلی را به برچسب های تعریف شده توسط کاربر تبدیل می کند. بنابراین این شبکه ها از اطلاعات نظارتی بهره می گیرند.

Self Organizing Feature Maps(SOM)

SOM نقشه SOM یک شبکه رقابتی شامل شبکه های تک بعدی یا دو بعدی نورون ها می باشد. در SOM ارائه ورودی های مشابه منجر به پاسخ همان گروه از نورون ها می گردد (از لحاظ فیزیکی به یکدیگر نزدیک می باشند) در حالیکه بقیه آنها ثابت می مانند. SOM یک الگوریتم بدون نظارت می باشد.

شبکه های Recurrent

شبکه Feed-forward امکان انتشار ورودی ها را تنها در جهت جلو برقرار می کند. به هر جهت معرفی مسیر فیدبک میان لایه ها می تواند اطلاعات منحصر بفردی را نشان دهد که توسط شبکه های Recurrent به کار گرفته می شود. به علت مسیر فیدبک، اطلاعات در دو جهت جلو و عقب جاری می شود که سیستم دینامیکی شبکه های Recurrent را ایجاد می کند.

شبکه های عصبی Elman

ENN یک شبکه Recurrent دو لایه با فیدبک از خروجی لایه اول به ورودی لایه اول می باشد. بعلاوه اتصال فیدبک باعث اطلاعات کنترلی نیز می گردد. تمامی ENN مورد بررسی دارای ساختار دو

شبکه های Feed-Forward

در چنین شبکه هایی دیتا به سمت جلو پخش می شود (از لایه ورودی به لایه خروجی). بنابراین رشته های عصبی آن دارای ارتباط یک جهتی می باشد. (دارای فیدبک یا لایه مشابه دارای ارتباط رشته به رشته نمی باشد)

Perceptron

پرسپترون (یا نورون McCulloch-Pitts) ساده ترین شکل شبکه عصبی می باشد که تنها می تواند مشکلات تفکیک پذیر خطی را حل کند. یک نورون منفرد با تابع فعالسازی آستانه می باشد.

پیرسپترون چند لایه (MLP)

MLP ترکیبی از چند پرسپترون در ساختار لایه ای می باشد که با داشتن دو مسیر عبور سیگنال در شبکه، اطلاعات بازگشتی را نیز دارا می باشد. مسیر مستقیم: سیگنال ورودی در جهت مستقیم انتشار می یابد و این در حالی است که که هر لایه دارای وزن ثابتی می باشد و خروجی واقعی شبکه تولید می شود. خطا میان خروجی واقعی و خروجی مطلوب محاسبه می شود. در حالت بازگشتی، سیگنال خطا به سمت عقب انتشار می یابد و بار دیگر وزن تطبیق داده می شود.

Cascade Forward Neural Networks(CFNN)

CFNN مشابه با MLP می باشد به جز اینکه نورون های هر لایه بعدی دارای ورودی نه تنها از لایه قبلی بلکه لایه دارای ورودی نیز می باشد که سبب می شود اتصال داخلی بیشتری نسبت به MLP وجود داشته باشد.

شبکه های رقابتی

در شبکه های رقابتی نورون های خروجی با یکدیگر رقابت می کنند تا یکی از آنها فعال شود. شبکه های رقابتی می توانند نحوه ارتباط میان ورودی ها را بیابند و خود را با آنها سازگار کنند. این شبکه ها دارای اتصال جانبی میان خودشان می باشد. (همان اتصال نورون به نورون).

جدا سازی سیب معیوب توسط شبکه های عصبی مصنوعی

ارزیابی کارایی

در تشخیص خطای عمومی به این صورت فرض می شود که دسته ها به صورت یکسان نشان داده شد که برای مورد ما درست نمی باشد چراکه اندازه عیب در پایگاه داده ما خیلی متغیر می باشد. از اینرو ما کارایی جداسازی را با توجه به خطای تشخیص دسته خاص (CSRE) به صورت زیر اندازه می گیریم:

$$CSRE = \frac{\frac{FN}{TP+FN} + \frac{FP}{TN+FP}}{2}$$

که TP (مثبت حقیقی): تعداد پیکسل های معیوب که به صورت درستی تشخیص داده شد.

FP (مثبت غیر حقیقی): تعداد پیکسل های سالم که اشتباهها معیوب تشخیص داده شد.

TN (منفی حقیقی): تعداد پیکسل های سالم که به صورت درستی تشخیص داده شد.

FN (منفی غیر حقیقی): تعداد پیکسل های معیوب که اشتباهها سالم تشخیص داده شد.

اگر یک دسته موجود نباشد (برای مثال پوست بدون عیب باشد بدین معنی که دارای کیفیت خوبی باشد) خطاب استفاده از دسته های دیگر محاسبه می شود. توجه شود که این اندازه گیری برای تمامی تصویر تست بکار می رود که خطای تست به عنوان متوسط مقدار اندازه گیری تمامی تصاویر محاسبه می شود.

نتایج و بحث

ابتدا آنالیز کمی نتایج جداسازی توسط اندازه گیری CSRE را بیان می کنیم.

شکل ۵ کارایی جداسازی تمامی شبکه های عصبی را نشان می دهد مشاهده می کنیم که شبکه های رقابتی نادرست تر از دیگر شبکه ها می باشد. پرسپترون کم دقت ترین روش با نسبت خطای ۰،۵۲۶ می باشد زیرا تنها می تواند مسائل خطی را بر طرف کند. شبکه های Recurrent Feed-Forward نسبت به شبکه های Recurrent از دقت کمتری برخوردار می باشند که به علت اتصال فیدبک می باشد. با فرآگیری اتصال، روش های نظارتی نسبت به روش های بدون نظارت برتری می یابد که نشان می دهد نظارت از طریق نتایج نمونه های آموزشی برچسبی دقت بیشتری در جداسازی موارد معیوب را نتیجه می دهد.

همچنین آنالیز کیفی را توسط مقایسه دیداری نتایج جداسازی و با توجه به جداسازی دستی اجرا می کنیم. شکل ۶ بعضی از نمونه های جداسازی توسط ANN ها با جداسازی مشاهده می شود، پرسپترون اصلا می دهد. همانطوری که از جداسازی مشاهده می شود، پرسپترون اصلا نمی تواند پوست معیوب را تشخیص دهد و به همین علت است که نسبت خطای بالایی دارد. با توجه به آنالیز کمی جداسازی شبکه های رقابتی (LVQ, CNN, SOM)، کاملا نادرست می باشد که شبکه های ENN و MLP و CFNN دارای احتمال موفقیت بیشتری می باشند. دقت بالا به علت عیبی می باشد که به صورت واضح از پوست سالم در تصویر ۴۵۰ nm و ۵۰۰ nm مشخص است. (شکل ۳ را مشاهده

لایه با ۵ نورون در لایه مخفی می باشد به جز SOM که دارای یک توپولوژی شش گوشه ۵x8 می باشد. نورون حلقوی تا زمانیکه ساختار Levenberg-Marquardt سرعت یادگیری ۱،۰ و ماکزیمم تعداد دوره ۲۵ برای آموزش آنها آنها مورد استفاده قرار گرفته است. برای پارامترهای بالا پس از چندین بار آزمایش مقادیر بهینه بدست آمد.

آموزش ANN ها

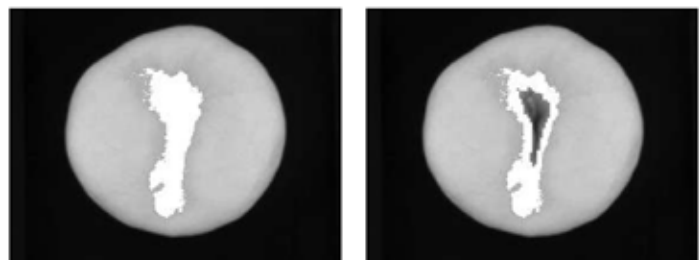
جداسازی پیکسلی منجر به افزایش بیش از حد اطلاعات برای پردازش می گردد که از لحاظ محاسباتی بسیار گران می باشد. بنابراین تست خود را با روش hold-out انجام داده و مقدار $1/6$ ، $1/3$ ، $1/2$ میوه از هر نوع معیوب برای آموزش، تصدیق و تست پایگاه مورد تمرین قرار داده می شود. ۱۶ میوه برای آموزش، ۳۸ عدد برای تصدیق و ۹۲ عدد برای تست بکار می رود و این جدا سازی بعد از چندین آزمایش مطلوبترین حالت می باشد.

مجموعه آموزش شامل مجموعه ای از پیکسل ها می باشد که به صورت تصادفی از میوه ها در پایگاه داده آموزش انتخاب می شود. بعلاوه نوع عیب و طبقه بندی ها (سالم-معیوب) در مجموعه آموزش بیان شده است. توجه خاصی به خارج کردن پیکسل ها در مجموعه آموزش که به میوه تست شده تعلق دارد، صورت می گیرد تا از آموزش اجباری ممکن خودداری شود.

تصدیق جانبی یک روش آموزش برای طبقه بندی کننده نظارت شده می باشد که یک سهم از مجموعه آموزش به عنوان اطلاعات تصدیق مشخص می شود و آموزش طبقه بندی کننده در مجموعه آموزش هنگام ارزیابی مجموعه تصدیق صورت می گیرد. پرسپترون، MLP و CFNN اجزا تصدیق جانبی را می دهند لذا آنها از این طریق آموزش می یابند.

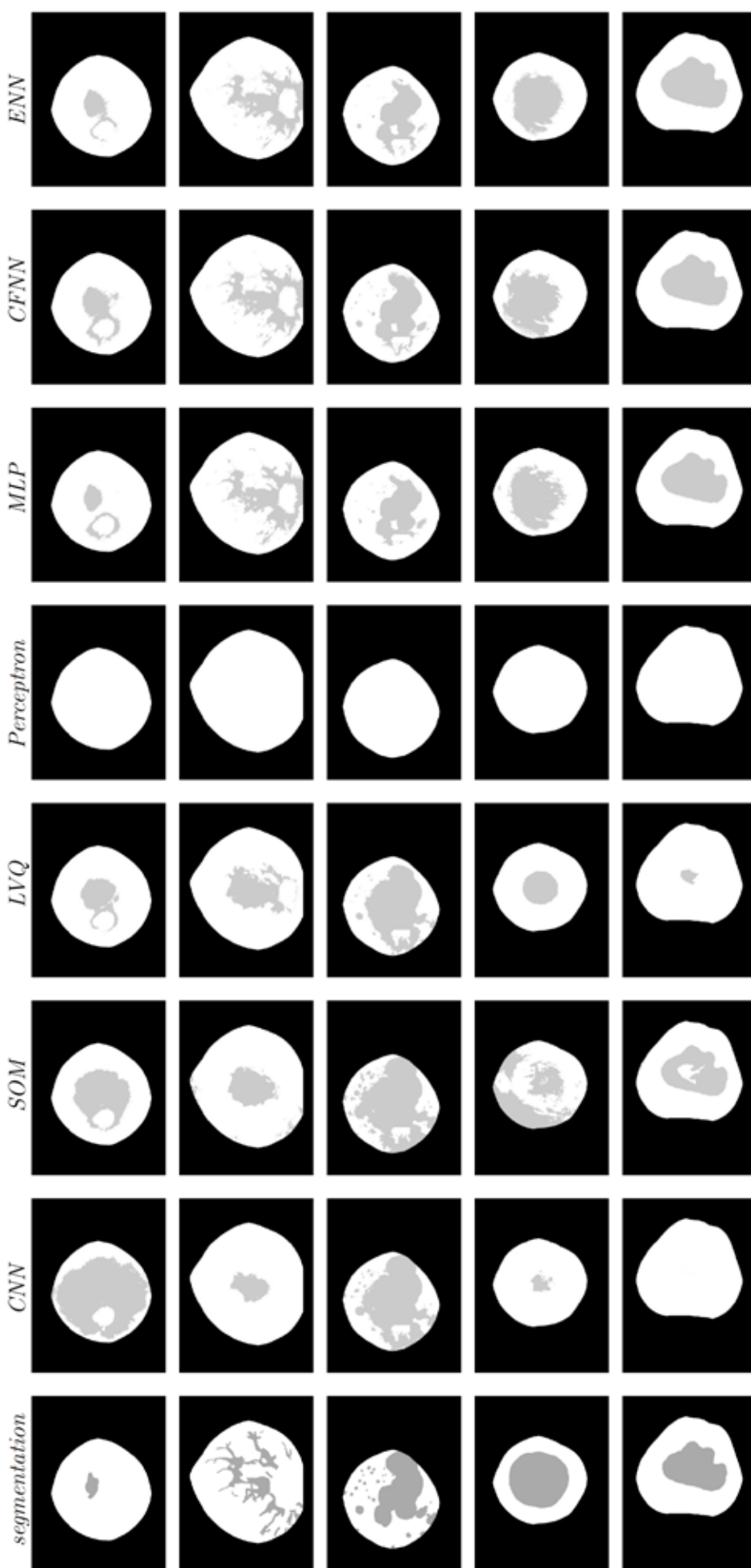
برداشت ساقه / گل

از آنچه که موقعیت میوه در حین تصویربرداری کنترل نمی شود ساقه و کاسه گل قسمت میوه در تصاویر قابل مشاهده می باشد. جداسازی این قسمتهای ذاتی از عیب واقعی توسط پردازش تصویر ضروری است تا جداسازی دقیقتری انجام بگیرد. اخیرا یک روش برداری خلی دقيق مانشینی برای حل این مشکل ارائه کرده ایم. از این رو این روش را برای برداشتن ناحیه ساقه / گل بکار می بردیم تا به جداسازی دقیق دست یابیم. (شکل ۴)



شکل ۴. مثالی از برداشتن ساقه / گل. شکل سمت چپ قبل از برداشتن و شکل سمت راست پس از برداشت می باشد. ناحیه معیوب با سفید نشان داده شده است.

جدا سازی سیب معیوب توسط شبکه های عصبی مصنوعی



شکل ۶. نمونه ای از جداسازی که توسط شبکه های عصبی مصنوعی ایجاد شده است. ستون اول جداسازی دستی را نشان می دهد. در هر تصویر پوست سالم در رنگ سفید نشان داده می شود در صورتی که ناحیه معیوب خاکستری می باشد.

جدا سازی سیب معیوب توسط شبکه های عصبی مصنوعی

از فعالیت های ضروری آتی، انجام طبقه بندی میوه بر اساس جداسازی موارد معیوب که در اینجا مطرح شده، می باشد.علاوه بر ارزیابی جداسازی با توجه به مجموعه منفرد از جداسازی دستی در این روش حاصل می شود. از اینرو قابلیت تکرار جداسازی باید با پایگاه داده جدید تست گردد.

منبع :

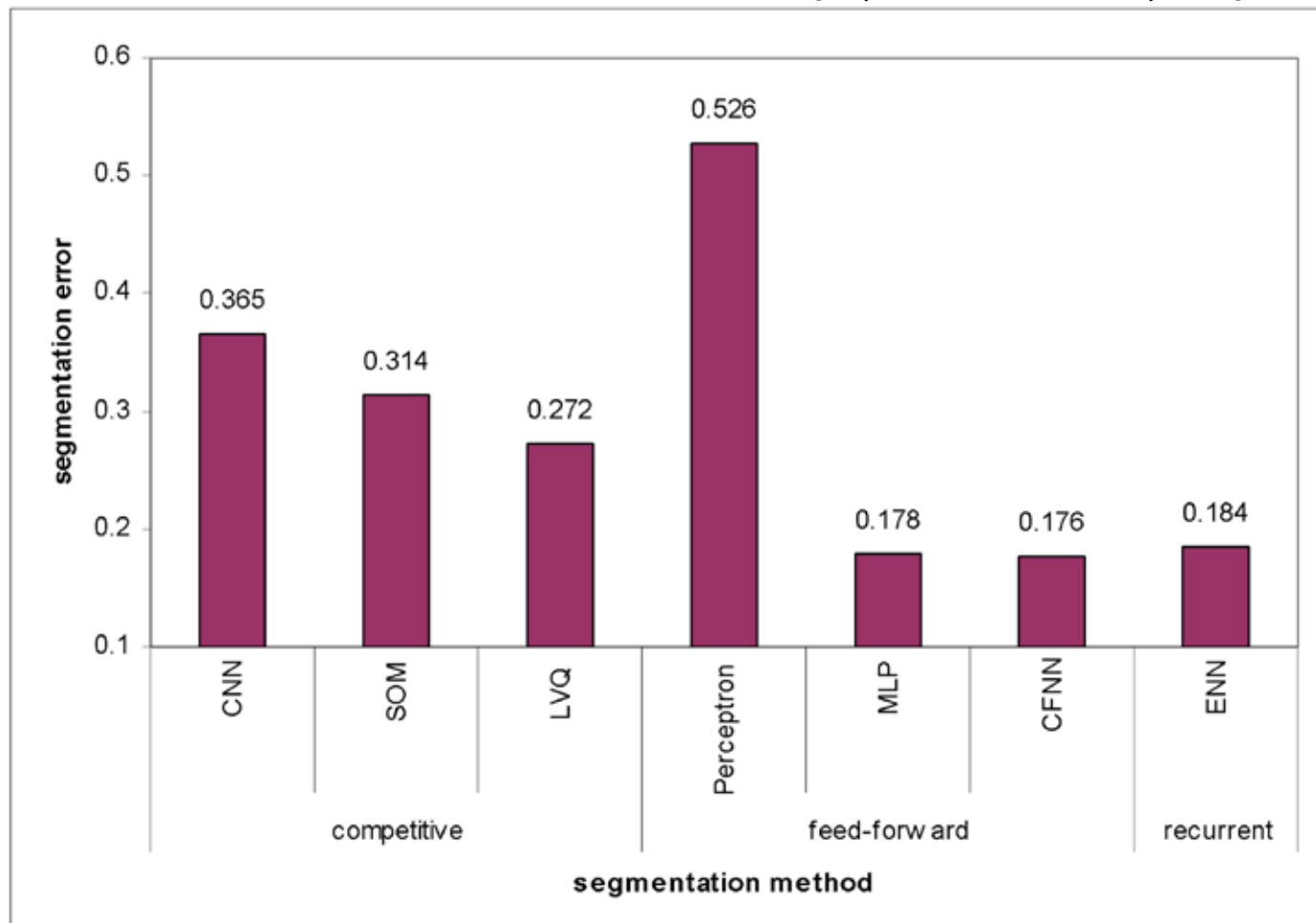
Apple Defect Segmentation by Artificial Neural Networks

"TCTS Lab., Faculté Polytechnique de Mons, Belgium"

کنید) همانطوری که در جداسازی دستی مشاهده می شود، عیب russet در شکل آن بسیار پیچیده می باشد. علی رغم این پیچیدگی MLP و CFNN و ENN به یک جداسازی مناسبی برای این نوع عیب دست می یابند. جداسازی نادرست را مشاهده می کنیم که به علت فرورفتگی در اطراف ناحیه ساقه و گل می باشد. پیکسل در این ناحیه به علت روشن سازی مختلف که به علت انحنا می باشد دارای شدت کمتری می باشد.

نتیجه گیری

تشخیص عیب در سیب دو رنگ توسط پردازش تصویر یک وظیفه حائز اهمیت و دشوار می باشد که این مشکل به علت ناحیه ساقه/گل و انواع مختلف عیب مانند تنوع متفاوت در رنگ پوست می باشد. در این مقاله این مشکل را با استفاده از روش طبقه بندی بر اساس پیکسل پوست میوه با استفاده از شبکه های عصبی مصنوعی مختلف مورد بررسی قرار می دهیم. در این طبقه بندی، توسط روش برداشتن ساقه/گل بر اساس SVM صورت می گیرد جداسازی نهایی با استفاده از آنالیزهای کیفی و کمی صورت می گیرد که هر دو نشان می دهد که شبکه های رقابتی نادرست تر می باشد در حالی که شبکه های Feed-Forward و Recurrent برای جداسازی سیب های معیوب دقیقتر می باشد. بعضی از جداسازی های نادرست به علت تغییر پذیری طبیعی شکل میوه می باشد در صورتی که دیگر عیب ها به علت پیچیدگی عیب ها می باشد. سیستم بازرسی بر اساس دید ماشین باید میوه ها را در طبقه کیفیت متناظر تعیین کند.



شکل ۵. کارایی شبکه عصبی مصنوعی برای جداسازی موارد معیوب

اشتراك مجله نويز



www.NoiseMagazine.ECA.ir

اشتراك نسخه چاپ شده مجله نويز (ماهname)

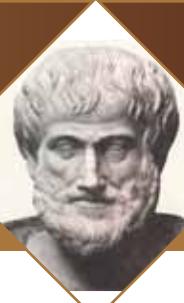
- لئے اشتراك ۳ ماهه مجله نويز ۱۰۰۰۰ تومان
- لئے اشتراك ۶ ماهه مجله نويز ۱۹۰۰۰ تومان
- لئے اشتراك ۱ ساله مجله نويز ۳۶۰۰۰ تومان

**اشتراك مجلات در تعداد بالا برای دانشگاه ها و مراکز علمی، آموزشی دارای تخفیف ویژه بوده لذا حتما قبل از پرداخت جهت دریافت تخفیف با بخش تماس با مجله، تماس گیرید.

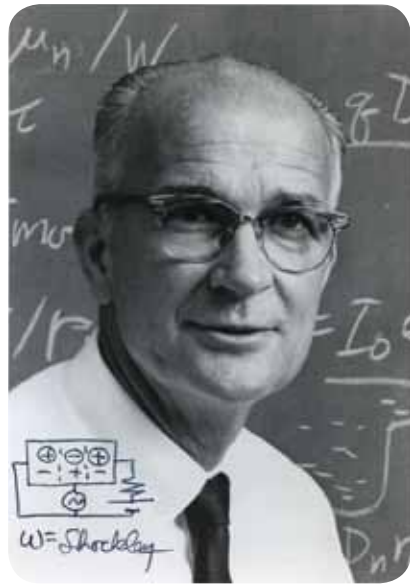
لطفا پس از واریز مبلغ، اطلاعات خود (نام-آدرس پستی-شماره تماس) را به آدرس ایمیل noisemagazine.eca@gmail.com ارسال نمایید تا نسبت به ارسال نسخه پرینت شده مجله نويز اقدام شود.
شماره حساب ها و درگاه پرداخت الکترونیک: <http://eca.ir/payment>

چهره های ماندگار

Celebrities
UNFORGETTABLE PERSONS



William Shockley



مقاله در زمینه صفحات نیمه هادی در Physical Review و در سال ۱۹۳۸ اولین حق ثبت اختراع خود که "تجهیزات تخلیه الکترونی" بود را از electron multipliers کسب کرد. هنگامی که جنگ جهانی دوم آغاز شد شاکلی در آزمایشگاه ویپلی شهر نیوجرسی بر روی رادرها تحقیق می کرد. در سال ۱۹۴۲ بر روی تاکتیک های زیر

دریائی ها کار می کرد. در سال ۱۹۴۴ بر روی بمب b-29 کار کرد و آنرا برای هوایپما بهینه سازی کرد. در سال ۱۹۴۶ مدال شایستگی را از رابرт پترسون، وزیر جنگ وقت، دریافت نمود. در سال ۱۹۴۵ وزارت جنگ از شاکلی درخواست کرد تا در مورد تلفات احتمالی از تهاجم به ژاپن گزارشی تهیه کند.

نتیجه گیری شاکلی:

مطالعات ما نشان می دهد که رفتار ملت ها در تمام دوران تاریخ همانند کشور ژاپن بوده است. بنابراین ما باید خود را برای از بین بردن ۵ تا ۱۰ میلیون ژاپنی آماده کنیم!

ترانزیستور حالت جامد

مدت کوتاهی پس از پایان جنگ در سال ۱۹۴۵ آزمایشگاه های بل گروه فیزیک حالت جامد را تشکیل داد. دسامبر سال ۱۹۴۷ ماه معجزه در آزمایشگاه بل نام گرفت، زمانیکه جان باردین و برایتی - بدون شاکلی - موفق به ایجاد تماس ترانزیستوری شدند. در ماه بعد وکلای آزمایشگاه بل کار خود را برای ثبت اختراع آغاز کردند اما خیلی زود متوجه شدند که این میدان اثر قبل از توسط شاکلی کشف شده بود و با ثبت آن به وسیله جولیوس لیلینفلد در سال ۱۹۳۰ به ظاهر راه را بر وکلای آزمایشگاه بل بسته بود. اما وکیلان با تغیر نام و مقداری کاربرد توانستند آنرا به نام سه نفر دیگر که شامل جان باردین، برایتین و گینین بود ثبت کنند. نام شاکلی در هیچ جای این اختراع بیان نشده بود. این کار خشم شاکلی را برانگیخت. او فکر می کرد حداقل باید نام او را در تاریخ ثبت اختراع بیان می کردند اما او آرام ننشست و به صورت کاملاً مخفیانه کار خود را برای ساخت ترانزیستوری از نوع متفاوتی ادامه داد. او انتظار داشت که این طراحی مهندسی تر و کاربردی تر خواهد بود و به احتمال زیاد به صورت تجاری قابل دوام خواهد بود. به اعتقاد او

بسیاری از پیشرفت های صنعت الکترونیک مدیون اختراع ویلیام شاکلی است. در سال ۱۹۴۹ در آزمایشگاه بل شاکلی به همراه جان باردین ترانزیستور را اختراع کردند. با وجود اینکه ترانزیستور یک وسیله بود و از چالش های علم استفاده می کرد ولی توانست جایزه نوبل فیزیک را از آن خود کند.

ویلیام شاکلی (۱۹۱۰-۱۹۸۹) در لندن متولد شد و در همان دوران کودکی همراه با خانواده اش به آمریکا مهاجرت کرد و در پالوآلتو ایالت کالیفرنیا ساکن شد. پدرش مهندس معدن بود و به ۸ زبان دنیا صحبت می کرد. مادرش از طرف دانشگاه استنفورد بورسیه شد و اولین زنی بود که به عنوان معاونت نقشه برداری از معادن تعیین شد. در سال ۱۹۳۲ توانست به عنوان اولین نفر بالاترین درجه علمی موسسه تکنولوژی کالیفرنیا را کسب کند. وقتی هنوز در حال تحصیل بود با جین بایلی در آگوست ۱۹۳۳ ازدواج کرد و در سال ۱۹۳۴ پدر شد.

در سال ۱۹۳۶ شاکلی توانست مدرک دکتری خود را از موسسه تحقیقات و تکنولوژی ماساچوست (MIT) کسب کند. تز دکتری او در مورد باندهای الکترونیکی در کلرید سدیم بود که این تز توسط جان اسلاتر پیشنهاد شد. بعد از اینکه مدرک دکتری خود را بدست آورد به گروه تحقیقاتی کلینتون در آزمایشگاه بل در نیوجرسی پیوست. چند سال آینده برای شاکلی خیلی پر بار بود. چاپ و ارائه



سراجام ویلیام شاکلی در سال ۱۹۸۹ بر اثر سرطان مرد.
افتخارات:

۱. جایزه نوبل فیزیک در سال ۱۹۵۶
۲. انتخاب به عنوان یکی ۱۰۰ نفر با نفوذ قرن ۲۰
۳. دریافت دکتری افتخاری از دانشگاه‌های پنسیلوانیا، دانشگاه راتگرز در نیوجرسی و گوستائوس در مینه سوتا
۴. جایزه فیزیک حالت جامد از مجمع فیزیک آمریکا
۵. جایزه موریس لیمن از انجمن مهندسان رادیوئی
۶. مدال holley (بالاترین درجه علمی) مجمع مهندسان مکانیک آمریکا در سال ۱۹۶۳

اختراعات:

شاکلی بیش از نود اختراع در ایالات متحده در کارنامه خود دارد.
برخی از آنها که قابل توجه است:

۱. نیمه هادی تقویت کننده (۱۹۴۸)
۲. عناصر مداری با استفاده از مواد نیمه هادی (۱۹۴۸)
۳. مدارات bistable (۱۹۵۲)
۴. تشکیل دستگاههای semiconductive توسط بمباران یونی (۱۹۵۴)
۵. روش رشد بلورهای سیلیکون کاربید (۱۹۶۰)

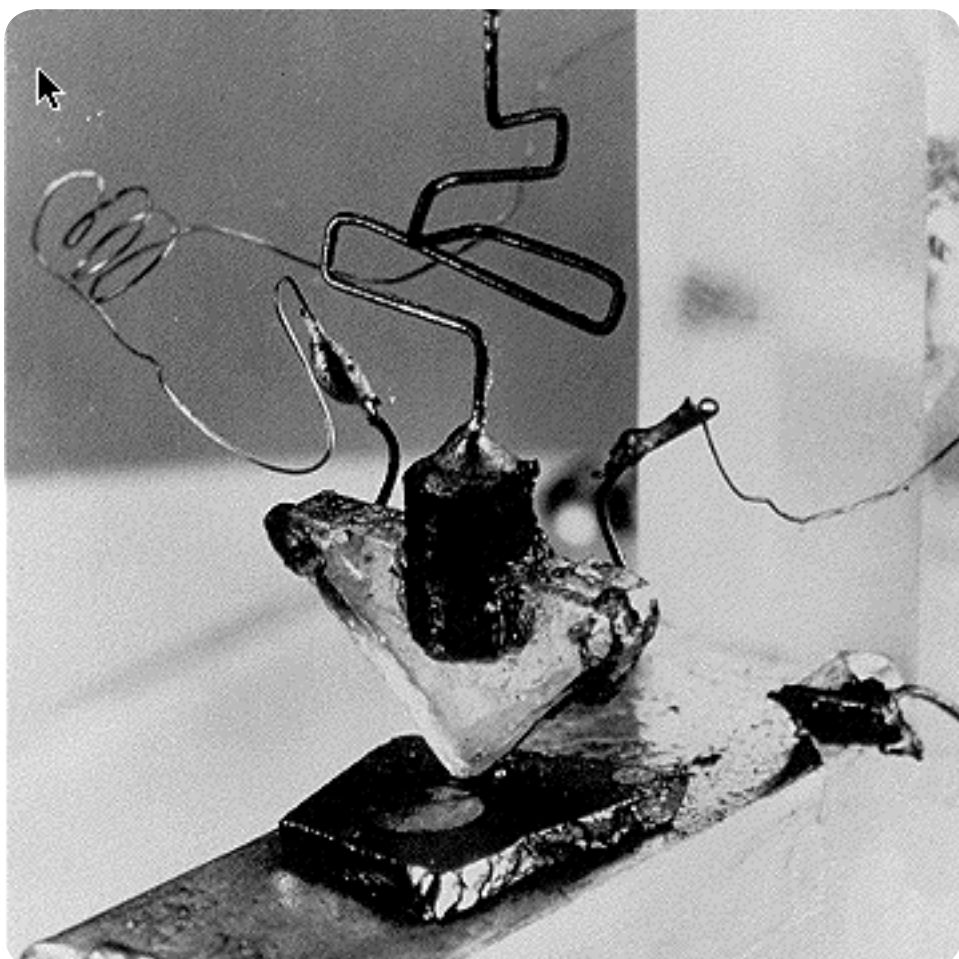
منبع: http://en.wikipedia.org/wiki/William_Shockley

"ترانزیستورهای تماس نقطه‌ای" شکننده بودند و ساخت آنها دشوار بود. اولین اثبات اصل در آوریل ۱۹۴۹ بدست آمد که این منجر به ساخت junction transistor در سال ۱۹۵۱ شد. شاکلی این اختراع را در سپتامبر ۱۹۵۱ انجام داد.

در سال ۱۹۵۰ "الکترون‌ها و حفره‌ها در نیمه هادی‌ها" بالاخره با ۵۵۸ صفحه منتشر شد. این کتاب تبدیل به کتاب مقدس برای نسلی از دانشمندانی که به دنبال بهبود دادن مدل جدیدی از ترانزیستور و دیگر دستگاه‌ها مبتنی بر نیمه هادی‌ها بودند، شد. در سال‌های بعد او افتخارات زیادی را کسب کرد از جمله جایزه CMOSTOCK فیزیک توسط آکادمی ملی علوم (ناس). در سالهای بعد آزمایشگاه‌های بل تأکید داشت تا بار دین و برایین را نیز به عنوان مخترع ترانزیستور معرفی کند ولی شاکلی همچنان از کار آنها خشمگین بود. بنابراین بار دین کار خود را بر روی تئوری ابررسانای آغاز کرد. برایین هم به گروهی دیگر پیوست و از کار کردن با شاکلی خودداری کرد.

اولین ترانزیستور ساخته شده!!

در سال ۱۹۵۶ هنگام دریافت جایزه نوبل همراه با بار دین و برایین در سخنرانی نوبل خود، او اعتبار زیادی برای برایین و بار دین قائل شد و سرحال و خوشحال و نه خشمگین با آنها به شادی پرداخت. در اوخر سال ۱۹۵۷ هشت نفر از محققان شاکلی او را ترک کردند و او نام هشت خیانتکار را بر روی آنها گذاشت. یکی از آن هشت نفر گوردون مور موسس شرکت اینتل و پیشرو در صنعت الکترونیک بود.





An Adaptive Kalman Filter for Removing Baseline Wandering in ECG Signals

MA Mneimneh, EE Yaz, MT Johnson, RJ Povinelli
Marquette University, Milwaukee, WI, USA

Abstract

Baseline wandering interference misleads ECG annotators from accurate identification of the ECG features. Previous work that deals with baseline wandering removal requires the identification of the QRS complex or other ECG features prior to baseline removal. This paper proposes an adaptive Kalman filter for the real time removal of baseline wandering using a polynomial approximation independent of the signal characteristics. A state space model is used with an adaptive Kalman filter to estimate the state variables, including the baseline wandering approximation from the previous values of the original ECG signal. This approach is applied to the (PTB) Diagnostic ECG Database and to a ECG signal disturbed by white noise and a second order baseline wandering. The results show accurate and improved baseline wandering estimation and removal as compared to moving averaging and cubic spline techniques.

Introduction

Baseline wandering is one of the noise artifacts that affect ECG signals. This wandering, caused by the subject's movement or breathing, might induce misleading measurement and annotation of the signal's features. Usually, the baseline wandering is expected to have the same frequency content as the T-wave. However, due to certain tests such as the stress test, the baseline wandering may vary unpredictably. This work presents a Kalman filter based approach for the online estimation and removal of baseline wandering in ECG signals.

Most of the previous adaptive techniques that deal with baseline wandering make the assumption that the extremities of the features of the signal are known. The first is the adaptive technique proposed by Jane et al. that applies a combination of a Least Mean Squares (LMS) driven adaptive impulse correlated filter and a two stage cascade filter for the removal of baseline wandering. This technique re-

quires the detection of the QRS complex and the frequency analysis of the signal in order to determine the transfer function of the cascade filter [1]. Additionally, Daqrouq et al. have proposed a baseline wandering reduction technique that requires the decomposition and reconstruction of the signal after the signal is filtered [2]. Therefore, these techniques require certain knowledge (RR interval) of the patient prior to applying the filtering technique. Lisheng et al. used a combination of Meyer wavelet filter and spline interpolation for the removal of the baseline wandering [3].

Additional well known techniques include the window moving averaging method [4] and the cubic spline technique [3]. Since these methods can be applied without the knowledge of the heart rate of the signal, these techniques will be used for validating the proposed adaptive Kalman filter approach.

The technique proposed in this work is an application of the Kalman filter for the prediction and removal of the baseline wandering in ECG signals. The proposed approach is based on the hypothesis that the ECG signal can be characterized by an autoregressive model, while the baseline wandering is estimated as a first order polynomial. The State Space model is integrated with the Kalman filter in order to estimate state variables, which in this case are the coefficients of the autoregressive model and the coefficients of the baseline wandering estimated curve. The proposed approach suggests an accurate way for the estimation of the baseline of an ECG signal, and is compared to the Cubic Spline Method (CSM) and the Moving Averaging (MVG) technique.

Datasets

The proposed approach is applied to two data sets. The first dataset is the PTB Diagnostic ECG database [5]. This database is taken from Physiobank. This dataset was collected by Physikalisch-Technische Bundesanstalt (PTB), the National Metrol-

An Adaptive Kalman Filter for Removing Baseline Wandering in ECG Signals

ogy Institute of Germany. The database consists of 549 records taken from 294 subjects. Each record contains measurements taken from 15 leads, where the first 12 leads are the conventional leads and the last 3 are the Frank leads (X, Y, and Z). The data is digitized at 1000 samples per second. The second dataset is simulated data with additional baseline wandering. Since there is no quantitative measurement of baseline wandering, the use of simulated data can be used to measure the error between the original signal (before applying baseline wandering) and the signal after applying the baseline wandering removal techniques.

The simulated ECG signal is generated using a piecewise linear function, where the features of the signals are represented by triangles. The signal is then smoothed using a third order Savitzky-Golay FIR filter of frame size of 17 samples, and is repeated 150 times.

The baseline wandering is represented as a second order polynomial dependent on the discrete sample time. The simulated baseline wandering is added to the original signal.

Method

The proposed approach is used to identify and remove the baseline wandering in ECG signals without adding any distortion to the signal. The Kalman filter approach is chosen because of its ability to simultaneously model both the ECG signal and the baseline wandering.

State space model

The ECG signal without the baseline wandering is assumed in this work as an autoregressive model such as:

$$y_{e_i} = a_1 y_{i-1} + a_2 y_{i-2} + \dots + a_{n-1} y_{i-n}$$

and the baseline wandering is represented as

$$b = a_{a1} k + a_{a2}$$

where k is time sample of the signal. Therefore, the signal with the baseline wandering is

$$y_s = a_1 y_{i-1} + a_2 y_{i-2} + \dots + a_{n-1} y_{i-n+1} + a_{a1} k + a_{a2}$$

With the assumption of stationarity the general form of the update equations can be written as follows:

$$\begin{aligned} X_{k+1} &= A \cdot X_k \\ Y_k &= C_k \cdot X_k \end{aligned}$$

where X_k is an n-dimensional vector, Y_k is the scalar valued measurement. Using the proposed model in equation (3), and replacing X with the set of coefficients, a C, and with

$$C = [y_{i-1} \quad y_{i-2} \quad y_{i-3} \quad y_{i-4} \quad \dots \quad y_{i-n} \quad 1 \quad 0]$$

the update equations (4) and (5) are written as follows:

$$\begin{bmatrix} a_{1k+1} \\ a_{2k+1} \\ a_{3k+1} \\ \vdots \\ a_{nk+1} \\ a_{a_1k+1} \\ a_{a_2k+1} \end{bmatrix} = I \begin{bmatrix} 0 & 0 \\ 0 & 0 \\ 0 & 0 \\ \vdots & \vdots \\ 0 & 0 \\ 0 & 0 & \dots & 0 & 0 & 1 & 1 \\ 0 & 0 & \dots & 0 & 0 & 0 & 1 \end{bmatrix} \begin{bmatrix} a_{1k} \\ a_{2k} \\ a_{3k} \\ \vdots \\ a_{nk} \\ a_{a_1k} \\ a_{a_2k} \end{bmatrix}$$
$$\hat{y}_i = [y_{i-1} \quad y_{i-2} \quad y_{i-3} \quad y_{i-4} \quad \dots \quad y_{i-n} \quad 1 \quad 0] \begin{bmatrix} a_{1k} \\ a_{2k} \\ a_{3k} \\ \vdots \\ a_{nk} \\ a_{a_1k} \\ a_{a_2k} \end{bmatrix}$$

where I_n is the n-dimensional identity matrix.

Kalman filter solution

The solution for the State Space model presented in (6) and (7) is determined using an iterative approach. The solution is presented in terms of equations (4) and (5) as follows [6]:

$$K_k = A \cdot P_k \cdot C_k^T / (C_k \cdot P_k \cdot C_k^T + \varepsilon)$$

$$\hat{X}_{k+1} = A \cdot \hat{X}_k + K_k \cdot (y_k - C_k \cdot \hat{X}_k)$$

$$P_{k+1} = (A - K_k \cdot C_k) \cdot P_k \cdot (A - K_k \cdot C_k)^T + \varepsilon K_k K_k^T$$

Where K is the Kalman gain, k is the discrete time sample, P is the uncertainty covariance matrix and $0 < \varepsilon \leq 1$ is added to model measurement noise. The mean convergence time for the KF approach was 4.4 ms for the original setup. The convergence time is

An Adaptive Kalman Filter for Removing Baseline Wandering in ECG Signals

the time needed by the KF approach in order to accurately predict and remove the baseline wandering. However, the equations shown in (8) are iterated over the input signal, y . During the iteration process, equation (8) is updated for the first 2 iterations as follows to accelerate the convergence of the Kalman filter.

$$\hat{X}_{k+1} = 1.01(A \cdot \hat{X}_k) + K_k (y_k - C_k \hat{X}_k)$$

The initial condition of X is chosen as a zero vector, while that of the error covariance vector is chosen to be $50*I_n + 2$.

Validation techniques

Window moving averaging (MVG)

The Window Moving Averaging technique is used to smooth the input curve. The method averages over a window of data as follows

$$\bar{x} = \frac{1}{n} \sum_{i=1}^n x_i$$

where x is an element in the dataset and n is the number of elements in the window

Cubic spline method (CSM)

This method uses a cubic spline estimation of the baseline from the PR segments solely. In this work, the baseline wandering was determined using a cubic spline interpolation over a window in order to determine the baseline wandering of ECG signal as suggested by [3].

Results

These techniques are applied to PTB Diagnostic ECG database and simulation data. The reason for using simulated data is to be able to determine precisely the error in each of the methods, because both the original and the baseline wandering are known. The validation of the Kalman Filter approach with respect to the window moving averaging and the spline technique for the PTB Diagnostic ECG database is qualitative, while that for the simulated data is quantitative.

PTB Diagnostic ECG Database

The approach was applied to a sample record taken from the PTB database. The comparison between

the three methods is shown in Figure 1. This signal is taken from the lead I of record ID s0027lre of the sixth patient. The simulation was applied with the same window size of 70 samples to all three methods.

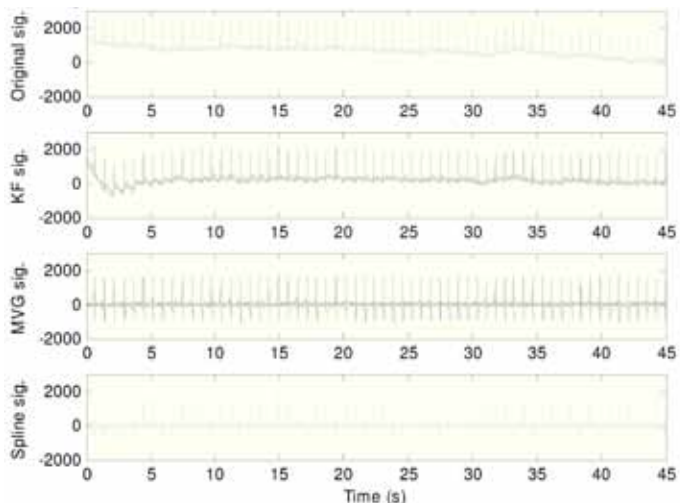


Figure 1 Comparison of the different techniques.

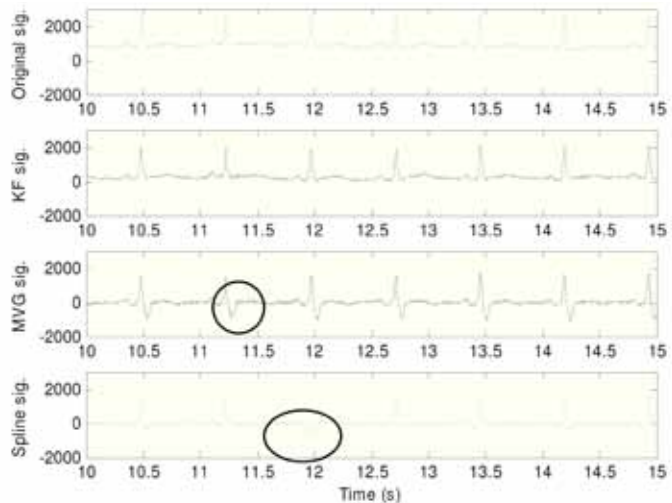


Figure 2 Comparison of the distortion in the signals.

Figure 2 shows that the KF approach aligned the ECG signal successfully and managed to keep the signal without any distortion for the same window size. Although the other approaches, MVG and Spline, were able to remove the baseline wandering, an additional artifact was added to the signal, as shown in the S-wave for the MVG and some of the QRS complex for the Spline approach.

Simulated data

The simulated ECG signal provides a quantitative comparison amongst the techniques. The simulated signal for a single beat is shown in

An Adaptive Kalman Filter for Removing Baseline Wandering in ECG Signals

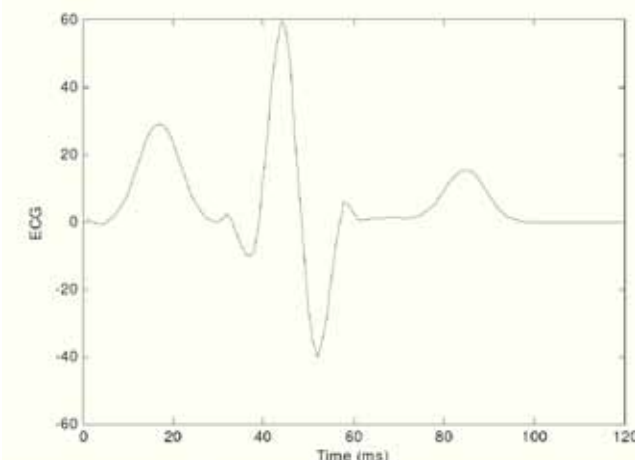


Figure 3 Simulated ECG signal for one beat.

The KF approach is applied to the simulated data over 150 beats. The window size for the KF approach is the same as for the real patient data (70 samples). The window size for the MVG and the CSM was chosen to be 90 samples. This was done to improve the performance of the MVG and the CSM. The result from applying the KF, MVG, and CSM techniques is shown in Figure 4.

As it can be seen from the results, all three techniques successfully remove the baseline wandering in the modified ECG signal. These resulting signals are compared to the original signal to study the distortion resulting of each of the techniques.

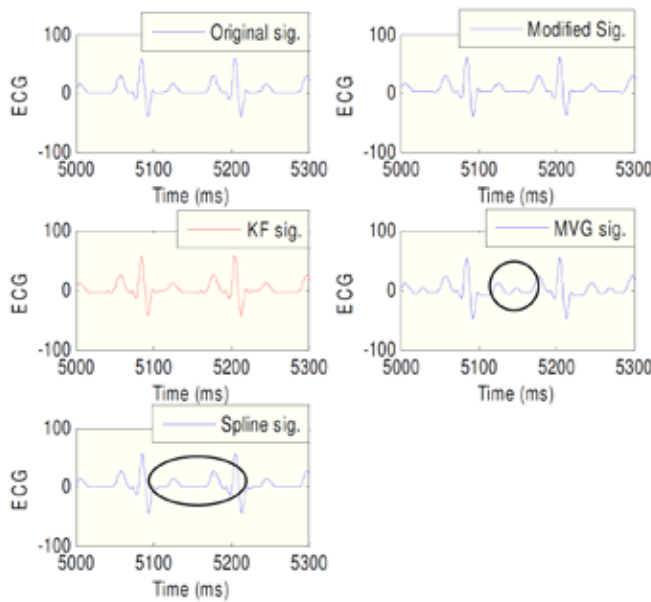


Figure 4 Comparison between the three techniques.

The mean and standard deviation of the error resulting from the difference between the original signal and the signal generated from each of the techniques are shown in Table 1. It is to be noted that the comparison is performed after the convergence of the KF.

Algorithm	Mean Error	Error STD
Kalman Filter	0.073	0.076
Moving Avering	0.215	1.858
Cubic Spline	1.010	3.666

Table 1 Comparison between baseline removal techniques.

As can be seen from the table above, the level of distortion is minimal for the KF approach. This is because the MVG and the CSM techniques are highly dependant on the window size and the heart rate of the patient. However, the KF approach can be applied to different signal as shown previously, for the same window size.

Discussion and conclusions

This paper presented a method used in real time baseline removal. However, this was adjusted as mentioned in Eq. (9) by using exponential weighting on the state variables update equations of the SS model. The reason for this weighting is to accelerate the convergence of the Kalman Filter. As shown in the results, the KF approach had minimal distortion, specially in the ST segment, when compared to the other techniques. The KF approach for the removal of baseline wandering failed for the condition under high frequency changes. This is due to the adaptability and convergence factor of the KF. This problem can be fixed by increasing the window size for the time samples; however, this is not favorable due to the increase in the computational time during estimation. In conclusion, although the Kalman filter approach did not accommodate for quick baseline changes, this approach was successful in the online estimation and removal of the baseline wandering for real-patient and a simulated test signal.

References

- [1] Jane R, Laguna P, Thakor NV, Caminal P. Adaptive Baseline Wander Removal in the ECG: Comparative Analysis with Cubic Spline Technique. Computers in Cardiology 1992:143-146.
- [2] Daqrouq K. ECG Baseline Wandering Reduction Using Discrete Wavelet Transform. Asian Journal of Information Technology 4 2005: 989-995.
- [3] Lisheng Xu. Kuanquan W. Zhang D. Cheng S. Adaptive Baseline Wander Removal in the Pulse Waveform. IEEE Symposium on Computer Based Medical Systems 2002: 1- 6.
- [4] Langley P, Dark JH, Murray A. QT dispersion analysis of a transplant assessment group. Computers in Cardiology 2000:167 – 170.
- [5] The PTB Diagnostic ECG Database. <http://www.ptb.de/ptbweb/ECG/>

An Adaptive Kalman Filter for Removing Baseline Wandering in ECG Signals

physionet.org/physiobank/database/ptbdb/ Department of Cardiology, Klinikum Brandenburg, Germany.

[6] Haykin S. Adaptive Filter Theory. Fourth Edition, Prentice-Hall, Inc., Englewood Cliffs, NJ, 2002.

[7] Hosseini HG, Nazeran H, Reynolds KJ. ECG Noise Cancellation Using Digital Filters. International Conference on Bioelectromagnetism 1998:151-152.

[8] Thakor NV, Zhu T. Applications of Adaptive Filtering to ECG Analysis: Noise Cancellation and Arrhythmia Detection. IEEE Transactions on Biomedical Engineering. 38: 785-793.

[9] Jane R, Laguna P, Thakor NV, Caminal P. Adaptive baseline wander removal in the ECG: Comparative analysis with cubic spline technique. Computers in Cardiology 1992:143 – 146.

[10] Gradwohl JR, Pottala EW, Horton MR, Bailey JJ. Comparison of two methods for removing baseline wander in the ECG. Computers in Cardiology 1988:493 – 496.

[11] Sornmo L. Time-Varying Filter for Removal of Baseline Wander in Exercise ECGs. Computers in Cardiology 1991: 145-148.

مجموعه پروژه های میکروکنترلرهای AVR-PIC-8051

هدف از ارائه این محصول تسريع در یادگیری و صرفه جویی در وقت دانشجویان برای انجام پروژه های کوئنگون با سری های مختلف میکرو های AVR و PIC و ۸۰۵۱ است. در این مجموعه بیش از ۵۰۰ پروژه به صورت دسته بندی شده گردآوری شده که بررسی آنها میتواند در تسريع امر یادگیری و تقویت بنیه عملی و فنی دانشجویان کمک شایانی نماید. این مجموعه در قالب یک DVD ارائه شده است. لیست پروژه های موجود در مجموعه :

(برای مشاهده لیست کامل پروژه ها به فروشگاه مراجعه نمایید)



AVR

2ch_temp_sensor
3510
5x7 LED dot matrix pong
8_way_nalyzer_with_90S1200
8051 test board
A small robot board with the AVR
Acceleration meter cars
ad_TLC2543_with_spi
ADC_with_digit_8_led_
Alarmclock
AntiKippenLights-Mini
AT90USB162PrototypeBoard
ATMEL AVR PROGRAMMER
atmel Unipolar Stepper Motor
atmel vu meter
Atmel-USB-Programer
AVR AT90S2313 Development Board
AVR ATmega8 Testboard
DTMF_decoder
DTMF_dialer_with_bascom-avr
MP3 mega162
mp3_using_asm_and_atmega8
mp3_using_c_and_atmega8
mutil_meters_with_m128
My first attempt with RF modules
numitron_clock
one_handed_keyboard
Ponyprog Circuit for ATMEL_S AVR
Ponyprog Circuit for ATMEL'S AVR
projects
.....

8051

8031.Power.Supply.Unit
89251P~1PROGRAMER
AT89C2051 PCB
Atmel 89c2051 programmaer
ATMEL 89Cx051 PROGRAMMER
ATMEL 89xxxx PROGRAMMER
Atmel Isp Programmer At89Isp Original
Cable Schematics
atmel midi
atmel vu meter
Web.Server
.....

PIC

304X8K~1
30w rf wat meter
4 Channels Temperatures Monitor
4 digit LCD interface to PIC
48SUTU~1
4x4 KEYPAD
50 MHz frequency counter, voltage meter
& SWRPWR indicator
50mhz caunter
8KANAL~1
A Microcontroller System
A Remote Indicating Effects Bypass
System
A very slow 0 .. 5 Volt fader
aatler
AFFICHEUR LCD 1-16 karakter
akbil kilit projesi
alarm devresi
alkol tester
Audio Spectrum Monitor
Audio Spectrum radioMonitor
AVCILA~1
blink a LED
Brenner8 USB PIC Programmer
BRUSLE~1
Car Fuel Display 16f84
Chalk Roach
charger
.....



- Reactors Redux
- The Significance of Grounding
- Robotic Arm Fundamentals
- Free measuring software for the PC
- Ultrasonic Sensors

